



รายงานวิจัยฉบับสมบูรณ์

โครงการ
ผลกระทบของภาวะโลกร้อนต่อการผลิตข้าว อ้อย¹
มันสำปะหลัง และข้าวโพดของประเทศไทย

**Impacts of Global Warming on Rice, Sugarcane, Cassava,
and Maize Production in Thailand**

โดย
เกริก ปันเนнงเพชร และคณะ

31 ตุลาคม 2552

รายงานวิจัยฉบับสมบูรณ์

ผลกระทบของภาวะโลกร้อนต่อการผลิตข้าว อ้อย มันสำปะหลัง และข้าวโพดของประเทศไทย

Impacts of Global Warming on Rice, Sugarcane, Cassava, and Maize Production in Thailand

นายเกริก ปันเหง่งเพ็ชร

คณะเกษตรศาสตร์ มหาวิทยาลัยขอนแก่น

นายวินัย ศรีวัต

ศูนย์วิจัยพืชไร่ขอนแก่น กรมวิชาการเกษตร

นายสมชาย บุญประดับ

สำนักวิจัยและพัฒนาการเกษตรเขตที่ 2 กรมวิชาการเกษตร

นายสกิจ รัตนศรีวงศ์

ศูนย์วิจัยและพัฒนาการเกษตรนครราชสีมา กรมวิชาการเกษตร

นายสหสัชัย คงทน

สำนักสำรวจและวิจัยทรัพยากรดิน กรมพัฒนาที่ดิน

นายสมปอง นิลพันธ์

สำนักสำรวจและวิจัยทรัพยากรดิน กรมพัฒนาที่ดิน

นายอิสรระ พุทธสิมมา

ศูนย์วิจัยพืชไร่ขอนแก่น กรมวิชาการเกษตร

นายปรีชา ก้าเพ็ชร

ศูนย์วิจัยพืชไร่ขอนแก่น กรมวิชาการเกษตร

นางแคมลิยา เอกอุ่น

ศูนย์วิจัยและพัฒนาการเกษตรกาฬสินธุ์ กรมวิชาการเกษตร

นางสาววิภารัตน์ คำริเข้มตระกูล

ศูนย์วิจัยและพัฒนาการเกษตรเลย กรมวิชาการเกษตร

นายชีษณุชา บุណนาคุณ

ศูนย์วิจัยข้าวปราจีนบุรี กรมการข้าว

นางกิงแก้ว คุณเขต

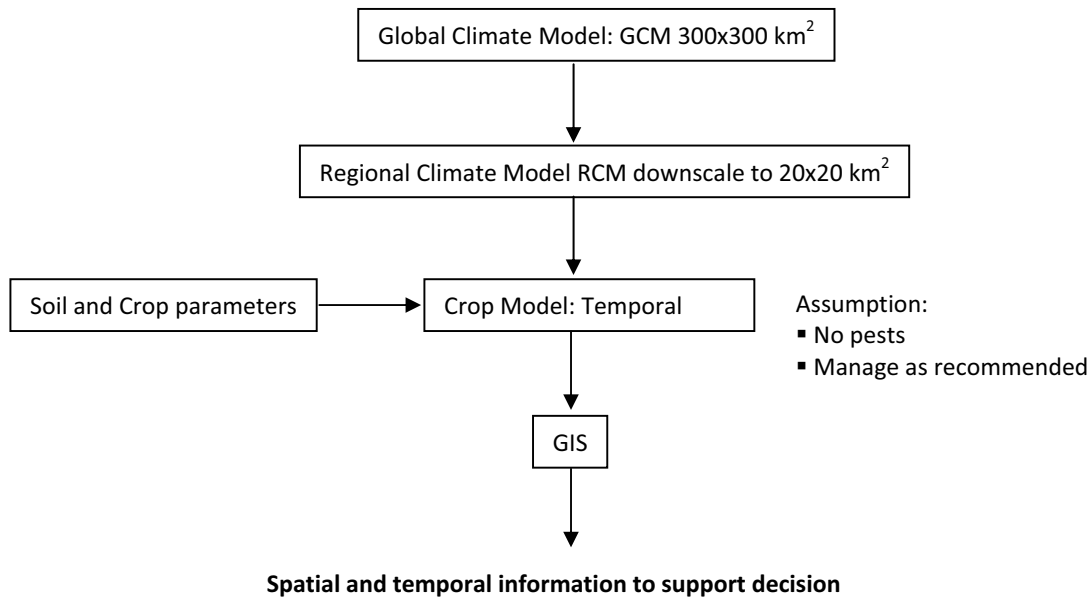
สำนักวิจัยและพัฒนาข้าว กรมการข้าว

สนับสนุนโดย สำนักงานกองทุนสนับสนุนการวิจัย (สกว.)
(ความเห็นในรายงานผลการวิจัยเป็นของผู้วิจัย สกว. ไม่จำเป็นต้องเห็นด้วยเสมอไป)

สรุปการดำเนินงานสำหรับผู้บริหาร

การผลิตพืชเป็นระบบที่อ่อนไหวต่อการเปลี่ยนแปลงของสภาพภูมิอากาศ และเป็นองค์ประกอบที่สำคัญของระบบเศรษฐกิจของประเทศ เพื่อเตรียมการป้องตัวและสร้างทางเลือกของระบบการผลิตพืชเพื่อรับผลกระทบจากการเปลี่ยนแปลงของสภาพอากาศโลกในอนาคต โครงการนี้จึงได้ศึกษาผลกระทบจากการภาวะดังกล่าวต่อการผลิตพืชเศรษฐกิจของประเทศไทย ข้าว อ้อย มันสำปะหลัง และข้าวโพด ทั้งในแง่ของผลกระทบในระยะยาวที่สืบเนื่องมาจากการเพิ่มขึ้นของ คาร์บอนไดออกไซด์และอุณหภูมิ และผลอันเนื่องมาจากการเปลี่ยนแปลงของสภาพอากาศที่เพิ่มมากขึ้นอันเนื่องมาจากการภาวะโลกร้อน พร้อมกับวิเคราะห์หาพื้นที่ๆ จะได้รับผลกระทบที่รุนแรง และหาทางเลือกในการรับมือกับภาระการณ์ดังกล่าว

การศึกษาที่ได้ใช้ข้อมูลสภาพภูมิอากาศในอนาคต ปี 1980-2099 จากการประเมินโดยแบบจำลองภูมิอากาศระดับภูมิภาค (regional climate model) PRECIS ซึ่งดำเนินการโดยสถาบัน SEA START มาใช้เป็นตัวแปรขับเคลื่อน (forcing function) แบบจำลองพีช DSSAT ภายใต้ข้อกำหนดที่ไม่มีการระบาดของโรคแมลง และมีการจัดการพืชตามคำแนะนำของกระทรวงเกษตรและสหกรณ์ จำนวนน้ำข้อมูลที่ได้จากการจำลองโดยแบบจำลองพีช ไปวิเคราะห์เชิงพื้นที่โดยใช้ระบบสารสนเทศภูมิศาสตร์ ดังสรุปเป็นแผนภาพดังนี้



จากการศึกษาพบว่าผลกระทบในระยะยาวจากภาวะโลกร้อน ไม่มีผลกระทบที่รุนแรงต่อผลผลิตพืช ยกเว้นมันสำปะหลัง แต่ผลกระทบทางอ้อมต่อความแปรปรวนของสภาพอากาศ ทำให้ผลผลิตมีความแปรปรวนรายปีสูง และความแปรปรวนระหว่างพื้นที่ยิ่งสูงมากขึ้น ดังนั้นแม้โดยภาพรวมผลผลิตจะไม่เปลี่ยนแปลงมากนักแต่บางพื้นที่จะได้รับผลกระทบในระดับที่วิกฤต ในกรณีของข้าวนาแห้ง พื้นที่วิกฤตส่วนใหญ่อยู่ในภาคตะวันออกเฉียงเหนือ แต่พื้นที่นาชลประทานที่ได้รับผลกระทบรุนแรงจะกระจายตัวอยู่ทั่วประเทศ พื้นที่วิกฤตของการผลิตอ้อยและมันสำปะหลังส่วนใหญ่อยู่ในเขตภาคตะวันออกเฉียงเหนือ และสำหรับข้าวโพดพื้นที่วิกฤตกระจายอยู่ทั่วไป

เมื่อทำการวิเคราะห์สาเหตุที่ทำให้ผลผลิตข้าวลดลงพบว่าเกิดจากการกระจายตัวของฝน ประกอบกับความอุดมสมบูรณ์ในเป็นสาเหตุที่สำคัญ ส่วนผลผลิตอ้อยจะได้รับผลกระทบจากความชื้นดินซึ่งขึ้นกับฝน คุณสมบัติทางกายภาพของดิน โดยเฉพาะอย่างยิ่งในดินที่การกระจายตัวของรากเป็นไปได้อย่างจำกัด การลดลงของผลผลิตมันสำปะหลังเกิดจากปริมาณน้ำฝนที่มีปฏิกริยาเริ่มอย่างชัดเจนกับคุณสมบัติทางกายภาพของดิน แต่ในเขตการผลิตภาคเหนือตอนล่างการลดลงของผลผลิตเกิดจากอุณหภูมิ สำหรับข้าวโพดการลดลงของผลผลิตเกิดจากการขาดน้ำในช่วงออกดอกติดฝัก และแสดงออกอย่างรุนแรงในดินที่อุ่มน้ำได้น้อย

แนวทางของการปรับระบบการผลิตพืชเพื่อรับภาวะดังกล่าวประกอบด้วยการพัฒนาพันธุ์พืชที่มีประสิทธิภาพการใช้น้ำสูง อัตราการเจริญเติบโตเร็ว อายุสั้น และทนแล้ง รากหยั่งลึก พัฒนาระบบอนุรักษ์ดินและน้ำ และจัดทำแหล่งน้ำในปริมาณ การปรับปรุงบำรุงดิน การจัดการดินและธาตุอาหารพืชเฉพาะพื้นที่

อย่างไรก็ตาม ควรที่จะต้องทำการศึกษาเพิ่มเติมโดยใช้ ข้อมูลภูมิอากาศจากแบบจำลองภูมิอากาศอื่นๆ และแบบจำลองพืชอื่นๆ ตลอดจนประเมินผลกระทบของภาวะโลกร้อนกับการระบาดของโรคแมลงศัตรูพืช ซึ่งจะทำให้สามารถสรุปผลกระทบจากการเปลี่ยนแปลงสภาพภูมิอากาศมากยิ่งขึ้น

บทคัดย่อ

รหัสโครงการ: RDG5130007

ชื่อโครงการ: ผลกระทบของภาวะโลกร้อนต่อการผลิตข้าว อ้อย มันสำปะหลัง และข้าวโพดของประเทศไทย

ชื่อนักวิจัย: เกริก ปั้นเน่งเพ็ชร¹ วินัย ศรีวัต² สมชาย บุญประดับ² สุกิจ รัตนศรีวงศ์² สหัสชัย คงทน³ สมปอง นิลพันธ์³ ชิษณุชา บุตดาวบุญ⁴ กิ่งแก้ว คุณเขต⁴ อิสระ พุทธสิมมา³ ปรีชา กะเพ็ชร³ แคนทิลิยา เอกอุ่น³ วิภาวดี คำรังสรรค์³ ดำรงเข็มตระกูล³

¹ คณะเกษตรศาสตร์ มหาวิทยาลัยขอนแก่น ² กรมวิชาการเกษตร กระทรวงเกษตรและสหกรณ์ ³ กรมพัฒนาที่ดิน กระทรวงเกษตรและสหกรณ์ ⁴ กรมการข้าว กระทรวงเกษตรและสหกรณ์

email address: krirk@kku.ac.th

ระยะเวลาโครงการ: มกราคม 2551 – ตุลาคม 2552

การเปลี่ยนแปลงสภาพอากาศโลกมีผลกระทบต่อผลผลิตพืช ทั้งในระยะยาวและความแปรปรวนของผลผลิต ดังนั้นจึงได้ประเมินผลกระทบดังกล่าวต่ออนาคตการผลิตข้าว อ้อย มันสำปะหลัง และข้าวโพด โดยใช้แบบจำลองพีช DSSAT ร่วมกับ ระบบสารสนเทศทางภูมิศาสตร์ และใช้ข้อมูลสภาพภูมิอากาศปี 1980-2099 จากการจำลองของ ECHAM4-PRECIS เป็นตัวแปรขับเคลื่อน ภายใต้ข้อกำหนดที่ไม่มีการระบาดของโรคแมลง และมีการจัดการพืชตามคำแนะนำของกระทรวงเกษตรและสหกรณ์

การประเมินผลพบว่าการเพิ่มขึ้นของก๊าซคาร์บอนไดออกไซด์ และอุณหภูมิ มีผลกระทบในระยะยาวค่อนข้างต่ำต่อผลผลิตข้าว อ้อย และข้าวโพด แต่ทำให้ผลผลิตของมันสำปะหลังลดลงถึงร้อยละ 43 ในขณะเดียวกันความแปรปรวนของผลผลิตซึ่งเป็นปัจจัยที่สำคัญต่อความเสี่ยงของระบบการผลิตมีค่าความแปรปรวนสูง โดยมีค่าความแปรปรวนระหว่างปีเฉลี่ย ร้อยละ 14 สำหรับข้าวนาน้าฟันและนาซลประทาน ร้อยละ 18 สำหรับอ้อย ร้อยละ 34 สำหรับมันสำปะหลัง และร้อยละ 41 สำหรับข้าวโพด ความแปรปรวนระหว่างปีที่มีค่าสูงมากขึ้น เฉลี่ยร้อยละ 33 สำหรับข้าวนาน้าฟันและนาซลประทาน ร้อยละ 23 สำหรับอ้อย ร้อยละ 33 สำหรับมันสำปะหลัง และร้อยละ 45 สำหรับข้าวโพด

พื้นที่ปลูกข้าวนาน้าฟันที่ได้รับผลกระทบที่รุนแรงส่วนใหญ่อยู่ในภาคตะวันออกเฉียงเหนือ สำหรับข้าวซลประทานอยู่ในภาคกลางและภาคตะวันออกเฉียงเหนือ ส่วนพื้นที่ปลูกอ้อยและมันสำปะหลังที่ได้รับผลกระทบสูงอยู่ในภาคตะวันออกเฉียงเหนือ สำหรับพื้นที่ปลูกข้าวโพดอยู่ในภาคเหนือและบริเวณรอยต่อกับภาคตะวันออกเฉียงเหนือ สาเหตุเกิดจากความแปรปรวนของฝนที่จะแสดงออกอย่างรุนแรงในเดือนที่มีความสามารถในการอุ่มน้ำและความอุดมสมบูรณ์ต่ำ ดังนั้นการปรับตัวจึงต้องพัฒนาโดยการขยายระบบชลประทานและอนุรักษ์ความอุดมสมบูรณ์ของดิน

คำสำคัญ: ภาวะโลกร้อน ข้าว อ้อย มันสำปะหลัง ข้าวโพด

Abstract

Project Code: RDG5130007

Project Title: Impacts of Global Warming on Rice, Sugarcane, Cassava, and Maize Production in Thailand

Investigators: Pannangpatch K.¹, Sarawat V.², Boonpradub S.², Ratanasriwong S.², Kongton S.³, Nilpunt S.³, Buddhaboon C.⁴, Kunket K.⁴, Buddhasimma I.², Kapetch P.², Ek-un K.², Damrakhikhemtrakul W.²

¹Faculty of Agriculture, Khon Kaen University, ²Department of Agriculture, Ministry of Agriculture and Cooperatives, ³Land Development Department, Ministry of Agriculture and Cooperatives, ⁴Rice Department, Ministry of Agriculture and Cooperatives,

email address: krirk@kku.ac.th

Project Duration: January 2008 – October 2009

Global climate change can affect both long term changes in crop yield, and yield variability. Therefore its influences on the future production of rice, sugarcane, cassava, and maize were investigated using DSSAT crop model linked with GIS, and driven by weather data from ECHAM4-PRECIS climate models. Simulation was conducted under the conditions of no pests and crop management as recommended by the Ministry of Agriculture and Cooperatives.

Results showed that CO₂ and temperature increases had insignificant effect on long term changes in yields of rice, sugarcane, and maize, but reduced yield of cassava by 43 percent. Yield variability, an important determinant of risk, was high with mean annual variation of 14, 18, 34, and 41 percent for rainfed and irrigated rice, sugarcane, cassava, and maize respectively. Spatial yield variability was even higher, 33 percent for rainfed and irrigated rice, 23 percent for sugarcane, 33 percent for cassava and 41 percent for maize. Impacts of climate change were most pronounced in the Northeast region for rainfed rice, in the Central plain and Northeast for irrigated rice, in the Northeast region for sugarcane and cassava, and in the North region and along the border to the Northeast for maize. Yield variability was largely governed by intensity and pattern of rainfall variability which interacted and manifested strongly in soils with low water holding capacity and low fertility. Hence adaptation would require extensive irrigation and soil conservation and improvement.

Key words: Global Warming, rice, sugarcane, cassava, maize

สารบัญ

	หน้า
สรุปการดำเนินงานสำหรับผู้บริหาร	II
บทคัดย่อ	IV
Abstract	V
 รายละเอียดผลการศึกษา	 1
บทนำ	1
วัตถุประสงค์หลักของโครงการ	2
ขั้นตอนการดำเนินการ	2
การรวบรวมข้อมูลและสร้างฐานข้อมูล	3
หน่วยย่อยการผลิตพีช (Simulation Mapping Unit)	3
ข้อมูลเดิม	4
ข้อมูลภูมิอากาศ	5
ข้อมูลพื้นที่ปลูกพีช	6
การสร้างหน่วยย่อยการผลิตพีช (SMU)	8
การตรวจสอบความถูกต้องของการประเมินผลของแบบจำลอง	11
การเลือกข้อมูลผลผลิตพีชจากการวัดภาคสนาม	11
แหล่งปลูกข้าว	13
แหล่งปลูกอ้อย	14
แหล่งปลูกมันสำปะหลัง	15
แหล่งปลูกข้าวโพด	17
การจำลองผลผลิตพีชและเปรียบเทียบกับผลผลิตจากการวัดภาคสนาม	19
วิธีการจำลองผลผลิตและตรวจสอบผลการจำลอง	19
ผลการจำลองและการตรวจสอบ	22
ข้าว	22
อ้อย	24
มันสำปะหลัง	26
ข้าวโพด	28
สรุป	30
การจำลองผลกระทบของการโลกร้อนต่อการผลิตพีช	31
การตรวจสอบการใช้ระดับ CO ₂ เฉลี่ย และข้อมูลภูมิอากาศรายวัน	32
การตรวจการใช้ระดับ CO ₂ เฉลี่ย	32
การตรวจสอบข้อมูลนำเข้าภูมิอากาศ	34

สารบัญ (ต่อ)

	หน้า
วิธีการจำลอง	36
วิธีการวิเคราะห์การเปลี่ยนแปลงของผลผลิตเชิงเวลาและพื้นที่	37
ผลการจำลองผลกระทบของภาวะโลกร้อนต่อผลผลิตพืช	38
ผลกระทบต่อผลผลิตข้าวในระยะยาวและระยะสั้น	38
ผลกระทบต่อผลผลิตอ้อยระยะยาว และระยะสั้น	40
ผลกระทบต่อผลผลิตมันสำปะหลังระยะยาวและระยะสั้น	42
ผลกระทบต่อผลผลิตข้าวโพดระยะยาว และระยะสั้น	43
สรุป	45
การวิเคราะห์พื้นที่และช่วงเวลาที่ได้รับผลกระทบรุนแรง	46
พื้นที่และช่วงเวลาที่ผลผลิตข้าวได้รับผลกระทบ	46
พื้นที่และช่วงเวลาที่ผลผลิตอ้อยได้รับผลกระทบ	47
พื้นที่และช่วงเวลาที่ผลผลิตมันสำปะหลังได้รับผลกระทบ	48
พื้นที่และช่วงเวลาที่ผลผลิตข้าวโพดได้รับผลกระทบ	49
ดัชนีชี้วัดผลกระทบ Impact Index	50
พื้นที่วิกฤตของการผลิตพืช	50
การแบ่งชั้นการกำหนดค่าดัชนีของผลกระทบ	54
การเปรียบเทียบผลกระทบภายใต้ SRES A2 และ B2	59
การปรับระบบการผลิตพืชเพื่อรับการเปลี่ยนแปลงสภาพอากาศโลก	62
การปรับระบบการผลิตข้าว	63
การปรับระบบการผลิตอ้อย	80
การปรับระบบการผลิตมันสำปะหลัง	91
การปรับระบบการผลิตข้าวโพด	106
สรุป	117
เอกสารอ้างอิง	118
ภาคผนวก	121
บทความและสิ่งตีพิมพ์ที่ได้เผยแพร่ไปแล้ว	121
ผลงานนำเสนอภาคีสหกรณ์	122
ตารางเปรียบเทียบวัตถุประสงค์ กิจกรรมตามแผน ผลที่คาดว่าจะได้รับตามแผน และ	126
ผลการดำเนินการ	129
ข้อมูลกลุ่มชุดดินและชุดดินตัวแทน	129
รายชื่อจังหวัดของประเทศไทย และตัวย่อ	143
ภาคผนวก	144

รายละเอียดผลการศึกษา

บทนำ

การเกษตรและการผลิตพืชเป็นระบบที่อ่อนไหว และเปราะบาง (sensitive and vulnerable) ต่อการเปลี่ยนแปลงของสภาพภูมิอากาศ ปริมาณก้าชาคร์บอนไดออกไซด์ที่เพิ่มขึ้นเป็นสองเท่าภายในเวลา 70 ปี จากปัจจุบัน จะส่งผลกระทบให้อุณหภูมิ และสภาพแวดล้อมอื่น ๆ เช่น ปริมาณและรูปแบบการกระจายตัวของฝน เปลี่ยนแปลงไปจากเดิม การเปลี่ยนแปลงของสภาพแวดล้อมดังกล่าว จะมีผลกระทบต่อระบบการผลิตพืชโดยตรง (IPCC, 2007a) ซึ่งอาจเป็นผลดีกับระบบการผลิตพืชในเขตตอบอุ่น (temperate) แต่เป็นผลเสียในเขตหนาว (IPCC, 2007b) เนื่องจากความสัมพันธ์ของภูมิอากาศและผลผลิตพืชมีลักษณะเป็น non-linear การประเมินผลกระทบของการเปลี่ยนแปลงของสภาพภูมิอากาศต่อการผลิตพืชจึงใช้แบบจำลองพืช

Cline (2007) ได้ใช้ statistical model และ crop model ท่านายว่าผลผลิตทางการเกษตรของประเทศไทยกำลังพัฒนาในปี 2080 จะลดลงจากปัจจุบันร้อยละ 20 และสำหรับประเทศไทยจะลดลงร้อยละ 15 Zhai และ Zhuang (2009) ได้ใช้แนวทางดังกล่าวประเมินผลกระทบในเชิงเศรษฐกิจและรายงานว่า GDP ของประเทศใน SE-Asia จะลดลงร้อยละ 1.4 และสำหรับประเทศไทยลดลงร้อยละ 2.4 สูงที่สุดในกลุ่ม ASEAN Gerald et. al. (2009) ได้เชื่อมแบบจำลองทางเศรษฐกิจ IMPACT เข้ากับแบบจำลองพืช DSSAT และคาดการณ์ว่าผลผลิตการเกษตรและคุณภาพชีวิต (human well-being) จะลดลงจากการเปลี่ยนแปลงของภูมิอากาศโลก นอกจากนี้ Anwar และคณะ (2007) ได้ใช้ CCAM-CropSyst ประเมินผลกระทบของภาวะโลกร้อนต่อผลผลิตข้าวสาลีในประเทศไทยในช่วงปี 2000-2070 พบว่า ผลผลิตข้าวสาลีจะลดลง 25-29% จากปัจจุบัน ในทางตรงกันข้าม Richter และ Semenov (2005) ได้ประเมินผลผลิตข้าวสาลีในอังกฤษและเวลส์ โดยใช้แบบจำลอง HadCM2-Sirius พบว่าผลผลิตจะเพิ่มขึ้น แต่มีโอกาสประสบภาวะขาดน้ำมากขึ้น Kabubo-Mariara และ Karanja (2007) พบว่าภาวะโลกร้อนจะเป็นผลเสียต่อการผลิตพืชและรายได้ต่อครัวเรือนของประเทศไทย (Kenya) อย่างมาก และจำเป็นที่จะต้องเตรียมให้เกษตรกรปรับตัวกับภาวะดังกล่าว Tan และ Shibasaki (2003) ได้นำเสนอการแบบจำลอง EPIC เข้ากับ GIS และ Interference Engine Technique เพื่อประเมินผลกระทบของภาวะโลกร้อนต่อผลผลิตพืช และทางแก้ปัญหาที่เหมาะสม (optimization) จากการประเมินพบว่าส่วนใหญ่ของโลกจะได้รับผลเสียจากการดังกล่าว และต้องปรับเปลี่ยนวิธีการผลิตให้มีประสิทธิภาพเพิ่มขึ้น

ประเทศไทยเป็นประเทศเกษตรกรรม และเศรษฐกิจของประเทศไทยขึ้นกับผลผลิตพืช สภาพดินฟ้าอากาศที่เปลี่ยนแปลงไปปัจจุบัน ผลกระทบต่อระบบเศรษฐกิจและสภาพความเป็นอยู่ของประชากรของประเทศไทย และจำเป็นที่จะต้องเตรียมการในการปรับตัวและสร้างทางเลือกของระบบการผลิตพืชเพื่อรับผลกระทบจากภาวะการณ์ดังกล่าว ดังนั้นโครงการ ผลกระทบของภาวะโลกร้อนต่อการผลิต ข้าว อ้อย มันสำปะหลัง และข้าวโพดของประเทศไทย จึงได้นำข้อมูลสภาพภูมิอากาศในอนาคตจากผลการประเมินโดยแบบจำลองภูมิอากาศระดับภูมิภาค (regional climate model) PRECIS ซึ่งดำเนินการโดยสถาบัน SEA START มาใช้กับแบบจำลองพืช (DSSAT: Hoogenboom et. al., 2004) และระบบสารสนเทศภูมิศาสตร์ (ArcView: ESRI, 1996) เพื่อประเมินผลกระทบของการเปลี่ยนแปลงของสภาพภูมิอากาศอันเนื่องมาจากการโลกร้อนต่อการผลิตพืชเศรษฐกิจของประเทศไทย คือ ข้าว อ้อย มันสำปะหลัง และข้าวโพด ภาพได้สภาพเงื่อนไขของการใช้พลังงานของโลกที่ต่างกัน (A2 และ B2) และวิเคราะห์ทางเลือก เป็นการเตรียมการในการปรับตัว เพื่อรับผลกระทบจากการเปลี่ยนแปลงของภูมิอากาศ

วัตถุประสงค์หลักของโครงการ

- ระบุ สถานที่ เวลา และระดับความรุนแรง ของผลกระทบจากภาวะโลกร้อนต่อการผลิตพืชแต่ละชนิด ในประเทศไทย
- เสนอแนวทางเลือกของระบบการผลิต เพื่อรับผลกระทบจากภัยภาวะการณ์ดังกล่าว (adaptation)

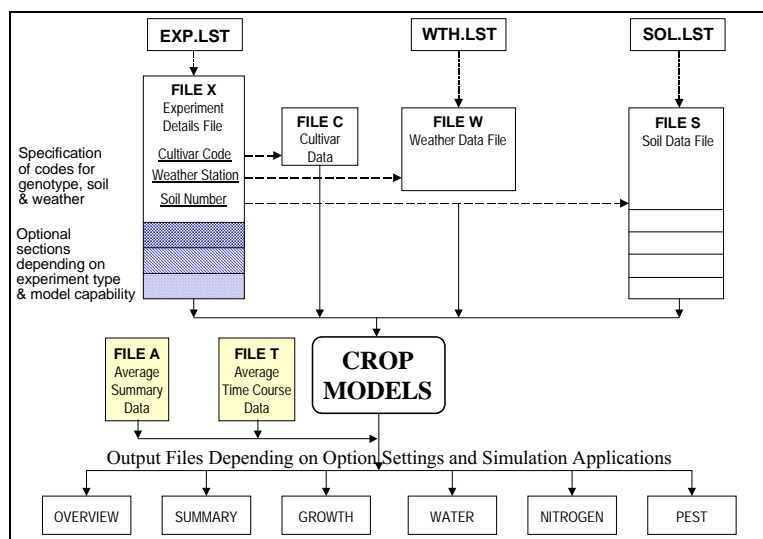
ขั้นตอนการดำเนินการ

โครงการได้แบ่งการดำเนินการออกเป็น 4 ขั้นตอนหลักคือ

- รวบรวมและสร้างฐานข้อมูล
- ตรวจสอบความถูกต้องของการประเมินผลของแบบจำลอง
- จำลองผลกระทบของภาวะโลกร้อนต่อการผลิตพืชทั้ง 4 ชนิด และวิเคราะห์หา พื้นที่ และเวลาที่เกิดผลกระทบ ที่สร้างความเสียหายที่รุนแรง
- วิเคราะห์และทดสอบทางเลือกของการผลิตพืช โดยใช้แบบจำลอง เพื่อหาทางเลือกของระบบการผลิตพืชภาพ ได้สgapภาพการณ์ดังกล่าว

การรวมข้อมูลและสร้างฐานข้อมูล

อัตราการเปลี่ยนแปลงของสภาพพืชและดิน นอกรากจะขึ้นกับสถานะของพืชและดิน ณ เวลาหนึ่ง (concurrent states) และ ยังขึ้นกับคุณสมบัติของพืช ของดิน (system properties) และสภาพของภูมิอากาศ เช่น แสง อุณหภูมิ และฝน ณ เวลาหนึ่ง (driving variables) อีกด้วย ใน การคำนวนหาผลลัพธ์ของพืช แบบจำลองพืชจึงต้องการข้อมูล นำเข้า ซึ่งประกอบด้วย คุณสมบัติของพืช (cultivar data) การจัดการพืช (experiment details) คุณสมบัติของดิน (soil data) และสภาพของภูมิอากาศรายวัน (weather data) ดังแสดงในภาพที่ 1 ข้อมูลสองรายการแรกนั้นเป็นข้อมูลที่เฉพาะ กับพืช ส่วนข้อมูลสองรายการหลังเป็นข้อมูลที่สามารถใช้ร่วมกันได้ทุกพืช ดังนั้นการรวมและสร้างฐานข้อมูลจึงเน้นที่ การสร้างระบบฐานข้อมูลกลางเพื่อใช้ร่วมกัน



ภาพที่ 1. แผนผังแสดงข้อมูลนำเข้าและผลลัพธ์ของการจำลองผลผลิตพืชโดยแบบจำลอง DSSAT

แผนที่หน่วยจำลอง (Simulation Mapping Unit)

แบบจำลองจะจำลองการเจริญเติบโตพืช ณ จุดใดจุดหนึ่งบนพื้นที่ ไปกับเวลา ผลลัพธ์ที่ได้จะเป็นข้อมูลที่แสดง ผลผลิต ณ จุดๆ หนึ่งบนพื้นที่ (point data) เท่านั้น หากต้องประเมินผลผลิตพืชของพื้นที่ๆ มีบริเวณกว้าง เช่นพื้นที่ของ ทั้งประเทศ จำเป็นที่จะต้องแปลงผลการประเมินซึ่งจุดให้เป็นข้อมูลเชิงพื้นที่ (areal data)

จุดที่อยู่ใกล้เคียงกันมักจะมีคุณสมบัติของดินและสภาพของภูมิอากาศที่ใกล้เคียงกัน และผลผลิตพืชจะไม่แตกต่าง กันอย่างมีนัยสำคัญ ดังนั้นจึงสามารถรวมจุดซึ่งมีคุณสมบัติดังกล่าวที่ใกล้เคียงกันเข้าด้วยกันเป็นพื้นที่ ภายในบริเวณของ พื้นที่ดังกล่าวจะมีสภาพแวดล้อม (ดินและภูมิอากาศ) ใกล้เคียงกัน จะนั้นการเจริญเติบโตพืชจึงเท่ากัน สมำส mó ทั่ว บริเวณ พื้นที่ดังกล่าวเรียกว่า Simulation Mapping Unit (SMU) ค่าที่ได้จากการจำลองผลผลิต “ไม่ว่าจะเป็นจุดไหนใน SMU นั้นๆ จะเท่ากัน และถือว่าเป็นผลผลิตเดียวกันของพื้นที่ทั้งหมดใน SMU นั้นๆ”

SMU แต่ละหน่วยจะมีคุณลักษณะที่เฉพาะตัว และแตกต่างจาก SMU อื่นๆ จำนวนและขนาดของ SMU ในพื้นที่ศึกษาจะขึ้นกับความแปรปรวนเชิงพื้นที่ (spatial variation) ของพื้นที่ศึกษานั้นๆ หากความแปรปรวนเชิงพื้นที่สูง จำนวนของ SMU จะมาก แต่ SMU จะมีขนาดเล็ก โดยที่แต่ละ SMU ไม่จำเป็นที่จะต้องมีพื้นที่เท่ากันเสมอไป

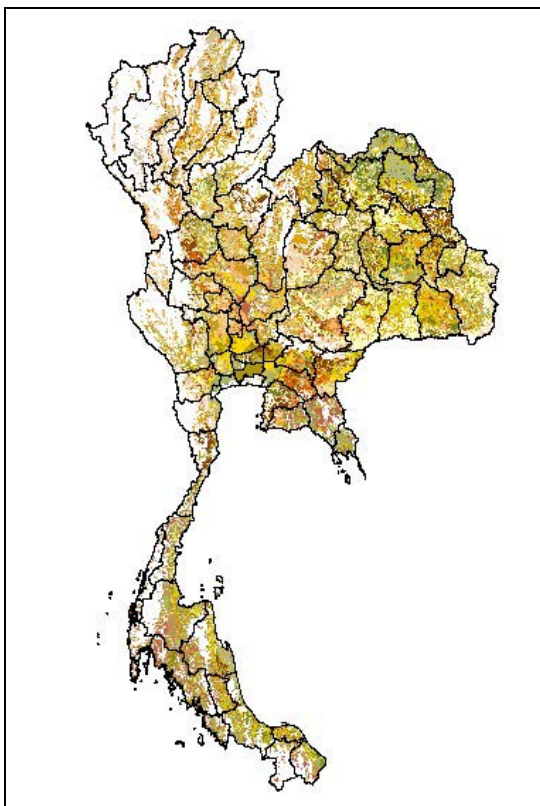
ดังนั้นการดำเนินการในขั้นตอนนี้จึงเป็นการกำหนดขอบเขต และคุณสมบัติของแต่ละ SMU จากข้อมูลคุณลักษณะดิน ภูมิอากาศ และพื้นที่ๆ ปลูกพืชแต่ละชนิด แล้วสร้างเป็นฐานข้อมูลกลาง โดยอาศัยระบบสารสนเทศทางภูมิศาสตร์ (GIS) เพื่อใช้ประเมินผลกรบทองภาวะโลกร้อนต่อผลผลิตพืชทั้ง 4 ชนิด

ข้อมูลดิน

ข้อมูลดินที่ใช้ในการประเมินผลผลิตพืชโดยแบบจำลองครั้งนี้ เป็นข้อมูลกลุ่มชุดดินที่กรมพัฒนาที่ดินได้ผลิตขึ้น (กรมพัฒนาที่ดิน, 2543) ประกอบด้วยแผนที่ มาตราส่วน 1: 50,000 ซึ่งใช้แผนที่ของกรมแผนที่ทหารเป็นแผนที่ฐาน ข้อมูลดังกล่าวเป็นการรวมกลุ่มของชุดดินที่ได้รับการจำแนกด้วยระบบอนุกรมวิธานดิน และมีข้อจำกัดและลักษณะปัญหาที่ต้องการการจัดการคล้ายคลึงกันมาไว้ด้วยกัน พร้อมทั้งกำหนดชุดดินตัวแทนเพื่อใช้เชิงบัญลักษณ์สมบัติทางกายภาพและเคมีของกลุ่มชุดดินนั้นๆ ข้อมูลประกอบด้วย 62 กลุ่มชุดดิน ดังแสดงในภาพที่ 2 และเสนอรายละเอียดไว้ในรายงานความก้าวหน้าครั้งที่ 1 ลักษณะที่สำคัญสำหรับการวิจัยครั้งนี้ประกอบด้วย

1. คำนวนขีดจำกัดบนและขีดจำกัดล่างของบริมาณน้ำ (ซม.³/ซม.³) ในแต่ละชั้นความลึกของทุกชุดดินตัวแทน
2. คำนวนความหนาแน่นจำเพาะ (Bulk density: กรัม/ซม.³) ของแต่ละชั้นความลึกของทุกชุดดินตัวแทน
3. คำนวนปริมาณในໂຕเรจน (Percent) จากปริมาณอินทรีย์ carbon ของแต่ละชั้นความลึกของทุกชุดดินตัวแทน
4. คำนวนอัตราการซับซึมน้ำ (Sat. hydraulic conductivity: ซม./ชม.) ของแต่ละชั้นความลึกของทุกชุดดินตัวแทน
5. ประเมินปริมาณรากพืชและความลึกของรากของแต่ละชั้นความลึกของทุกชุดดินตัวแทน

ลักษณะข้อมูลอยู่ในรูปแผนที่ทั้งในรูปแบบเอกสาร และแผนที่เชิงเลข (digital map) สามารถนำไปวิเคราะห์ข้อมูลเชิงพื้นที่ด้วยระบบสารสนเทศภูมิศาสตร์ (Geographic Information System : GIS)



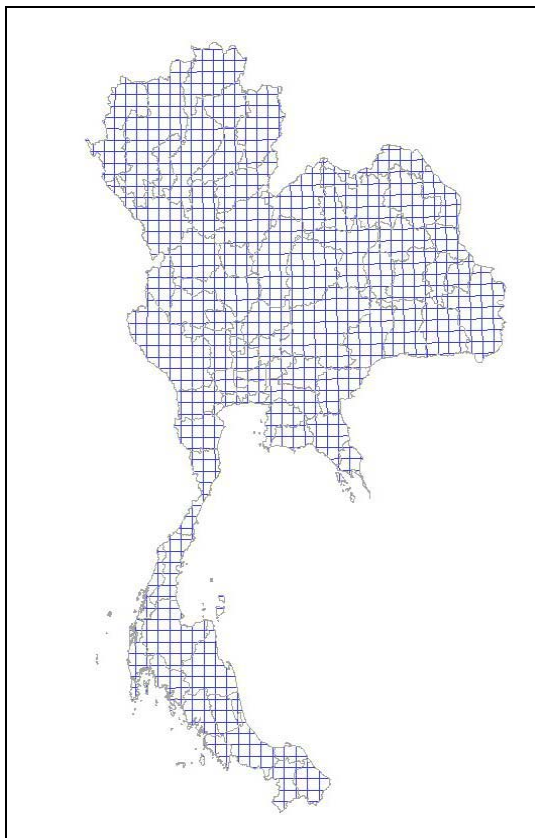
ภาพที่ 2. การกระจายตัวของกลุ่มชุดดินที่ใช้ในการจำลองผลกระทบของภาวะโลกร้อนต่อผลผลิตของข้าว อ้อย มัน สำปะหลัง และข้าวโพด

ข้อมูลภูมิอากาศ

ข้อมูลภูมิอากาศรายวันที่ใช้ในการวิจัยครั้งนี้ ประกอบด้วยข้อมูล 2 ประเภทคือ

- ข้อมูลภูมิอากาศรายวันในอนาคต จากปี ค.ศ. 1980-2099 ภายใต้สภาพของการใช้พลังงานของโลก SRES A2 และ B2 ซึ่งได้จากการประเมินของแบบจำลองภูมิอากาศระดับภูมิภาค (regional climate model GCM) PRECIS (Jones et.al., 2004) ที่มีรายละเอียดเชิงพื้นที่ของการประเมินเท่ากับ 20×20 กิโลเมตร การประเมินของแบบจำลอง PRECIS นั้นได้ใช้ข้อมูลของ boundary condition จากแบบจำลองภูมิอากาศระดับโลก (global climate model) ECHAM 4 (Roeckner et.al., 1996) ข้อมูลภูมิอากาศนี้ได้รับการอนุเคราะห์จากสถาบัน SEA START RC จุฬาลงกรณ์มหาวิทยาลัย และเป็นข้อมูลที่จะใช้ในการประเมินผลกระทบจากภาวะโลกร้อนต่อผลผลิตพืชทั้ง 4 ชนิดในอนาคต ภาพที่ 3 แสดง การกระจายตัวเชิงพื้นที่ของขอบเขตภูมิอากาศ (กริดอากาศ)
- ข้อมูลภูมิอากาศรายวันในอดีต เป็นข้อมูลที่ได้จากการวัดภาคสนาม ใช้สำหรับการตรวจสอบการประเมินผลของแบบจำลอง ข้อมูลภูมิอากาศที่ได้จากการวัดภาคสนามนี้จะเป็นข้อมูลที่วัดในพื้นที่ๆ ทำการเก็บข้อมูล

ผลผลิตและการเจริญเติบโตของพืชภาคสนาม ที่นำมาใช้ในการตรวจสอบแบบจำลอง แต่ในกรณีที่การเก็บข้อมูลพืชไม่ได้ทำการวัดสภาพภูมิอากาศควบคู่ไปด้วย ก็จะใช้ข้อมูลจากสถานีตรวจวัดภูมิอากาศที่อยู่ใกล้พื้นที่ๆ ทำการเก็บข้อมูลพืชมากที่สุด ซึ่งเป็นข้อมูลที่เก็บรวมโดย กรมอุตุนิยมวิทยา เนื่องจากข้อมูลจากการวัดภาคสนามใช้เฉพาะการ validate แบบจำลองเท่านั้น ดังนั้นจึงยังไม่รวมไว้ในฐานข้อมูลกลางในการวิจัยนี้



ภาพที่ 3. เขตภูมิอากาศ รายละเอียดระดับ 20×20 ตารางกิโลเมตร จากแบบจำลองระดับภูมิภาค (RCM) ที่ใช้ในการจำลองผลกระทบของภาวะโลกร้อนต่อผลผลิตของข้าว อ้อย มันสำปะหลัง และข้าวโพด

ข้อมูลพื้นที่ปลูกพืช

ข้อมูลพื้นที่ปลูกข้าว อ้อย มันสำปะหลัง และข้าวโพดนั้น ได้มาจากข้อมูลแผนที่การใช้ประโยชน์ที่ดินของโปรแกรม AgZone 1.0 (ศูนย์เทคโนโลยีสารสนเทศ, 2544) ซึ่งมีรายการการใช้ประโยชน์ที่ดินอื่นๆ รวมอยู่ด้วยถึง 1912 รายการ ข้อมูลขนาดพื้นที่และแหล่งปลูกของพืชทั้ง 4 ชนิดนี้ได้มาจากการแปลงภาพถ่ายดาวเทียม LANDSAT 5 TM ปี 2543-2544 และเป็นข้อมูลที่แสดงถึงขนาดของพื้นที่ๆ สามารถจะปลูกพืชเหล่านี้ได้

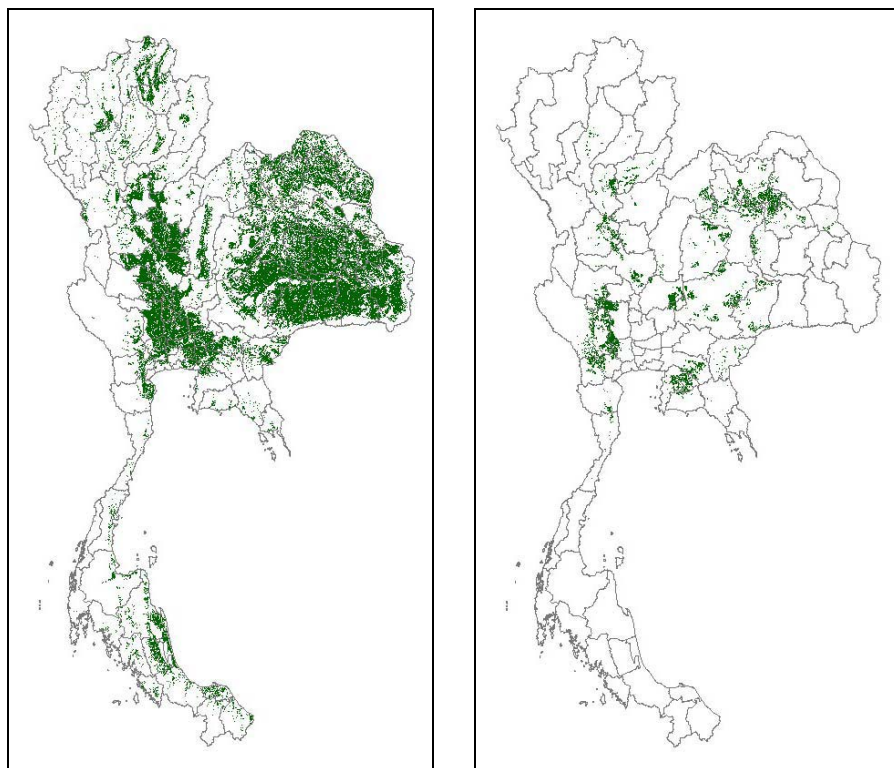
การแยกข้อมูลพื้นที่การปลูกพืชออกจากข้อมูลแผนที่การใช้ประโยชน์ที่ดิน โดยใช้โปรแกรม ArcView 3.2a มี 4 ขั้นตอนหลักโดยสังเขปดังนี้ (รายละเอียดในรายงานความก้าวหน้าครั้งที่ 1)

ขั้นตอนที่ 1 การเชื่อมตารางคุณลักษณะของแผนที่การใช้ประโยชน์ที่ดินกับตารางรายการการใช้ประโยชน์ที่ดินโดยการใช้คำสั่ง *Joint table*

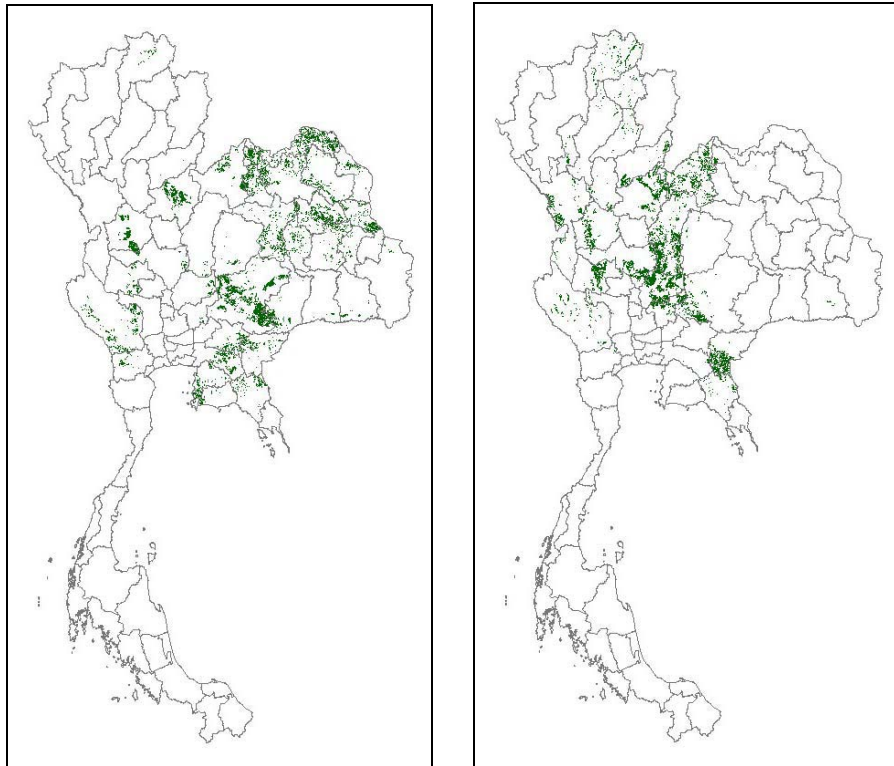
ขั้นตอนที่ 2 การเลือกเฉพาะรายการการใช้ประโยชน์ที่ดินที่ต้องการ คือ พื้นที่ปลูกข้าว อ้อย มันสำปะหลัง และข้าวโพด โดยใช้คำสั่ง *query*

ขั้นตอนที่ 3 สร้างแผนที่ใหม่จากการการใช้ประโยชน์ที่ดินที่ต้องการ โดยการใช้คำสั่ง *converts to shape file* ซึ่งจะได้แผนที่การกระจายตัวของพื้นที่ปลูกพืชแต่ละชนิด แสดงในภาพที่ 4ก สำหรับพื้นที่ปลูกข้าว ภาพที่ 4ข พื้นที่ปลูกอ้อย ภาพที่ 4ค พื้นที่ปลูกมันสำปะหลัง และภาพที่ 4ง พื้นที่ปลูกข้าวโพด

ขั้นตอนที่ 4 วิเคราะห์ขนาดพื้นที่ปลูกพืชทั้ง 4 ชนิด



ภาพที่ 4ก. และ 4ข. พื้นที่ปลูกข้าว (ซ้าย) และ พื้นที่ปลูกอ้อย (ขวา)



ภาพที่ 4ค. และ 4ง. พื้นที่ป่าลุกมันสำปะหลัง (ซ้าย) และ พื้นที่ป่าลุกข้าวโพด (ขวา)

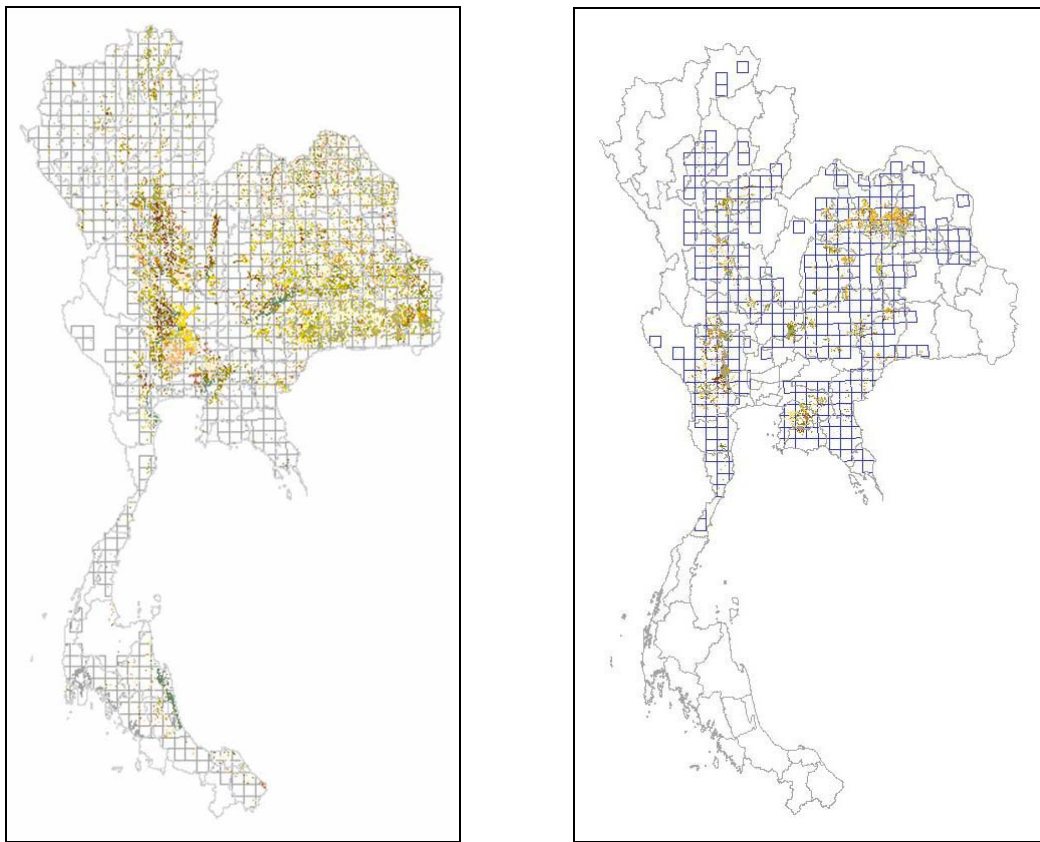
การสร้างหน่วยย่อยการผลิตพืช (SMU)

เมื่อได้แผนที่พื้นที่ป่าลุกพืชแต่ละชนิดแล้ว นำแผนที่ของพืชแต่ละชนิดมาสร้างหน่วยย่อยการผลิตพืช (SMU) โดยใช้เทคนิคการซ้อนทับ (Overlay Technique) ซึ่งมีขั้นตอนโดยสังเขปดังนี้

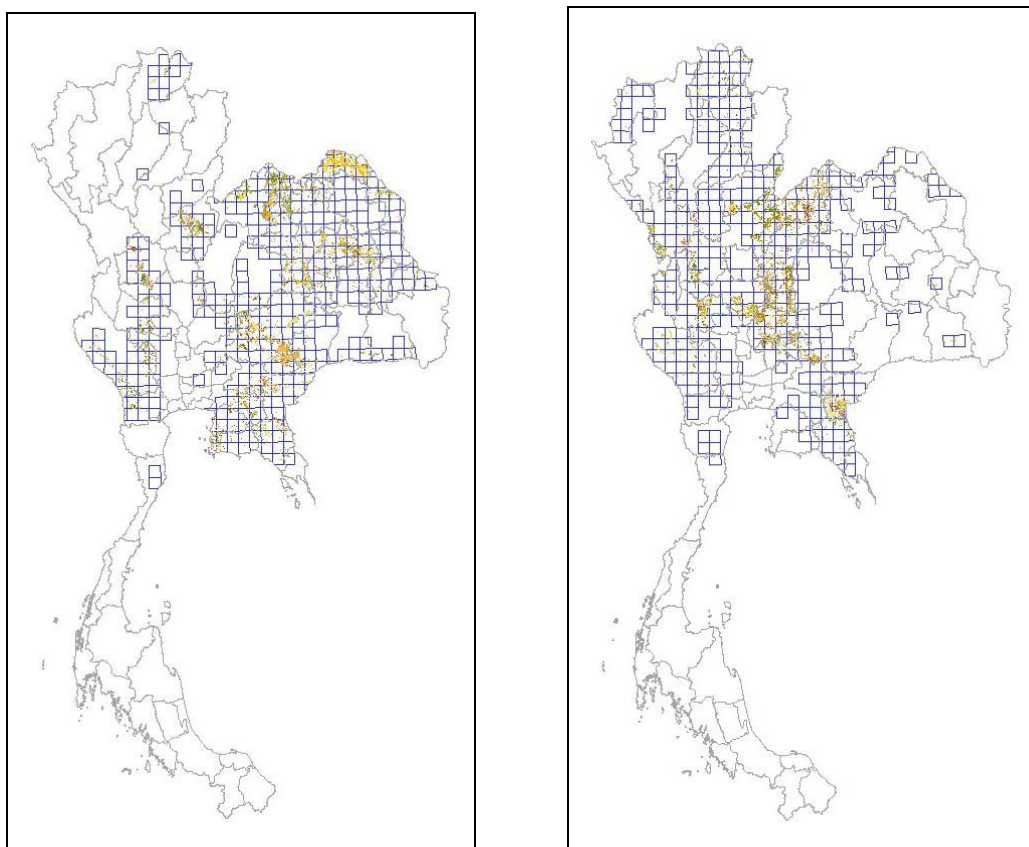
ขั้นตอนที่ 1 ขั้นตอนทับแผนที่ป่าลุกพืชแต่ละชนิดกับแผนที่ชุดกลุ่มดินของประเทศไทย โดยใช้คำสั่ง *intersect* ผลที่ได้คือ ข้อมูลแผนที่กลุ่มชุดดินต่าง ๆ ในพื้นที่ป่าลุกพืชแต่ละชนิด

ขั้นตอนที่ 2 นำแผนที่ ๆ ได้ในขั้นตอนที่ 1 มาซ้อนทับกับแผนที่กริดอากาศ ขนาด 20×20 กิโลเมตร ของแบบจำลองภูมิอากาศระดับภูมิภาค PRECIS โดยใช้คำสั่ง *intersect* ผลลัพธ์ที่ได้เป็นแผนที่พื้นที่ป่าลุกพืชแต่ละชนิดที่ประกอบไปด้วยหน่วยอยู่ๆ ดังแสดงในภาพที่ 5ก สำหรับข้าว ภาพที่ 5ข สำหรับอ้อย ภาพที่ 5ค สำหรับมันสำปะหลัง และภาพที่ 5ง สำหรับข้าวโพด แต่หน่วยมีสภาพพื้นาอากาศและดินแตกต่างกัน (SMU) และเป็นองค์ประกอบของระบบฐานข้อมูลที่สำคัญสำหรับการศึกษานี้ ทั้งในการ validate แบบจำลอง การวิเคราะห์พื้นที่วิกฤตที่จะได้รับผลกระทบที่รุนแรง และหาทางเลือกในการปรับตัว

ขั้นตอนที่ 4 วิเคราะห์ขนาดของหน่วยย่อยการผลิตของพืชทั้ง 4 ชนิด ผลการวิเคราะห์ (ตารางที่ 1) ชี้ว่า พื้นที่ๆ สามารถบล็อกข้าวได้มีพื้นที่มากที่สุด (58,383,689 ไร่) ส่วนพื้นที่ๆ สามารถบล็อกพืชไร่ทั้ง 3 มีพื้นที่ใกล้เคียงกัน สภาพแวดล้อมของพื้นที่ป่าลุกข้าวจะมีความหลากหลายของสภาพแวดล้อมมากที่สุด โดยมีจำนวน SMU มากถึง 9,254 หน่วย แต่โดยเฉลี่ยพื้นที่ของ SMU ของพืชทั้ง 4 จะมีขนาดใกล้เคียงกัน เช่นเดียวกันกับค่าเบี่ยงเบนมาตรฐาน



ภาพที่ 5ก. และ 5ข. หน่วยย่อยการผลิตของข้าว (ข้าว) และ หน่วยย่อยการผลิตของอ้อย (อ้อย)



ภาพที่ 5ค. และ 5ง. หน่วยย่อยการผลิตของมันสำปะหลัง (ข้าย) และ หน่วยย่อยการผลิตของข้าวโพด (ขวา)

รายละเอียดของการดำเนินงานเสนอในรายงานความก้าวหน้าครั้งที่ 1 ซึ่งพื้นที่ปลูกในบางตารางกริดจะมีขนาดเล็กมาก และไม่สามารถแสดงให้เห็นได้ชัดในภาพทั้ง 4

ตารางที่ 1. สรุปข้อมูลหน่วยย่อยการผลิตของข้าว อ้อย มันสำปะหลัง และข้าวโพด

	ข้าว	อ้อย	มันสำปะหลัง	ข้าวโพด
พื้นที่ของ SMU ทั้งหมด (ไร่)	58,383,689	12,768,268	14,912,127	12,318,420
จำนวน polygon ของ SMU ทั้งหมด	396,199	36,177	50,672	33,947
จำนวน SMU ทั้งหมด	9,254	2,821	3,345	2,908
ขนาด SMU ที่เล็กที่สุด (ไร่)	< 1	<1	<1	<1
ขนาด SMU ที่ใหญ่ที่สุด (ไร่)	224,381	175,174	193,411	129,005
ค่าเฉลี่ยขนาดของ SMU (ไร่)	6317	4,525	4,456	4,236
ค่าเบี่ยงเบนมาตรฐาน (ไร่)	15,946	11,575	11,209	10,657

การตรวจสอบความถูกต้องของการประเมินผลของแบบจำลอง

แบบจำลองที่ใช้ในการประเมินผลกระทบของการปลูกพืชในโครงการนี้คือโปรแกรมระบบสนับสนุนการตัดสินใจเพื่อถ่ายทอดเทคโนโลยีการเกษตร (Decision Support System for Agrotechnology Transfer; DSSAT) (Uehara and Tsuji, 1998) ที่บรรจุไว้ด้วยแบบจำลองการเจริญเติบโตของข้าว CERES-Rice (Singh *et al.*, 1993) อ้อย CANEGRO (O'Leary, 2000) มันสำปะหลัง GUMCAS (Matthews and Hunt, 1994) และข้าวโพด CERES-Maize (Jones and Kiniry, 1986) แบบจำลองเหล่านี้ได้ถูกทดสอบและใช้งานในระดับจังหวัดหรือภูมิภาคของประเทศไทยมาแล้ว (วินัย และคณะ, 2547; สมชาย และคณะ, 2548; อรรถชัย และคณะ, 2545; เมธี และคณะ, 2543) ดังนั้นการทดสอบครั้งนี้จึงเป็นการทดสอบความสามารถของแบบจำลองในการประเมินผลในขอบเขตที่กว้างขึ้น ในระดับประเทศ การดำเนินการทดสอบแบบจำลองแบ่งออกเป็น 2 ขั้นตอนย่อยคือ

- การเลือกข้อมูลผลผลิตพืชที่ได้จากการวัดภาคสนามเพื่อใช้เปรียบเทียบกับผลผลิตที่ได้จากการจำลอง
- การจำลองผลผลิตพืช และการเปรียบเทียบกับข้อมูลผลผลิตภาคสนาม ณ จุดที่ได้คัดเลือกในขั้นตอนที่ 1

การเลือกข้อมูลผลผลิตพืชจากการวัดภาคสนาม

ในทางปฏิบัติจะไม่สามารถ validate แบบจำลองได้ทุกสภาพของการผลิต ตามจำนวนของ SMU ดังนั้นจึงต้องทำการเลือกพื้นที่ตัวแทนของพื้นที่ปลูก เพื่อไม่ให้เกิดการ偏差 (bias) ให้น้ำหนักกับพื้นที่บริเวณใดบริเวณหนึ่งมากกว่าพื้นที่อื่น ข้อมูลภาคสนามที่นำมาใช้ตรวจสอบแบบจำลองนั้นจะต้องมีการกระจายตัวไปตามแหล่งผลิตต่างๆ ของประเทศอย่างเหมาะสม เป็นไปตามระดับของการผลิต แหล่งผลิตเหล่านี้จะมีความหนาแน่นของการปลูกพืชนิดนั้นๆ สูง และมีพื้นที่ปลูกติดต่อกันเป็นพื้นที่กว้าง ดังนั้นจึงได้นำข้อมูล SMU จากระบบฐานข้อมูลที่ได้สร้างไว้มาประยุกต์ใช้กำหนดขอบเขตของแหล่งผลิต

จากข้อมูลดังกล่าว เมื่อใช้พื้นที่ตารางสี่เหลี่ยม 20×20 กิโลเมตร เป็นกรอบอ้างอิงในการประเมินความหนาแน่นของพื้นที่ปลูก (พื้นที่ปลูก/พื้นที่ดิน) จะเห็นได้ชัดเจนถึงความแตกต่างของความหนาแน่น ในภาพรวมแหล่งปลูกพืชทั้ง 4 ชนิดของประเทศไทย (zone) จะแบ่งเป็น 5-6 แหล่งเท่านั้น โดยมีพื้นที่ปลูกที่หนาแน่นอยู่ในบริเวณส่วนกลางของแหล่งปลูก และลดลงเมื่อห่างออกไป ดังที่เห็นได้ในภาพที่ 5a-5g บริเวณที่เป็นรอยต่อระหว่างแหล่งปลูกจะมีความหนาแน่นต่ำ หากนำข้อมูลภาคสนามจากพื้นที่ๆ มีความหนาแน่นต่ำดังกล่าวมาใช้ตรวจสอบการประเมินผลของแบบจำลอง อาจเป็นการให้น้ำหนักที่มากเกินไปกับสภาพแวดล้อมที่ปลูกพืชชนิดนั้นๆ น้อย และมีความสำคัญต่อระบบการผลิตพืชชนิดนั้นในระดับประเทศ ดังนั้นจึงกันพื้นที่ๆ มีความหนาแน่นของการปลูกที่อยู่ในช่วงที่มีความหนาแน่นต่ำๆ ออกจากพื้นที่ๆ ใช้ในการคัดเลือกข้อมูลภาคสนาม

ขั้นตอนดำเนินการที่จะให้ได้ข้อมูลดังกล่าวแบ่งออกเป็น 5 ขั้นตอน

ขั้นตอนที่ 1 รวมโพลีกอนของพื้นที่ปลูกพืชในแต่ละตารางกริด ขนาด 20×20 กิโลเมตร เข้าด้วยกันและคำนวณหาความหนาแน่นของพื้นที่ปลูกพืช (พื้นที่ปลูก/พื้นที่ดิน) โดยการใช้คำสั่ง summarize และ calculate

ขั้นตอนที่ 2 แบ่งชั้นความหนาแน่นของพื้นที่ปลูกพืช ออกเป็นออกเป็น 10 ชั้น (range) โดย

$$range = \frac{Max.Density - Min.Density}{10}$$

จากนั้นสร้างแผนที่โดยการใช้คำสั่ง *classify* ผลที่ได้คือแผนที่ข้อมูลการปลูกพืชตามระดับชั้นความหนาแน่นของการปลูก ข้อมูลการกระจายตัวของความหนาแน่นและพื้นที่ปลูกพืชทั้ง 4 ชนิด ได้สรุปไว้ในตารางที่ 2

ขั้นตอนที่ 3 คำนวณสัดส่วนของพื้นที่ของแต่ละชั้น เพื่อใช้ประกอบการพิจารณาในการตัดพื้นที่ๆ มีความหนาแน่นต่างๆ กัน โดยคิดจาก

$$Area in each class \% = \frac{Class area}{Total area} \times 100$$

ขั้นตอนที่ 4 กำหนดขอบเขตพื้นที่ของแหล่งผลิตพืชแต่ละชนิด โดยพิจารณาจากพื้นที่ปลูกและความหนาแน่นควบคู่กัน โดยที่พื้นที่ปลูกต้องมีขนาดมากพอและมีความหนาแน่นสูงพอที่จะเป็นตัวแทนได้ ซึ่งจะทำให้การใช้ข้อมูลภาคสนามที่ได้จากการวัดภายนอกของพื้นที่เหล่านี้ไม่มีการลำเอียงตามที่ได้กล่าวไว้ ผลที่ได้จากขั้นตอนนี้คือแผนที่แหล่งปลูกที่มีความหนาแน่นค่อนข้างสูงของประเทศ ดังภาพที่ 6a-6c ซึ่งแสดงพร้อมกับตำแหน่งของข้อมูลผลผลิตภาคสนามที่นำมาใช้ในการเปรียบเทียบกับผลจากการจำลอง

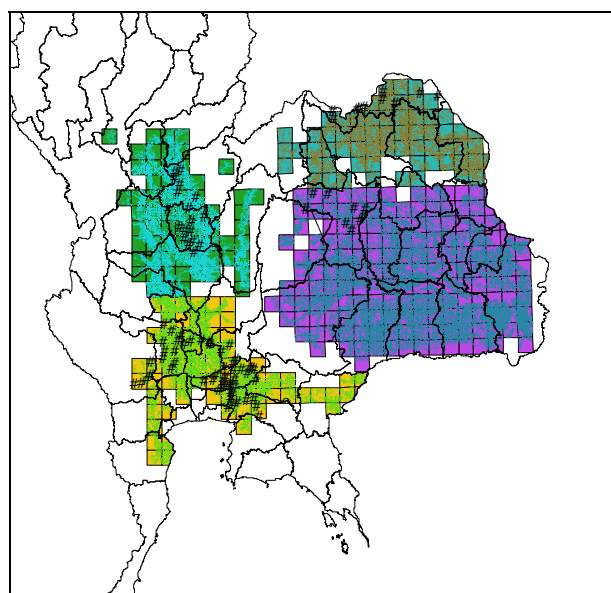
ขั้นตอนที่ 5 นำแผนที่ของจุดที่ได้ทำการเก็บข้อมูลผลผลิตภาคสนามมาขอนับกับแผนที่ขอบเขตของแหล่งปลูกพืช และเลือกเฉพาะข้อมูลที่อยู่ในพื้นที่ดังกล่าว จากนั้นจึงทำการคัดเลือกข้อมูลที่อยู่ในพื้นที่แหล่งปลูกพืชอีกครั้ง โดยให้มีการกระจายตัวที่สม่ำเสมอในพื้นที่นั้นๆ และมีสัดส่วนของจำนวนข้อมูลในแต่ละเขตของแหล่งปลูกใกล้เคียงกับสัดส่วนของพื้นที่ปลูกของแต่ละเขต ดังแสดงในตารางที่ 3a-3c

ตารางที่ 2. ระดับความหนาแน่นและพื้นที่ในแต่ละระดับความหนาแน่นของการปลูก ข้าว อ้อย มันสำปะหลัง และข้าวโพด

ชั้น	ข้าว		อ้อย		มันสำปะหลัง		ข้าวโพด	
	% ความ หนาแน่น	พื้นที่ (ล้านไร่)						
1	0-10	4.64	0-2	1.48	0-7	2.22	0-0.6	1.5
2	>10-20	6.18	>2-9	1.79	>7-15	2.77	>0.6-1.3	1.5
3	>20-30	9.02	>9-16	1.58	>15-22	1.98	>1.3-1.9	1.3
4	>30-40	10.04	>16-23	1.50	>22-30	2.84	>1.9-2.5	2.2
5	>40-50	9.47	>23-29	1.46	>30-37	2.47	>2.5-3.2	1.3
6	>50-60	11.82	>29-36	1.68	>37-44	1.23	>3.2-3.8	0.8
7	>60-70	5.71	>36-43	1.17	>44-52	1.11	>3.8-4.4	1.1
8	>70-80	1.19	>43-48	0.75	>52-59	0.00	>4.4-5.0	1.5
9	>80-90	0.00	>48-54	0.63	>59-66	0.00	>5.0-5.7	0.2
10	>90-100	0.38	>54-61	0.72	>66	0.29	>5.7-6.3	0.9
รวม		58.45	12.77		14.91		12.3	

แหล่งปลูกข้าว

จากข้อมูลความหนาแน่นและพื้นที่ฯ ปลูกข้าว เมื่อตัดชั้นที่ 1 และ ชั้นที่ 2 ออก จะเหลือพื้นที่ปลูกข้าวทั้งหมด 81 ของพื้นที่ทั้งหมด และขอบเขตของแหล่งปลูกข้าวปรากฏชัดเจน สามารถจัดแบ่งเป็น 4 เขต คือ ภาคตะวันออกเฉียงเหนือตอนบน ภาคตะวันออกเฉียงเหนือตอนล่าง ภาคเหนือตอนล่าง และภาคกลางตอนบน และภาคกลางและภาคตะวันออก ดังแสดงในภาพที่ 6ก



ภาพที่ 6ก. แผนที่แหล่งปลูกข้าวที่มีความหนาแน่นค่อนข้างสูง พร้อมกับตำแหน่งของข้อมูลผลผลิตภาคสนาม (จุดสีดำ) ที่นำมาใช้ในการเปรียบเทียบกับผลจากการจำลอง

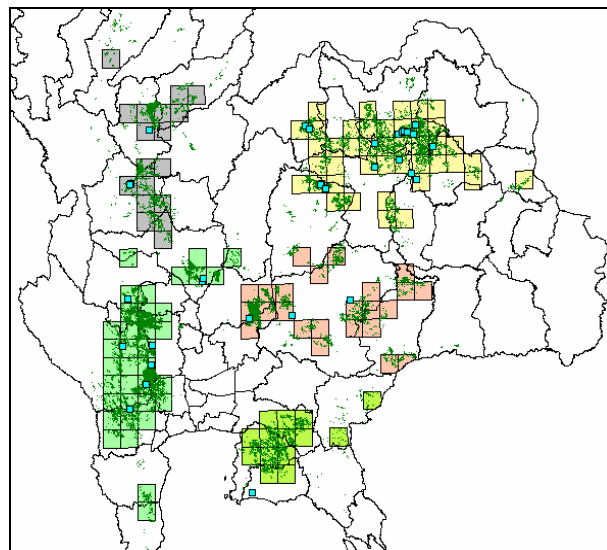
ข้อมูลพื้นที่และสัดส่วนของเขตแหล่งผลิตข้าวทั้ง 4 เขต ได้สรุปไว้ในตารางที่ 3ก เขตปลูกข้าวแหล่งใหญ่คือ ภาคอีสานตอนล่าง มีพื้นที่มากกว่า 23 ล้านไร่ หรือคิดเป็นพื้นที่ร้อยละ 48 ของพื้นที่ปลูกข้าวทั้งหมด สัดส่วนของแหล่งผลิตทั้ง 4 มีอัตราส่วน 1 : 4 : 2 : 2 และได้ใช้อัตราส่วนนี้ร่วมกับลักษณะของระบบการผลิต กำหนดสัดส่วนข้อมูลจากแต่ละเขตที่จะนำมาทำการ validate แบบจำลอง

ตารางที่ 3ก. พื้นที่ปลูกข้าวในแต่ละเขต และสัดส่วนของพื้นที่ฯ ใช้กำหนดสัดส่วนจำนวนตัวแทนข้อมูลภาคสนามเพื่อใช้ในการตรวจสอบการประเมินของแบบจำลอง

เขตแหล่งผลิต	พื้นที่ (ล้านไร่)	สัดส่วน
ภาคตะวันออกเฉียงเหนือตอนบน	6.7	1
ภาคตะวันออกเฉียงเหนือตอนล่าง	24.0	4
ภาคเหนือตอนล่างและภาคกลางตอนบน	9.8	2
ภาคกลางและภาคตะวันออก	9.6	2
รวม	50.1	-

แหล่งปลูกอ้อย

ในการนี้ของอ้อย สามารถแบ่งพื้นที่ปลูกออกได้เป็น 5 เขตของแหล่งปลูก ได้แก่ เขตพื้นที่ภาคตะวันออกเฉียงเหนือตอนบน ภาคตะวันออกเฉียงเหนือตอนล่างและภาคกลางตอนบน ภาคตะวันออก ภาคกลาง และภาคเหนือตอนล่าง (ภาพที่ 6x)



ภาพที่ 6x. แผนที่แหล่งปลูกอ้อยที่มีความหนาแน่นค่อนข้างสูง พร้อมกับตำแหน่งของข้อมูลผลผลิตภาคสนาม (จุดสีฟ้า) ที่นำมาใช้ในการเปรียบเทียบกับผลจากการจำลอง

ดินในเขตแหล่งผลิตอ้อยในภาคตะวันออกเฉียงเหนือตอนบน ส่วนใหญ่เป็นชุดดินโคราช (Kt) ซึ่งมีพื้นที่ประมาณ 8.7 แสนไร่ คิดเป็นร้อยละ 23.7 ของพื้นที่ปลูกอ้อยในเขตแหล่งผลิตที่ 1 ดินในเขตแหล่งผลิตอ้อยในภาคตะวันออกเฉียงเหนือตอนล่าง รวมถึงภาคกลางตอนบน ส่วนใหญ่ยังเป็นชุดดินโคราช (Kt) เหมือนกับเขตแหล่งผลิตที่ 1 มีพื้นที่ 1.3 แสนไร่ หรือคิดเป็นร้อยละ 8.7 ของพื้นที่ปลูกอ้อยในเขตที่ 1 ในเขตแหล่งผลิตอ้อยภาคตะวันออก ชุดดินบ้านบึง (Bbg) เป็นชุดดินที่สำคัญ มีพื้นที่ 1.3 แสนไร่ หรือร้อยละ 10 ส่วนใหญ่อยู่ในจังหวัดชลบุรี สำหรับเขตแหล่งผลิตอ้อยภาคกลางและภาคเหนือตอนล่าง ชุดดินที่สำคัญและมีพื้นที่ปลูกมากคือ ชุดดินตาคลี (Tk) 3.1 แสนไร่ คิดเป็นร้อยละ 8.7 เขตแหล่งผลิตที่ 5 ภาคเหนือตอนล่าง ประกอบด้วยชุดดินต่าง ๆ 120 ชุดดิน โดยชุดดินที่พบมาก ได้แก่ ชุดดินกำแพงแสน (Ks) พื้นที่ 1.7 แสนไร่ คิดเป็นร้อยละ 13

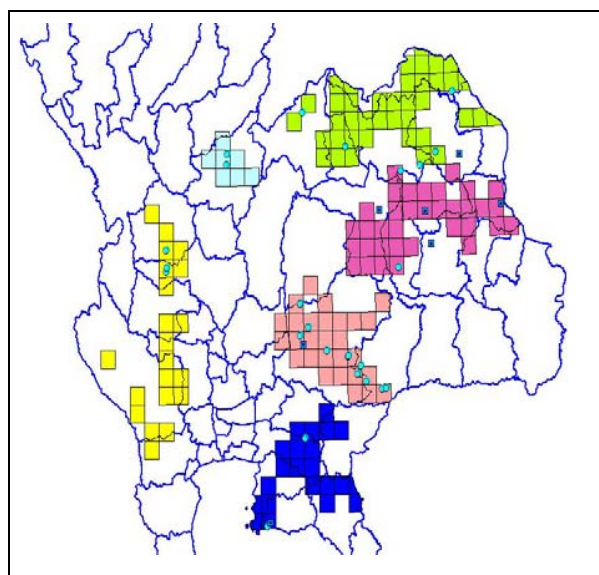
ข้อมูลพื้นที่และสัดส่วนของเขตแหล่งผลิตอ้อย ได้สรุปไว้ในตารางที่ 3x เขตปลูกอ้อยแหล่งใหญ่คือภาคตะวันออกเฉียงเหนือตอนบน มีพื้นที่ 3.7 ล้านไร่ และภาคกลางและภาคเหนือตอนล่าง 3.5 ล้านไร่ สัดส่วนของแหล่งผลิตทั้ง 5 มีอัตราส่วน 3 : 1 : 1 : 3 : 1 และได้ใช้อัตราส่วนนี้กำหนดสัดส่วนข้อมูลจากแต่ละเขตที่จะนำมาทำการทดสอบแบบจำลอง

ตารางที่ 3ข. พื้นที่ปลูกอ้อยในแต่ละเขต และสัดส่วนของพื้นที่ๆ ใช้กำหนดสัดส่วนจำนวนตัวแทนข้อมูลภาคสนามเพื่อใช้ในการตรวจสอบการประเมินของแบบจำลอง

เขตแหล่งผลิต	พื้นที่ (ล้านไร่)	สัดส่วน
ภาคตะวันออกเฉียงเหนือตอนบน	3.7	3
ภาคตะวันออกเฉียงเหนือตอนล่างและภาคกลางตอนบน	1.6	1
ภาคตะวันออก	1.2	1
ภาคกลาง	3.5	3
ภาคเหนือตอนล่าง	1.3	1
รวม	11.3	-

แหล่งปลูกมันสำปะหลัง

พื้นที่ปลูกมันสำปะหลังสามารถแบ่งเขตพื้นที่การผลิตมันสำปะหลังได้ เป็น 6 เขต ดังแสดงในภาพที่ 6ค



ภาพที่ 6ค. แผนที่แหล่งปลูกมันสำปะหลังที่มีความหนาแน่นค่อนข้างสูง พร้อมกับตำแหน่งของข้อมูลผลผลิตภาคสนาม (จุดสีฟ้า) ที่นำมาใช้ในการเปรียบเทียบกับผลจากการจำลอง

ในเขตภาคตะวันออกเฉียงเหนือตอนบน มีพื้นที่ป่าลุกรวม 3,416,448.75 ไร่ โดยส่วนใหญ่เป็นชุดดินโภน พิสัย (Pp) มีพื้นที่ประมาณ 1.44 ล้านไร่ เขตภาคตะวันออกเฉียงเหนือตอนกลาง มีพื้นที่ป่าลุกรวม 2,561,379.03 ไร่ ชุดดินส่วนใหญ่เป็นชุดดินจอมพระ (Cpr) มีพื้นที่ประมาณ 3.16 แสนไร่ เขตแหล่งผลิตภาคตะวันออกเฉียงเหนือตอนล่าง มีพื้นที่ป่าลุกรวม 2,906,914.02 ไร่ ดินส่วนใหญ่เป็นชุดดินชุมพวง (Cpg) ซึ่งมีพื้นที่ประมาณ 4.98 แสนไร่ เขตภาคตะวันออก มีพื้นที่ป่าลุกรวม 1,620,255.31 ไร่ โดยส่วนใหญ่เป็นชุดดินสติก (Suk) ซึ่งมีพื้นที่ประมาณ 1.84 แสนไร่ หรือคิดเป็นร้อยละ 11.55 ของพื้นที่ป่าลุกมันสำปะหลังในเขตแหล่งผลิตที่ 4 เขตภาคกลางมีพื้นที่ป่าลุกรวม 1,235,341.44 ไร่ โดยส่วนใหญ่เป็นชุดดินสติก (Suk) ซึ่งมีพื้นที่ประมาณ 1.49 แสนไร่ หรือคิดเป็นร้อยละ 12.08 ของพื้นที่ป่าลุกมันสำปะหลังในเขตแหล่งผลิตที่ 5 เขตภาคเหนือตอนล่าง มีพื้นที่ป่าลุกรวม 654,550.53 ไร่ โดยส่วนใหญ่เป็นชุดดินด่านชัย (Ds) ซึ่งมีพื้นที่ประมาณ 1.32 แสนไร่ หรือคิดเป็นร้อยละ 20.17 ของพื้นที่ป่าลุกมันสำปะหลัง ในเขตแหล่งผลิตที่ 6

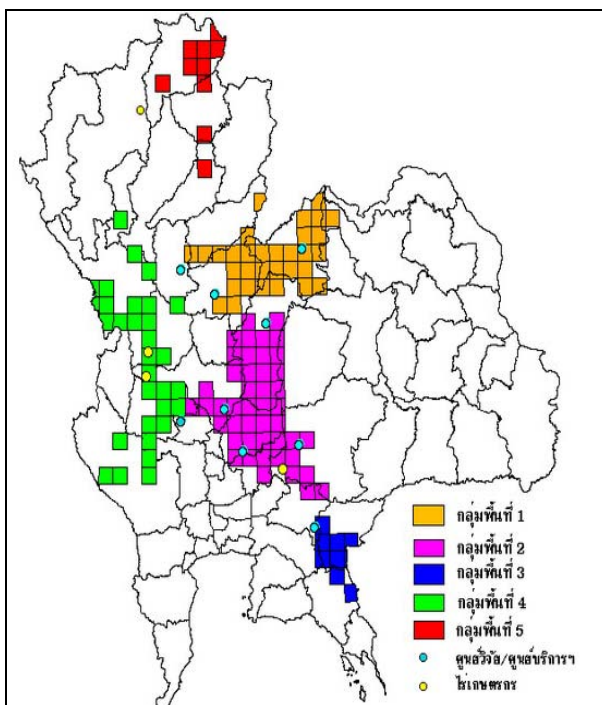
ภาคตะวันออกเฉียงเหนือเป็นภาคที่ป่าลุกมันสำปะหลังมากที่สุด สัดส่วนของพื้นที่ป่าลุกทั้ง 6 เขตมีอัตราส่วน 5 : 4 : 4 : 2 : 2 : 1 ตามลำดับ จึงได้ใช้อัตราส่วนนี้กำหนดสัดส่วนของข้อมูลที่จะนำมาทำการ ทดสอบความแม่นยำ ของแบบจำลอง แต่เนื่องจากสภาพการผลิตปัจจุบัน ในเขตแหล่งผลิตที่ 1 พื้นที่จังหวัดหนองคาย ซึ่งมีการป่าลุกมัน สำปะหลังมากมาแต่เดิม ได้มีการปรับเปลี่ยนพื้นที่จากการผลิตมันสำปะหลังไปเป็นยางพาราเป็นจำนวนมาก จึงได้ทำการปรับอัตราส่วนใหม่ เพื่อให้สอดคล้องกับสภาพการณ์ที่เปลี่ยนไป คือเป็น 4 : 6 : 7 : 3 : 2 : 1 ตามลำดับ ดังสรุป ในตารางที่ 3ค

ตารางที่ 3ค. พื้นที่ป่าลุกมันสำปะหลังในแต่ละเขต และสัดส่วนของพื้นที่ๆ ใช้กำหนดสัดส่วนจำนวนตัวแทนข้อมูล ภาคสนามเพื่อใช้ในการตรวจสอบการประเมินของแบบจำลอง

เขตแหล่งผลิต	พื้นที่ (ล้านไร่)	สัดส่วน
ภาคตะวันออกเฉียงเหนือตอนบน	3.5	4
ภาคตะวันออกเฉียงเหนือตอนกลาง	2.7	6
ภาคตะวันออกเฉียงเหนือตอนล่าง	2.9	7
ภาคตะวันออก	1.6	3
ภาคกลาง	1.3	2
ภาคเหนือตอนล่าง	0.7	1
รวม	12.7	-

แหล่งปลูกข้าวโพด

แหล่งปลูกข้าวโพดจะกระจายอยู่ในภาคตะวันออกเฉียงเหนือ ภาคเหนือตอนล่าง ภาคกลาง และบางส่วนของภาคตะวันออก และสามารถแบ่งเขตแหล่งผลิตออกเป็น 5 เขต ดังภาพที่ 6



ภาพที่ 69. แผนที่แหล่งปลูกข้าวโพดที่มีความหนาแน่นค่อนข้างสูง พร้อมกับตำแหน่งของข้อมูลผลผลิตภาคสนาม (จุดสีฟ้าและสีเหลือง) ที่นำมาใช้ในการเปรียบเทียบกับผลจากการจำลอง

ในเขตแหล่งผลิตภาคเหนืออตอนล่างและบางส่วนของภาคตะวันออกเฉียงเหนืออตอนบน รวมชุดดินที่พับในเขต
น้ำจำนวน 29 ชุดดิน ชุดดินที่พับมากคือ มากเหล็ก โดยมีพื้นที่เท่ากับ 431,065.11 ไร่ (ร้อยละ 16.61) เขตแหล่งผลิต
ในภาคกลางอตอนบนและภาคตะวันออกเฉียงเหนืออตอนล่าง ชุดดินลพบุรีเป็นกลุ่มชุดดินที่พับมาก มีพื้นที่เท่ากับ
961,952.16 ไร่ (ร้อยละ 20.04) รวมชุดดินที่พับในเขตน้ำจำนวน 34 ชุดดิน เขตแหล่งผลิตในภาคตะวันออก ชุดดินที่พับ^{มาก} ได้แก่ เชียงคาน โดยมีพื้นที่เท่ากับ 206,820.14 ไร่ (ร้อยละ 19.63) รวมชุดดินที่พับในเขตน้ำจำนวน 24 ชุดดิน
เขตแหล่งผลิตในบริเวณภาคเหนืออตอนล่างและภาคกลางชุดดินที่พับมากคือปากช่อง มีพื้นที่เท่ากับ 367,588.70 ไร่
(ร้อยละ 18.50) รวมชุดดินที่พับในเขตน้ำจำนวน 24 ชุดดิน เขตแหล่งผลิตที่ 5 คือภาคเหนืออตอนบน ชุดดินที่พับมาก
ไม่แลก กําแพงแบบ โอลิเย่ฟ์ชั่นนี้ ทั้งอัตรา 86,412.18 ไร่ (ร้อยละ 24.24) รวมชุดดินที่พับในเขตน้ำจำนวน 35 ชุดดิน

จากการแบ่งเขตแหล่งผลิตข้าวโพดเป็น 5 เขต มีพื้นที่ปลูกข้าวโพดทั้งหมด 10.9 ล้านไร่ หรือคิดเป็นพื้นที่ปลกร้อยละ 88 ของพื้นที่ปลูกข้าวโพดทั้งหมด เมื่อพิจารณาถึงสัดส่วนของพื้นที่ปลูกข้าวโพดของแต่ละเขต พบร้า มี

อัตราส่วน 2 : 4 : 1 : 2 : 1 จึงได้ใช้อัตราส่วนนี้กำหนดสัดส่วนข้อมูลผลผลิตพืชภาคสนามที่จะนำมาทำการ validate การประเมินผลของแบบจำลอง ดังสรุปในตารางที่ 3ง

ตารางที่ 3ง. พื้นที่ปลูกข้าวโพดในแต่ละเขต และสัดส่วนของพื้นที่ๆ ใช้กำหนดสัดส่วนจำนวนเดียวแทนข้อมูลภาคสนาม เพื่อใช้ในการตรวจสอบการประเมินของแบบจำลอง

เขตแหล่งผลิต	พื้นที่ (ล้านไร่)	สัดส่วน
ภาคเหนือตอนล่างและภาคตะวันออกเฉียงเหนือตอนบน	2.6	2
ภาคกลางตอนบนและภาคตะวันออกเฉียงเหนือตอนล่าง	4.8	4
ภาคภาคตะวันออก	1.1	1
ภาคเหนือตอนล่างและภาคกลาง	2.0	2
ภาคเหนือตอนบน	0.4	1
รวม	10.9	

การจำลองผลผลิตพืชและเปรียบเทียบกับผลผลิตจากการวัดภาคสนาม

แบบจำลองพืชในปัจจุบัน รวมทั้งแบบจำลองใน DSSAT เป็นแบบจำลองแบบ mechanistic แบบจำลองพืชจะสามารถจำลองการตอบสนองของพืชต่อ แสง อุณหภูมิ ความชื้นดิน ระดับของ CO₂ ในอากาศ และความอุดมสมบูรณ์ของไนโตรเจนในดิน ภายใต้เงื่อนไขที่มีการจัดการปัจจัยการผลิตอื่นๆ อย่างเหมาะสม เช่นการจัดการโรค แมลง และวัชพืช แม้จะมีข้อจำกัดตั้งแต่ล่าสุด แต่แบบจำลองเหล่านี้ยังสามารถใช้ประเมินผลกระทบจากการโลกร้อนต่อผลผลิตพืชได้เป็นอย่างดี เพะว่าผลกระทบโดยตรงนั้นเกิดจากการเปลี่ยนแปลงของ ระดับของ CO₂ อุณหภูมิ และฝน ส่วนผลกระทบทางอ้อม เช่นการเปลี่ยนแปลงของระดับของโรค แมลง และ วัชพืช นั้น แม้จะมีผลต่อผลผลิตพืช แต่เป็นปัจจัยที่สามารถควบคุมได้

ดังนั้นการจำลองการเจริญเติบโตพืชและการตรวจสอบแบบจำลองจึงดำเนินการภายใต้เงื่อนไขของสภาพการณ์ที่มีการจัดการปัจจัยการผลิตอื่นๆ เช่น การจัดการโรค แมลง วัชพืช และความอุดมสมบูรณ์ของธาตุอาหารอื่นๆ อย่างเหมาะสม ข้อมูลภาคสนามที่นำมาตรวจสอบแบบจำลองนี้จึงเป็นข้อมูลที่ได้มาจากการแปลงที่มีการจัดการใกล้เคียงกับสภาพของเงื่อนไขดังกล่าวมากที่สุด

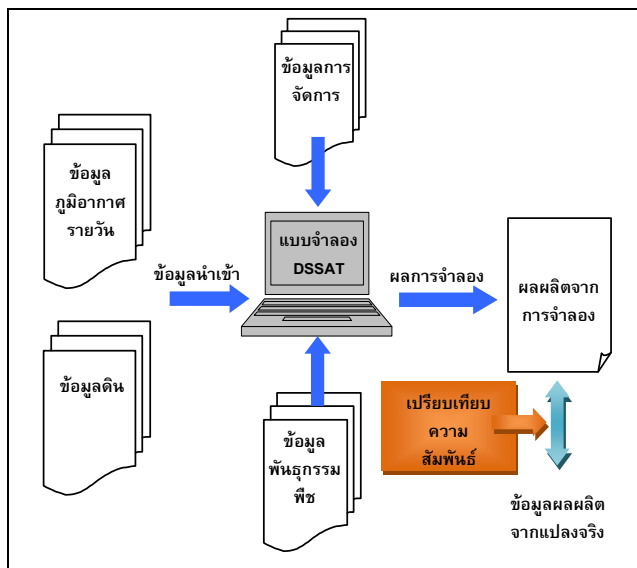
การ Validate Model DSSAT มีข้อมูลนำเข้าที่จำเป็นจำนวน 4 ชุด คือ ข้อมูลการจัดการ ข้อมูลดิน ข้อมูลอากาศ และข้อมูลสัมประสิทธิ์ทางพันธุกรรมของพืช วิธีการ Validate เริ่มจากการรวบรวมข้อมูลจากงานวิจัยในศูนย์วิจัยฯ ศูนย์บริการฯ และไร่เกษตรกร ที่กระจายอยู่ในพื้นที่ที่ต้องการจำลอง ดังที่ได้รายงานในขั้นตอน การเลือกข้อมูลผลผลิตพืชจากการวัดภาคสนาม เพื่อมาเปรียบเทียบกับผลที่ได้จากการจำลอง โดยใช้ชุดข้อมูลนำเข้าที่เกี่ยวข้องจากบริเวณเดียวกันหรือใกล้เคียงที่สุด เพื่อเป็นการยืนยัน ความนำเข้าที่ถูกต้องของแบบจำลองก่อนการนำไปประเมินการเจริญเติบโตและผลผลิตในขั้นตอนต่อไป

วิธีการจำลองผลผลิตและตรวจสอบผลการจำลอง

การ Validate Model มีขั้นตอน ดังนี้

ขั้นตอนที่ 1 ข้อมูลนำเข้า (Input for model simulation)

ได้ดำเนินการรวบรวมข้อมูลนำเข้า (input data) สำหรับใช้ในแบบจำลองข้าว อ้อย มันสำปะหลัง และข้าวโพด ได้แก่ ข้อมูลค่าสัมประสิทธิ์ทางพันธุกรรม (cultivar data) ข้อมูลภูมิอากาศรายวัน (daily weather data) ข้อมูลดิน (soil data) และข้อมูลเกี่ยวกับการจัดการพืช (management data) และข้อมูลการเจริญเติบโตพืชและผลผลิตจากแปลงทดลองจริงเพื่อใช้ตรวจสอบแบบจำลอง ดังแสดงในภาพที่ 7



ภาพที่ 7. องค์ประกอบของแบบจำลอง ข้อมูลนำเข้า ผลลัพธ์จากการประเมินผล และการปรับปรุงกับข้อมูลภาคสนาม

1.1 ข้อมูลค่าสัมประสิทธิ์ทางพันธุกรรมของพืช (cultivar data)

ค่าสัมประสิทธิ์ทางพันธุกรรมข้าว ได้แบ่งพันธุ์ข้าวออกเป็น 2 กลุ่มคือ กลุ่มที่ 1 คือ ข้าวนาชาติประทวน ได้ใช้สัมประสิทธิ์ทางพันธุกรรมของพันธุ์ข้าวสุพรรณบุรี 1 ที่นิยมปลูกมากเป็นตัวแทน ส่วนกลุ่มที่ 2 คือข้าวนาลำนำฝน ได้ใช้สัมประสิทธิ์ทางพันธุกรรมของพันธุ์ข้าวขาวคาดอกมะลิ 105 เป็นตัวแทน

ค่าสัมประสิทธิ์ทางพันธุกรรมอ้อย ใช้ข้อมูลของพันธุ์อ้อย 3 (ทักษิณา และคณะ, 2549) โดยเป็นพันธุ์อ้อยของกรมวิชาการเกษตร

ค่าสัมประสิทธิ์ทางพันธุกรรมมันสำปะหลัง ใช้ข้อมูลของพันธุ์เกษตรศาสตร์ 50 และ พันธุ์ระยอง 72 (วินัย และคณะ, 2542) เป็นพันธุ์มันสำปะหลังที่มีการปลูกกันอย่างแพร่หลาย และให้ผลผลิตสูง ซึ่งได้รับการพัฒนาพันธุ์โดยมหาวิทยาลัยเกษตรศาสตร์และกรมวิชาการเกษตร ตามลำดับ

ค่าสัมประสิทธิ์ทางพันธุกรรมข้าวโพด ใช้ข้อมูลของพันธุ์นครสวรรค์ 72 (สมชาย และศักดิ์ดา, 2544) โดยเป็นพันธุ์ข้าวโพดลูกผสมเดียวของกรมวิชาการเกษตร

1.2 ข้อมูลทางภูมิอากาศรายวัน (weather data) จากกรมอุตุนิยมวิทยา

1.3 ข้อมูลดิน (soil data) จากกรมพัฒนาที่ดิน

1.4 ข้อมูลเกี่ยวกับการจัดการพืช (experiment details) จากงานทดลอง และทดสอบต่างๆ ทั้งในศูนย์วิจัยฯ ศูนย์บริการวิชาการฯ ของกรมวิชาการเกษตร กรมการข้าว และในไร่เกษตรกร ตั้งแต่ปี 2537 ถึงปี 2550 ซึ่งได้แสดงรายละเอียดไว้ในรายงานความก้าวหน้าฉบับที่ 1

ใน file นี้ 乃จากจากด้องระบุข้อมูลที่เกี่ยวข้องกับการจัดการพืช เช่น วันปลูก การให้น้ำ การจัดการปุ๋ย ฯลฯ แล้ว ผู้ใช้ต้องระบุรหัสของ พันธุ์พืช ดิน และสถานีตรวจวัดภูมิอากาศ เพื่อให้ input module ของโปรแกรม DSSAT สามารถค้นหาค่าคุณสมบัติต่าง ๆ เหล่านี้ได้อย่างถูกต้อง จากฐานข้อมูล ใน file ต่างๆ

1.5 ข้อมูลผลผลิตจากแปลงจริง (observed data) ได้ดำเนินการรวมข้อมูลในส่วนของผลผลิตของพืชต่าง ๆ จากแปลงทดลองเปรียบเทียบพันธุ์ ทั้งในศูนย์วิจัยฯ ศูนย์บริการวิชาการฯ รวมทั้งแปลงทดสอบในไร่เกษตรกร ในจังหวัดต่าง ๆ ของประเทศไทย (เพื่อให้สะดวกต่อการเปรียบเทียบผลการจำลองกับข้อมูลจริงภาคสนาม โปรแกรม DSSAT ได้มีทางเลือกให้ผู้ใช้สามารถระบุให้โปรแกรม DSSAT นำค่าข้อมูลจริงภาคสนามไปเปรียบเทียบกับผลการจำลองและแสดงผลในรูปแบบที่เหมาะสมได้ ดังนั้น ข้อมูลผลผลิตจากแปลงจริงไม่ใช้ข้อมูลนำเข้าที่ใช้ในการจำลองผล)

ขั้นตอนที่ 2 การสร้าง experiment details file (FILEX) และ observed data file (FILE A)

เมื่อได้ข้อมูลนำเข้ามาที่ต้องการแล้ว ขั้นตอนต่อไปเป็นการสร้างไฟล์แสดงรายละเอียดของการทดลอง (experiment details file FILEX) ที่ระบุถึงการจัดการต่าง ๆ ในงานทดลอง รวมถึงสถานที่ เวลา ข้อมูลอากาศ ชุดเดิน และพันธุ์ที่ใช้ ในการจำลอง ซึ่งทำให้เกิดการเชื่อมโยงไปหาไฟล์ข้อมูลนำเข้าต่าง ๆ ที่ได้เตรียมไว้ ได้แก่ ไฟล์ข้อมูลอากาศขณะที่ทำการทดลอง (* WTH) และไฟล์ข้อมูลดิน (SOIL.SOL) ที่มีรายละเอียดของชุดเดินที่ใช้ในการทดลอง รวมทั้งไฟล์ข้อมูลทางพันธุกรรมของแต่ละพันธุ์ ส่วนการสร้างไฟล์ ที่แสดงค่าเฉลี่ยที่ได้จากการวัดจากแปลงทดลอง (average value of experiment performance data file FILE A) เป็นทางเลือก เพื่อสะดวกต่อการเปรียบเทียบระหว่างผลผลิตจริงกับผลผลิตจากการจำลองเท่านั้น

ขั้นตอนที่ 3 การตรวจสอบความแม่นยำ (validate)

3.1 การ validate แบบจำลองข้าว

ได้ดำเนินการ validate แบบจำลองข้าว ภายใต้สภาพแวดล้อมที่แตกต่างกัน 4 เขตแหล่งผลิต โดยแบ่งสัดส่วนของจุดที่จะใช้ในการ validate ตามความหนาแน่นของพื้นที่ปลูกข้าว คือ 3 : 12 : 6 : 6 : รวมทั้งหมด 130 แปลง ดังแสดงในรายงานการจัดเขตแหล่งผลิตที่ปลูกข้าวของประเทศไทย (รายละเอียดในรายงานความก้าวหน้าฉบับที่ 1)

3.2 การ validate แบบจำลองอ้อย

ได้ดำเนินการ validate แบบจำลองอ้อย ภายใต้สภาพแวดล้อมที่แตกต่างกันทั้ง 5 เขตแหล่งผลิต โดยแบ่งจุดที่จะใช้ในการ validate ตามสัดส่วนของพื้นที่ปลูกอ้อย คือ 3 : 1 : 1 : 3 : 1 รวมทั้งหมด จำนวน 44 แปลง ดังแสดงในรายงานการจัดเขตแหล่งผลิตอ้อยของประเทศไทย (รายละเอียดในรายงานความก้าวหน้าฉบับที่ 1)

3.3 การ validate แบบจำลองมันสำปะหลัง

ได้ดำเนินการ validate แบบจำลองมันสำปะหลัง ภายใต้สภาพแวดล้อมที่แตกต่างกัน 6 เขตแหล่งผลิต โดยแบ่งจุดที่จะใช้ในการ validate ตามสัดส่วนของพื้นที่ปลูกมันสำปะหลัง คือ 4 : 6 : 7 : 3 : 2 : 1 รวมทั้งหมด จำนวน 44 แปลง ดังแสดงในรายงานการจัดเขตแหล่งผลิตที่ปลูกมันสำปะหลังของประเทศไทย (รายละเอียดในรายงานความก้าวหน้าฉบับที่ 1)

3.4 การ validate แบบจำลองข้าวโพด

ได้ดำเนินการ validate แบบจำลองข้าวโพด ภายใต้สภาพแวดล้อมที่แตกต่างกัน 5 เขตแหล่งผลิต โดยแบ่งสัดส่วนของจุดที่จะใช้ในการ validate ขึ้นตามความหนาแน่นของพื้นที่ปลูกข้าวโพด คือ 2 : 4 : 1 : 2 : 1 รวมทั้งหมด จำนวน 59 แปลง ดังแสดงในรายงานการจัดเขตแหล่งผลิตที่ปลูกข้าวโพดของประเทศไทย (รายละเอียดในรายงานความก้าวหน้าฉบับที่ 1)

ขั้นตอนที่ 4 การวิเคราะห์ความแม่นยำของการจำลอง

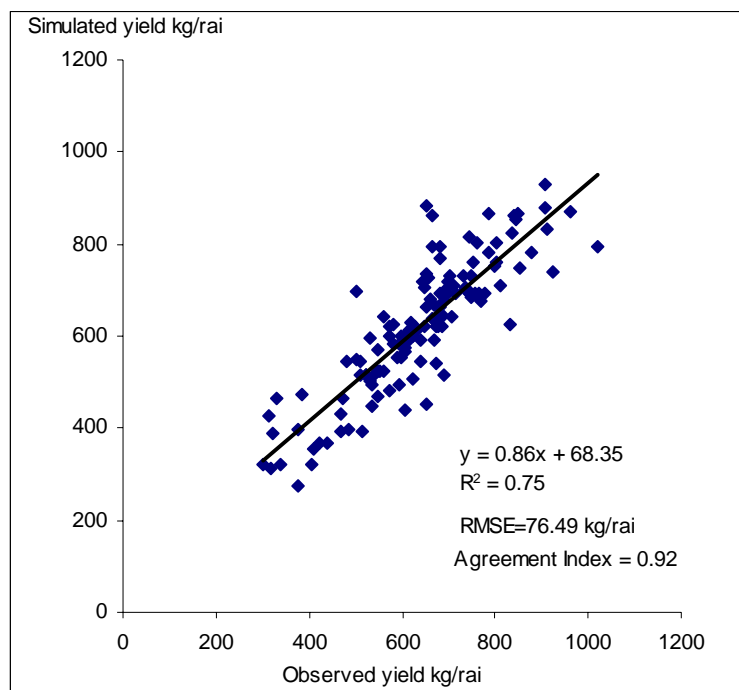
ได้วิเคราะห์และเปรียบเทียบความสอดคล้องของผลการจำลอง (S_i) กับค่าจริงที่ได้จากการทดลองภาคสนาม (O_i) ในแต่ละแปลง โดยเปรียบเทียบกับกราฟ 1:1 line (Jongkaewwattana, 1995) การวิเคราะห์สมการ linear regression โดยใช้ค่า R^2 ค่า intercept และค่า slope รวมการประเมินจากค่า RMSE (Root mean square error) และค่า agreement index

$$\text{Agreement Index} = 1 - \frac{\sum (S_i - O_i)^2}{\sum (|S_i - \bar{O}| - |O_i - \bar{O}|)^2}$$

ผลการจำลองและการตรวจสอบ

ข้าว

จากการเปรียบเทียบระหว่างค่าจริง และค่าจำลองของผลผลิตข้าวทั้ง 2 พันธุ์ ในสภาพแวดล้อมต่างๆ จำนวนรวมทั้งหมด 130 แปลง พบว่า ค่าเฉลี่ยและค่าเบี่ยงเบนมาตรฐานของผลผลิตเมล็ดแห้งจากการจำลองมีค่าใกล้เคียงกับผลผลิตเมล็ดแห้งที่ได้จากการจำลองจริง คือ 620 ± 143 กิโลกรัมต่อไร่ เปรียบเทียบกับ 638 ± 143 กิโลกรัมต่อไร่ นอกจากนี้ค่า slope ของ linear regression มีค่าใกล้เท่ากับ 0.86 กิโลกรัมต่อไร่ ซึ่งใกล้กับ 1.0 และค่า intercept เท่ากับ 68.35 กิโลกรัมต่อไร่ ใกล้ 0 ส่วน R^2 มีค่าค่อนข้างสูง คือ 0.75 เมื่อพิจารณาถึงค่า agreement index ก็มีค่าใกล้ 1.0 เช่นกัน คือ 0.92 และมีค่า RMSE 76.49 กิโลกรัมต่อไร่ (ภาพที่ 8) ดังนั้นสรุปได้ว่าแบบจำลองข้าวสามารถประเมินผลผลิตข้าวภายใต้สภาพที่ไม่มีโรคและแมลงได้ดี



ภาพที่ 8. เปรียบเทียบระหว่างผลผลิตจริง และผลผลิตจำลองจำนวน 130 แปลง ภายใต้สภาพแวดล้อมที่แตกต่างกัน

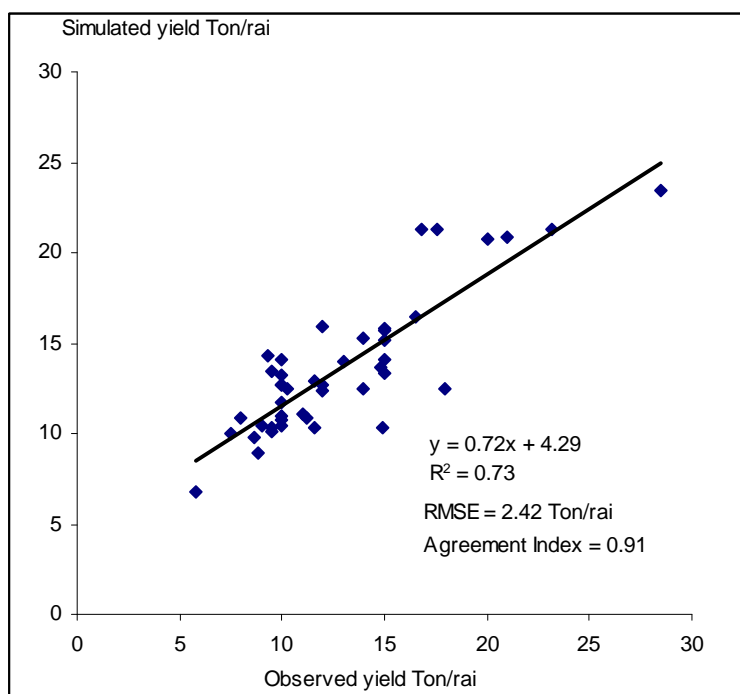
เมื่อทำการวิเคราะห์เปรียบเทียบผลผลิตข้าวที่ความชื้นเมล็ด 14 เปอร์เซ็นต์ แยกเป็นกรณีของข้าวพันธุ์ข้าวดอกมะลิ 105 และ สุพรรณบุรี 1 ในแต่ละเขตแหล่งผลิตที่ปลูกข้าวที่สำคัญของประเทศไทย จำนวน 4 กลุ่ม (ตารางที่ 4) พบว่า เขตภาคตะวันออกเฉียงเหนือตอนบน ซึ่งเป็นพื้นที่ข้าวนาน้าฝน ปลูกข้าวดอกมะลิ 105 ผลผลิตที่ได้จากแบบจำลองระหว่างปี 2546-2547 มีค่าเฉลี่ย 407 กิโลกรัมต่อไร่ ผลผลิตจากแปลงทดลองจริงเฉลี่ย 483 กิโลกรัมต่อไร่ ในเขตแหล่งผลิตภาคตะวันออกเฉียงเหนือตอนล่าง ซึ่งเป็นพื้นที่ปลูกข้าวพันธุ์ข้าวดอกมะลิ 105 เช่นกัน ผลผลิตจากแบบจำลองในปี 2548 มีค่าเฉลี่ย 556 กิโลกรัมต่อไร่ ผลผลิตจากแปลงทดลองจริงเฉลี่ย 580 กิโลกรัมต่อไร่ ส่วนในเขตแหล่งผลิตภาคเหนือตอนล่างและภาคกลางตอนบน ปี 2546-2547 ซึ่งเป็นพื้นที่ปลูกข้าวนานาชลประทาน ผลผลิตข้าวพันธุ์สุพรรณบุรี 1 จากแบบจำลองมีค่าเฉลี่ย 747 กิโลกรัมต่อไร่ เปรียบเทียบกับผลผลิตจากแปลงทดลองจริงเฉลี่ย 754 กิโลกรัมต่อไร่ ในเขตแหล่งผลิตภาคกลางและภาคตะวันออก ปี 2543-2550 ผลผลิตจากแบบจำลองเฉลี่ย 628 กิโลกรัมต่อไร่ ผลผลิตจากแปลงทดลองจริงเฉลี่ย 641 กิโลกรัมต่อไร่

ตารางที่ 4. ผลผลิตข้าวเฉลี่ย (กิโลกรัมต่อไร่) ที่ได้จากการแปลงทดลอง และจากการจำลอง ในแต่ละเขตแหล่งผลิตที่
ปลูกข้าวของประเทศไทย

เขตแหล่งผลิต	จำนวนแปลง	ปีที่ดำเนินงาน	ผลผลิตจาก	ผลผลิต
			ทดลอง	แปลงทดลอง
ภาคตะวันออกเฉียงเหนือตอนบน	10	2546 – 2547	483	407
ภาคตะวันออกเฉียงเหนือตอนล่าง	7	2548	580	556
ภาคเหนือตอนล่างและภาคกลาง ตอนบน	14	2546 – 2547	754	747
ภาคกลางและภาคตะวันออก	99	2543 – 2550	641	624
รวม / เฉลี่ย	130	2543 – 2550	638	620

อ้อย

จากการเปรียบเทียบระหว่างค่าจริง และค่าจำลองของผลผลิตของอ้อยพันธุ์อู่ทอง 3 ในสภาพแวดล้อมต่างๆ ของประเทศไทย จำนวน 35 จุด รวมแปลงทั้งหมด 44 แปลง พบร่วมกับผลผลิตที่ได้จากการจำลอง เฉลี่ย 13.6 ตันต่อไร่ เปรียบเทียบกับผลผลิตที่ได้จากการแปลงจริง เฉลี่ย 12.8 ตันต่อไร่ (ตารางที่ 5) ค่า R^2 ของ linear regression มีค่าค่อนข้างสูง คือ 0.73 และ ยังมีค่า agreement index เช้าใกล้ 1.0 เช่นกัน คือ 0.91 และค่า RMSE เท่ากับ 2.42 ตันต่อไร่ (ภาพที่ 9) เมื่อพิจารณาค่า slope เท่ากับ 0.72 และค่า intercept 4.29 ตันต่อไร่ จะเห็นได้ว่า ค่าที่ได้จากการจำลองจะ overestimate ภายใต้ภาวะที่ผลผลิตจริงต่ำ และจะ underestimate ภายใต้ภาวะที่ผลผลิตจริงสูง แต่โดยภาพรวมแบบจำลองสามารถประเมินผลได้ดี



ภาพที่ 9. เปรียบเทียบระหว่างค่าจริงและค่าจำลองของผลผลิตของอ้อยพันธุ์อุ่ง 3 ภายใต้สภาพแวดล้อมที่แตกต่างกัน 35 แห่ง

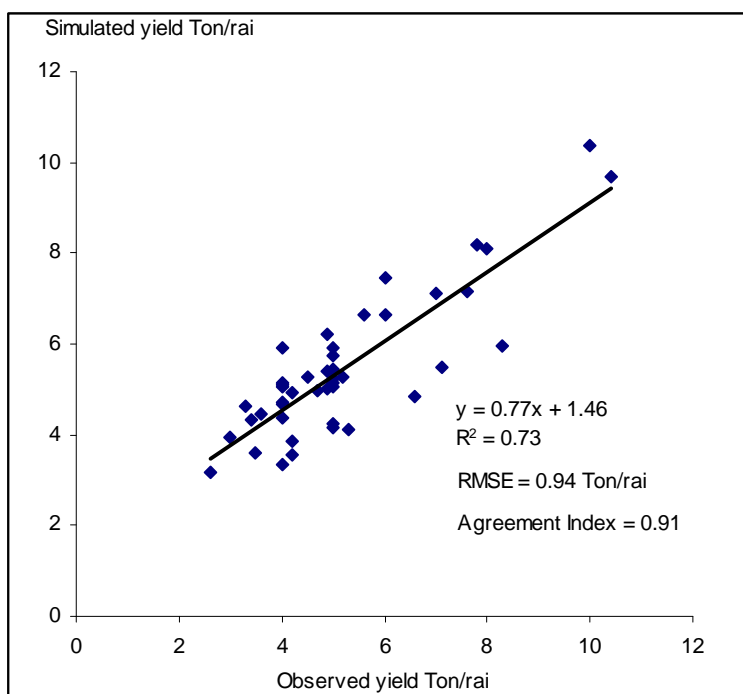
เมื่อการเปรียบเทียบระหว่างค่าจริงและค่าจำลองของผลผลิต ของอ้อยพันธุ์อุ่ง 3 ในแต่ละเขตแหล่งผลิตที่ปลูกอ้อยที่สำคัญของประเทศไทย จำนวน 5 กลุ่ม ผลการศึกษา พบว่าในเขตแหล่งผลิตภาคตะวันออกเฉียงเหนือ ตอนบน ผลผลิตจำลองมีค่าเฉลี่ย 12.6 ตันต่อไร่ เปรียบเทียบกับผลผลิตจริงเฉลี่ย 10.9 ตันต่อไร่ (ตารางที่ 5) เขตแหล่งผลิตภาคตะวันออกเฉียงเหนือตอนล่างและภาคกลางตอนล่าง ผลผลิตจำลองมีค่าเฉลี่ยเท่ากับ 12.5 ตันต่อไร่ เปรียบเทียบกับผลผลิตที่ได้จากแปลงจริง เฉลี่ย 12.1 ตันต่อไร่ ส่วนในเขตแหล่งผลิตภาคตะวันออก แบบจำลองให้ผลผลิต เฉลี่ย 12.4 ตันต่อไร่ เปรียบเทียบกับผลผลิตจากแปลงจริง เฉลี่ย 10.3 ตันต่อไร่ เขตแหล่งผลิตภาคกลาง และภาคเหนือตอนล่าง ผลผลิตจำลองมีค่าเฉลี่ย 16.4 ตันต่อไร่ เปรียบเทียบกับผลผลิตจริง เฉลี่ย 15.9 ตันต่อไร่ และในเขตแหล่งผลิตภาคเหนือตอนล่างผลผลิตจำลองมีค่าเฉลี่ย 12.3 ตันต่อไร่ ในขณะที่ผลผลิตจริง เฉลี่ย 13.8 ตันต่อไร่

ตารางที่ 5. ผลผลิตเฉลี่ยของอ้อย (ตันต่อไร่) ที่ได้จากแปลงทดลอง และจากการจำลองในแต่ละเขตแหล่งผลิตของประเทศไทย

เขตแหล่งผลิต	จำนวน สถานที่/แปลง	ปีที่ดำเนินงาน	ผลผลิตจาก แปลงทดลอง	ผลผลิตจาก แบบจำลอง
ภาคตะวันออกเฉียงเหนือตอนบน	18/18	2544	10.8	12.5
ภาคตะวันออกเฉียงเหนือตอนล่าง และภาคกลางตอนบน	3/7	2544-2549	12.6	12.9
ภาคตะวันออก	1/1	2545	10.3	12.4
ภาคกลาง	10/12	2544-2547	15.9	16.4
ภาคเหนือตอนล่าง	3/6	2544-2549	13.8	12.3
รวม / เฉลี่ย	44	2544-2549	12.8	13.6

มันสำปะหลัง

จากการเปรียบเทียบระหว่างค่าจริง และค่าจำลองของผลผลิตของมันสำปะหลังพันธุ์เกษตรศาสตร์ 50 และพันธุ์ระยอง 72 ในสภาพแวดล้อมต่างๆ ของประเทศไทย จำนวน 32 จุด รวมแปลงทั้งหมด 44 แปลง พบร่วมกับผลผลิตหัวสอดให้ค่าจากการจำลอง เฉลี่ย 5.23 ตันต่อไร่ เปรียบเทียบกับผลผลิตหัวสอดที่ได้จากแปลง เฉลี่ย 4.81 ตันต่อไร่ (ตารางที่ 6) ค่า slope ของ linear regression ซึ่งมีค่าเท่ากับ 0.77 และค่า intercept 1.46 ตันต่อไร่ ซึ่งว่า ภายใต้สภาพการผลิตที่ให้ผลผลิตจริงต่ำ ค่าที่ได้จากการจำลองจะ overestimate ความแตกต่างดังกล่าวอาจเกิดจากปัจจัยอื่นที่อยู่นอกเหนือเงื่อนไขของการจำลอง อย่างไรก็ตาม R^2 มีค่าค่อนข้างสูง คือ 0.73 โดยให้ค่าแตกต่างกันอย่างมีนัยสำคัญยิ่ง ในขณะเดียวกัน ยังมีค่า agreement index เข้าใกล้ 1.0 เช่นกัน คือ 0.91 และมีค่า RMSE 0.94 ตันต่อไร่ (ภาพที่ 10) ผลการทดสอบความแม่นยำของแบบจำลองมันสำปะหลัง แสดงให้เห็นว่า แบบจำลองการเจริญเติบโตของมันสำปะหลังสามารถจำลองผลผลิตได้ค่อนข้างแม่นยำเมื่อเปรียบเทียบกับแปลงจริง



ภาพที่ 10. เปรียบเทียบระหว่างค่าจริง และค่าจำลอง ของผลผลิตมันสำปะหลังพันธุ์เกษตรศาสตร์ 50 และระยะ 72 ภายใต้สภาพแวดล้อมต่างกัน 32 แห่ง

จากการเปรียบเทียบระหว่างค่าสังเกต (observed) และค่าจำลอง (simulated) ของผลผลิต ของมันสำปะหลังพันธุ์เกษตรศาสตร์ 50 และพันธุ์ระยะ 72 ในแต่ละเขตแหล่งผลิตที่ปลูกมันสำปะหลังที่สำคัญของประเทศไทย จำนวน 6 กลุ่ม พบร้า เขตแหล่งผลิตภาคตะวันออกเฉียงเหนือตอนบน ผลผลิตหัวสดที่ได้จากการจำลอง เฉลี่ย 5.13 ตันต่อไร่ เปรียบเทียบกับผลผลิตหัวสดที่ได้จากการแปลงจริง เฉลี่ย 4.64 ตันต่อไร่ (ตารางที่ 6) เขตแหล่งผลิตภาคตะวันออกเฉียงเหนือตอนกลาง ผลผลิตหัวสดที่ได้จากการจำลอง เฉลี่ย 5.70 ตันต่อไร่ เปรียบเทียบกับผลผลิตหัวสดที่ได้จากการแปลงจริง เฉลี่ย 6.09 ตันต่อไร่ เขตแหล่งผลิตภาคตะวันออกเฉียงเหนือตอนล่าง ผลผลิตหัวสดที่ได้จากการจำลอง เฉลี่ย 5.36 ตันต่อไร่ เปรียบเทียบกับผลผลิตหัวสดที่ได้จากการแปลงจริง เฉลี่ย 4.95 ตันต่อไร่ เขตแหล่งผลิตภาคตะวันออกผลผลิตหัวสดที่ได้จากการจำลอง เฉลี่ย 6.48 ตันต่อไร่ เปรียบเทียบกับผลผลิตหัวสดที่ได้จากการแปลงทดลองจริง เฉลี่ย 6.02 ตันต่อไร่ เขตแหล่งผลิตภาคกลาง ผลผลิตหัวสดที่ได้จากการจำลอง เฉลี่ย 5.23 ตันต่อไร่ เปรียบเทียบกับผลผลิตหัวสดที่ได้จากการแปลงจริง เฉลี่ย 3.77 ตันต่อไร่ เขตแหล่งผลิตภาคเหนือตอนล่าง ผลผลิตหัวสดที่ได้จากการจำลอง เฉลี่ย 3.51 ตันต่อไร่ เปรียบเทียบกับผลผลิตหัวสดที่ได้จากการแปลงจริง เฉลี่ย 3.40 ตันต่อไร่

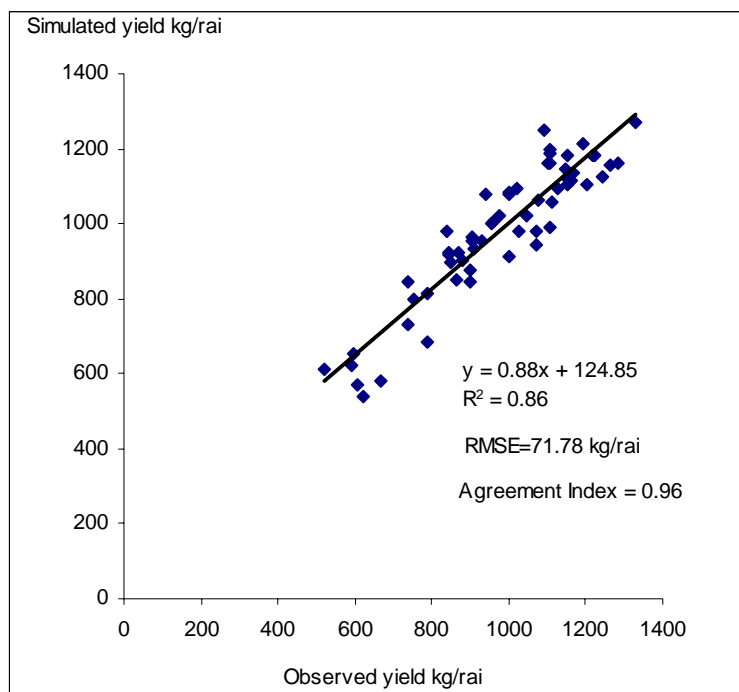
ตารางที่ 6. ผลผลิตหัวสอดเฉลี่ย (ตันต่อไร่) ของมันสำปะหลังที่ได้จากการแปลงทดลองและจากการจำลอง ในแต่ละเขต
แหล่งผลิตของประเทศไทย

เขตแหล่งผลิต	จำนวน สถานที่/แปลง	ปีที่ดำเนินงาน	ผลผลิตจาก	ผลผลิตจาก
			แปลงจริง	แบบจำลอง
ภาคตะวันออกเฉียงเหนือตอนบน	7/8	2538-2549	4.64	5.13
ภาคตะวันออกเฉียงเหนือตอนกลาง	4/12	2537-2541	6.09	5.70
ภาคตะวันออกเฉียงเหนือตอนล่าง	12/14	2539-2549	4.95	5.36
ภาคตะวันออก	4/5	2539-2549	6.02	6.48
ภาคกลาง	3/3	2548-2549	3.77	5.23
ภาคเหนือตอนล่าง	2/2	2548-2549	3.40	3.51
รวม / เฉลี่ย	44	2537-2549	4.81	5.23

ข้าวโพด

จากการเปรียบเทียบระหว่างค่าจริงและค่าจำลอง ของผลผลิตของข้าวโพด พันธุ์ครสารรคที่ 72 ในสภาพแวดล้อมต่างๆ ของประเทศไทย จำนวน 13 จุด รวมแปลงทั้งหมด 59 แปลง พบร่วมกับผลผลิตเมล็ดแห้งจากการจำลองมีค่าเฉลี่ย 986 กิโลกรัมต่อไร่ เปรียบเทียบกับผลผลิตเมล็ดแห้งจริง เฉลี่ย 981 กิโลกรัมต่อไร่ (ตารางที่ 7) ค่าที่ได้จากการจำลองส่วนใหญ่ให้ผลผลิตสูงกว่าแปลงทดลองจริง ทั้งนี้เนื่องจากค่าจากแบบจำลองไม่รวมถึงผลกระทบจากปัจจัยอื่น นอกเหนือจากเงื่อนไขที่ได้จำกัดไว้ (Boonpradub, 2000)

ผลการ validate แบบจำลองข้าวโพด แสดงให้เห็นว่า แบบจำลองการเรียนรู้เดิบโตของข้าวโพดสามารถจำลองผลผลิตได้ค่อนข้างแม่นยำเมื่อเปรียบเทียบกับแปลงทดลองจริง ซึ่งมีค่า slope 0.88 และค่า intercept จะยังค่อนข้างสูง 124.85 กิโลกรัมต่อไร่ และให้ค่า R^2 ค่อนข้างสูง คือ 0.86 นอกจากนี้ ยังมีค่า agreement index เข้าใกล้ 1.0 เช่นกัน คือ 0.96 และมีค่า RMSE 71.78 กิโลกรัมต่อไร่ (ภาพที่ 11) สอดคล้องกับ Jongkaewwattana (1995) รายงานว่า การใช้สมการ linear regression เพิ่มประสิทธิภาพการ validate แบบจำลอง โดยการเปรียบเทียบค่าที่ได้จากการแปลงทดลองจริง กับค่าที่ได้จากการจำลองค่อนข้างแม่นยำ เมื่อค่า slope เข้าใกล้หนึ่ง และค่า intercept เข้าใกล้ศูนย์ ในขณะเดียวกัน Willmott (1982), อ้างใน Boonpradub (2000) กล่าวว่า ค่า RMSE เป็นค่าที่บ่งบอกถึง model performance โดยค่า RMSE ค่อนข้างต่ำ แสดงว่า แบบจำลองค่อนข้างแม่นยำ



ภาพที่ 11. เปรียบเทียบระหว่างค่าจริงและค่าจำลองของผลผลิตของข้าวโพดพันธุ์นครสวรรค์72 ภายใต้สภาพแวดล้อมต่างกัน 13 แห่ง

จากการเปรียบเทียบระหว่างค่าจริงและค่าจำลอง ของผลผลิตเมล็ดที่ความชื้นเมล็ด 15 เปอร์เซ็นต์ ของข้าวโพดพันธุ์นครสวรรค์72 ในแต่ละเขตแหล่งผลิตข้าวโพดที่สำคัญของประเทศไทย จำนวน 5 กลุ่มพบว่า ในเขตแหล่งผลิตภาคเหนือตอนล่างและตะวันออกเฉียงเหนือตอนบน ผลผลิตเมล็ดจากแบบจำลองมีค่า เฉลี่ย 915 กิโลกรัมต่อไร่ เปรียบเทียบกับผลผลิตเมล็ดที่ได้จากการแปลงทดลองจริง เฉลี่ย 888 กิโลกรัมต่อไร่ (ตารางที่ 7) ในเขตแหล่งผลิตภาคกลางตอนบนและตะวันออกเฉียงเหนือตอนล่างผลผลิตเมล็ดที่ได้จากการจำลอง เฉลี่ย 1,059 กิโลกรัมต่อไร่ เปรียบเทียบกับผลผลิตเมล็ดที่ได้จากการแปลงทดลองจริง เฉลี่ย 1,063 กิโลกรัมต่อไร่ ส่วนเขตแหล่งผลิตภาคภาคตะวันออก ผลผลิตเมล็ดที่ได้จากการจำลอง เฉลี่ย 652 กิโลกรัมต่อไร่ เปรียบเทียบกับผลผลิตเมล็ดที่ได้จากการแปลงทดลองจริง เฉลี่ย 646 กิโลกรัมต่อไร่ เขตแหล่งผลิตภาคเหนือตอนล่างและภาคกลาง ผลผลิตเมล็ดที่ได้จากการจำลอง เฉลี่ย 844 กิโลกรัมต่อไร่ สูงกว่าแปลงทดลองจริง เฉลี่ย 3 กิโลกรัมต่อไร่ เขตแหล่งผลิตภาคเหนือตอนบนผลผลิตเมล็ดที่ได้จากการจำลอง เฉลี่ย 1,219 กิโลกรัมต่อไร่ ต่ำกว่าแปลงทดลองจริง เฉลี่ย 27 กิโลกรัมต่อไร่

ตารางที่ 7. ผลผลิตเฉลี่ย (กิโลกรัมต่อไร่) ของข้าวโพดที่ได้จากแปลงทดลอง และจากการจำลองในแต่ละเขตแหล่งผลิต ของประเทศไทย

เขตแหล่งผลิต	จำนวน สถานที่/แปลงทดลอง	ปีที่ดำเนินงาน	ผลผลิตจาก	ผลผลิตจาก
			แปลงทดลอง	แบบจำลอง
ภาคเหนือตอนล่างและภาค ตะวันออกเฉียงเหนือตอนบน	3/15	2543 - 2549	888	915
ภาคกลางตอนบนและภาค ตะวันออกเฉียงเหนือตอนล่าง	5/35	2538 - 2549	1063	1059
ภาคภาคตะวันออก	1/3	2546 - 2547	646	652
ภาคเหนือตอนล่างและภาคกลาง	3/5	2547 - 2549	841	844
ภาคเหนือตอนบน	1/1	2549	1192	1219
รวม / เฉลี่ย	59	2538 - 2549	981	986

สรุป

แม้ว่าโดยภาพรวม slope ของสมการ linear จะมีค่าต่ำกว่า 1 และ intercept สูงกว่า 0 ซึ่งชี้ว่า แบบจำลองจะ overestimate เมื่อผลผลิตต่ำ ซึ่งอาจเกิดปัจจัยการผลิตที่แบบจำลองยังไม่สามารถจำลองได้ แต่ค่า coefficient of determination R² จะมีค่าสูงอย่างมีนัยสำคัญ (~0.7) และ agreement index ใกล้ 1 (~0.9) ทำให้สรุปได้ว่า แบบจำลองการเจริญเติบโตของข้าว (CERES-Rice) อ้อย (CANEGRO) มันสำปะหลัง (GUMCAS) และข้าวโพด (CERES-Maize) สามารถทำนายผลผลิตของแต่ละพืชได้ค่อนข้างแม่นยำ และสามารถใช้เป็นเครื่องมือที่ช่วยสนับสนุน การศึกษาผลกระทบของภาวะโลกร้อนต่อการผลิตข้าว อ้อย มันสำปะหลัง และข้าวโพดของประเทศไทย และวิเคราะห์ ทางแนวทางการปรับตัวของระบบการผลิตพืชทั้ง 4 ภายใต้ภาวะดังกล่าวได้

การจำลองผลกระทบของภาวะโลกร้อนต่อการผลิตพืช

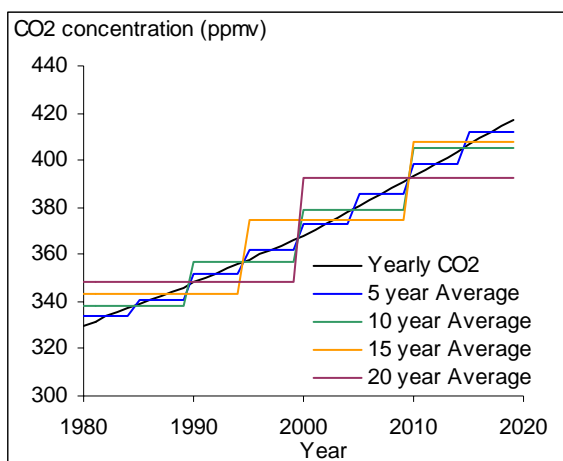
การจำลองผลกระทบของภาวะโลกร้อนต่อการผลิตพืชได้ใช้ โปรแกรมระบบสนับสนุนการตัดสินใจเพื่อถ่ายทอดเทคโนโลยีการเกษตร DSSAT/CropDSS ร่วมกับระบบ GIS เนื่องจากการวิจัยนี้ต้องการประเมินผลกระทบจากภาวะโลกร้อนต่อผลผลิตพืชเป็นหลัก และมีความจำเป็นที่จะต้องลดความซับซ้อนของปฏิกริยารวมจากปัจจัยแวดล้อมอื่นๆ เพื่อทำให้สามารถวิเคราะห์ผลกระทบในระดับประเทศได้ ดังนั้นจึงได้กำหนดปัจจัยการผลิตอีกหนึ่งให้คงที่ เช่นการจัดการพืชให้เป็นไปตามค่าแนะนำในปัจจุบันของกระทรวงเกษตรและสหกรณ์สำหรับพืชแต่ละชนิด และไม่มีการทำลายจากโรค แมลง และศัตรูพืชอื่นๆ เป็นต้น ด้วยการจำลองระบบจึงประกอบด้วยสภาพฟ้าอากาศและดินเท่านั้น การดำเนินงานแบ่งออกเป็น 3 ขั้นตอน:

1. ตรวจสอบการใช้ค่าเฉลี่ยของการเปลี่ยนแปลงระดับความเข้มข้น CO_2 และข้อมูลภูมิอากาศที่ได้จากการจำลอง ECHAM4 และ PRECIS ภาพได้เงื่อนไข A2 SRES ซึ่งเป็นข้อมูลนำเข้าให้กับแบบจำลอง DSSAT
2. จำลองผลกระทบของภาวะโลกร้อนต่อการผลิตพืชทั้ง 4 ชนิด และวิเคราะห์ผลกระทบเชิงเวลาและพื้นที่ ทั้งในระยะยาว และระยะสั้น
 - ผลกระทบระยะยาวเป็นผลที่เกิดจากการเพิ่มขึ้นของ CO_2 และอุณหภูมิ ซึ่งมีผลโดยตรงต่อการอัตราการเจริญเติบโตและอายุของพืช เนื่องจากอัตราการเปลี่ยนแปลงของระดับ CO_2 และอุณหภูมิโลกเป็นไปอย่างช้าๆ ดังนั้นการประเมินผลกระทบดังกล่าวจึงวิเคราะห์ในรูปของแนวโน้มของการเปลี่ยนแปลงของผลผลิตในระยะยาว
 - ผลกระทบระยะสั้นเป็นผลที่เกิดจากภาวะโลกร้อนทำให้สภาพอากาศ (weather) มีความแปรปรวนมากขึ้น ในปีที่เกิดภาวะแล้งระดับความรุนแรงอาจเพิ่มมากขึ้น และในปีที่เกิดน้ำท่วมระดับความรุนแรงก็อาจมากกว่าปกติ และทำให้เกิดความเสียหายที่รุนแรงขึ้น ผลกระทบดังกล่าวจะทำให้ผลผลิตพืชมีความแปรปรวนระหว่างปี และระหว่างพื้นที่เพิ่มมากขึ้น เพิ่มความเสี่ยงให้กับระบบการผลิต การประเมินผลกระทบดังกล่าวจึงวิเคราะห์ผลในรูปของความแปรปรวน
3. ประเมินค่าดัชนีผลกระทบ (impact index) จาก ระดับความรุนแรง ขนาดพื้นที่ และ ความยาวนานของผลกระทบ และสร้างแผนที่ของพื้นที่วิกฤตในแต่ละพื้นที่เพื่อใช้วิเคราะห์สาเหตุและการปรับตัว

ตรวจสอบการใช้ระดับ CO₂ เฉลี่ย และข้อมูลภูมิอากาศรายวัน

การตรวจการใช้ระดับ CO₂ เฉลี่ย

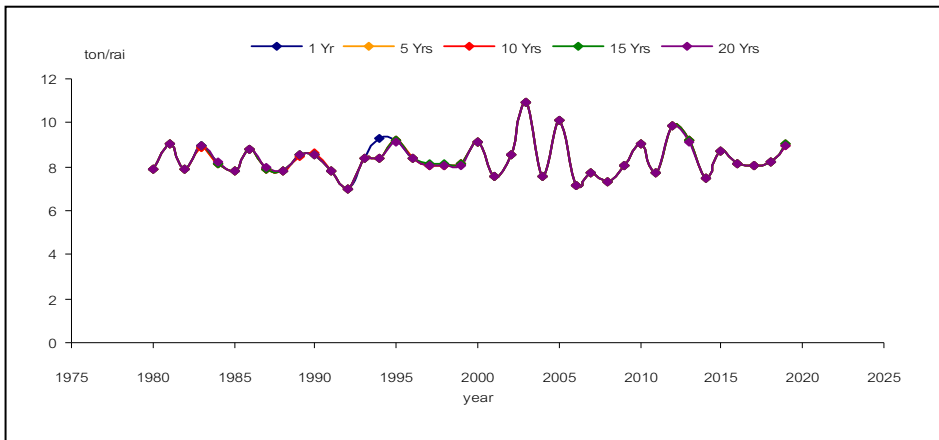
ความเข้มข้นของ CO₂ มีผลโดยตรงต่อการสังเคราะห์ด้วยแสง ดังนั้นการจำลองการเจริญเติบโตและผลผลิตพืช ภายใต้สภาพภูมิอากาศโลกในอนาคตที่ระดับ CO₂ จะเพิ่มขึ้นอย่างต่อเนื่อง จึงต้องระบุค่าความเข้มข้นของ CO₂ ที่เปลี่ยนแปลงให้ตรงกับภาวะเงื่อนไขที่แบบจำลองภูมิอากาศ ECHAM4-PRECIS (ศุภกร และคณะ, 2551) ใช้ในการคำนวณสภาพภูมิอากาศ แต่เนื่องจากโปรแกรม DSSAT และ CropDSS ซึ่งเป็นระบบเชื่อมโยงแบบจำลอง DSSAT กับข้อมูลเชิงพื้นที่ (อรรถชัย, 2551) ยังไม่เปิดทางให้สามารถนำเข้าข้อมูลการเพิ่มขึ้นอย่างต่อเนื่องของ CO₂ ได้ และหากต้อง run model อย่าง manual เพื่อให้สอดคล้องกับการเพิ่มขึ้นของ CO₂ สำหรับทุกๆ พื้นที่หน่วยจำลอง (smu) ทุกๆ ปี ก็จะต้องทำการ run มาากกว่า 1-3 แสนครั้ง ซึ่งในทางปฏิบัติไม่สามารถดำเนินการได้ ด้วยเหตุผลทางด้านเทคนิคดังกล่าวจึงต้องทดสอบว่า จะสามารถกำหนดให้การเพิ่มขึ้นของ CO₂ เป็นแบบขั้นบันได (discrete) โดยใช้ค่าเฉลี่ยตั้งภาพที่ 12 ได้หรือไม่ และจะมีผลต่อผลลัพธ์ที่ได้จากการประเมินโดยแบบจำลองทั้งสามใน DSSAT (CERES, CANEGRO, และ GUMCAS) มากน้อยเพียงใด



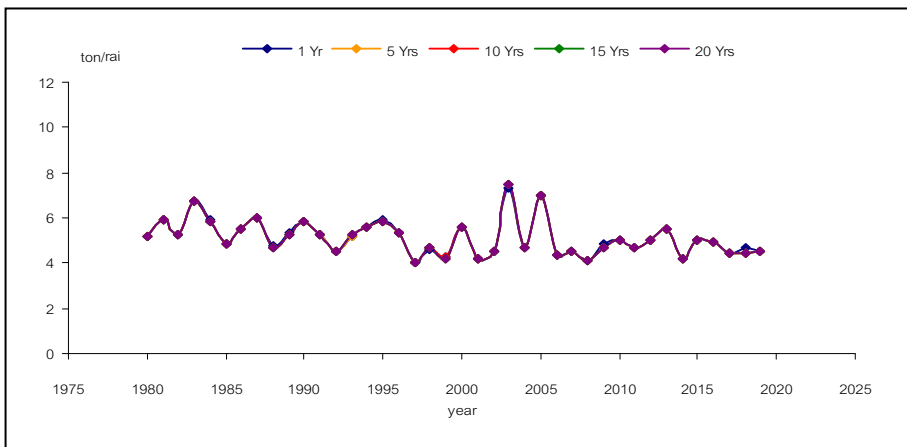
ภาพที่ 12. การเพิ่มขึ้นของความเข้มข้น CO₂ รายปี และค่าเฉลี่ยราย 5 ปี 10 ปี 15 ปี และ 20 ปี ภายใต้เงื่อนไข SRES A2 (IPCC, 2007) ที่ใช้ในการเปรียบเทียบ จากปี 1980-2019

ในการเปรียบเทียบนี้ได้ใช้ข้อมูลภูมิอากาศจาก ECHAM4-PRECIS SRES A2 ปี 1980-2019 ทำการจำลองการเจริญเติบโตผลผลิตของ อ้อย มันสำปะหลัง และข้าวโพด ในเขตที่มีพื้นที่ป่าหินและป่าไม้ ที่ตั้งกล่าวอยู่ในเขตการผลิตที่ 1 ส่วนมันสำปะหลังอยู่ในเขตการผลิตที่ 2 (เกริก และคณะ, 2551)

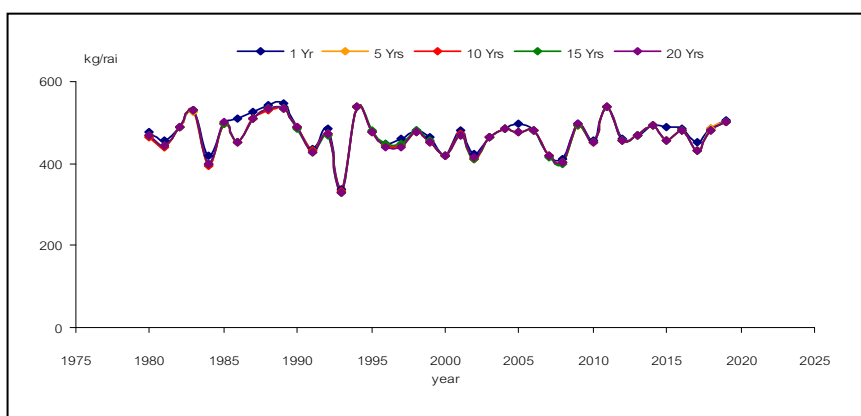
ผลจากการเปรียบเทียบพบว่า การเปลี่ยนแปลงของ CO₂ ทั้ง 5 รูปแบบไม่มีผลต่อผลผลิตของอ้อย และมันสำปะหลัง (8.3 และ 5.1 ตันต่อไร่ ตามลำดับ ภาพที่ 13ก และ 13ข) แต่ในข้าวโพดการใช้ระดับความเข้มข้นเฉลี่ยราย 5 10 15 และ 20 ปี จะให้ผลผลิตเท่ากัน และถ้ากว่าการใช้ระดับความเข้มข้นรายปีเพียงร้อยละ 2 เท่านั้น (467.0 และ 475.5 ตันต่อไร่ ตามลำดับภาพที่ 13ค) ดังนั้นเพื่อให้การดำเนินงานมีประสิทธิภาพจึงใช้ค่าความเข้มข้นของ CO₂ เฉลี่ยราย 10 ปี



ภาพที่ 13ก. ผลผลิตของอ้อยจากการจำลอง ที่นำเข้าปริมาณก้าชาร์บอนไดออกไซด์ที่เพิ่มขึ้นทุก 1 ปี และใช้ค่าเฉลี่ยทุก 5 10 15 20 ปี ตั้งแต่ ปี 1980 - 2019



ภาพที่ 13ข. ผลผลิตของมันสำปะหลังจากการจำลอง ที่นำเข้าปริมาณก้าชาร์บอนไดออกไซด์ที่เพิ่มขึ้น ทุก 1 ปี และใช้ค่าเฉลี่ยทุก 5 10 15 20 ปี ตั้งแต่ ปี 1980 - 2019

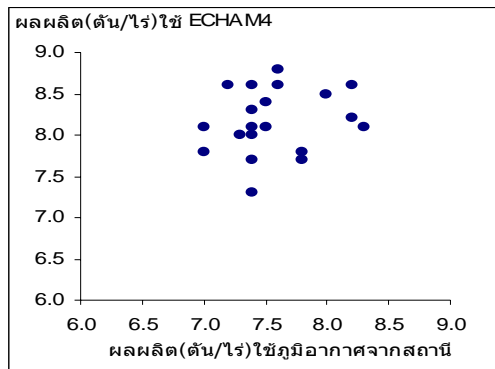


ภาพที่ 13ค. ผลผลิตของข้าวโพดจากการจำลอง ที่นำเข้าปริมาณก้าชาร์บอนไดออกไซด์ที่เพิ่มขึ้น ทุก 1 ปี และใช้ค่าเฉลี่ยทุก 5 10 15 20 ปี ตั้งแต่ ปี 1980 - 2019

การตรวจสอบข้อมูลนำเข้าภูมิอากาศ

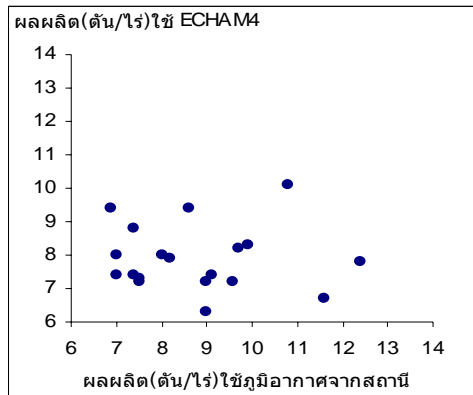
ข้อมูลนำเข้าภูมิอากาศเป็นข้อมูลที่สำคัญเป็นอันดับแรกต่อการประเมินผลผลิตพืช จึงตรวจสอบหาความคลาดเคลื่อนของการประเมินผลผลิตพืชที่อาจเกิดขึ้นจากข้อมูลนำเข้าภูมิอากาศ ที่ได้มาจากการคำนวณของแบบจำลองภูมิอากาศ ECHAM4-PRECIS โดยเปรียบเทียบกับผลที่ได้จากการจำลองโดยใช้ข้อมูลภูมิอากาศรายวันที่ได้จากการวัดภาคสนามที่สถานีตรวจอากาศเกษตรร้อยเอ็ด ปี 1984 - 2003 กับการใช้ข้อมูลภูมิอากาศรายวันจาก ECHAM4-PRECIS A2 SRES ที่กริด 2CDA (ซึ่งครอบคลุมจุดที่ตั้งสถานีตรวจอากาศเกษตรร้อยเอ็ด) ปี 1984 – 2003 ในการจำลองผลผลิตทั้งสองกรณี สิ่งที่แตกต่างกันมีเพียงภูมิอากาศเท่านั้น

จากการจำลองผลผลิตอ้อย (ภาพที่ 14ก) แม้ว่าลำดับการเปลี่ยนแปลงของผลผลิตรายปีที่ได้จากการจำลองโดยใช้ภูมิอากาศจากการคำนวณของ ECHAM4-PRECIS นั้นจะแตกต่างและไม่สัมพันธ์กับลำดับที่ได้จากการใช้ข้อมูลภูมิอากาศจริงก็ตาม แต่สิ่งที่สำคัญสำหรับการวิจัยนี้ก็คือค่าเฉลี่ยของผลผลิต และค่าเบี่ยงเบนมาตรฐานที่ได้จากการใช้ข้อมูลทั้งสองแหล่งมีค่าใกล้เคียงกัน เมื่อใช้ข้อมูลภูมิอากาศจริงจากสถานีอากาศเกษตรร้อยเอ็ด ผลผลิตอ้อยจากปี 1984-2003 มีค่าเฉลี่ย 7.6 ตันต่อไร่ ขณะที่ผลผลิตที่ได้จากการข้อมูลอากาศ ECHAM4-A2 มีค่าเฉลี่ย 8.2 ตันต่อไร่ และมีค่าเบี่ยงเบนมาตรฐาน 0.4 ตันต่อไร่ เท่ากัน



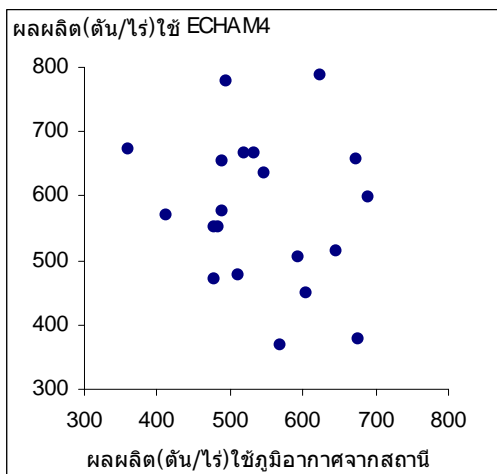
ภาพที่ 14ก. ผลผลิตอ้อย (ตันต่อไร่) จากการจำลองที่นำเข้าข้อมูลภูมิอากาศ ECHAM4 และภูมิอากาศจริงจากสถานีอากาศเกษตรร้อยเอ็ดปี 1984 - 2003

สำหรับมันสำปะหลัง (ภาพที่ 14ข) การใช้ข้อมูลภูมิอากาศจริงให้ผลผลิตเฉลี่ย 8.8 ตันต่อไร่ และ ค่าความเบี่ยงเบนมาตรฐาน 1.6 ตันต่อไร่ สูงกว่าการใช้ข้อมูลภูมิอากาศจาก ECHAM4 ที่ให้ค่าผลผลิตเฉลี่ย 7.8 ตันต่อไร่ และมีค่าความเบี่ยงเบนมาตรฐาน 1.1 ตันต่อไร่



ภาพที่ 14บ. ผลผลิตมันสำปะหลัง (ตันต่อไร่) จากการจำลองที่นำเข้าข้อมูลภูมิอากาศ ECHAM4 และภูมิอากาศจริงจากสถานีอากาศเกษตรร้อยเอ็ดปี 1984 - 2003

ส่วนข้าวโพด (ภาพที่ 14ค) พบว่าผลผลิตเฉลี่ยจากการใช้ภูมิอากาศจริงมีค่า 544 กิโลกรัมต่อไร่ ต่ำกว่าค่าเฉลี่ยของผลผลิตที่ได้จากการใช้ภูมิอากาศ ECHAM4-A2 ที่มีค่าเฉลี่ย 577 กิโลกรัมต่อไร่ ผลผลิตที่ได้จากการใช้ภูมิอากาศ ECHAM4-A2 มีความแปรปรวน 117 กิโลกรัมต่อไร่ ซึ่งสูงกว่าการใช้ภูมิอากาศจริงที่มีความแปรปรวน 90 กิโลกรัมต่อไร่



ภาพที่ 14ค. ผลผลิตข้าวโพด (กิโลกรัมต่อไร่) จากการจำลองที่นำเข้าข้อมูลภูมิอากาศ ECHAM4 และภูมิอากาศจริงจากสถานีอากาศเกษตรร้อยเอ็ดปี 1984 - 2003

จากการตรวจสอบสรุปได้ว่าสามารถใช้ข้อมูลภูมิอากาศจาก ECHAM4-PRECIS เป็นข้อมูลนำเข้าแบบจำลองเพื่อคาดการณ์ผลผลิตพืชทั้ง 4 ชนิด ได้ เนื่องจากให้ค่าเฉลี่ยและมีค่าความเบี่ยงเบนมาตรฐานใกล้เคียงกับการใช้ข้อมูลภูมิอากาศที่ได้จากการตรวจวัด

วิธีการจำลอง

การประเมินผลกระทบจากการโลกร้อนต่อผลผลิตพืช ได้ใช้โปรแกรม DSSAT/CropDSS โดยทำการจำลองผลกระทบต่อผลผลิตพืชทั้ง 4 ชนิดในแต่ละหน่วยย่อยการผลิตพืช (Simulation Mapping Unit, SMU) ตามที่ได้สร้างไว้ในขั้นตอน การรวบรวมข้อมูลและสร้างฐานข้อมูล ซึ่งภายในแต่ละ SMU นั้นจะมีสภาพแวดล้อม (ภูมิอากาศและดิน) ที่สม่ำเสมอ และแตกต่างจาก SMU อื่นๆ

สภาพอากาศในแต่ละ SMU นั้นเป็นข้อมูลสภาพอากาศรายวัน ปี 1980-2009 ได้จากการประเมินของแบบจำลองภูมิอากาศระดับภูมิภาค (regional climate model : RCM) PRECIS (Jones et.al., 2004) โดยใช้ boundary condition จากแบบจำลองภูมิอากาศระดับโลก (global climate model : GCM) ECHAM 4 (Roeckner et.al., 1996) ข้อมูลภูมิอากาศนี้ได้รับการอนุเคราะห์จากสถาบัน SEA START RC จุฬาลงกรณ์มหาวิทยาลัยส่วนคุณสมบัติดินในแต่ละ SMU นั้นเป็นข้อมูลกลุ่มชุดดินที่กรมพัฒนาที่ดินได้จัดทำขึ้น (กรมพัฒนาที่ดิน, 2543)

ส่วนข้อมูลพืช สำหรับข้าวใช้ค่าสัมประสิทธิ์พันธุกรรม (genetic coefficients) ของพันธุ์สุวรรณบุรี 1 เป็นตัวแทนข้าวชลประทาน และข้าวขาวดอกมะลิ 105 เป็นตัวแทนข้าวน้ำฝน ส่วนอ้อยได้ใช้สัมประสิทธิ์ทางพันธุกรรมของพันธุ์ K84-200 เป็นตัวแทน มันสำปะหลังใช้สัมประสิทธิ์ทางพันธุกรรมของพันธุ์เกษตรศาสตร์ 50 เป็นตัวแทน และข้าวโพด ใช้ข้อมูลสัมประสิทธิ์ทางพันธุกรรมของพันธุ์สุวรรณ 1 เป็นตัวแทน

ข้อมูลการจัดการพืชแต่ละพืชนั้นเป็นไปตามคำแนะนำของกรมการข้าว และกรมวิชาการเกษตร ดังสรุปในตารางที่ 8

ตารางที่ 8. ข้อมูลการจัดการพืชที่ใช้ในการจำลองผลกระทบของของการเปลี่ยนแปลงสภาพภูมิอากาศ

	ข้าว	อ้อย	มันสำปะหลัง	ข้าวโพด
พันธุ์	ข้าวดอกมะลิ 105 สุวรรณบุรี 1	K84-200	เกษตรศาสตร์ 50	สุวรรณ 1
วันปลูก	8 ก.ค.	15 ต.ค./15 เม.ย.	15 พ.ค.	15 พ.ค.
วิธีการปลูก	เป็นแท่ง	เป็นแท่ง	เป็นแท่ง	เป็นแท่ง
จำนวนประชากร (ตัน/ตร.ม.)	25	5	1	6.5
การใส่ปุ๋ย (กก./ไร่) ชลประทาน 12.8	น้ำฝน 8	18	optimal N	20
การให้น้ำ	อาศัยน้ำฝน	อาศัยน้ำฝน	อาศัยน้ำฝน	อาศัยน้ำฝน
การเก็บเกี่ยว	เมือสุกแก่	15 ธ.ค./15 ก.พ.	อายุ 12 เดือน	เมือสุกแก่

วิธีการวิเคราะห์การเปลี่ยนแปลงผลผลิตเชิงเวลาและพื้นที่

เมื่อ $y_{i,t}$ คือผลผลิตใน SMU i ในปี t และ A_i คือพื้นที่ของ SMU i การคำนวณหาผลผลิตเฉลี่ยรายปี y_t ในปี t ของประเทศ โดยใช้วิธี weighted average ซึ่งถ่วงน้ำหนักจากพื้นที่ปัจจุบัน คำนวณได้ดังนี้

$$y_t = \frac{\sum_{i=1}^n A_i y_{i,t}}{\sum_{i=1}^n A_i}$$

n คือจำนวนของ SMU ทั้งหมด ซึ่งพื้นที่ละชนิดจะมีค่าของ n ไม่เท่ากัน ส่วนผลผลิตเฉลี่ยทั่วราชอาณาจักร y_i ของ SMU i คำนวณดังนี้

$$y_i = \frac{\sum_{t=1}^d y_{i,t}}{d}, \text{ สำหรับทศวรรษ } d = 10$$

ความเบี่ยงเบนมาตรฐานของผลผลิตระหว่าง SMU ต่างๆ ที่เกิดขึ้นในปี t (σ_t spatial variation) คำนวณดังนี้

$$\sigma_t = \sqrt{\frac{\sum_{i=1}^n (y_{i,t} - y_t^*)^2}{n-1}}, \text{ เมื่อ } y_t^* \text{ ในที่นี้เป็น unweighted mean ของผลผลิตในปี } t$$

และความเบี่ยงเบนมาตรฐานของผลผลิตของ SMU i ที่เกิดขึ้นระหว่างปี 1980-2099 (σ_i temporal variation) คำนวณดังนี้

$$\sigma_i = \sqrt{\frac{\sum_{t=1}^d (y_{i,t} - y_i)^2}{d-1}}, \text{ เมื่อ } d = 100 \text{ และ } y_i \text{ คือค่าเฉลี่ยของปี 1980-2099}$$

ในการแสดงผลเชิงพื้นที่จะนำค่า y_i รายทศวรรษของแต่ละ SMU ไปบันทึกไว้ในรูปแบบ file.dbf และนำไปเชื่อมต่อกับฐานข้อมูลพื้นที่ปัจจุบันพืชในระบบ GIS (ArcView) โดยใช้รหัส smucode เป็นตัวเชื่อม จากรฐานข้อมูล ดังกล่าวสามารถจัดซั้นข้อมูลและสร้างแผนที่แสดงระดับของความแตกต่างของผลิตจากค่าเฉลี่ยของปัจจุบัน (ปี 1980-1989) ซึ่งใช้เป็นจุดอ้างอิงเปรียบเทียบผลกระทบจากการเปลี่ยนแปลงของภูมิอากาศโลก

ผลการจำลองผลกระทบของภาวะโลกร้อนต่อผลผลิตพืช

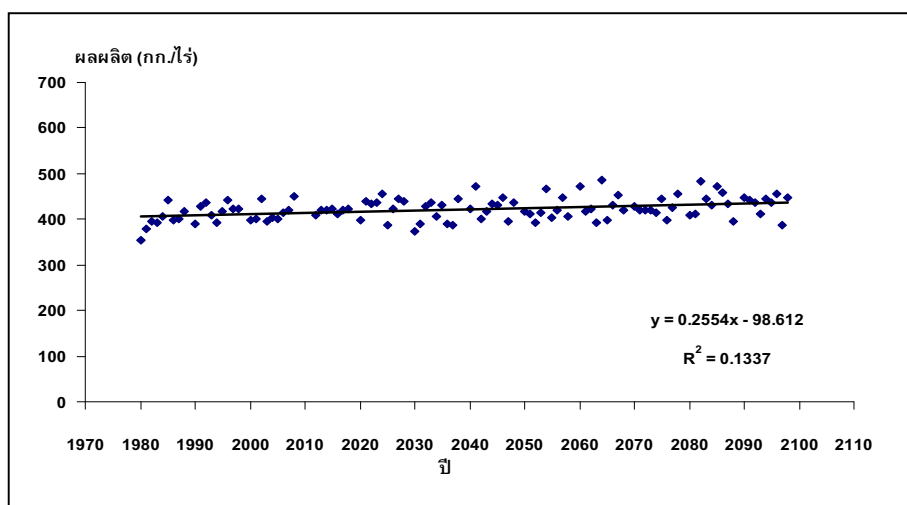
ผลกระทบต่อผลผลิตข้าวในระยะยาวและระยะสั้น

จากการจำลองและวิเคราะห์พบว่าผลผลิตข้าวนาน้าฝนเฉลี่ยทั่งประเทศมีแนวโน้มเพิ่มขึ้น จาก 399 กิโลกรัมต่อไร่ ในช่วงปีฐาน (1980-1989) เป็น 434 กิโลกรัมต่อไร่ ในปี 2090-99 (ภาพที่ 15) ส่วนผลผลิตข้าวน้ำชลประทานกลับมีแนวโน้มลดลงจาก 785 กิโลกรัมต่อไร่ ในช่วงปีฐาน เป็น 666 กิโลกรัมต่อไร่ ในปี 2090-99 หรือผลผลิตเฉลี่ยลดลง ร้อยละ 9-18 เมื่อเปรียบเทียบกับปีฐาน (ภาพที่ 16)

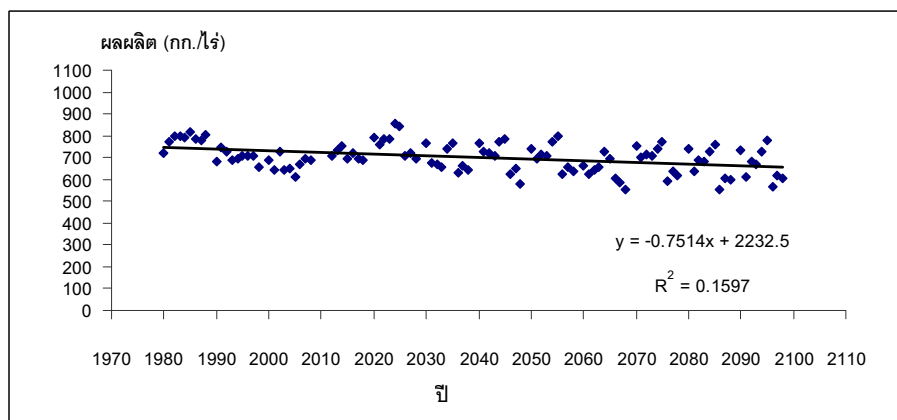
เมื่อวิเคราะห์ความแปรปรวนระหว่างปีของผลผลิตของข้าวนาน้าฝน โดยเฉลี่ยจากค่า σ_i จากปี 1980-2099 ของ SMU ทั้งหมด พบว่าความเบี่ยงเบนมาตรฐานของผลผลิตรายปี ($\bar{\sigma}_i$) มีค่าเท่ากับ ± 57 กิโลกรัมต่อไร่ ดังนั้นเมื่อเปรียบเทียบการเพิ่มขึ้นของผลผลิตจากปี 1980-2099 ซึ่งมีค่าเท่ากับ 35 กิโลกรัมต่อไร่ กับค่า $\bar{\sigma}_i$ อาจกล่าวได้ว่าแนวโน้มการเพิ่มขึ้นของผลผลิตของข้าวนาน้าฝนโดยภาพรวมของทั่งประเทศในระยะยาวนั้นเพิ่มขึ้นเพียงเล็กน้อย

ในการณ์ของข้าวน้ำชลประทาน แม้การเปลี่ยนแปลงของผลผลิตจะเห็นได้ชัดเจนกว่าข้าวนาน้าฝน แต่เมื่อเปรียบเทียบระดับการลดลงของผลผลิตดังกล่าวกับ $\bar{\sigma}_i$ ซึ่งมีค่าเท่ากับ ± 95 กิโลกรัมต่อไร่ ก็จะเห็นได้ว่าการเปลี่ยนแปลงของผลผลิตในระยะยาวนั้น มีระดับของการเปลี่ยนแปลงที่น้อยเช่นกัน

เมื่อเปรียบเทียบความแปรปรวนเชิงเวลาของระบบการผลิตข้าวทั้งสองพบว่า แม้ว่าค่า $\bar{\sigma}_i$ ของข้าวน้ำชลประทานจะสูงกว่าค่าของข้าวนาน้าฝน แต่เมื่อ normalized ให้เป็น ร้อยละของค่าเฉลี่ย ($100 \bar{\sigma}_i / \bar{y}_{i,t}$) พบว่ามีค่าใกล้เคียงกัน ประมาณ ร้อยละ 14 ดังนั้นอาจกล่าวได้ว่าผลกระทบจากภาวะโลกร้อนที่ทำให้ภูมิอากาศมีความแปรปรวนระหว่างปีต่อปีมากขึ้น อาจมีผลกระทบที่ชัดเจนและรุนแรงต่อการผลิตข้าว มากกว่าผลกระทบในระยะยาวที่เกิดจากอุณภูมิโลกและระดับ CO_2 ที่สูงขึ้น

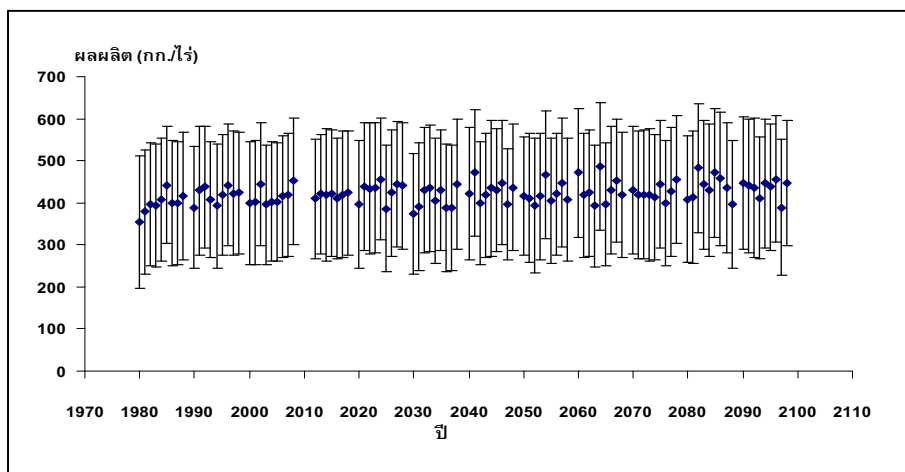


ภาพที่ 15. ผลผลิตจำลองเฉลี่ยรายปีในพื้นที่นานาน้าฝนของข้าวขาวด้วยมูลค่า 105 ทั่งประเทศ และแนวโน้มของการเปลี่ยนแปลงจากปี 1980 ถึงปี 2099

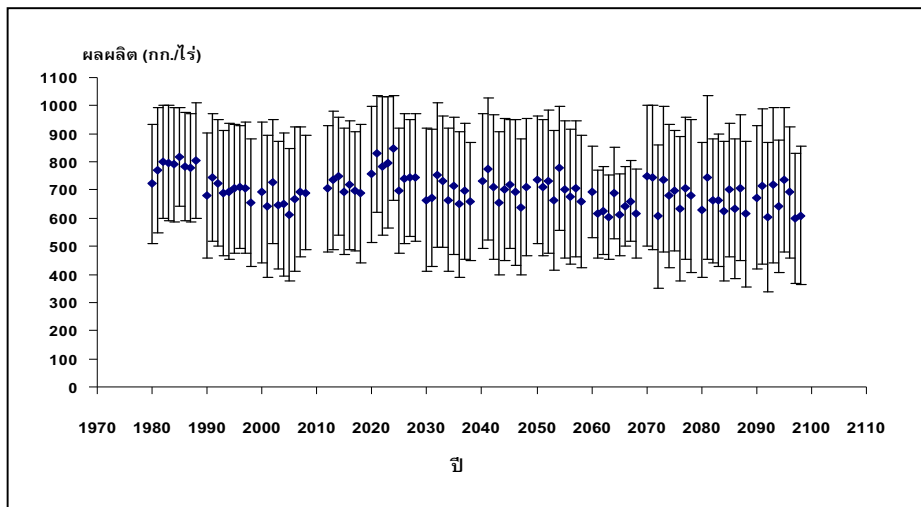


ภาพที่ 16. ผลผลิตจำลองเฉลี่ยรายปีในพื้นที่นาชลประทานของข้าวสูตรรณบุรี 1 ทั้งประเทศ และแนวโน้มของการเปลี่ยนแปลงจากปี 1980 ถึง ปี2099

เมื่อวิเคราะห์ความแปรปรวนของผลผลิตระหว่าง SMU ต่าง ๆ ของข้าวนาน้ำฝนในแต่ละปี (σ_t) พบร่วมกันค่าความเบี่ยงเบนมาตรฐานที่สูง ดังแสดงใน ภาพที่ 17 และเมื่อนำค่าความความเบี่ยงเบนมาตรฐานของผลผลิตระหว่าง SMU ในแต่ละปีมาหาเป็นค่าเฉลี่ย $\bar{\sigma}_t$ ตลอดช่วงปี 1980-2099 พบร่วมกันค่าดังกล่าวของข้าวนาน้ำฝนมีค่าเท่ากับ ± 148 กิโลกรัมต่อไร่ สูงกว่า $\bar{\sigma}_t$ ถึง 3 เท่า ส่วนข้าวนาชลประทานมีค่า $\bar{\sigma}_t$ เท่ากับ ± 227 กิโลกรัมต่อไร่ สูงกว่า $\bar{\sigma}_t$ ถึง 2 เท่า ดังแสดงในภาพที่ 18 อย่างไรก็ตามเมื่อ normalized ค่า $\bar{\sigma}_t$ พบร่วมกันค่าที่ใกล้เคียงกัน คือประมาณ ร้อยละ 33



ภาพที่ 17. ค่าเบี่ยงเบนมาตรฐาน และค่าเฉลี่ยของผลผลิตจำลองในแต่ละปี ของข้าวขาวดอกมะลิ 105 ในพื้นที่นา水ฝนทั้งประเทศ จากปี 1980 ถึง ปี2099

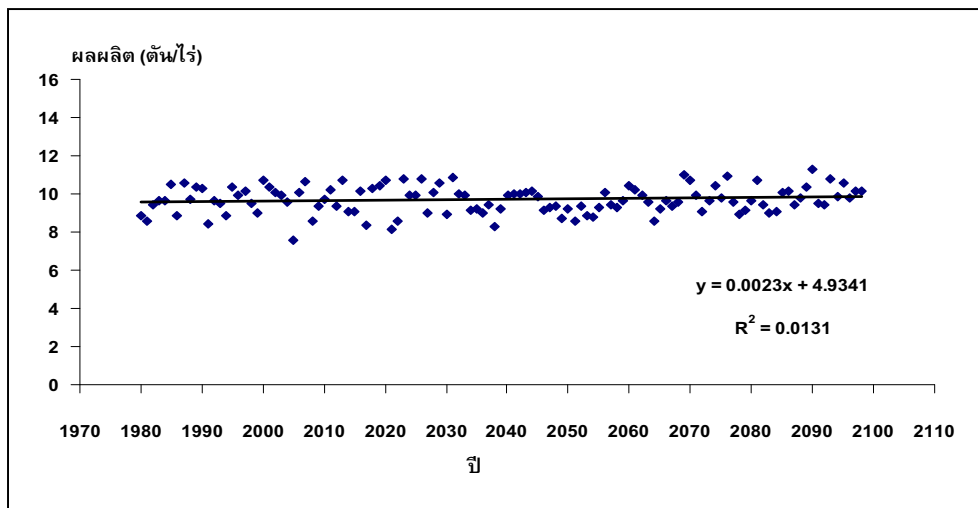


ภาพที่ 18. ค่าเบี่ยงเบนมาตรฐาน และค่าเฉลี่ยของผลผลิตจำลองในแต่ละปี ของข้าวพันธุ์สุพรรณบุรี 1 ในพื้นที่นาชลประทานทั้งประเทศ จากปี 1980 ถึง ปี 2099

ความแตกต่างของความแปรปรวนเชิงพื้นที่ และ เชิงเวลา ซึ่ง ความแตกต่างของคุณสมบัติดินและสภาพอากาศในแต่ละ SMU นั้นส่งผลกระทบร่วมกันต่อผลผลิตข้าว ทำให้ความแปรปรวนเชิงพื้นที่มีค่าสูงกว่าเชิงเวลา ดังนั้น แม้ในปีที่ผลผลิตเฉลี่ยของประเทศไทยสูง แต่ในบางพื้นที่ก็ยังมีโอกาสที่ผลผลิตจะต่ำ และในปีที่ผลผลิตเฉลี่ยของประเทศไทยต่ำ ระดับความเสียหายในพื้นที่ดังกล่าวอาจรุนแรงจนถึงขั้นวิกฤตได้

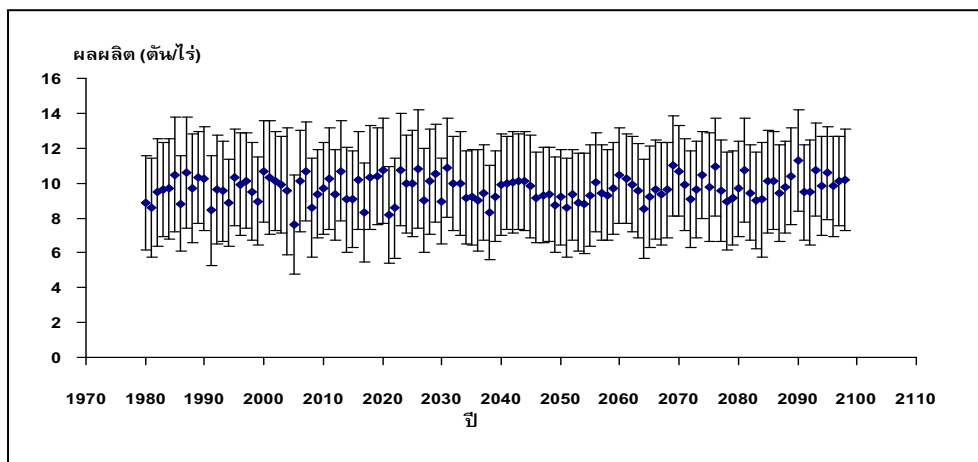
ผลกระทบต่อผลผลิตอ้อยระยะยาว และระยะสั้น

สมการ linear regression ซึ่งให้เห็นแนวโน้มในระยะยาวของการเพิ่มขึ้นของผลผลิตอ้อย ภายใต้ภาวะโลกร้อน (ภาพที่ 19) โดยผลผลิตอ้อย เพิ่มขึ้นจาก 9.6 ตันต่อไร่ (เฉลี่ย 10 ปี) ในปี 1980-89 เป็น 10.2 ตันต่อไร่ ในปี 2090-99 การเพิ่มขึ้นของผลผลิตอ้อยอาจไม่ได้เป็นผลมาจากการเพิ่มขึ้นของ CO_2 จากการศึกษาของ Josept et. al. (2009) พบว่า การเพิ่มระดับ CO_2 จาก 360 เป็น 720 ppmv มีผลต่อกระบวนการสังเคราะห์แสงของอ้อย (C4) เพียงเล็กน้อย แต่พบว่ากระบวนการสังเคราะห์แสงของอ้อยจะได้รับผลกระทบจากการขาดน้ำมากกว่า (ขณะที่ Kim et. al. (2007) ที่ศึกษาในข้าวโพดซึ่งเป็นพืช C4 เช่นเดียวกับอ้อย พบว่า การเปลี่ยนแปลงของอุณหภูมิ จะมีผลต่อการเจริญเติบโต พัฒนาการและผลผลิต มากกว่าการเปลี่ยนแปลงของระดับ CO_2)



ภาพที่ 19. ผลผลิตจำลลงเฉลี่ยรายปีของอ้อยพันธุ์ K84-200 ทั้งประเทศ และแนวโน้มของการเปลี่ยนแปลงจากปี 1980 ถึงปี 2099

จากการวิเคราะห์ผลการเจริญเติบโตและผลผลิตของอ้อย ระหว่างปี 1980 ถึง 2099 พบร่วมกัน ความแปรปรวนของผลผลิตค่อนข้างสูงโดยมีค่าของผลผลิตระหว่าง 8.2 ถึง 10.8 ตันต่อไร่ และ มีค่า $\bar{\sigma}_i$ เท่ากับ 1.8 ตันต่อไร่ และเมื่อ normalized มีค่าเท่ากับ ร้อยละ 18 ดังนั้นมีอิทธิพลต่อความแปรปรวนระหว่างปีกับการเพิ่มขึ้นของผลผลิตอ้อย จากปี 1980 ถึง 2099 จะเห็นว่าการเพิ่มขึ้นของผลผลิต (0.6 ตันต่อไร่) นั้นเป็นการเพิ่มขึ้นที่ไม่มากนัก ดังนั้นผลของภาวะโลกร้อนต่อความแปรปรวนของสภาพอากาศจึงเป็นประเด็นที่สำคัญต่อระบบการผลิตอ้อยและก่อให้เกิดภาวะเสี่ยงมากกว่าผลโดยตรงจากการเพิ่มขึ้นของ CO_2 และอุณหภูมิ

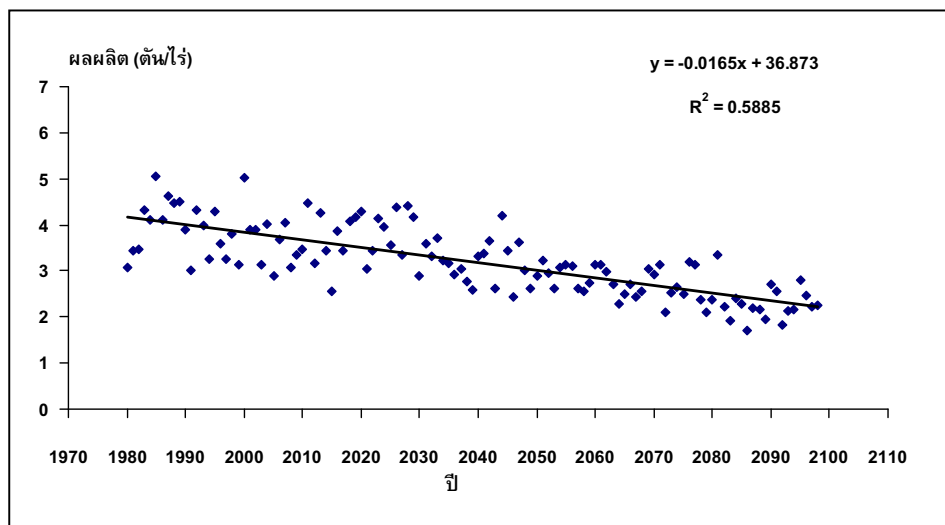


ภาพที่ 20. ค่าเบี่ยงเบนมาตรฐาน และค่าเฉลี่ยของผลผลิตจำลลงในแต่ละปี ของอ้อยพันธุ์ K84-200 ทั้งประเทศ จากปี 1980 ถึงปี 2099

เมื่อประเมินหาความแปรปรวนของผลผลิตระหว่าง SMU ภายในแต่ละปี (σ_t)พบว่ามีความแปรปรวนที่สูงกว่าความแปรปรวนระหว่างปี โดยมีค่า $\bar{\sigma}_t$ เท่ากับ ± 2.3 ตันต่อไร่ (ภาพที่ 20) และมีค่า normalized เท่ากับร้อยละ 23 ซึ่งแสดงให้เห็นว่า ผลกระทบของภาวะสภาพภูมิอากาศในระยะยาวจากการเพิ่มระดับ CO_2 และอุณหภูมิ มีผลต่อการเปลี่ยนแปลงของผลผลิตอย่างเพียงเล็กน้อย เมื่อเปรียบเทียบกับผลกระทบของผลผลิตที่เกิดขึ้นจากความแปรปรวนของสภาพแวดล้อมที่อาจรุนแรงขึ้นจากภาวะโลกร้อน และเมื่อประกอบกับความหลากหลายของดินทำให้ผลผลิตในพื้นที่ต่างๆ มีความแปรปรวนที่สูงกว่าความแปรปรวนระหว่างปี

ผลกระทบต่อผลผลิตมันสำปะหลังระยะยาและระยะสั้น

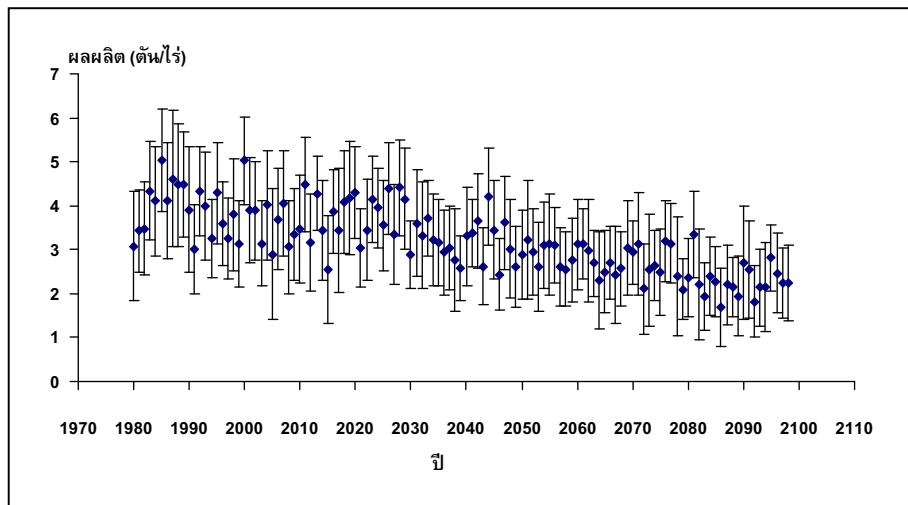
จากการจำลองการเจริญเติบโตและผลผลิตของมันสำปะหลังพบว่า ผลผลิตหัวสุด ของมันสำปะหลังพันธุ์เกษตรศาสตร์ 50 ลดลงอย่างต่อเนื่อง จาก 4.1 ตันต่อไร่ (เฉลี่ยระหว่างปี 1980-89) เป็น 2.3 ตันต่อไร่ (เฉลี่ยระหว่างปี 2090-99) หรือร้อยละ 43 จาก linear regression analysis (ภาพที่ 21) R^2 มีค่าเท่ากับ 0.6



ภาพที่ 21. ผลผลิตจำลองเฉลี่ยรายปีของมันสำปะหลังพันธุ์เกษตรศาสตร์ 50 ทั้งประเทศ และแนวโน้มของการเปลี่ยนแปลงจากปี 1980 ถึง ปี 2099

ความแปรปรวนระหว่างปีของผลผลิตมันสำปะหลัง $\bar{\sigma}_t$ มีค่าเท่ากับ ± 1.10 ตันต่อไร่ และมีค่า normalized เท่ากับร้อยละ 34 เมื่อเปรียบเทียบระดับของผลผลิตที่ลดลง 1.8 ตันต่อไร่ กับค่า $\bar{\sigma}_t$ จะเห็นว่าการเปลี่ยนแปลงสภาพอากาศในระยะยาวจะมีผลกระทบที่ค่อนข้างรุนแรงต่อผลผลิตของมันสำปะหลังซึ่งทำให้ผลผลิตลดลงเหลือเพียงร้อยละ 53 ของปัจจุบันเท่านั้น โดยที่ความแปรปรวนของผลผลิตเฉลี่ยทั้งประเทศ ซึ่งเป็นผลมาจากการเก็บข้อมูลที่มีความหลากหลายที่สำคัญ และทำให้ผลผลิตระหว่างปีมีความแปรปรวนถึง ± 25 ตันต่อไร่

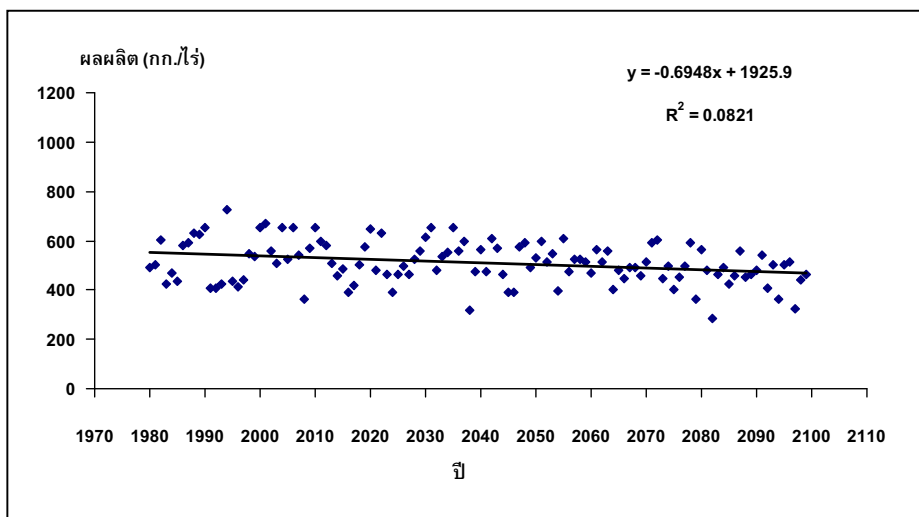
เมื่อพิจารณาถึงความแปรปรวนของผลผลิตระหว่าง SMU พบว่าค่า $\bar{\sigma}$, เท่ากับ 1.04 ตันต่อไร่ (ภาพที่ 22) และมีค่า normalized เท่ากับร้อยละ 33 ใกล้เคียงกับ $\bar{\sigma}$; ซึ่งแสดงให้เห็นว่า ภาวะสภาพภูมิอากาศที่เปลี่ยนแปลงไปในแต่ละปี โดยมีการเพิ่มระดับ CO_2 อุณหภูมิ รวมทั้งปริมาณฝนที่เพิ่มขึ้นจากปี 1980 ถึง 2099 มีผลกระทบต่อผลผลิต มันสำปะหลัง ใกล้เคียงกับผลกระทบที่เกิดขึ้นจากการแปรปรวนของสภาพแวดล้อมของแหล่งปลูกต่าง ๆ ในปีเดียวกัน ซึ่งเกิดจากปฏิกิริยาร่วมระหว่าง คุณสมบัติของดิน เช่น เนื้อดิน ความลึกของดินชั้นบน ซึ่งมีผลต่อความชื้น ชabin น้ำ รวมทั้งความลาดเอียงของพื้นที่ การจัดการในแต่ละแหล่งปลูก รวมถึงความแปรปรวนของภูมิอากาศระหว่างพื้นที่ต่าง ๆ เหล่านั้นด้วย



ภาพที่ 22. ค่าเบี่ยงเบนมาตรฐาน และค่าเฉลี่ยของผลผลิตจำลองในแต่ละปี ของมันสำปะหลังพันธุ์ เกษตรศาสตร์ 50 ทั้งประเทศ จากปี 1980 ถึงปี 2099

ผลกระทบต่อผลผลิตข้าวโพดระยะยาว และระยะสั้น

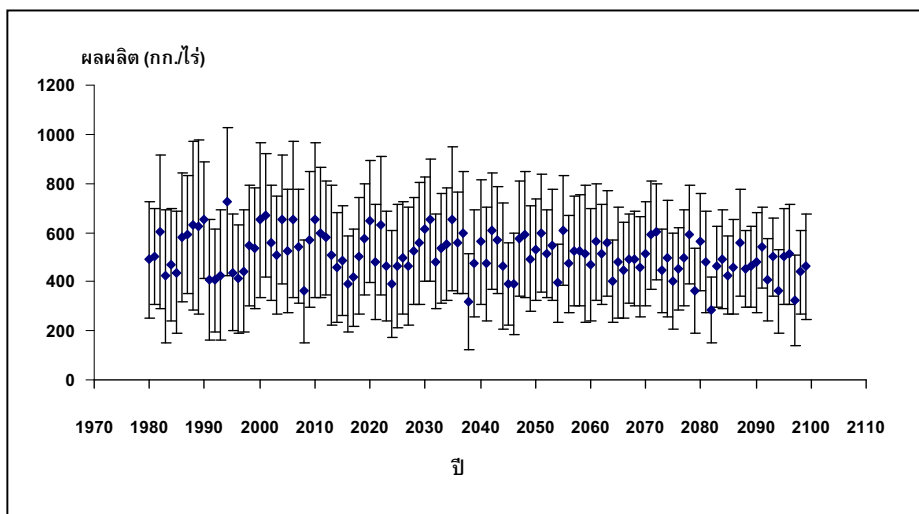
จากปี 1980 ถึงปี 2099 ผลผลิตของข้าวโพดพันธุ์สุวรรณ 1 ลดลงจาก 525 กิโลกรัมต่อไร่ ในช่วงปี 1980 - 1989 เหลือเพียง 445 กิโลกรัมต่อไร่ ในช่วงปี 2090 - 2099 หรือลดลงร้อยละ 15 (ภาพที่ 23) ค่า R^2 ที่ต่ำ (0.0821) ซึ่งให้เห็นว่า ความแปรปรวนของผลผลิต σ_i ที่เกิดจากความแปรปรวนของภูมิอากาศระหว่างปีมีผลต่อผลผลิตอย่างยิ่ง Zaidi (2002) พบว่า การจำลองการเจริญเติบโตของพืชโดยการเพิ่มระดับ CO_2 จาก 300 เป็น 600 ppmv ทำให้ผลผลิตเมล็ดข้าวโพด (C_4) เพิ่มขึ้นเพียงเล็กน้อย (ร้อยละ 7) ในขณะที่พืช C_3 (ข้าว ข้าวสาลี) ให้ผลผลิตเมล็ดเพิ่มขึ้นถึงร้อยละ 25 - 40 ผลตั้งกล้าแต่กต่างจากการศึกษาครั้งนี้ และซึ่ว่าการเปลี่ยนแปลงของสภาพแวดล้อมอื่นๆ เช่นการเพิ่มขึ้นของอุณหภูมิและความแปรปรวนของฝนอาจมีผลในทางลบมากกว่า และส่งผลทำให้ผลผลิตพืชโดยรวมลดลง สอดคล้องกับรายงานของ Kim et. al. (2007) พบว่า การเปลี่ยนแปลงอุณหภูมิเนื่องจากสภาพภูมิอากาศที่เปลี่ยนแปลง มีผลกระทบต่อการพัฒนาการและการเจริญเติบโตของข้าวโพดมากกว่าการเพิ่มระดับความชื้นของ CO_2



ภาพที่ 23. ผลผลิตจำลองเฉลี่ยรายปีของข้าวโพดพันธุ์สุวรรณ 1 ทั้งประเทศ และแนวโน้มของการเปลี่ยนแปลงจากปี 1980 ถึง ปี 2099

จากการวิเคราะห์ความแปรปรวนพบว่าผลผลิตของข้าวโพดมีความแปรปรวนระหว่างปี ค่อนข้างสูง โดยมีค่าของ $\bar{\sigma}_i$ สูงถึง ± 205.8 กิโลกรัมต่อไร่ คิดเป็นร้อยละ 41 ของผลผลิตเฉลี่ย ดังนั้นมีอิทธิพลต่อการคำนวณแนวโน้มของผลผลิตที่ลดลง จากช่วงปี 1980 ถึง 2099 จะเห็นว่าความแปรปรวนของผลผลิตระหว่างปีต่อปีเป็นปัญหาที่สำคัญ

ความแปรปรวนของผลผลิตข้าวโพด ระหว่าง SMU $\bar{\sigma}_i$ (ภาพที่ 24) มีค่าเท่ากับ ± 224.0 กิโลกรัมต่อไร่ ซึ่งให้เห็นว่าความแปรปรวนของผลผลิตข้าวโพดระหว่างพื้นที่บล็อก (SMU) ในแต่ละปีมีความแปรปรวนมากกว่าความแปรปรวนของผลผลิตระหว่างปีเพียงเล็กน้อย และมีค่า normalized เท่ากับร้อยละ 45



ภาพที่ 24. ค่าเบี่ยงเบนมาตรฐาน และค่าเฉลี่ยของผลผลิตจำลองในแต่ละปี ของข้าวโพดพันธุ์สุวรรณ 1 ทั้งประเทศ จากปี 1980 ถึง ปี 2099

สรุป

ผลกระทบในระยะยาวต่อผลผลิตพืชทั้ง 4 ชนิด จะแตกต่างกัน ในกรณีของอ้อยและข้าวนาแห้งผลผลิตมีแนวโน้มที่จะเพิ่มขึ้น แต่ในกรณีของข้าวนาชลประทาน ข้าวโพด และมันสำปะหลังผลผลิตมีแนวโน้มจะลดลง โดยภาพรวมการเปลี่ยนแปลงของผลผลิตในระยะยาวจะมีค่าค่อนข้างต่ำ น้อยกว่าร้อยละ 20 ยกเว้นมันสำปะหลัง ซึ่งผลผลิตจะลดลงถึงร้อยละ 47 นอกจากนี้ coefficient of determination (R^2) มีค่าค่อนข้างต่ำในทุกรายี ยกเว้นมันสำปะหลัง ทำให้ความเชื่อถือต่อแนวโน้มของการเปลี่ยนแปลงดังกล่าวต่ำ ดังนั้นมันสำปะหลังเป็นพืชที่อาจได้รับผลกระทบในระยะยาวมากที่สุด สาเหตุที่ผลการจำลองของผลผลิตมันสำปะหลังแตกต่างจากพืชอื่นๆ อาจเกิดจากมันสำปะหลัง มักจะปลูกในที่ที่มีความอุดมสมบูรณ์ของน้ำดินต่ำ เมื่อได้รับผลกระทบจากสภาพอากาศก็จะส่งผลกระทบที่รุนแรงต่อผลผลิต มากกว่าพืชอื่น นอกจากนี้ แบบจำลองพืชใน DSSAT จะแตกต่างกันไปในแต่ละพืช เช่นแบบจำลอง CERES สำหรับข้าวและข้าวโพด GUMCAS สำหรับมันสำปะหลัง และ CANEGRO สำหรับอ้อย เป็นต้น ดังนั้nlักษณะการประเมินผลจะแตกต่างกันไป ตามพักร์ชันทางคณิตศาสตร์ ของแต่ละแบบจำลอง จึงทำให้ผลของการตอบสนองต่อสภาพแวดล้อม แตกต่างกันได้

เมื่อเปรียบเทียบผลกระทบของการเปลี่ยนแปลงของผลผลิตกับความแปรปรวนรายปี พบร่วมกันความแปรปรวนรายปีมีค่าสูง และค่า normalized ของข้าวนาแห้งและข้าวนาชลประทานมีค่าประมาณร้อยละ 14 สำหรับอ้อยมีค่าร้อยละ 18 ส่วนมันสำปะหลังและข้าวโพดมีค่าร้อยละ 34 และ 42 ตามลำดับ ดังนั้นข้าวโพดและมันสำปะหลังได้รับผลกระทบที่รุนแรงจากการแปรปรวนของภูมิอากาศรายปี ส่วนข้าวและอ้อยนั้นอาจกล่าวได้ว่าความแปรปรวนของผลผลิตเพิ่มขึ้นจากภาวะทั่วไปมากนัก แต่ก็ยังสูงกวาร้อยละ 10 ซึ่งเกินค่าของ coefficient of variance (cv) ที่ยอมรับได้สำหรับ experimental error (Gomez and Gomez, 1984)

เมื่อพิจารณาถึงความแปรปรวนรายพื้นที่ ซึ่งนอกเหนือจากภูมิอากาศแล้ว ยังถูกกำหนดโดยความหลากหลายของของดิน พบร่วมกันความแปรปรวนของภูมิอากาศ normalized เชิงพื้นที่โดยเฉลี่ยของข้าวมีค่าสูงขึ้นถึงร้อยละ 33 ส่วนอ้อยมีค่าเท่ากับร้อยละ 23 สำหรับมันสำปะหลังและข้าวโพดมีค่าเท่ากับร้อยละ 33 และ 46 ตามลำดับ ความแปรปรวนของภูมิอากาศร่วมกับคุณสมบัติของดินส่งผลกระทบต่อการผลิตข้าวโพดมากที่สุด รองลงมาคือ มันสำปะหลัง และข้าว

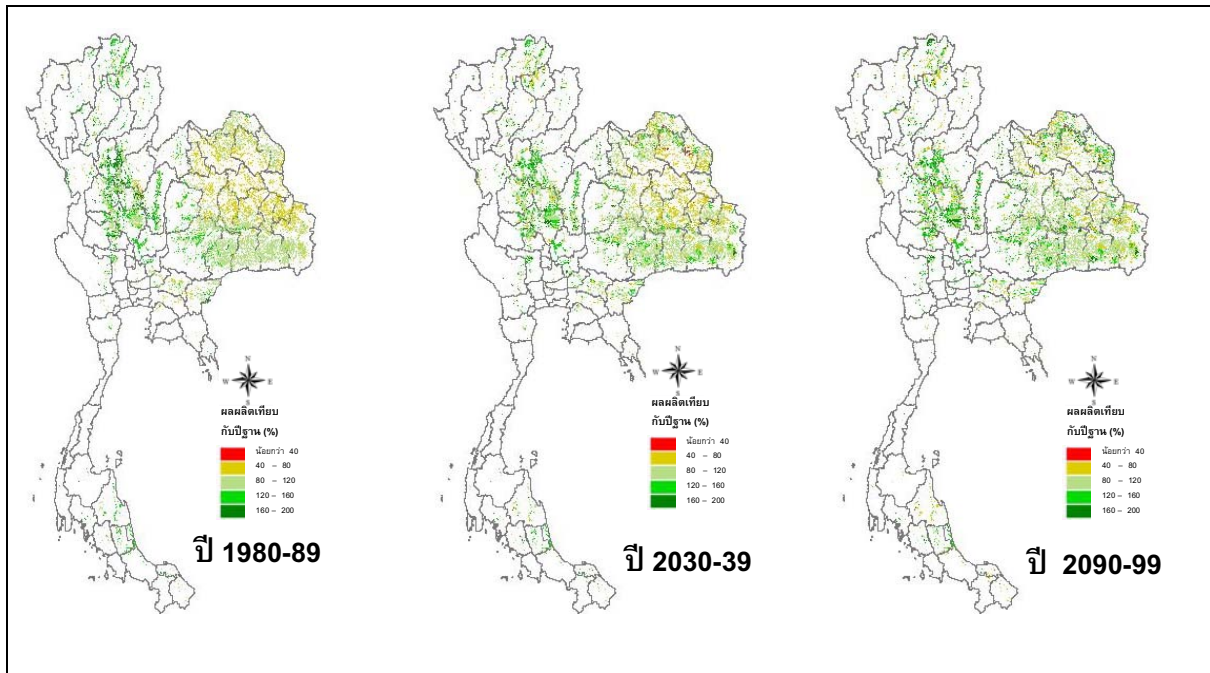
ข้อมูลดังกล่าวชี้ว่าแม้ในปีที่ผลผลิตของทั้งประเทศมีค่าค่อนข้างสูง แต่ผลผลิตในบางพื้นที่อาจจะได้รับผลกระทบจากความแปรปรวนของภูมิอากาศและดิน จนทำให้ผลผลิตต่ำกว่าจนวิกฤตได้ ดังนั้นจึงจำเป็นที่จะต้องวิเคราะห์หาพื้นที่ ๆ อาจได้รับผลกระทบที่รุนแรง

การวิเคราะห์พื้นที่และช่วงเวลาที่ได้รับผลกระทบรุนแรง

ความแปรปรวนของผลผลิตพืชเป็นผลกระทบที่เห็นได้ชัดจากการเปลี่ยนแปลงสภาพอากาศโลก แม้ในปีที่ผลผลิตเฉลี่ยของประเทศไทยสูง แต่ก็จะมีพื้นที่ๆ ได้รับผลกระทบที่รุนแรง และพื้นที่เหล่านี้อาจเปลี่ยนแปลงไปกับเวลาได้ดังนั้นจึงทำการวิเคราะห์ในรายละเอียดทั้งในแห่งพื้นที่และเวลาไปพร้อมๆ กัน เพื่อให้ทราบว่าพื้นที่เหล่านั้นอยู่ที่ไหนและจะได้รับผลกระทบเมื่อไหร่ ใน การวิเคราะห์ ได้ใช้ผลผลิตพืชเฉลี่ยรายทศวรรษของทุก ๆ SMU ตามเหตุผลที่ได้จาก การตรวจสอบข้อมูลการใช้ระดับ CO₂ เฉลี่ยและข้อมูลสภาพอากาศรายวัน เนื่องจากได้รายงานในรายละเอียดไว้แล้วใน รายงานความก้าวหน้าครั้งที่ 2 รายงานฉบับนี้จึงสรุปผล โดยใช้ข้อมูลปี 1980-89, 2030-39, และ 2090-99 เป็นตัวแทน ของผลกระทบที่จะเกิดขึ้นในอนาคตอันใกล้ ปานกลาง และค่อนข้างไกล

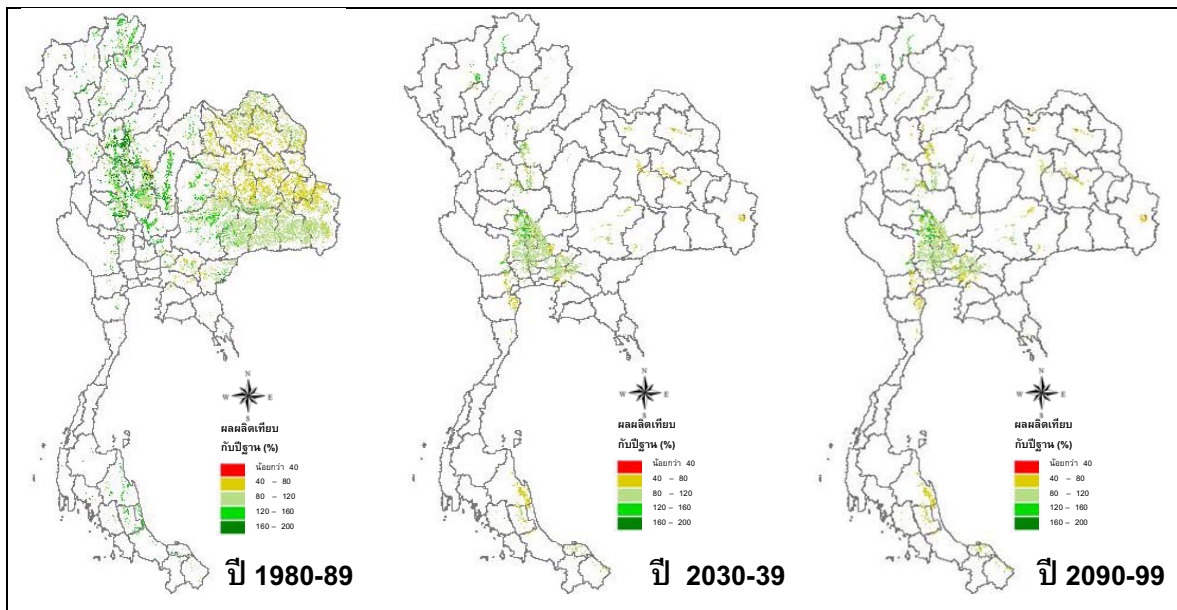
พื้นที่และช่วงเวลาที่ผลผลิตข้าวได้รับผลกระทบ

ในเขตนาข้าว ซึ่งใช้ข้าวพันธุ์ข้าวดอกมะลิ 105 เป็นตัวแทน มีบางพื้นที่ที่มีผลผลิตเฉลี่ยต่ำมาก ได้แก่พื้นที่ ในจังหวัดเชียงราย พะเยา หนองคาย ศักดิ์สิทธิ์ อุดรธานี นครพนม กาฬสินธุ์ ร้อยเอ็ด ศรีสะเกษ กำแพงเพชร และ ปราจีนบุรี เมื่อเปรียบเทียบเป็นเบอร์เซ็นต์กับค่าเฉลี่ยปี 1980-89 พบว่า ข้าวนานาฝ่ายที่ปลูกด้วยพันธุ์ข้าวดอกมะลิ 105 ถึงแม้ว่าโดยภาพรวมผลผลิตมีแนวโน้มคงที่หรือเพิ่มขึ้นเพียงเล็กน้อย แต่พื้นที่ภาคตะวันออกเฉียงเหนือ ส่วนใหญ่จะ ให้ผลผลิตต่ำกว่าค่าเฉลี่ยในปัจจุบัน



ภาพที่ 25. การเปลี่ยนแปลงของผลผลิตข้าวนานาฝ่ายพื้นที่ภายใต้ภาวะโลกร้อนเมื่อเทียบกับปีฐาน ในช่วงปี 1980-89 (ซ้าย) ปี 2030-39 (กลาง) และปี 2090-99 (ขวา)

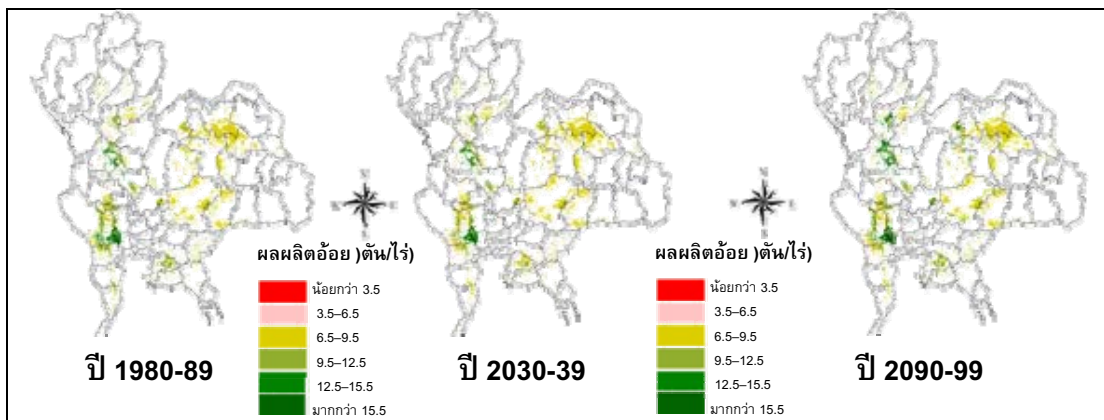
ในส่วนของนาชาลประทาน ซึ่งใช้ข้าวพันธุ์สุพรรณบุรี 1 เป็นตัวแทน และผลผลิตมีแนวโน้มที่จะลดลง พ布ว่า พื้นที่จังหวัดสกลนคร อุดรธานี ขอนแก่น มหาสารคาม กาฬสินธุ์ ร้อยเอ็ด อุบลราชธานี นครราชสีมา เพชรบุรี ราชบุรี นครปฐม พระนครศรีอยุธยา สุพรรณบุรี นครนายก ปราจีนบุรี ฉะเชิงเทรา และนครศรีธรรมราช บางส่วนในจังหวัด เหล่านี้จะมีผลผลิตต่ำกว่าค่าเฉลี่ยในปีฐาน ประมาณ ร้อยละ 20 – 60



ภาพที่ 26. การเปลี่ยนแปลงของผลผลิตข้าวนานาชาลประทานรายพื้นที่ภายใต้ภาวะโลกร้อน เมื่อเทียบกับปีฐาน ในช่วง ปี 1980-89 (ซ้าย) ปี 2030-39 (กลาง) และปี 2090-99 (ขวา)

พื้นที่และช่วงเวลาที่ผลผลิตอ้อยได้รับผลกระทบ

การจำลองผลผลิตของอ้อย ได้ใช้พันธุ์ K84-200 เป็นตัวแทน และแบ่งเป็นสองช่วงวันปลูกได้แก่ การปลูกอ้อย ข้ามแล้ง ที่ปลูกในช่วงเดือนตุลาคม ครอบคลุมเขตการปลูกอ้อยในภาคตะวันออกเฉียงเหนือทั้งหมด และการปลูกอ้อย ต้นฝน ที่ปลูกในช่วงเดือนเมษายน ได้แก่ เขตการปลูกอ้อยในภาคเหนือ ภาคกลาง และภาคตะวันออก จากการ จำลองพบว่าผลผลิตของอ้อยในช่วงปี 1990-2029 และปี 2030-2039 ผลผลิตในภาคตะวันออกเฉียงเหนือ มีความ แปรปรวนระจัดกระจายไม่เป็นรูปแบบ ผลผลิตส่วนใหญ่อยู่ในช่วงร้อยละ 40-80 เมื่อเทียบกับปีฐาน ในขณะที่เขตการ ปลูกในภาคเหนือ ภาคกลาง ภาคตะวันออก ผลผลิตอ้อยค่อนข้างดีกว่าค่าเฉลี่ยจากปีฐาน ในช่วงปี 2090-2099 ผลผลิตในแหล่งปลูกอ้อยภาคตะวันออกเฉียงเหนือ มีแนวโน้มเพิ่มสูงขึ้น โดยเฉพาะในเขตการปลูกอ้อยจังหวัดเลย และจังหวัดชัยภูมิ ผลผลิตเมื่อเทียบกับปีฐานเพิ่มขึ้นจากในช่วงแรกที่เท่ากับร้อยละ 80-120 เป็น ร้อยละ 120-140 แต่ ยังมีพื้นที่บางส่วนระหว่างรอยต่อจังหวัดอุดรธานี ขอนแก่น และกาฬสินธุ์ ที่ผลผลิตยังอยู่ในช่วงร้อยละ 40-80

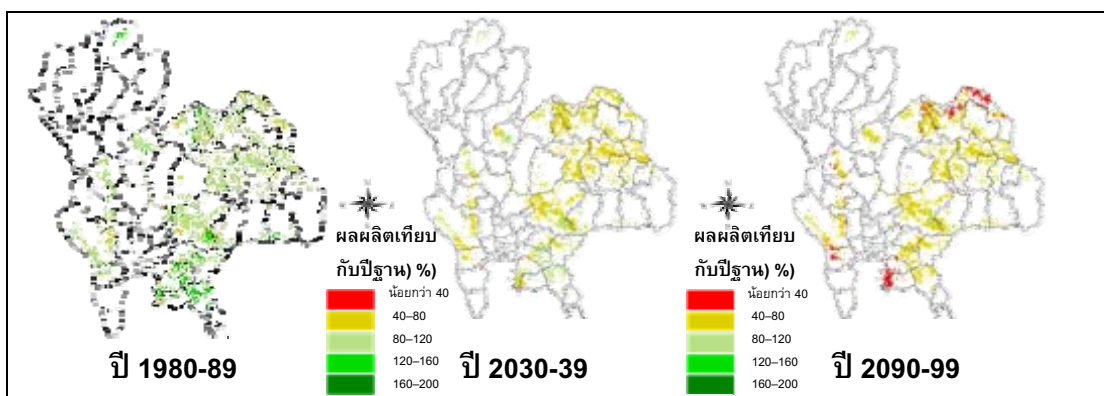


ภาพที่ 27. การเปลี่ยนแปลงของผลผลิตอ้อยรายพื้นที่ภายใต้ภาวะโลกร้อน เมื่อเทียบกับปีฐาน ในช่วงปี 1980-89 (ซ้าย) ปี 2030-39 (กลาง) และปี 2090-99 (ขวา)

โดยรวมแล้วผลจากการจำลองพบว่าผลผลิตของอ้อยค่อนข้างดีเมื่อปีฐานในเขตภาคเหนือ ภาคกลางและภาคตะวันออกของประเทศไทย ซึ่งเป็นการปลูกอ้อยต้นฤดูฝน ขณะที่ผลผลิตจะต่ำลงเมื่อปีฐานในภาคตะวันออกเฉียงเหนือที่ปลูกอ้อยในเดือนตุลาคม

พื้นที่และช่วงเวลาที่ผลผลิตมันสำปะหลังได้รับผลกระทบ

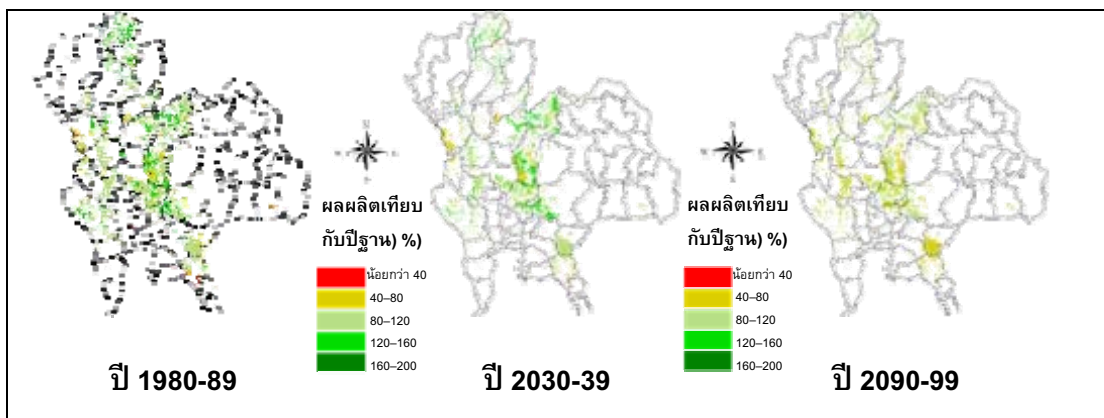
ในเขตการปลูกในภาคตะวันออกเฉียงเหนือ ถนนบัวลำภู อุดรธานี ศกลนคร บุรีรัมย์ และมหาสารคาม และเขตปลูกทางภาคตะวันออก ถนนจังหวัดปราจีนบุรี ยะลา เชิงเทรา และจันทบุรี จากช่วงปี 1980-1989 ถึง ปี 2030-39 ผลผลิตจะเริ่มลดลงจากเดิมอยู่ในช่วงร้อยละ 80-120 เมื่อเทียบกับปีฐาน ลดลงมาอยู่ที่ร้อยละ 40-80 โดยเฉพาะอย่างยิ่งทางภาคตะวันออกเฉียงเหนือตอนบน เมื่อเข้าสู่ช่วงปี 2090-2099 ผลผลิตในแหล่งปลูกมันสำปะหลังทั้งประเทศ จะลดลงมาอยู่ที่ร้อยละ 40-80 เมื่อเทียบกับปีฐาน พื้นที่บางส่วนทางเหนือของจังหวัดอุดรธานีต่อกับหนองคาย และทางใต้ของจังหวัดหนองคายต่อกับนครพนม รวมทั้งทางใต้ของจังหวัดกาญจนบุรีต่อกับราชบุรี ให้ผลผลิตน้อยกว่าร้อยละ 40 มีเพียงบางจุดในบริเวณตะวันออกเฉียงใต้ของจังหวัดนครราชสีมาต่อกับบุรีรัมย์ที่บังคับให้ผลผลิตร้อยละ 80-120 เมื่อเทียบกับปีฐาน



ภาพที่ 28. การเปลี่ยนแปลงของผลผลิตมันสำปะหลังรายพื้นที่ภายใต้ภาวะโลกร้อน เมื่อเทียบกับปีฐาน ในช่วงปี 1980-89 (ข้าย) ปี 2030-39 (กลาง) และปี 2090-99 (ขวา)

พื้นที่และช่วงเวลาที่ผลผลิตข้าวโพดได้รับผลกระทบ

ในช่วงแรกๆ จากปี 1980-1989 ถึง ปี 2030-2039 ผลผลิตข้าวโพดในพื้นที่ปลูกเขตภาคกลาง ได้แก่ จังหวัดนครสวรรค์ ลพบุรี เพชรบูรณ์ และอุทัยธานี ผลผลิตข้าวโพดลดลงจากปีฐานเหลือเพียงร้อยละ 40-80 แต่เมื่อเข้าสู่ช่วงปี 2070-2099 พื้นที่ปลูกข้าวโพดทั้งหมดให้ผลผลิตร้อยละ 40-80 เมื่อเทียบกับปีฐาน ยกเว้นในบางพื้นที่ที่ยังคงรักษาระดับผลผลิตในระดับเดียวกับปีฐาน ได้แก่ จังหวัดพิษณุโลก นครราชสีมา เพชรบูรณ์ กำแพงเพชร เลย และเชียงราย



ภาพที่ 29. การเปลี่ยนแปลงของผลผลิตมันสำปะหลังรายพื้นที่ภายใต้ภาวะโลกร้อน เมื่อเทียบกับปีฐาน ในช่วงปี 1980-89 (ข้าย) ปี 2030-39 (กลาง) และปี 2090-99 (ขวา)

ดัชนีชี้วัดผลกระทบ (Impact Index)

ผลกระทบต่อการผลิตพืชจากการเปลี่ยนแปลงภาระภูมิอากาศโลก นอกจากจะพิจารณาจากระดับความรุนแรง ซึ่งวัดได้จากการลดลงของผลผลิตพืชแล้ว ยังต้องคำนึงถึงขนาดของพื้นที่ๆ ได้รับผลกระทบ ความยาวนานของผลกระทบ และเวลาที่ผลดังกล่าวจะเกิดขึ้น หากจะเกิดขึ้นในอนาคตอันใกล้ก็มีความเร่งด่วนที่ต้องแก้ปัญหาและความแน่นอน (certainty) สูง เนื่องจากโอกาสที่สถานการณ์ต่างๆ โดยรอบ เช่นระบบเศรษฐกิจสังคม และเทคโนโลยี จะเปลี่ยนแปลงไปมีน้อย ดังนั้นจึงสร้างดัชนีที่รวมปัจจัยเหล่านี้ไว้ด้วยกันเพื่อใช้ช่วยตัดสินใจในการกำหนดเป้าหมาย วิธีการและเวลา ในการวางแผนแก้ปัญหา ขั้นตอนการสร้าง Impact Index มีดังนี้

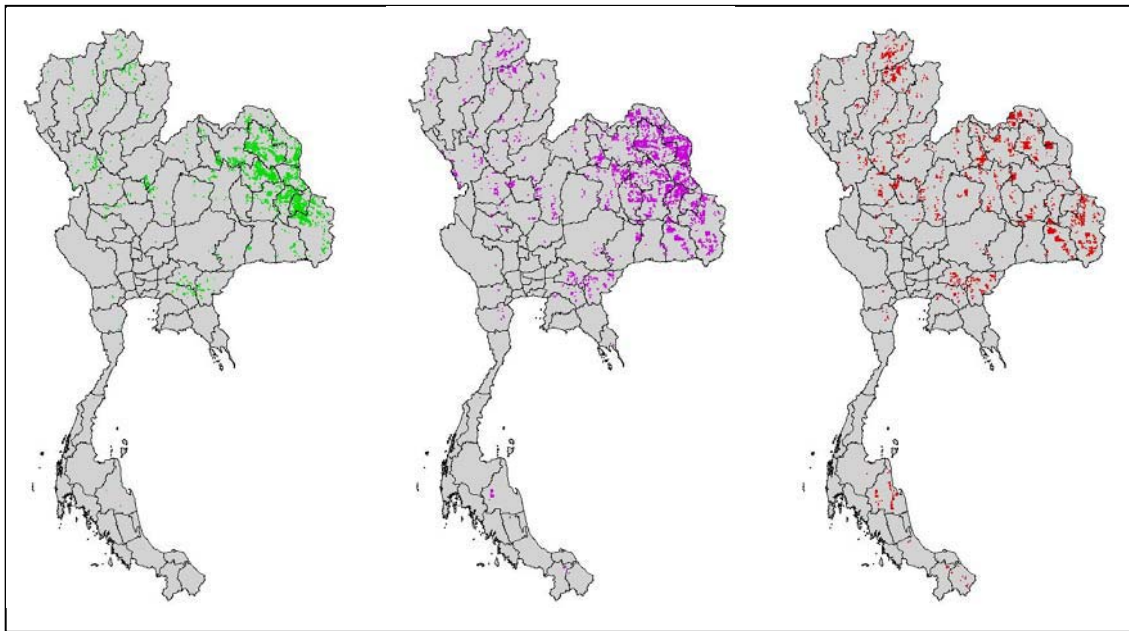
- กำหนดค่าผลผลิตวิกฤต ที่ถือว่าผลผลิตพืชได้รับผลกระทบรุนแรง และหาพื้นที่วิกฤตในช่วงเวลาต่างๆ
- นำแผนที่พื้นที่วิกฤตในช่วงเวลาต่างๆ มาทำการซ้อนทับและจัดประเภท (class) พื้นที่วิกฤต ตามขนาดของพื้นที่ ความยาวนาน และเวลาที่ผลกระทบเกิดขึ้น แล้วคำนวนหา impact index

พื้นที่วิกฤตของการผลิตพืช

การผลิตพืชมีช่วง (margin) ที่ให้ผลตอบแทนเป็นรายได้สูงต่อ มีความเสี่ยงสูง แต่เกษตรกรผู้ผลิตมีทางเลือกในการประกอบอาชีพอื่นน้อย และมีทุนจำกัดไม่สามารถรองรับความแปรปรวนของผลผลิตที่รุนแรงได้จากประสบการณ์ของกลุ่มผู้ทำวิจัยที่ได้ทำงานร่วมกับเกษตรและผู้เชี่ยวชาญในหลาย ๆ สาขาที่เกี่ยวข้อง ได้กำหนด ในภาพรวม ให้ระดับผลผลิตที่วิกฤตมีค่าเท่ากับหรือน้อยกว่าร้อยละ 70 ของผลผลิตของปีฐาน เมื่อนำแผนที่ผลผลิตพืชเฉลี่ยรายศรรษฐของทุกๆ SMU ในช่วงปี 1980-89, 2030-39, และ 2090-99 (ซึ่งเป็นตัวแทนของผลกระทบที่จะเกิดขึ้นในอนาคตอันใกล้ ปานกลาง ค่อนข้างใกล้ ดังที่ได้เสนอไว้ในหัวข้อ การวิเคราะห์พื้นที่และช่วงเวลาที่ได้รับผลกระทบรุนแรง) มาทำการคัดเลือกให้เหลือเฉพาะพื้นที่ๆ มีผลผลิตต่ำกว่าหรือเท่ากับร้อยละ 70 ของปีฐาน จะได้พื้นที่ๆ มีผลผลิตในระดับที่วิกฤต

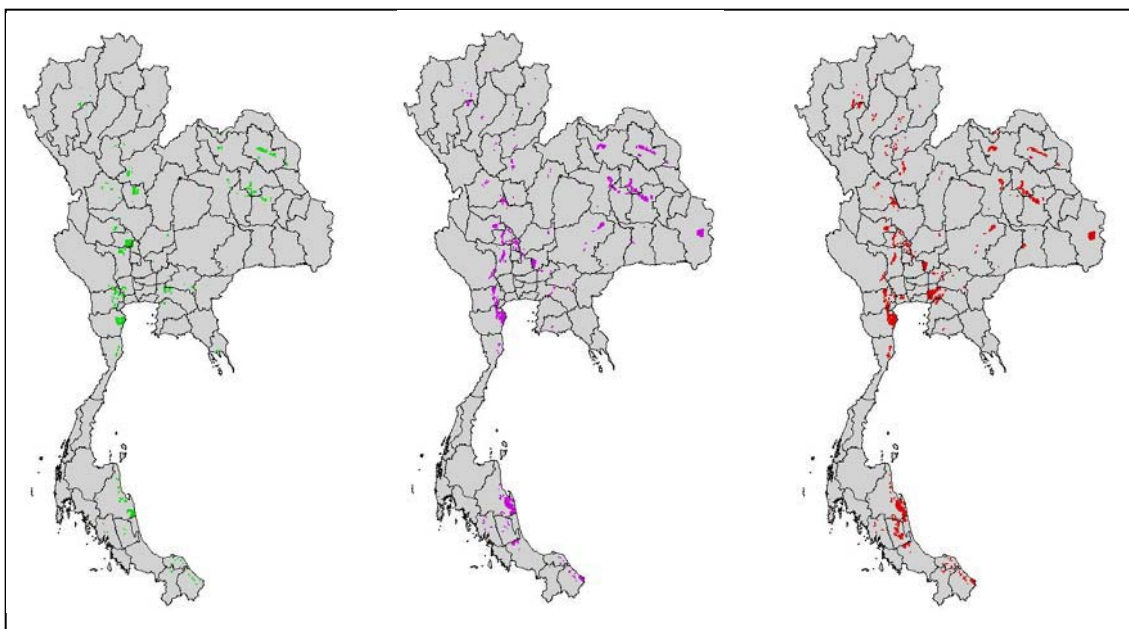
ข้าว

ในกรณีของข้าวนาแห้ง พื้นที่วิกฤต (ภาพที่ 30) ส่วนใหญ่อยู่ในภาคตะวันออกเฉียงเหนือ เช่น จังหวัดหนองบัวลำภู อุดรธานี ศรีสะเกษ นครพนม กامพสินธุ์ ร้อยเอ็ด นครพนม มุกดาหาร ยโสธร อำนาจเจริญ สุรินทร์ ศรีสะเกษ พื้นที่ดังกล่าวการกระจายตัวจะเพิ่มขึ้น แต่มีความหนาแน่นลดลง



ภาพที่ 30. แผนที่แสดงพื้นที่วิกฤตของการปลูกข้าวนาน้ำฝน ในช่วงปี 1980-1989 (ซ้าย) ปี 2030-2039 (กลาง) และปี 2090-2099 (ขวา)

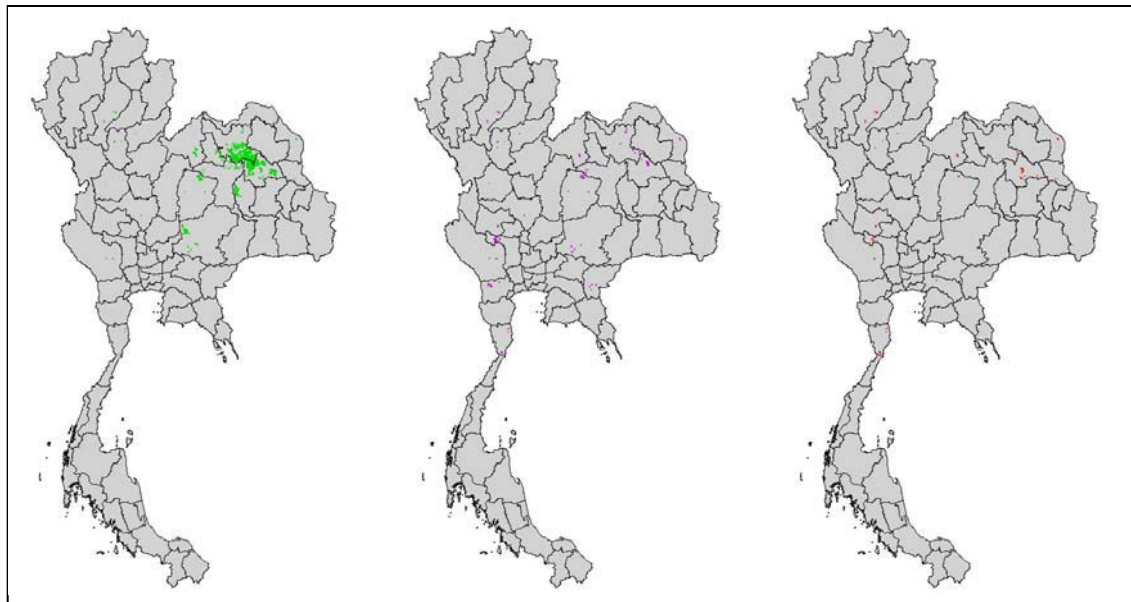
ในส่วนของนาชลประทาน ซึ่งผลผลิตเฉลี่ยของทั้งประเทศลดลง พื้นที่ฯ ได้รับผลกระทบบูรุนแรงจะกระจายตัวอยู่ทั่วประเทศ (ภาพที่ 31) เช่น เชียงใหม่ พิษณุโลก นครสวรรค์ ชัยนาท สิงห์บุรี สุพรรณบุรี สารบุรี เพชรบุรี ราชบุรี นครปฐม พระนครศรีอยุธยา นครนายก ฉะเชิงเทรา ศากลนคร ขอนแก่น มหาสารคาม กาฬสินธุ์ สงขลา ปัตตานี ยะลา และนราธิวาส



ภาพที่ 31. แผนที่แสดงพื้นที่วิกฤตของการปลูกข้าวนานาชลประทาน ในช่วงปี 1980-1989 (ซ้าย) ปี 2030-2039 (กลาง) และปี 2090-2099 (ขวา)

อ้อย

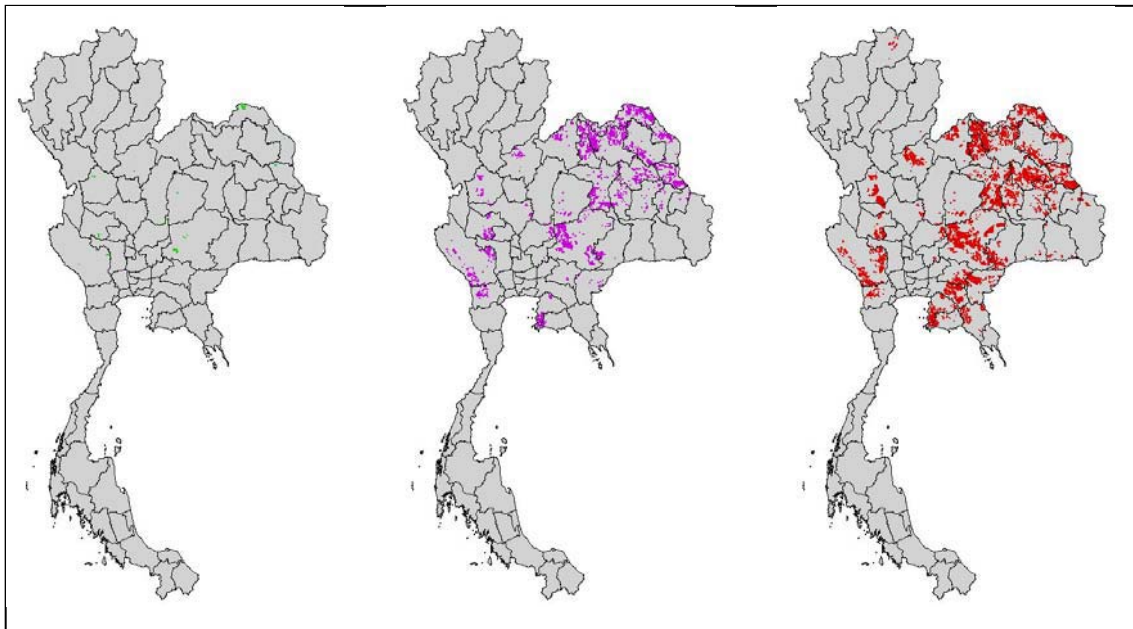
พื้นที่วิกฤตของการผลิตอ้อย ส่วนใหญ่อยู่ในเขตภาคตะวันออกเฉียงเหนือ โดยเฉพาะพื้นที่ที่อยู่ระหว่างรอยต่อจังหวัดกาฬสินธุ์และอุดรธานี บางส่วนของจังหวัดมหาสารคาม ขอนแก่น นครราชสีมา เลย และชัยภูมิ ขณะที่ในภาคอื่นๆ มีบ้างเพียงเล็กน้อย (ภาพที่ 32) เมื่อเวลาผ่านไปพื้นที่ดังกล่าวจะลดลง อย่างเห็นได้ชัด โดยเฉพาะพื้นที่ปลูกอ้อยในเขตจังหวัดขอนแก่นและมหาสารคาม ส่วนพื้นที่ปลูกอ้อยจังหวัดอุดรธานี และกาฬสินธุ์ ยังเหลือเพียงเล็กน้อยที่ให้ผลผลิตต่ำ แต่เป็นที่น่าสังเกตว่าในขณะที่ภาคตะวันออกเฉียงเหนือผลผลิตสูงขึ้น แต่กลับมีพื้นที่ปลูกในบางจังหวัดลดต่ำลง ที่เห็นได้ชัดคือในจังหวัดเพชรบุรี และสุพรรณบุรี



ภาพที่ 32. แผนที่แสดงพื้นที่วิกฤตของการปลูกอ้อย ในช่วงปี 1980-1989 (ซ้าย) ปี 2030-2039 (กลาง) และปี 2090-2099 (ขวา)

มันสำปะหลัง

ในช่วงปี 1980-1989 พื้นที่ๆ ผลผลิตของมันสำปะหลังต่ำกว่า ร้อยละ 70 ของผลผลิตเฉลี่ยทั้งประเทศ พบเพียงเล็กน้อยในจังหวัดหนองคาย ชัยภูมิ และ นครราชสีมา แต่พื้นที่ดังกล่าวเพิ่มขึ้นอย่างมากอย่างต่อเนื่อง จนถึงปี 2090-2099 โดยเฉพาะ ในภาคตะวันออกเฉียงเหนือ (ภาพที่ 33) ได้แก่ จังหวัดหนองคาย อุดรธานี หนองบัวลำภู ขอนแก่น กาฬสินธุ์ ศกลนคร นครราชสีมา สำหรับภาคกลาง ได้แก่ จังหวัดราชบุรี กาญจนบุรี และ อุทัยธานี ส่วนภาคตะวันออก ได้แก่ จังหวัดระยอง

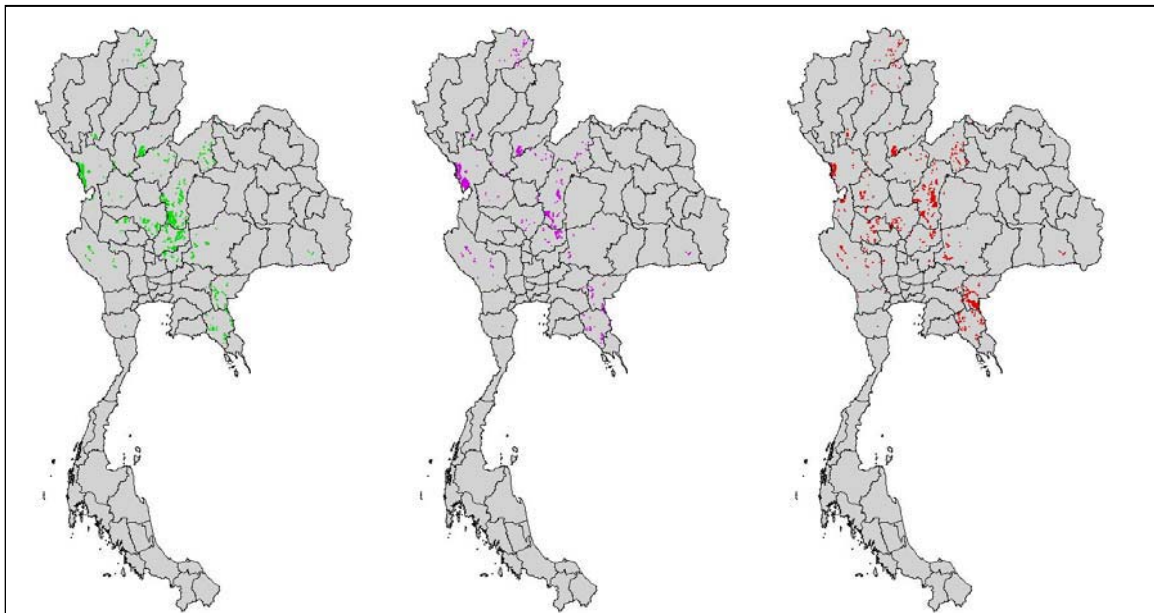


ภาพที่ 33. แผนที่แสดงพื้นที่วิกฤตของการปลูกมันสำปะหลัง ในช่วงปี 1980-1989 (ซ้าย) ปี 2030-2039 (กลาง) และปี 2090-2099 (ขวา)

ข้าวโพด

ในปี 2030 มีพื้นที่วิกฤตของข้าวโพดลดลงร้อยละ 21.24 เมื่อเปรียบเทียบกับค่าเฉลี่ยปีฐาน ในขณะที่ปี 2090 มีพื้นที่ดังกล่าวกลับเพิ่มขึ้นเป็น ร้อยละ 50.34 จากช่วงปี 2030 (ภาพที่ 34)

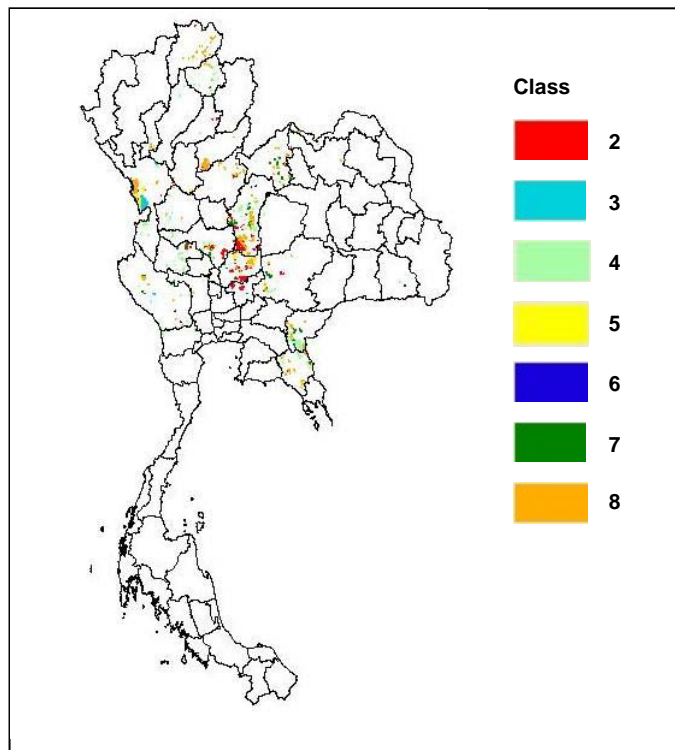
พื้นที่ที่มีผลผลิตต่ำดังกล่าว สามารถแบ่งออกได้เป็น 4 กลุ่มใหญ่ๆ ได้แก่ กลุ่มที่ 1 คือ พื้นที่จังหวัดเลย เพชรบูรณ์ และนครราชสีมา กลุ่มที่ 2 คือ พื้นที่จังหวัดนครสวรรค์ อุทัยธานี กาญจนบุรี กำแพงเพชร ตาก และ ลำพูน กลุ่มที่ 3 คือ พื้นที่จังหวัดสระแก้วและจันทบุรี กลุ่มที่ 4 คือ พื้นที่จังหวัดเชียงราย พะเยา ลำปาง และแพร่



ภาพที่ 34. แผนที่แสดงพื้นที่วิกฤตของการปลูกข้าวโพด ในช่วงปี 1980-1989 (ซ้าย) ปี 2030-2039 (กลาง) และปี 2090-2099 (ขวา)

การแบ่งชั้นการกำหนดค่าดัชนีของผลกระทบ

เมื่อนำแผนที่ของพื้นที่วิกฤต ในช่วงปี 1980-89, 2030-39, และ 2090-99 (เข่นภาพที่ 34 ของข้าวโพด) มาทำการซ้อนทับ (overlay) จะได้ข้อมูลของพื้นที่ 8 ประเภท ที่แสดงระดับความรุนแรงที่วิกฤต ขนาดของพื้นที่ ความยาวนาน และเวลาที่เกิดแตกต่างกัน ดังตัวอย่างแสดงในภาพที่ 35 ที่แสดงตัวແහນและขนาดของพื้นที่ของ พื้นที่ทั้ง 8 ประเภท และตารางที่ 9 ที่แสดงคุณสมบัติในแบ่งของความยาวนาน และเวลาที่เกิดของพื้นที่แต่ละ ประเภท



ภาพที่ 35. แผนที่แสดงตัวແහນและขนาด ของพื้นที่วิกฤตทั้ง 8 ประเภทของข้าวโพด

ตารางที่ 9. แสดงประเภทของพื้นที่วิกฤตที่เกิดจากภาวะโลกร้อน ที่ผลผลิต ≤ ร้อยละ 70 ที่เวลาและความ ยาวนานแตกต่างกัน

class	Period		
	1980-89	2030-39	2090-99
1	-	-	-
2	$\leq 70\%$	-	-
3	-	$\leq 70\%$	-
4	-	-	$\leq 70\%$
5	$\leq 70\%$	$\leq 70\%$	-
6	0	$\leq 70\%$	$\leq 70\%$
7	$\leq 70\%$	0	$\leq 70\%$
8	$\leq 70\%$	$\leq 70\%$	$\leq 70\%$

จำนวนของประเภทจะขึ้นกับจำนวนของแผนที่ ๆ นำมาซ้อนทับ (x) และจำนวนของประเภทของพื้นที่ในแผนที่ (i) ดังนี้

$$\text{Number of classes} = i^x$$

ในกรณีนี้ $x = 3$ ช่วงเวลา และ $i = 2$ ประเภทคือ $\leq 70\%$ และ $> 70\%$ จากพังก์ชันดังกล่าวหากใช้แผนที่รายทศวรรษ 10 ช่วงเวลา จาก 2000-2099 จะได้จำนวนประเภทของพื้นที่ทั้งหมดเท่ากับ $2^{10} = 1024$ ประเภท หรือ หากใช้จำนวน class ในแต่ละช่วงเวลาเท่ากับ 4 ก็จะได้ผลลัพธ์ $4^3 = 64$ ประเภท ซึ่งจะทำให้การวิเคราะห์ซับซ้อนของเห็น information และรูปแบบได้มากขึ้น ดังนั้นจำเป็นที่จะต้องลดทอนจำนวนของแผนที่และจำนวนของประเภทของข้อมูลในแผนที่ ที่ใช้ให้เหลือเท่าที่จำเป็นเท่านั้น โดยเฉพาะจำนวนของแผนที่

จากวิธีการและข้อกำหนดดังกล่าว ได้หาข้อมูลคุณสมบัติของพื้นที่ทั้ง 8 ประเภท และทำการกำหนดค่า impact index จาก

$$\text{Impact Index} = \text{magnitude} \times \text{Area} \times \text{duration} \times \text{timing}$$

เมื่อ

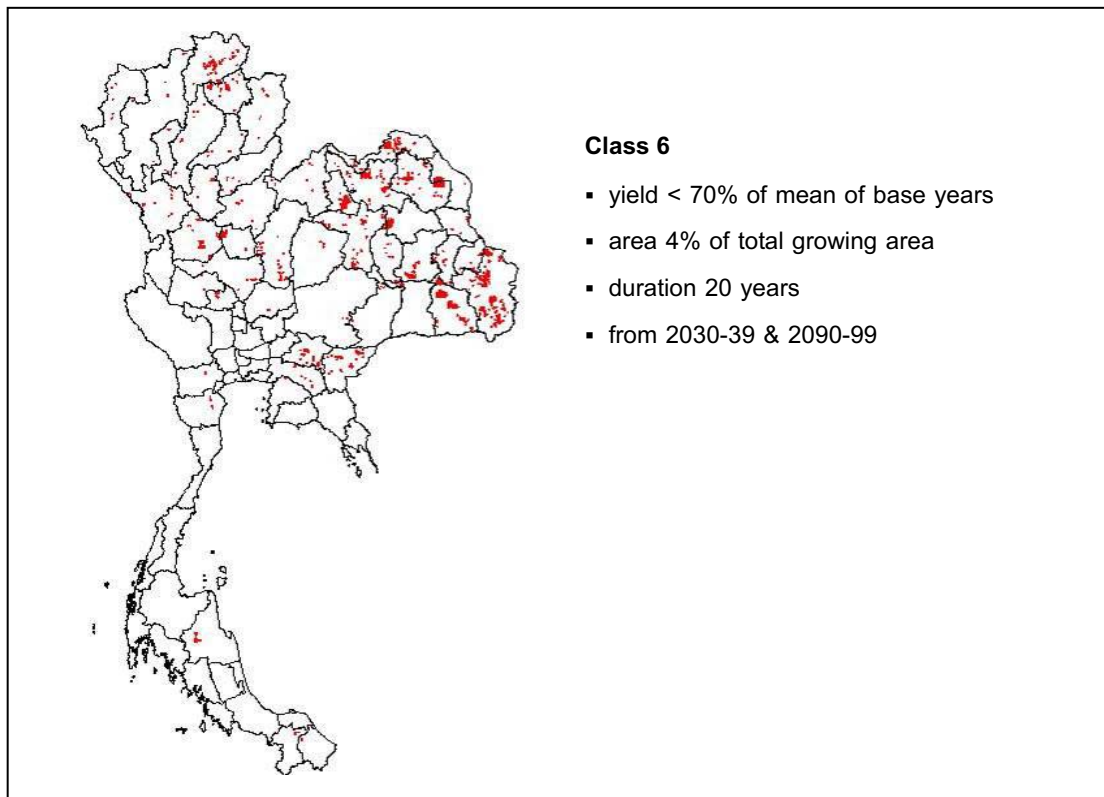
- Magnitude คือระดับความรุนแรงของผลกระทบ คิดจากสัดส่วนของผลผลิตที่ลดลงจากปีฐาน ซึ่งในพื้นที่ของประเภท 2-8 กำหนดให้เท่ากันคือ $> 30\%$
- Area (fraction) คือ สัดส่วนของพื้นที่ของ class ต่อพื้นที่ทั้งหมดของระบบปัญญาพีชชันดินนั้น
- Duration คือสัดส่วนของช่วงเวลาต่อช่วงเวลาทั้งหมด (30 ปี)
- Timing เป็นส่วนกลับของลำดับการเกิด (order) ปี 1980-89 order = 1 ปี 2030-39 order = 2 และปี 2090-99 order = 3 เพื่อแสดงถึง ระดับความไม่แน่นอน (degree of certainty) ที่เกิดจากการเปลี่ยนแปลงในอนาคตของ เทคโนโลยีการผลิต พันธุ์พืช การใช้ที่ดิน รวมถึง error สะสมของ climate prediction ที่อาจเพิ่มขึ้นในระยะยาว

ตัวอย่างของผลที่ได้จากการประเมินโดยวิธีการดังกล่าว ซึ่งเป็นของข้าวน้ำฝน ได้แสดงไว้ในตารางที่ 10 : ซึ่งพื้นที่ประเภทที่ 6 มีค่า Impact Index สูงสุด

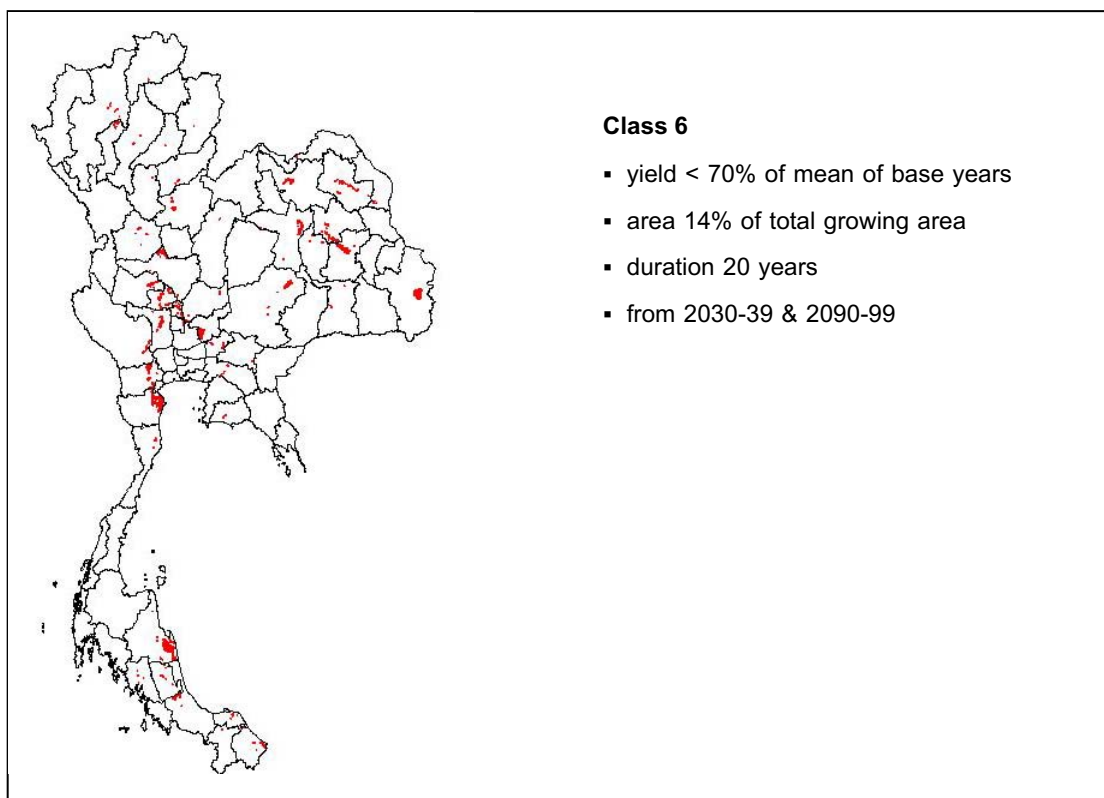
ตารางที่ 10. คุณสมบัติและ Impact Index ของพื้นที่ปัญข้าวน้ำฝนทั้ง 8 ประเภท

Class	Magnitude	Area (fraction)	Duration	Timing (1/order)	Impact Index
1	0	0.85	0.00	0.0	0.00000
2	0.30	0.043	0.33	1.00	0.00428
3	0.30	0.030	0.33	0.50	0.00151
4	0.30	0.013	0.33	0.33	0.00042
5	0.30	0.014	0.67	1.00	0.00282
6	0.30	0.044	0.67	0.50	0.00437
7	0.30	0.001	0.67	1.00	0.00013
8	0.30	0.005	1.00	1.00	0.00160

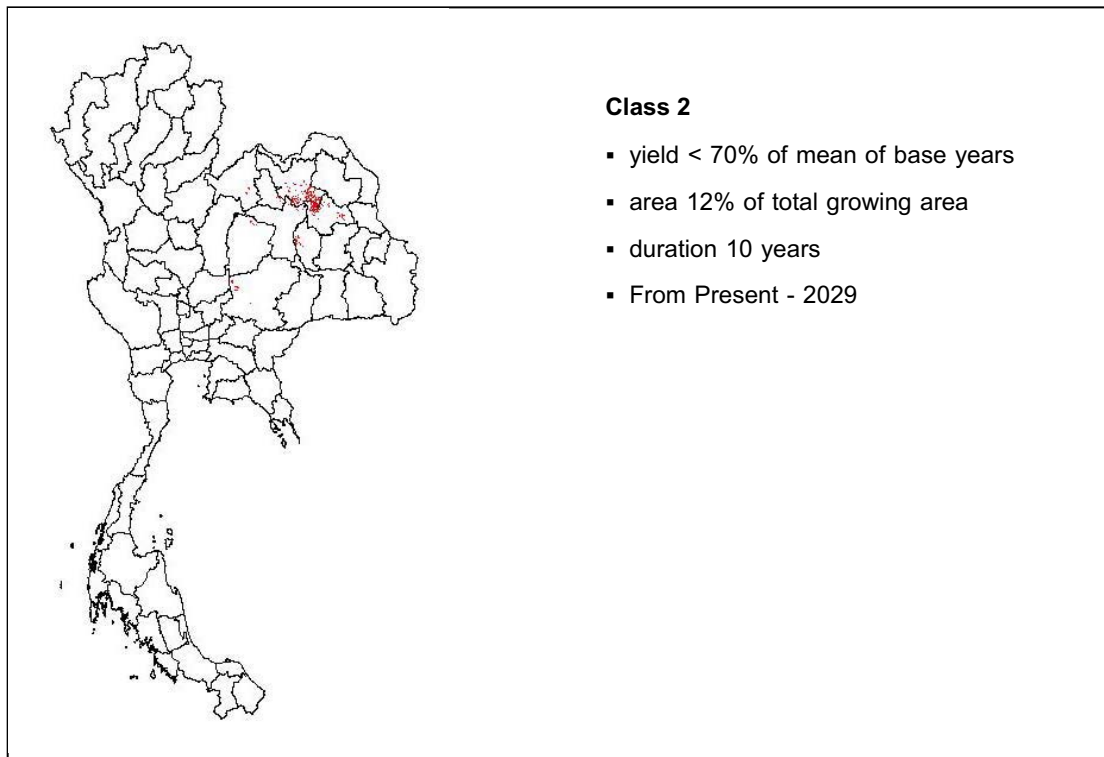
จากข้อมูลในตารางดังกล่าวของพื้นที่แต่ละชนิด จะสามารถเลือกและแสดงตำแหน่งของพื้นที่ๆ มีค่า impact สูงสุดของพื้นที่แต่ละชนิดในรูปของแผนที่พร้อมกับข้อมูลคุณสมบัติได้ ดังภาพที่ 36 สำหรับข้าวน้ำฝน ภาพที่ 37 สำหรับข้าวนาขลปะทาน ภาพที่ 38 สำหรับอ้อย ภาพที่ 39 สำหรับมันสำปะหลัง และภาพที่ 40 สำหรับข้าวโพด



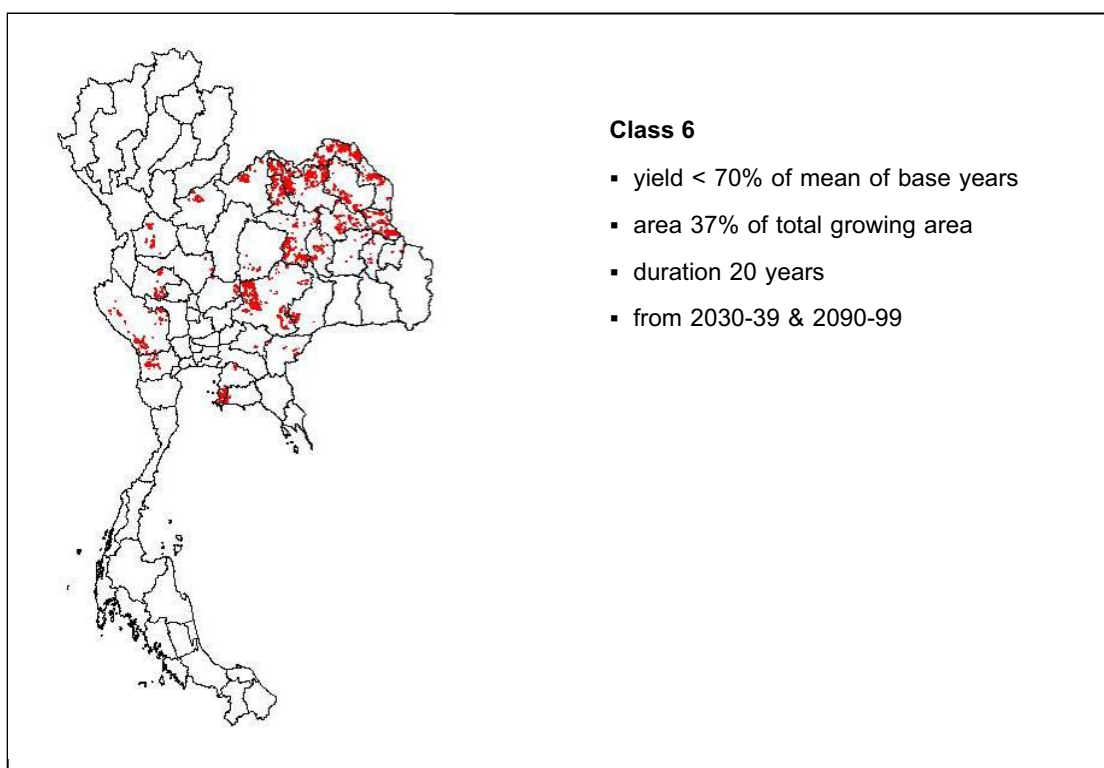
ภาพที่ 36. พื้นที่ปลูกข้าวนาแห้ง ที่มีค่า Impact Index สูงสุด



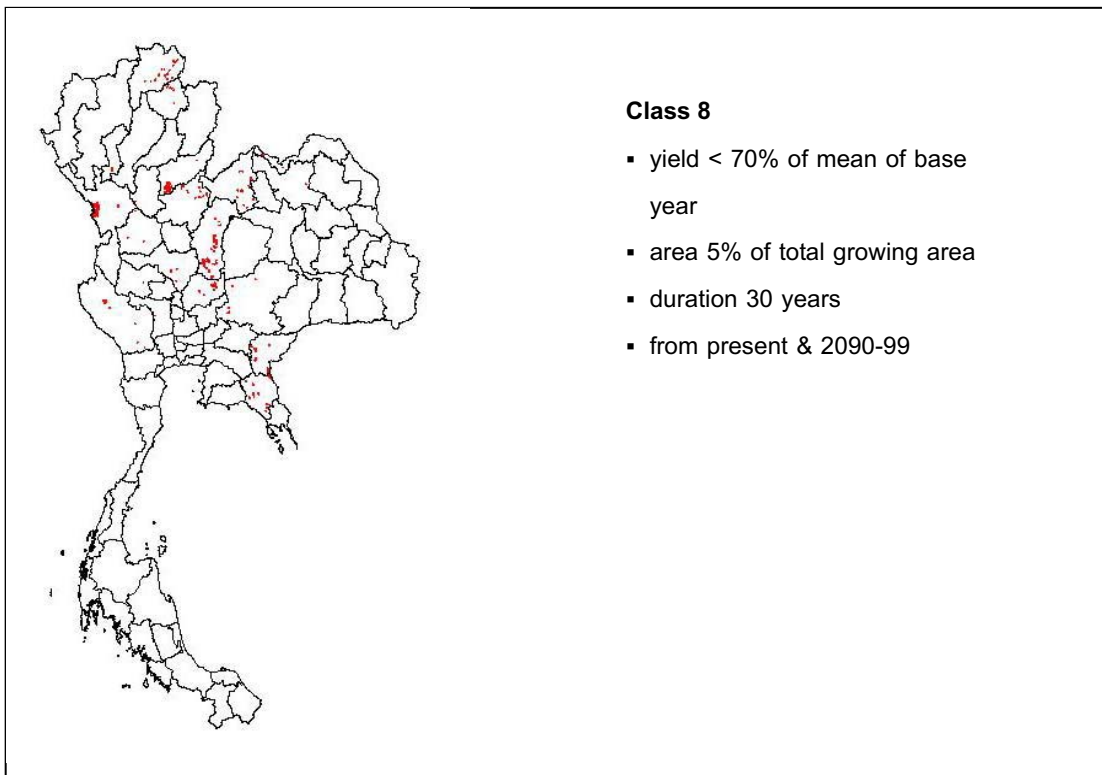
ภาพที่ 37. พื้นที่ปลูกข้าวนาชลประทาน ที่มีค่า Impact Index สูงสุด



ภาพที่ 38. พื้นที่ปลูกอ้อย ที่มีค่า Impact Index สูงสุด



ภาพที่ 39. พื้นที่ปลูกมันสำปะหลัง ที่มีค่า Impact Index สูงสุด



ภาพที่ 40. พื้นที่ปลูกข้าวโพด ที่มีค่า Impact Index สูงสุด

จากแผนที่ impact index ที่ให้ข้อมูลของพื้นที่ๆ ได้รับผลกระทบมากที่สุด ได้ทำการเลือกจุดและทำการวิเคราะห์หาสาเหตุหรือปัจจัยที่ทำให้ผลผลิตลดลง และทางทั่วไปสามารถปรับระบบการผลิต (adaptation) เพื่อรับผลกระทบจากการเปลี่ยนแปลงของภูมิอากาศโลก

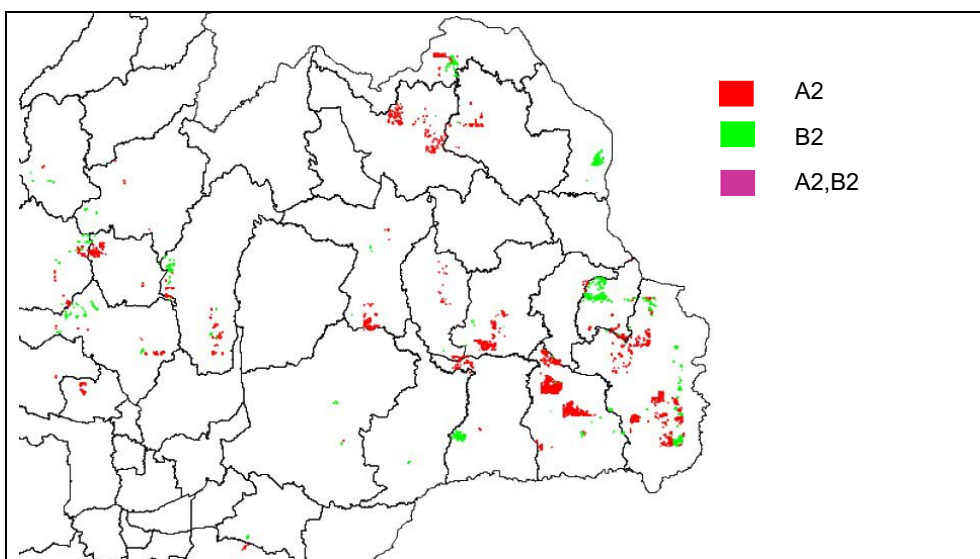
การเปรียบเทียบผลกระทบภายใต้ SRES A2 และ B2

การประเมินผลกระทบจากภาวะโลกร้อนต่อการผลิตพืช ภายใต้ SRES B2 ได้ใช้สภาพอากาศจากการจำลองของ ECHAM4-PRECIS และระดับของ CO_2 ภายใต้ SRES B2 โดยมีขั้นตอนของการดำเนินการและวิธีการเช่นเดียวกันกับการประเมินผลกระทบภายใต้ SRES A2 ดังที่ได้บรรยายในรายละเอียดไว้แล้ว

ผลกระทบต่อการผลิตข้าวนาแห้ง

จากการดำเนินการและวิเคราะห์ผลพบว่าภายใต้ SRES B2 พื้นที่วิกฤตประเพทที่ 6 เป็นพื้นที่ๆ มีค่า impact index สูงสุด มีพื้นที่ทั้งหมด 0.9 ล้านไร่ คิดเป็นร้อยละ 1.9 ของพื้นที่ปลูกข้าวนาแห้งทั้งหมด (45.7 ล้านไร่)

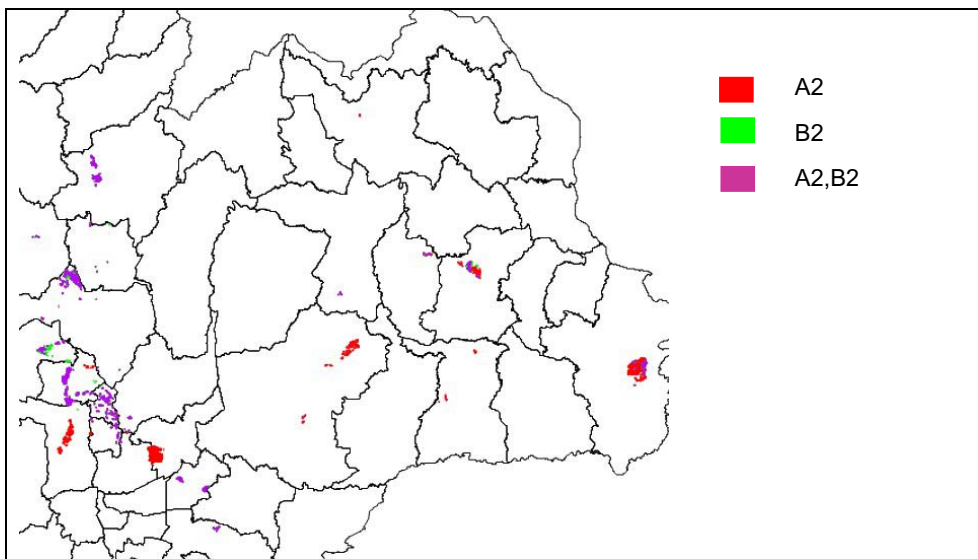
เมื่อเปรียบเทียบกับผลกระทบภายใต้ SRES A2 พบว่าเป็นพื้นที่วิกฤตประเพทเดียวกัน แต่พื้นที่ลดลงเหลือตัวจาก 2.0 ล้านไร่ ภายใต้ SRES A2 มีลักษณะการกระจายตัวเช่นเดียวกัน แต่ไม่มีพื้นที่ทับซ้อนกัน ดังแสดงในภาพที่ 41



ภาพที่ 41. พื้นที่วิกฤตประเพทที่ 6 ของข้าวนาแห้ง ภายใต้ SRES B2 และ A2

ผลกระทบต่อการผลิตข้าวชลประทาน

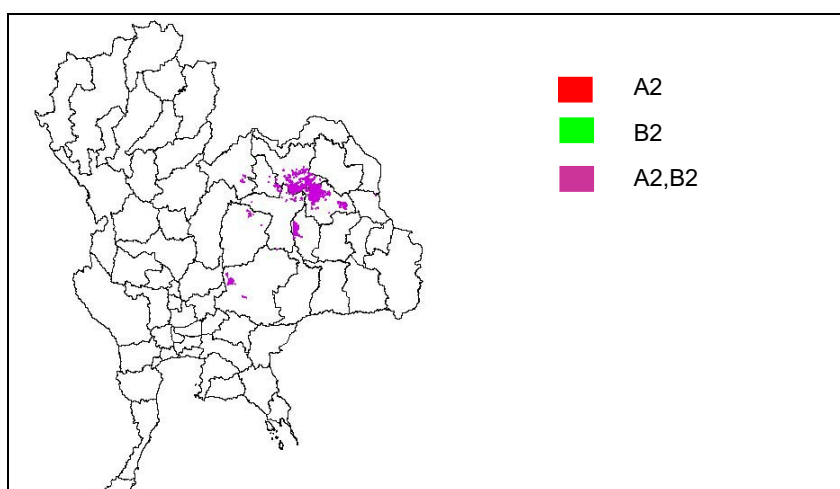
พื้นที่วิกฤตที่มีค่า impact index สูงสุด ภายใต้ SRES B2 คือพื้นที่ประเพทที่ 6 เช่นเดียวกันกับ SRES A2 และข้าวนาแห้ง มีพื้นที่ 1.3 ล้านไร่ ใกล้เคียงกันกับ SRES A2 (1.4 ล้านไร่) และคิดเป็นร้อยละ 11.8 ของพื้นที่ปลูกข้าวชลประทานทั้งหมด (11.0 ล้านไร่) พื้นที่ส่วนใหญ่จะทับซ้อนกับ SRES A2 และมีพื้นที่เพียง 0.24 ล้านไร่ เท่านั้นที่ไม่ทับซ้อน ดังแสดงในภาพที่ 42



ภาพที่ 42. พื้นที่วิกฤตประเพทที่ 6 ของข้าวน้ำชลประทาน ภายใต้ SRES B2 และ A2

ผลกระทบต่อการผลิตอ้อย

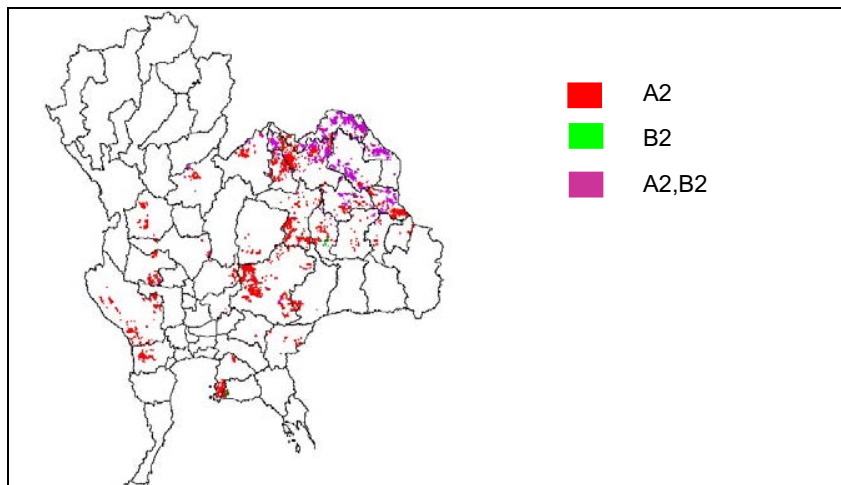
พื้นที่วิกฤตที่มีค่า impact index สูงสุด สำหรับการผลิตอ้อย คือพื้นที่เดียวกันกับพื้นที่ ภายใต้ SRES A2 ซึ่งเกิดขึ้นในช่วงปัจจุบันถึงปี 2029 เป็นพื้นที่วิกฤตประเพทที่ 2 มีพื้นที่ทั้งหมด 12.1 ล้านไร่ (ภาพที่ 43) ในการประเมินทั้ง 2 กรณีได้ใช้ช่วงเวลา 1980-1989 เป็นตัวแทนของอนาคตอันใกล้ ดังนั้นข้อมูลสภาพอากาศและ ระดับความเข้มข้นของ CO_2 จะเหมือนกัน และใกล้เคียงกับความเป็นจริง นั้นคือหากการใช้พลังงานของโลกเปลี่ยนทันทีจาก SRES A2 เป็น SRES B2 ณ ปัจจุบัน อาจทำให้สภาพอากาศ และระดับ CO_2 ของอนาคตอันใกล้ (ถึงปี 2029) เปลี่ยนแปลงได้ไม่มากนัก การเปลี่ยนแปลงที่เห็นได้ชัดจะต้องการเวลาที่นานมากขึ้น ทั้งนี้เนื่องจากโลกเป็น system ขนาดใหญ่ และมีสัมประสิทธิ์ของ response time และ relaxation time ที่ช้า



ภาพที่ 43. พื้นที่วิกฤตประเพทที่ 2 ของอ้อย ภายใต้ SRES B2 และ A2

ผลกระทบต่อการผลิตมันสำปะหลัง

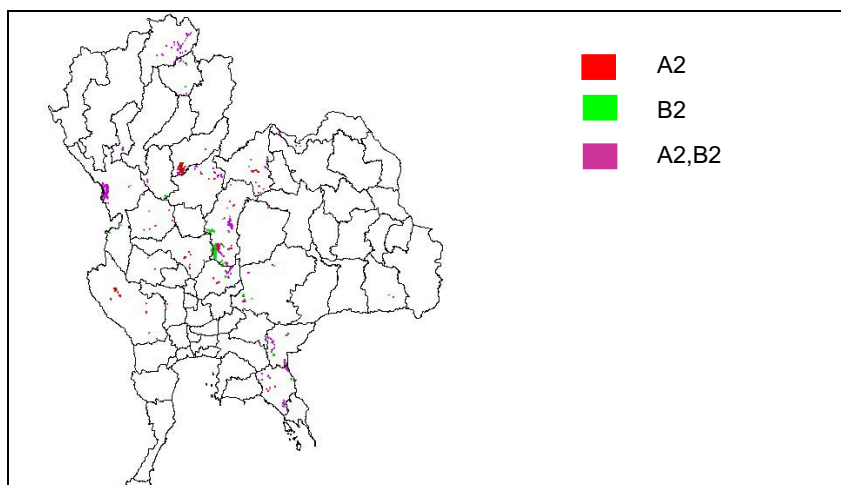
พื้นที่วิกฤตของการปลูกมันสำปะหลังที่มีค่า impact index สูงสุดคือพื้นที่ประเภทที่ 6 พื้นที่ดังกล่าวลดลงจาก 4.2 ล้านไร่ ภายใต้ SRES A2 เป็น 1.2 ล้านไร่ (ร้อยละ 10.5 ของพื้นที่ปลูกมันทั้งหมด) ซึ่ง 1.1 ล้านไร่ จะทับซ้อนอยู่ในพื้นที่ ภายใต้ SRES A2 ดังแสดงในภาพที่ 44



ภาพที่ 44. พื้นที่วิกฤตประเภทที่ 6 ของมันสำปะหลัง ภายใต้ SRES B2 และ A2

ผลกระทบต่อการผลิตข้าวโพด

พื้นที่วิกฤต ภายใต้ SRES B2 ที่มี impact index สูงสุดเป็นพื้นที่ประเภทที่ 8 เช่นเดียวกับ ภายใต้ SRES A2 มีพื้นที่ ทั้งหมดเท่ากับ 4.9 แสนไร่ (ร้อยละ 4.31 ของพื้นที่ปลูกข้าวโพดทั้งหมด) ซึ่งใกล้เคียงกับ SRES A2 (4.9 แสนไร่) และทับซ้อนกันถึง 3.4 แสนไร่ ดังแสดงในภาพที่ 45



ภาพที่ 45. พื้นที่วิกฤตประเภทที่ 8 ของข้าวโพด ภายใต้ SRES B2 และ A2

การปรับระบบการผลิตพืชเพื่อรองรับการเปลี่ยนแปลงสภาพอากาศโลก

การดำเนินการวิเคราะห์ทางเลือก สำหรับการปรับตัวของระบบการผลิตพืชทั้ง 4 ชนิด เพื่อรองรับการเปลี่ยนแปลงของสภาพภูมิอากาศโลก ประกอบด้วย 3 ขั้นตอนหลักดังนี้

- กำหนดพื้นที่ตัวแทน เพื่อวิเคราะห์หาสาเหตุที่ทำให้ผลผลิตลดลงและทางเลือกสำหรับการปรับตัว
- วิเคราะห์สาเหตุการลดลงของผลผลิตที่เกิดจากการเปลี่ยนแปลงของสภาพอากาศในพื้นที่ตัวแทน
- วิเคราะห์ทางเลือกในการแก้ปัญหาและการปรับระบบการผลิตพืชสำหรับสภาพอากาศโลกในอนาคต

การกำหนดพื้นที่ตัวแทน

ผลการวิเคราะห์ความแปรปรวนของผลผลิตระดับประเทศ (ในหัวข้อ การจำลองผลกระทบของภาวะโลกร้อนต่อการผลิตพืชทั้ง 4 ชนิด) พบว่ามีความแปรปรวนเชิงพื้นที่สูงคือ ข้าวโพดมีความแปรปรวนสูงสุดร้อยละ 46 รองลงมาได้แก่ ข้าวและมันสำปะหลัง ร้อยละ 33 และอ้อยต่ำสุด ร้อยละ 23 ในกรณีที่ตัวแทนที่หลากหลายและครอบคลุมทั่วประเทศ แต่เนื่องจากมีข้อจำกัดจากเวลา จึงใช้แนวทางของการ zonation (พื้นที่ใกล้กันจะมีลักษณะคล้ายกัน และหากความแปรปรวนภายในเขตแหล่งผลิตต่างๆ จะสามารถใช้พื้นที่เพียงบางส่วนเป็นพื้นที่ตัวแทนของทั้งเขตได้) แบ่งพื้นที่ปัจุบันออกเป็นเขตแหล่งผลิตก่อน โดยที่แต่ละเขตแหล่งผลิตนั้นมีความแปรปรวนของผลผลิตภายในขอบเขตที่ต่ำ แต่ครอบคลุมพื้นที่กว้างและมีความหนาแน่นของการปลูกพืชสูง จากนั้นจึงเลือกพื้นที่ (SMU) ตัวแทน จากแต่ละเขตแหล่งผลิตเพื่อใช้ในการวิเคราะห์ และนำผลลัพธ์ที่ได้มาประยุกต์ใช้กับระบบการผลิตในเขตแหล่งผลิตนั้น ๆ จากขั้นตอน การรวบรวมข้อมูลและสร้างฐานข้อมูล ได้แบ่งเขตระบบการผลิตพืชทั้ง 4 ชนิดออกเป็น 4-6 เขต เพื่อนำข้อมูลนี้มาใช้เป็นจุดเริ่มต้นในการเลือกพื้นที่ตัวแทนเพื่อใช้ในการวิเคราะห์ทางเลือกสำหรับการปรับตัว

การวิเคราะห์สาเหตุการลดลงของผลผลิตจากการเปลี่ยนแปลงของสภาพภูมิอากาศ

การวิเคราะห์สาเหตุที่ทำให้ผลผลิตพืชลดลง ได้ใช้แนวทางการเปรียบเทียบผลผลิตของพื้นที่ตัวแทนที่ได้รับผลกระทบอย่างรุนแรงกับผลผลิตในพื้นที่ ๆ ไม่ได้รับผลกระทบ ที่มีความแตกต่างกันเฉพาะอากาศและดินเท่านั้น การวิเคราะห์เชิงเปรียบเทียบดังกล่าวทำให้สามารถประเมินและเปรียบเทียบผลกระทบจากแต่ละปัจจัย เช่น ผลกระทบในด้านอุณหภูมิ การเปลี่ยนแปลงของฤดูกาล ความลึกของดิน ความชื้นในดิน ผลกระทบจากแมลงศัตรู ฯลฯ ที่มีผลต่อการผลิตพืช

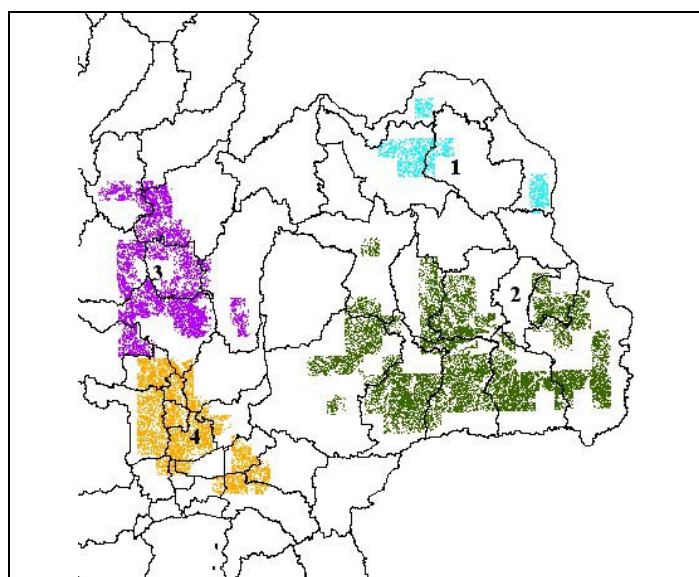
การวิเคราะห์ทางเลือกของการปรับระบบการผลิตพืช adaptation

การวิเคราะห์ทางเลือกของการปรับตัวใช้ sensitivity analysis หากุณสมบัติของพืช และการจัดการ ที่สามารถลดผลกระทบจากปัจจัยที่พบ และทำให้ผลผลิตมีค่าสูงสุดเท่าที่จะเป็นไปได้ภายใต้ constraints ของดิน และสภาพภูมิอากาศของพื้นที่นั้น ๆ

การปรับระบบการผลิตข้าว

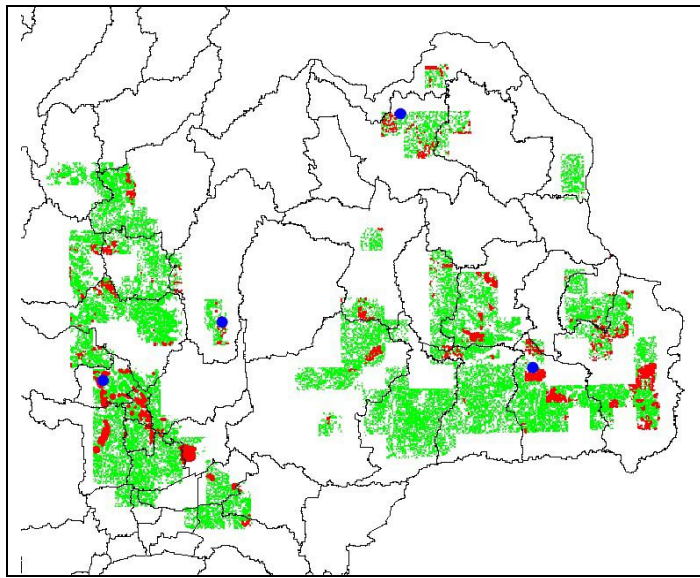
พื้นที่ตัวแทนเขตวิกฤตระบบการผลิตข้าวน้ำฝนและชาลประทาน

จากการวิเคราะห์ความแปรปรวนผลผลิตเชิงพื้นที่ภายในเขตแหล่งผลิตข้าวน้ำฝน ทั้ง 4 เขต ที่ได้จัดทำขึ้นในขั้นตอน การรวบรวมข้อมูลและสร้างฐานข้อมูล (ภาพที่ 46.1) พบว่า ความแปรปรวน ที่วัดในรูปของ normalized $\bar{\sigma}$, มีค่าใกล้เคียงกับค่าเฉลี่ยของทั้งประเทศ (ร้อยละ 33) แสดงว่าเขตแหล่งผลิตในแต่ละภูมิภาคนั้น ไม่ได้มีลักษณะที่แตกต่างไปจากภูมิภาคอื่น ๆ มาก และมีความแปรปรวนภายในการผลิตใกล้เคียงกับความแปรปรวนระหว่างภูมิภาค



ภาพที่ 46.1 เขตแหล่งผลิตข้าวน้ำฝนและชาลประทาน ทั้ง 4 เขต

เมื่อลดขอบเขตของแต่ละเขตแหล่งผลิตลงอีกเพื่อลดความแปรปรวน โดยตัดพื้นที่ปลูกข้าวที่มีความหนาแน่นต่ำกว่าร้อยละ 40 ในพื้นที่วิกฤตประเทศที่ 6 ออก พบว่า เขตแหล่งผลิตภาคตะวันออกเฉียงเหนือตอนบนค่า normalized $\bar{\sigma}$, ลดลงเหลือร้อยละ 23 เขตภาคตะวันออกเฉียงเหนือตอนล่างลดลงเหลือร้อยละ 22 เขตภาคเหนือตอนล่างและกลางตอนบนและเขตภาคกลางและตะวันออกลดลงเหลือร้อยละ 32 และมีพื้นที่รวมทั้งหมดเท่ากับ ร้อยละ 40 ของพื้นที่วิกฤตประเทศที่ 6 (780,221 ไร่ จาก 1,997,497 ไร่) แม้ว่าความแปรปรวนยังค่อนข้างสูง แต่หากลดพื้นที่ลงอีก จะทำให้การประยุกต์ใช้ผลจากการวิเคราะห์ครอบคลุมพื้นที่ได้ค่อนข้างจำกัด ดังนั้นจึงกำหนดขอบเขตแหล่งผลิตไว้ที่ระดับนี้ (ภาพที่ 46.2) และเลือกพื้นที่ (SMU) ตัวแทนสำหรับพื้นที่วิกฤตประเทศ 6 ในแต่ละเขตแหล่งผลิต จากกลุ่มดินที่มีขนาดใหญ่ที่สุด ดังสรุปในตารางที่ 11 สำหรับข้าวน้ำฝน

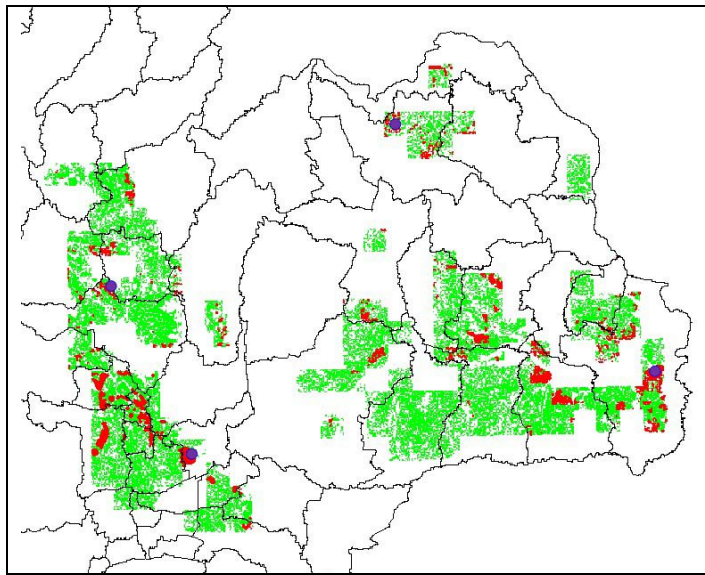


ภาพที่ 46.2 เขตพื้นที่วิกฤตประเพณีที่ 6 ที่ใช้กำหนดพื้นที่ตัวแทนสำหรับวิเคราะห์สาเหตุและทางเลือกในการปรับด้า

ตารางที่ 11. เขตภูมิอากาศและกลุ่มดินของพื้นที่ตัวแทนของเขตแหล่งผลิตข้าวนาแห้งทั้ง 4 ที่ใช้ในการวิเคราะห์สาเหตุและทางเลือกสำหรับการปรับด้า

เขตแหล่งผลิต	พื้นที่ SMU ตัวแทนกริดอากาศ-กลุ่มชุดดิน
1. ภาคตะวันออกเฉียงเหนือตอนบน	29BE-เพ็ญ (Pn)
2. ภาคตะวันออกเฉียงเหนือตอนล่าง	2E68-สีทน (St)
3. ภาคเหนือตอนล่างและกลางตอนบน	2D94—เพ็ญ (Pn)
4. ภาคกลางและตะวันออก	2E53-ปากห่อ (Pth_C)

สำหรับนาชาลประทานความแปรปรวนเฉลี่ยของทั้งประเทศที่วัดในรูปของ $\bar{\sigma}$, มีค่าร้อยละ 33 แต่ค่าภายในแต่ละเขตแหล่งผลิตจะมีค่าที่ต่ำกว่า เขตแหล่งผลิตภาคตะวันออกเฉียงเหนือตอนบน มีค่าร้อยละ 24 เขตภาคตะวันออกเฉียงเหนือตอนล่าง ร้อยละ 26 เขตภาคเหนือตอนล่างและกลางตอนบน ร้อยละ 16 และเขตภาคกลางและตะวันออก ร้อยละ 18 แสดงว่าแต่ละเขตนั้นอาจมีลักษณะสภาพแวดล้อมที่ต่างกัน เมื่อตัดพื้นที่ ๆ มีความหนาแน่นต่ำกว่าร้อยละ 40 ออกพบว่าค่า $\bar{\sigma}$, ของแต่เขตที่อยู่ในพื้นที่วิกฤตประเพณีที่ 6 ลดลงโดยมีค่าร้อยละ 11 24 23 และ 18 ตามลำดับ และมีพื้นที่รวมกันร้อยละ 42 ของพื้นที่วิกฤตประเพณีที่ 6 (583,241 ไร่ จาก 1,357,261 ไร่) ดังนั้นจึงกำหนดขอบเขตแหล่งผลิตไว้ที่ระดับนี้ (ภาพที่ 46.3) และเลือกพื้นที่ (SMU) ตัวแทนสำหรับพื้นที่วิกฤตประเพณีที่ 6 ในแต่ละเขตแหล่งผลิต จากกลุ่มดินที่มีขนาดใหญ่ที่สุด เช่นเดียวกัน กับนาแห้งทั้งสูงในตารางที่ 12



ภาพที่ 46.3 พื้นที่นาชลประทานที่ได้รับผลกระทบจากสภาวะโลกร้อนในช่วงปี 2030-39 และช่วงปี 2090-99 และกิจกรรมทางการเกษตรตัวแทนในการวิเคราะห์

ตารางที่ 12. เขตภูมิอากาศและกลุ่มดินของพื้นที่ตัวแทนของเขตแหล่งผลิตข้าวนาชลประทานทั้ง 4 ที่ใช้ในการวิเคราะห์พื้นาชาติและทางเลือกสำหรับการปรับตัว

เขตแหล่งผลิต	พื้นที่ SMU ตัวแทน กิจกรรมทางการเกษตร-กลุ่มชุดดิน
1. ภาคตะวันออกเฉียงเหนือตอนบน	2A21-เขาย้อย (Kyo)
2. ภาคตะวันออกเฉียงเหนือตอนล่าง	2E6D-จักราช (Ckr)
3. ภาคเหนือตอนล่างและกลางตอนบน	2CC8-สรรพยา (Sa)
4. ภาคกลางและตะวันออก	2FDC-ปากท่อ (Pth_C)

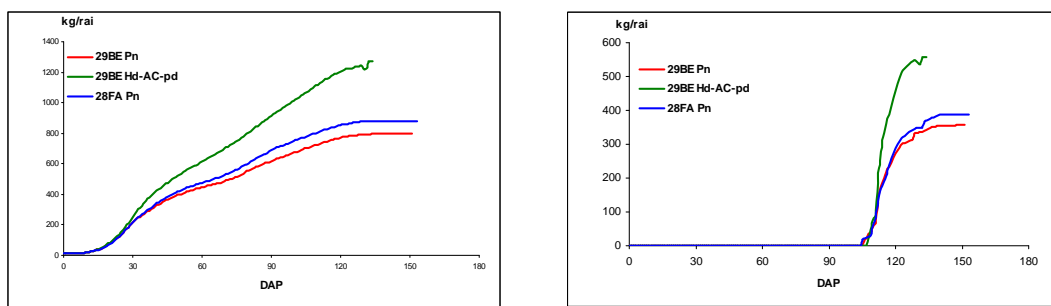
การวิเคราะห์พื้นาชาติและการลดลงของผลผลิตข้าว

ผลผลิตข้าวที่ลดลงในพื้นที่วิกฤตนั้นเป็นผลมาจากการภูมิอากาศ ดิน และปฏิภัยร่วมของทั้ง 2 ปัจจัย จึงดำเนินการวิเคราะห์เบรี่ยนเทียบผลกระทบจาก 2 ปัจจัย ดังนี้

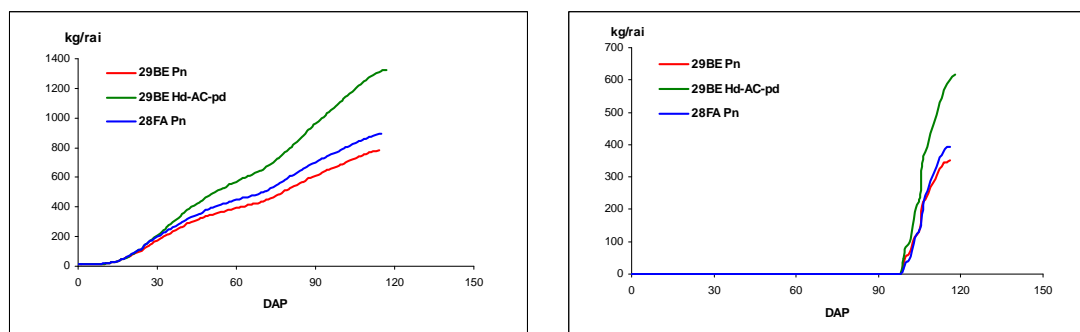
- ผลกระทบจากสภาพอากาศ โดยจำลองด้วยชุดดินเดียวกัน ภายใต้กิจกรรมทางการเกษตรของเขตวิกฤตที่ 6 ที่ผลผลิตลดลง เปรียบเทียบกับกิจกรรมทางการเกษตรของเขตวิกฤตที่ไม่ได้รับผลกระทบ เพื่อประเมินผลกระทบของสภาพอากาศต่อผลผลิตข้าว โดยแบ่งการจำลองเป็นผลกระทบของ พลังงาน แสงอาทิตย์ที่ได้รับ ผลกระทบของอุณหภูมิ และผลกระทบของปริมาณน้ำฝน
- ผลกระทบจากชุดดิน โดยการจำลองภายใต้กิจกรรมทางการเกษตรเดียวกัน ในชุดดินของเขตวิกฤตที่ 6 (ชุดดินเดียวกันกับข้อที่ 1) เปรียบเทียบกับชุดดินนอกเขตวิกฤตที่ไม่ได้รับผลกระทบและให้ผลผลิตสูงกว่าในกิจกรรมทางการเกษตรเดียวกัน เพื่อประเมินผลกระทบจากชุดดิน และคุณสมบัติทางกายภาพ ทางเคมี และความลึกของรากข้าวที่มีต่อผลผลิตข้าวด้วย

ข้าวนา่น้ำฝน

เมื่อปลูกในเดินชนิดเดียวกัน พื้นที่ตัวแทนเขตวิกฤตที่ 6 ในเขตแหล่งผลิตที่ 1 กริดอากาศ 29BE ให้ผลผลิตต่ำกว่าผลผลิตข้าวจากกริดอากาศ 28FA ที่อยู่นอกเขตวิกฤต คิดเป็นร้อยละ 8.2 และ 12.4 ในช่วงปี 2030-39 และ ช่วงปี 2090-99 ตามลำดับ เช่นเดียวกับพื้นที่ตัวแทนในเขตวิกฤตเขตแหล่งผลิตที่ 2 3 และ 4 จะให้ผลผลิตข้าวลดลงเฉลี่ย 41 และ 50 กิโลกรัมต่อไร่ ในช่วงปี 2030-39 และ 2090-99 (ภาพที่ 47 และ 48) หรือคิดเป็นร้อยละ 10.2 และ 11.5 ตามลำดับ เมื่อเฉลี่ยโดยรวมผลกระทบของสภาพอากาศทำให้ผลผลิตข้าวน้ำฝนลดลงร้อยละ 10.8 (ตารางที่ 13)



ภาพที่ 47. ผลกระทบของสภาพอากาศและดินต่อน้ำหนักแห้งส่วนเหนือดิน (ซ้าย) และผลผลิต (ขวา) ของข้าวน้ำฝนในพื้นที่ตัวแทนเขตวิกฤตที่ 6 ในเขตแหล่งผลิตที่ 1 ในช่วงปี 2030-39 เส้นสีแดง ในเขตวิกฤต เส้นสีน้ำเงิน จากพื้นที่ที่แตกต่างเฉพาะอากาศ เส้นสีเขียว จากพื้นที่ที่แตกต่างเฉพาะดิน



ภาพที่ 48. ผลกระทบของสภาพอากาศและดินต่อน้ำหนักแห้งส่วนเหนือดิน (ซ้าย) และผลผลิต (ขวา) ของข้าวน้ำฝนในพื้นที่ตัวแทนเขตวิกฤตที่ 6 เขตแหล่งผลิตที่ 1 ในช่วงปี 2090-99 เส้นสีแดง ในเขตวิกฤต เส้นสีน้ำเงิน จากพื้นที่ที่แตกต่างเฉพาะอากาศ เส้นสีเขียว จากพื้นที่ที่แตกต่างเฉพาะดิน

ตารางที่ 13. ผลกระทบของสภาวะอากาศต่อผลผลิตข้าวนาแห้งในพื้นที่ตัวแทนพื้นที่ตัวแทนเขตวิกฤต ช่วงปี 2030-39 และช่วงปี 2090-99

กริดอากาศ (ในเขตวิกฤต /นอกเขตวิกฤต)	ผลผลิต(กก./ไร่)		ความแตกต่าง	
	ในเขตวิกฤต	นอกเขตวิกฤต	กก./ไร่	ร้อยละ
2030-39				
29BE / 28FA	356	388	32	8.2
2E68 / 2FE6	349	436	87	20.0
2D94 / 2DFO	350	367	17	4.6
2E53 / 2F77	395	423	28	6.6
เฉลี่ย			41	10.2
2090-99				
29BE / 28FA	369	421	52	12.4
2E68 / 2FE6	337	420	83	19.8
2D94 / 2DFO	383	419	36	8.6
2E53 / 2F77	443	471	28	5.9
เฉลี่ย			50	11.5
เฉลี่ยรวม			45	10.8

เมื่อพิจารณาผลกระทบจากชุดดินพบว่า พื้นที่ตัวแทนเขตวิกฤตที่ 6 ในเขตแหล่งผลิตที่ 1 กลุ่มชุดดินเพ็ญ(Pn) ให้ผลผลิตต่ำกว่า ชุดดินหางดง (Hd_AC_pd) ที่อยู่นอกเขตวิกฤต ร้อยละ 36.2 ในช่วงปี 2030-39 และ ร้อยละ 41.3 ในช่วงปี 2090-99 เช่นเดียวกับพื้นที่ตัวแทน ในเขตแหล่งผลิตที่ 2 3 และ 4 ที่ความแตกต่างของดินทำให้ผลผลิตข้าวลดลงเฉลี่ย 208 และ 237 กิโลกรัมต่อไร่ ในช่วงปี 2030-39 และ ช่วงปี 2090-99 ตามลำดับ หรือคิดเป็นร้อยละ 34.6 และ 37.6 ตามลำดับ (ตารางที่ 14)

ตารางที่ 14. ผลกระทบของชุดดินต่อผลผลิตข้าวนาแห้งในพื้นที่ตัวแทนเขตวิกฤต ช่วงปี 2030-39 และช่วงปี 2090-99

ชุดดิน (ในเขตวิกฤต /นอกเขตวิกฤต)	ผลผลิต (กก./ไร่)		ความแตกต่าง	
	ในเขตวิกฤต	นอกเขตวิกฤต	กก./ไร่	ร้อยละ
2030-39				
29BE Pn/Hd_AC_pd	356	558	202	36.2
2E68 St/Rb	349	423	74	17.5
2D94 Pn/Hd	350	568	218	38.4
2E53 Pth_C/Np	395	734	339	46.2
เฉลี่ย			208	34.6
2090-99				
29BE Pn/Hd_AC_pd	369	629	260	41.3
2E68 St/Rb	337	475	138	29.1
2D94 Pn/Hd	383	635	252	39.7
2E53 Pth_C/Np	443	741	298	40.2
เฉลี่ย			237	37.6
เฉลี่ยรวม			222.6	36.1

จากการจำลองผลกระทบของสภาวะโลกร้อนต่อการผลิตข้าวนาแห้งของประเทศไทย ในช่วงปี 2030-39 และ 2090-99 พบว่า โดยรวมผลกระทบของชุดดินทำให้ผลผลิตข้าวนาแห้งลดลงร้อยละ 36.1 สูงกว่าผลกระทบจากสภาวะอากาศดังได้กล่าวมาแล้ว

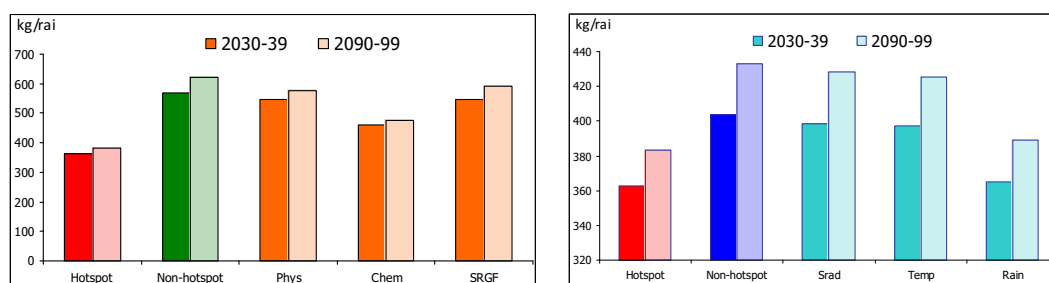
การวิเคราะห์ผลจากแสง อุณหภูมิ และน้ำฝน

ในการวิเคราะห์รายละเอียดถึงผลกระทบจากแต่ละองค์ประกอบของสภาพอากาศต่อผลผลิตข้าวนาแห้ง ได้เปรียบเทียบผลผลิตข้าวภายใต้กริดอากาศของเขตวิกฤตที่ กับกริดอากาศนอกเขต ในเขตแหล่งผลิตที่ 1 เปรียบเทียบ ผลผลิตภายใต้กริดอากาศ 29BE กับ 28FA ในชุดดินเพียง (Pn) ในเขตแหล่งผลิตที่ 2 เปรียบเทียบ กริดอากาศ 2E68 กับ 2FE6 ในชุดดินสีทน (St) เขตแหล่งผลิตที่ 3 กริดอากาศ 2D94 กับ 2DFO ชุดดินเพียง (Pn) และเขตแหล่งผลิตที่ 4 ชุดดินปากห่อ (Pth_C) กริดอากาศ 2E53 กับ 2F77 ทำการจำลองในช่วงปี 2030-39 และ ช่วงปี 2090-99 ดังแสดงผลในตารางที่ 15

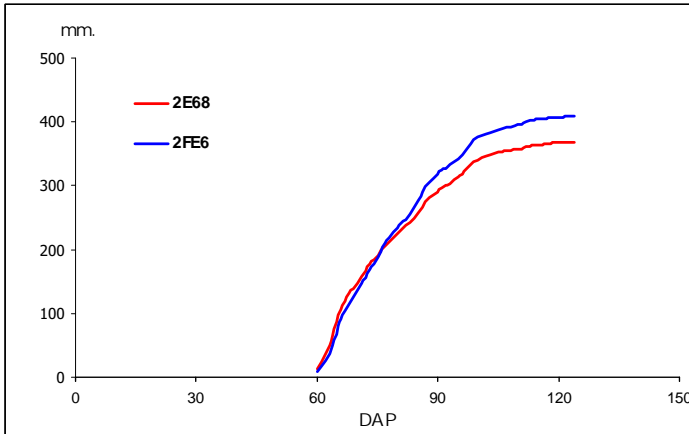
ตารางที่ 15. ผลกระทบจากแสง อุณหภูมิและน้ำฝนที่มีต่อผลผลิตข้าวนา่น้ำฝนของประเทศไทย ในช่วงปี 2030-39 และช่วงปี 2090-99 (ผลกระทบเป็นลบหมายถึงทำให้ผลผลิตเพิ่มขึ้น)

กริดอากาศ (ในเขตวิกฤต / นอกเขตวิกฤต)	ผลผลิต(กก./ไร่)			ผลกระทบ(ร้อยละ)	
	ในเขตวิกฤต	นอกเขตวิกฤต	จากแสง	จาก อุณหภูมิ	จากน้ำฝน
2030-39					
29BE / 28FA	356	388	-0.8	-0.3	8.0
2E68 / 2FE6	349	436	4.4	5.1	16.7
2D94 / 2DFO	350	367	0.5	1.6	6.3
2E53 / 2F77	395	423	0.5	-1.2	6.4
เฉลี่ย			1.2	1.5	9.3
2090-99					
29BE / 28FA	369	421	2.6	0.7	10.0
2E68 / 2FE6	337	420	2.4	1.9	17.9
2D94 / 2DFO	383	419	-1.4	3.8	8.6
2E53 / 2F77	443	471	0.6	0.4	4.7
เฉลี่ย			1.0	1.7	10.3
เฉลี่ยรวม			1.1	1.6	9.8

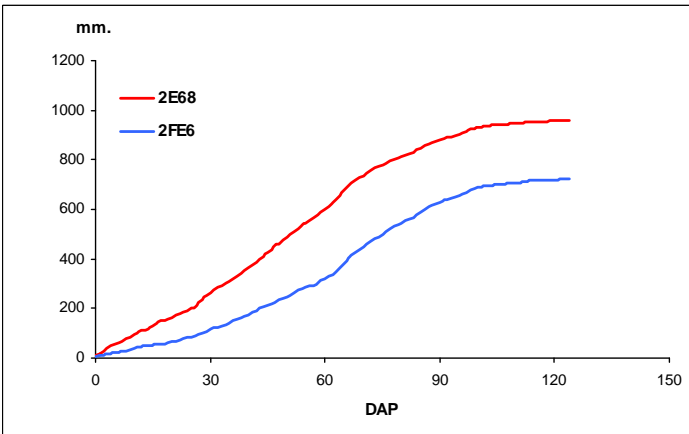
จากการจำลองในช่วงปี 2030-39 พบร่วมกับผลกระทบจากพลังงานแสง อุณหภูมิ และจากปริมาณน้ำฝน ทำให้ผลผลิตข้าวลดลงเฉลี่ยร้อยละ 1.2 1.5 และ 9.3 ตามลำดับ ในขณะที่ ช่วงปี 2090-99 ทำให้ผลผลิตข้าวลดลงร้อยละ 1.0 1.7 และ 10.3 ตามลำดับ จากรายละเอียดของผลกระทบในแต่ละเขตแหล่งผลิต (ภาพที่ 49) แสดงให้เห็นว่าปริมาณและการกระจายของน้ำฝนในช่วงฤดูปลูกมีผลต่อผลผลิตข้าวน้ำฝนลดลงมากกว่าปัจจัยอื่นๆ โดยเฉพาะปริมาณฝนตั้งแต่ช่วงข้าวเริ่มสร้างรวงจนถึงระยะเก็บเกี่ยวข้าว อย่างเช่นในกริดอากาศ 2E68 ที่เป็นพื้นที่วิกฤต มีปริมาณน้ำฝนตลอดฤดูปลูกมากกว่ากริดอากาศ 2FE6 ซึ่งไม่ใช่พื้นที่วิกฤต แต่ในช่วงปลายฤดูตั้งแต่ข้าวเริ่มสร้างรวงจนถึงเก็บเกี่ยว ปริมาณน้ำฝนสะสมของในกริด 2FE6 จะสูงกว่ากริดอากาศ 2E68 ดังแสดงในภาพที่ 50 และ 51



ภาพที่ 49. ผลกระทบต่อผลผลิตข้าวน้ำฝนที่ลดลงในเขตพื้นที่วิกฤตที่ 6 เฉลี่ยจาก 4 เขตแหล่งผลิตเนื่องจากคุณสมบัติทางกายภาพ (Phys) เคมี (Chem) และสัมประสิทธิ์การเดิบໂດของรากข้าว (SRGF) (ข้าย) พลังงานแสงอาทิตย์ (Srad) อุณหภูมิ (Temp) และปริมาณน้ำฝน (Rain) (ขวา) ในช่วงปี 2030-39 และ 2090-99



ภาพที่ 50. ปริมาณน้ำฝนสะสมที่ระยะข้าวเริ่มสร้างรวงจนถึงระยะเก็บเกี่ยวข้าวน้ำฝนในกริดอากาศ 2E68 ที่เป็นพื้นที่วิกฤต กริดอากาศ 2E68 และ 2FE6 ที่อยู่นอกเขตวิกฤต ช่วงปี 2030-39



ภาพที่ 51. ปริมาณน้ำฝนสะสมที่ระยะข้าวเริ่มสร้างรวงจนถึงระยะเก็บเกี่ยวข้าวน้ำฝนในกริดอากาศ 2E68 ที่เป็นพื้นที่วิกฤต กริดอากาศ 2E68 และ 2FE6 ที่อยู่นอกเขตวิกฤต ช่วงปี 2090-99

การวิเคราะห์ผลกระทบจากคุณสมบัติของดิน

วิเคราะห์ผลกระทบจากคุณสมบัติทางกายภาพ เคมี ความลึกและสัมประสิทธิ์การเติบโตของรากข้าว ของดิน ต่อผลผลิตข้าว โดยเปรียบเทียบผลผลิตจากชุดดินในเขตวิกฤตที่ 6 กับชุดดินอื่นนอกเขต ที่ให้ผลผลิตสูงกว่า ภายใต้กริดอากาศเดียวกัน ในเขตแหล่งผลิตที่ 1 เปรียบเทียบผลของ ชุดดินเพ็ญ (Pn) กับชุดดินทางดง (Hd_AC_pd) ภายใต้ กริดอากาศ 29BE ในเขตแหล่งผลิตที่ 2 ชุดดินสีทอน (St) กับ ชุดดินราชบูรี (Rb) ในกริดอากาศ 2E68 ในเขตแหล่งผลิตที่ 3 ชุดดินเพ็ญ (Pn) กับ ชุดดินทางดง (Hd) ในกริดอากาศ 2D94 และในเขตแหล่งผลิตที่ 4 ชุดดินปากท่อ (Pth_C) กับ ชุดดินนครปฐม (Np) ในกริดอากาศ 2E53 ผลจากการจำลองในช่วงปี 2030-39 และ ช่วงปี 2090-99 ได้แสดงในตารางที่ 16

ตารางที่ 16. ผลกระทบของชุดดินต่อผลผลิตข้าวนาแห้งของประเทศไทย ในช่วงปี 2030-39 และช่วงปี 2090-99 (ผลกระทบเป็นลบหมายถึงทำให้ผลผลิตเพิ่มขึ้น)

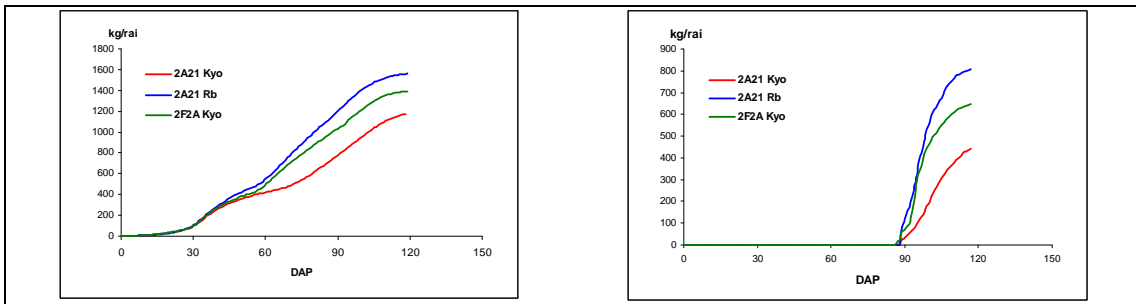
ชุดดิน (ในเขตวิกฤต / นอกเขตวิกฤต)	ผลผลิต(กก./ไร่)		ผลกระทบ(ร้อยละ)		
	ในเขต วิกฤต	นอกเขต วิกฤต	จาก กายภาพ	จากทาง เคมี	จากราก ข้าว
2030-39					
29BE Pn/Hd_AC_pd	356	558	-0.7	16.3	0.0
2E68 St/Rb	349	423	-12.5	22.5	6.4
2D94 Pn/Hd	350	568	11.1	2.6	-0.2
2E53 Pth_C/Np	395	734	12.1	33.0	9.5
เฉลี่ย			2.5	18.6	3.9
2090-99					
29BE Pn/Hd_AC_pd	369	629	13.4	19.6	-0.2
2E68 St/Rb	337	475	-4.8	23.2	8.8
2D94 Pn/Hd	383	635	12.9	18.7	0.2
2E53 Pth_C/Np	443	741	4.7	30.5	10.7
เฉลี่ย			6.5	23.0	4.9
เฉลี่ยรวม			4.5	20.8	4.4

จากการจำลองในช่วงปี 2030-39 พบว่า คุณสมบัติทางกายภาพ เคเม่ ความลึกและสัมประสิทธิ์การเดินโตกองรากข้าว ของชุดดินในเขตวิกฤตที่ 6 ทำให้ผลผลิตข้าวลดลงร้อยละ 2.5 18.6 และ 3.9 ตามลำดับ และในปี 2090-99 มีส่วนทำให้ผลผลิตข้าวลดลงร้อยละ 6.5 23.0 และ 4.9 ตามลำดับ และให้ค่าเฉลี่ยเท่ากับร้อยละ 4.5 20.8 และ 4.4 ตามลำดับ ดังตารางที่ 16 และ ภาพที่ 49 (ข้าย)

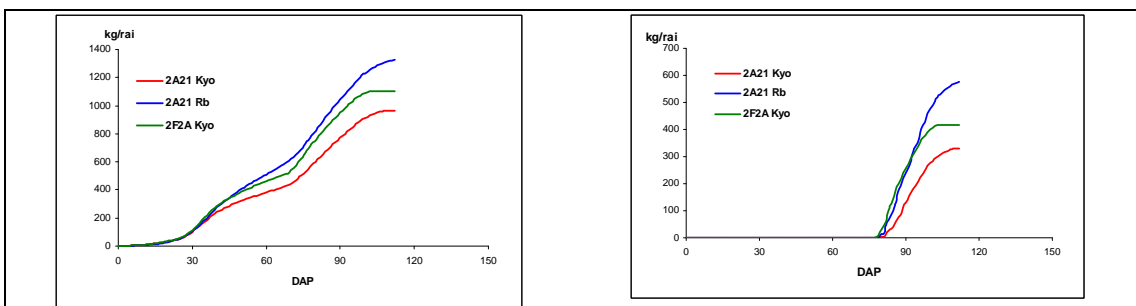
ผลการวิเคราะห์พบว่าปัจจัยที่เป็นสาเหตุทำให้ผลผลิตข้าวนาแห้งลดลงในเขตพื้นที่วิกฤตคือ ปริมาณน้ำฝนโดยเฉพาะช่วงอกรวงถึงเก็บเกี่ยว และความอุดมสมบูรณ์ของดิน

ข้าวนาชลประทาน

เมื่อเปรียบเทียบผลกระทบระหว่างสภาพภูมิอากาศกับความแตกต่างของชุดดิน ต่อผลผลิตของข้าวนาชลประทาน ในช่วงปี 2030-39 และ 2090-99 พบว่าสภาพอากาศส่งผลกระทบต่อผลผลิตต่ำกว่าดินเซ่นเดียวกับนาแห้ง ดังในภาพที่ 52 และ 53 ภายใต้ดินชุดเดียวกัน พื้นที่ตัวแทนเขตวิกฤตที่ 6 ในเขตแหล่งผลิตที่ 1 กริดอากาศ 2A21 ให้ผลผลิตต่ำกว่าพื้นที่นอกเขตในกริดอากาศ 2F2A ร้อยละ 31.1 ในช่วงปี 2030-39 และร้อยละ 20.7 ในช่วงปี 2090-99 ตามลำดับ ในทำนองเดียวกัน ผลผลิตจากพื้นที่ตัวแทนเขตวิกฤต ในเขตแหล่งผลิตที่ 2 3 และ 4 ลดลงโดยเฉลี่ย 126 กิโลกรัมต่อไร่ ในช่วงปี 2030-39 และ 146 กิโลกรัมต่อไร่ ในช่วงปี 2090-99 หรือคิดเป็นร้อยละ 19.2 และ 24.2 ตามลำดับ โดยรวมผลกระทบของสภาพอากาศทำให้ผลผลิตข้าวนาชลประทานลดลงร้อยละ 21.7 (ตารางที่ 17)



ภาพที่ 52. ผลกระทบของสภาพอากาศและดินต่อน้ำหนักแห้งส่วนเหนือดิน (ซ้าย) และผลผลิต (ขวา) ของข้าวนาชลประทานในพื้นที่ตัวแทนเขตวิกฤตที่ 6 เขตแหล่งผลิตที่ 1 ในช่วงปี 2030-39 เสนอสีแดง ในเขตวิกฤต เสนอสีเขียว จากพื้นที่ที่แตกต่างเฉพาะสภาพอากาศ เสนอสีเขียว จากพื้นที่ที่แตกต่างเฉพาะดิน



ภาพที่ 53. ผลกระทบของสภาพอากาศและดินต่อน้ำหนักแห้งส่วนเหนือดิน (ซ้าย) และผลผลิต (ขวา) ของข้าวนาชลประทานในพื้นที่ตัวแทนเขตวิกฤตที่ 6 เขตแหล่งผลิตที่ 1 ในช่วงปี 2090-99 เสนอสีแดง ในเขตวิกฤต เสนอสีเขียว จากพื้นที่ที่แตกต่างเฉพาะสภาพอากาศ เสนอสีเขียว จากพื้นที่ที่แตกต่างเฉพาะดิน

ตารางที่ 17. ผลกระทบของสภาพอากาศที่มีต่อผลผลิตข้าวนาชลประทาน ปี 2030-39 และปี 2090-99

กริดอากาศ (ในเขตวิกฤต / นอกเขตวิกฤต)	ผลผลิต(กก./ไร่)		ความแตกต่าง	
	ในเขตวิกฤต	นอกเขตวิกฤต	ในเขตวิกฤต	นอกเขตวิกฤต
2030-39				
2A21 / 2F2A	435	633	198	31.3
2E6D / 2FE6	561	760	199	26.2
2CC8 / 2DFO	485	543	58	10.7
2FDC / 2F7C	539	589	50	8.5
เฉลี่ย			126	19.2
2090-99				
2A21 / 2F2A	337	425	88	20.7
2E6D / 2FE6	452	751	299	39.8
2CC8 / 2DFO	375	514	139	27.0
2FDC / 2F7C	542	598	56	9.4
เฉลี่ย			146	24.2
เฉลี่ยรวม			136	21.7

เมื่อพิจารณาผลกระทบของชุดดินต่อกลผลิตข้าวนาชลประทาน พบร่วมกับชุดดินที่ตัวแทนเขตวิกฤตที่ 6 ในเขตแหล่งผลิตที่ 1 ชุดดินเขาย้อย (Kyo) ให้ผลผลิตต่ำกว่า ชุดดินราชบุรี (Rb) ร้อยละ 46.4 และ 44.1 ในช่วงปี 2030-39 และ 2090-99 ตามลำดับ เช่นเดียวกับพื้นที่ตัวแทนในเขตแหล่งผลิตที่ 2 3 และ 4 ให้ผลผลิตลดลงเฉลี่ย 366 และ 341 กิโลกรัมต่อไร่ ในช่วงปี 2030-39 และ 2090-99 ตามลำดับ หรือคิดเป็นร้อยละ 38.7 และ 39.7 ตามลำดับ เมื่อเฉลี่ยโดยรวมผลกระทบของชุดดินทำให้ผลผลิตข้าวนาชลประทานลดลงจำนวน 354 กิโลกรัมต่อไร่ หรือ คิดเป็นร้อยละ 36.2 (ตารางที่ 18)

ตารางที่ 18. ผลกระทบของชุดดินต่อกลผลิตของข้าวนาชลประทานปี 2030-39 และปี 2090-99

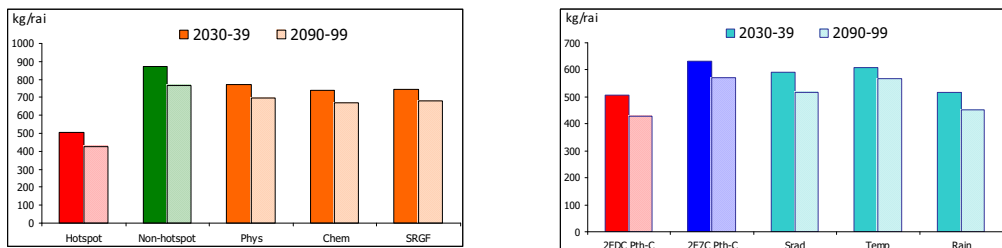
ชุดดิน (ในเขตวิกฤต /นอกเขตวิกฤต)	ผลผลิต(กก./ไร่)		ความแตกต่าง	
	ในเขตวิกฤต	นอกเขตวิกฤต	ในเขตวิกฤต	นอกเขต วิกฤต
2030-39				
2A21 Kyo/Rb	435	812	377	46.4
2E6D Ckr/Ly	561	616	55	8.9
2CC8 Sa/Np	485	1114	629	56.5
2FDC Pth_C/Ok	539	942	403	42.8
เฉลี่ย			366	38.7
2090-99				
2A21 Kyo/Rb	337	603	266	44.1
2E6D Ckr/Ly	452	493	41	8.3
2CC8 Sa/Np	375	1020	645	63.2
2FDC Pth_C/Ok	542	954	412	43.2
เฉลี่ย			341	39.7
เฉลี่ยรวม			354	36.2

การวิเคราะห์ผลกระทบ อุณหภูมิ และน้ำฝน

ในการวิเคราะห์ ได้ทำการเปรียบเทียบกลผลิตข้าวจากชุดดินเดียวกัน แต่สภาพอากาศแตกต่างกัน โดยพื้นที่วิกฤตที่ 6 เขตแหล่งผลิตที่ 1 ใช้ชุดดินเขาย้อย (Kyo) กริดอากาศ 2A21 เปรียบเทียบ กับกริดอากาศ 2F2A ของพื้นที่นอกเขต เขตแหล่งผลิตที่ 2 ชุดดินจักราช (Ckr) เปรียบเทียบกริดอากาศ 2E6D กับ กริดอากาศ 2FE6 ของพื้นที่นอกเขตวิกฤต เขตแหล่งผลิตที่ 3 ชุดดินสรรพยา (Sa) เปรียบเทียบกริดอากาศ 2CC8 กับ กริดอากาศ 2DFO และเขตแหล่งผลิตที่ 4 ชุดดินปากท่อ (Pth_C) ภายใต้กริดอากาศ 2FDC เปรียบเทียบกับกริดอากาศ 2F7C

ในการจำลอง ได้กำหนดการให้น้ำชลประทานจำนวน 7 ครั้ง รวมปริมาณน้ำทั้งหมดที่ข้าวได้รับ ตลอดช่วงการเพาะปลูก ประมาณ 815 มิลลิเมตร

ผลจากการจำลองพบว่า ในช่วงปี 2030-39 ผลกระทบจากพลังงานแสง อุณหภูมิ และจากปริมาณน้ำฝน ทำให้ผลผลิตข้าวลดลงเฉลี่ยร้อยละ 6.5 3.2 และ 17.4 ตามลำดับ ในช่วงปี 2090-99 ผลผลิตข้าวลดลงร้อยละ 9.5 0.2 และ 19.7 ตามลำดับ และเมื่อเฉลี่ยทั้งสองช่วง ทำให้ผลผลิตข้าวน้ำฝนลดลงเฉลี่ยร้อยละ 8.0 1.7 และ 18.6 ตามลำดับ (ตารางที่ 19)



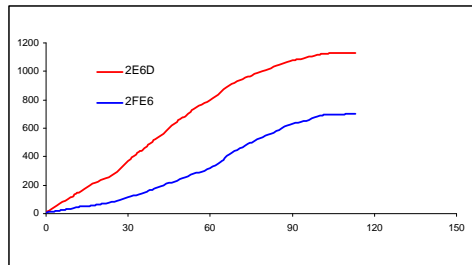
ภาพที่ 54. ผลกระทบต่อผลผลิตข้าวน้ำชาลประทานที่ลดลงในเขตพื้นที่วิกฤตที่ 6 เฉลี่ยจาก 4 เขตแหล่งผลิตเนื่องจากคุณสมบัติทางกายภาพ (Phys) เคมี (Chem) และสัมประสิทธิ์การเติบโตของราชข้าว (SRGF) (ข้าว) พลังงานแสงอาทิตย์ (Srad) อุณหภูมิ (Temp) และปริมาณน้ำฝน (Rain) (ข้าว) ในช่วงปี 2030-39 และ 2090-99

ตารางที่ 19. ผลกระทบขององค์ประกอบของสภาพอากาศต่อผลผลิตข้าวน้ำชาลประทานของประเทศไทย ในช่วงปี 2030-39 และช่วงปี 2090-99

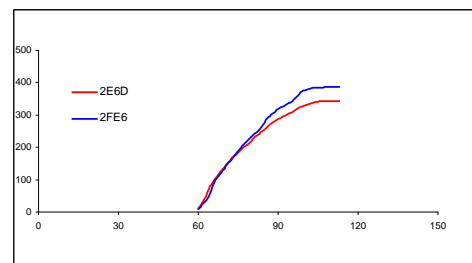
กริดอากาศ (ในเขตวิกฤต/นอกเขตวิกฤต)	ผลผลิต(กก./ไร่)		ผลกระทบ(ร้อยละ)		
	ในเขตวิกฤต	นอกเขตวิกฤต	จากแสง	จากอุณหภูมิ	จากน้ำฝน
2030-39					
2A21 / 2F2A	435	633	12.6	5.2	37.8
2E6D / 2FE6	561	760	3.4	4.5	21.1
2CC8 / 2DFO	485	543	7.6	-2.4	10.1
2FDC / 2F7C	539	589	2.5	5.4	0.3
เฉลี่ย			6.5	3.2	17.4
2090-99					
2A21 / 2F2A	377	425	3.3	-3.1	17.4
2E6D / 2FE6	452	751	10.0	1.2	37.5
2CC8 / 2DFO	375	514	20.8	-0.8	22.0
2FDC / 2F7C	542	598	3.8	3.5	2.0
เฉลี่ย			9.5	0.2	19.7
เฉลี่ยรวม			8.0	1.7	18.6

การให้น้ำชาลประทานจำนวน 7 ครั้ง เมื่อร่วมกับปริมาณน้ำฝน ข้าวจะได้รับน้ำตลอดการเพาะปลูกเท่ากับ 815 มิลลิเมตร ซึ่งเพียงพอต่อความต้องการในการเจริญโตและให้ผลผลิตของข้าวในพื้นที่นาชาลประทาน ส่วนใหญ่ แต่ในเขตแหล่งผลิตที่ 1-2 และ 3 พื้นที่ที่ได้รับผลกระทบจะเป็นต้นที่ระบายน้ำได้ถึงปานกลาง การซึมของน้ำอยู่ในระดับปานกลาง (ชุดดินเข้าย้อย ชุดดินจักราช และชุดดินสรรพยา) ดังนั้นหากเกิดภาวะฝนทึบช่วงที่เกิดจากความแปรปรวนของฝน ข้าวมีโอกาสขาดน้ำโดยเฉลี่ยในช่วงข้าวตั้งท้องและออกดอกซึ่งเป็นระยะที่ข้าวต้องการน้ำมากและเป็นช่วงปลายฤดูฝน ตัวอย่างเช่น ชุดดินจักราชที่ได้รับน้ำฝนแตกต่างกันจากการ 2E6D และ 2FE6 ถึงแม้น้ำฝนสะสมในช่วงฤดูปลูกจากกริดอากาศ 2E6D (1,130 มิลลิเมตร) จะมากกว่าจากกริด

อากาศ 2FE6 (700 มิลลิเมตร) แต่ในช่วงปลายฤดูจากข้าวเริ่มสร้างรวงจนถึงเก็บเกี่ยว ปริมาณน้ำฝนสะสมมีน้อย ในเดือนที่มีอัตราการระบายและการซึมของน้ำดีปานกลางอย่างเช่นเดือนชุดจักราช ข้าวมีโอกาสขาดน้ำได้ เช่นกัน แม้จะมีการให้น้ำชลประทาน ในกรณีนี้ชี้ให้เห็นว่าการเพิ่มปริมาณน้ำสำรองเป็นทางเลือกหนึ่งของการปรับตัว



ภาพที่ 55. ปริมาณน้ำฝนสะสมตลอดฤดูปลูกข้าวนาชลประทานในกรณีอากาศของเขตวิกฤต (2E6D) และนอกเขตวิกฤต (2FE6) ช่วงปี 2030-39



ภาพที่ 56. ปริมาณน้ำฝนสะสมตลอดฤดูปลูกข้าวนาชลประทานในกรณีอากาศของเขตวิกฤต (2E6D) และนอกเขตวิกฤต (2FE6) ช่วงปี 2090-99

การวิเคราะห์ผลกระทบจากคุณสมบัติของดิน

เมื่อจำลองเพื่อหาผลกระทบของคุณสมบัติทางกายภาพ เคมี และสัมประสิทธิ์การเติบโตของราชข้าว จากชุดเดือนที่ต่างกันภายใต้สภาวะอากาศเดียวกันพบว่า คุณสมบัติทั้งสามมีผลทำให้ผลผลิตข้าวนาชลประทานลดลง (ตารางที่ 20) ในสัดส่วนใกล้เคียงกัน โดยมีค่าเฉลี่ยช่วงปี 2030-39 และ 2090-99 เท่ากับ ร้อยละ 10.0 14.4 และ 12.4 ตามลำดับ รูปแบบการตอบสนองที่แตกต่างกันในแต่ละเขตการปลูก (ภาพที่ 54 ข้าง) ชี้ให้เห็นถึงปฏิกริยาร่วมของดินและสภาพอากาศที่ชัดเจน

ตารางที่ 20. ผลกระทบของคุณสมบัติของดินต่อผลผลิตข้าวนาชลประทานของประเทศไทย ในช่วงปี 2030-39 และช่วงปี 2090-99 (ผลกระทบเป็นลบหมายถึงทำให้ผลผลิตเพิ่มขึ้น)

ชุดดิน (ได้รับผลกระทบ/ไม่ได้รับผลกระทบ)	ผลผลิต(กก./ไร่)		ผลกระทบ(ร้อยละ)		
	ได้รับผลกระทบ	ไม่ได้ ผลกระทบ	จาก กายภาพ	จากทาง เคมี	จากราก ข้าว
2030-39					
2A21 Kyo/Rb	435	812	13.2	32.3	24.8
2E6D Ckr/Ly	561	616	15.1	10.9	8.8
2CC8 Sa/Np	485	1114	16.2	14.2	14.1
2FDC Pth_C/Ok	539	942	1.5	3.4	10.6
เฉลี่ย			11.5	15.2	14.6
2090-99					
2A21 Kyo/Rb	337	603	-2.8	21.6	13.9
2E6D Ckr/Ly	452	493	16.6	16.2	1.8
2CC8 Sa/Np	375	1020	22.1	11.6	10.0
2FDC Pth_C/Ok	542	954	-1.7	5.3	15.5
เฉลี่ย			8.5	13.7	10.3
เฉลี่ยรวม			10.0	14.4	12.4

โดยภาพรวมสรุปได้ว่าปัจจัยที่จำกัดผลผลิตของข้าว ทั้งข้าวน้ำฝนและข้าวนาชลประทาน คือปริมาณฝน และปริมาณฝน ที่มีปฏิกิริยาร่วมกันที่ชัดเจน ดังนั้นการแก้ปัญหาต้องพิจารณาปัจจัยทั้งสองควบคู่กันไป

การปรับตัว (Adaptation)

จากการวิเคราะห์ผลกระทบของสภาวะโลกร้อนต่อการผลิตข้าวนาทั้งสองของประเทศไทย พบร่วมกัน พบว่าโดยรวม สภาวะอากาศในอนาคตจนถึงปี 2099 ทำให้ผลผลิตข้าวนาทั้งสองเพิ่มขึ้น จาก 399 กิโลกรัมต่อไร่ในปีฐานคือ 1980-99 เป็น 434 กิโลกรัมต่อไร่ในปี 2090-99 หรือเพิ่มขึ้นร้อยละ 8.8 แต่มีบางพื้นที่ที่ได้รับผลกระทบจากสภาวะโลกร้อนที่ทำให้ผลผลิตข้าวลดลงจำนวน 6.8 ล้านไร่ จาก 45.7 ล้านไร่ ของนาทั้งสอง แต่ที่เป็นปัญหาระดับต่ำที่ต้องแก้ไข มีจำนวนประมาณ 2.0 ล้านไร่ ที่จะได้รับผลกระทบในช่วงปี 2030-39 และ 2090-99 เมื่อวิเคราะห์จากพื้นที่ตัวแทน พบร่วมกัน ผลผลิตข้าวนาทั้งสองและนาชลประทานลดลงจาก การขาดน้ำโดยเฉพาะในช่วงปลายฤดู

แนวทางการปรับตัวของนา่น้ำฝน

1. ใช้พันธุ์ที่อายุเบา เก็บเกี่ยวได้เร็วขึ้นกว่าข้าวขาวดอกมะลิ105 เช่นพันธุ์ กษ15 จากกริดอากาศ 2E68 ที่ฝนในช่วงต้นฤดูมีมากแต่มีน้อยช่วงปลายฤดู ในกรณีนี้ การใช้พันธุ์ข้าวที่มีอายุเบาสามารถแก้ปัญหาได้ หรืออาจมีการปรับปรุงพันธุ์ข้าวที่มีระบบราชลีกที่มีความทนทานต่อสภาวะแล้งได้มากขึ้น ซึ่งในปัจจุบันกรมการข้าวก็ได้ดำเนินการอยู่แล้ว

2. การเขตกรรมที่เหมาะสม จากการวิเคราะห์ที่พบว่าความแปรปรวนของผลผลิตรายปีจากสภาวะภูมิอากาศ อาจต้องแก้ไขโดยการจัดการที่เหมาะสมตามสภาพท้องถิ่น เช่น ปีที่ฝนมาเร็วมีน้ำเพียงพอต่อการเตรียมกล้าจากปลูกโดยวิธีปักดำ ถ้าฝนมาล่าจากปลูกแบบห่วงข้าวแห้ง หรือห่วงน้ำดมเมื่อฝนมา ซึ่งเทคโนโลยีเหล่านี้มีอยู่แล้วเพียงแต่นำไปปรับใช้ให้เข้ากับสถานการณ์และสภาพพื้นที่

3. การจัดการความอุดมสมบูรณ์ของดิน การวิเคราะห์ผลกระทบขององค์ประกอบชุดดินซึ่งให้เห็นว่า คุณสมบัติทางเคมีของดิน คือสาเหตุสำคัญที่ทำให้ผลผลิตข้าวลดลง ดังนั้นการจัดการปุ๋ยที่เหมาะสมทั้งปุ๋ยอินทรีย์ และเคมีเป็นเรื่องจำเป็น และสามารถจัดการและแก้ปัญหาได้ ด้วยการวิเคราะห์ต้นทุนของราชลูกาหารที่มีในดิน แล้วเดิมส่วนที่ขาดให้ตรงกับความต้องการของข้าว ซึ่งเทคโนโลยีเหล่านี้มีแล้วแต่อาจต้องปรับเพื่อความแม่นยำ รวดเร็ว และมีประสิทธิภาพ

แนวทางการปรับตัวของนาชาลประทาน

แนวทางในการปรับตัวพอกล่าวโดยสรุปมีดังนี้

1. การปรับเปลี่ยนพันธุ์ เนื่องอุณหภูมิเฉลี่ยที่สูงขึ้น ทำให้อายุข้าวสั้นลง (Ingram et al., 1995) ดังนั้น อัตราการเจริญเติบโตของข้าว (growth) ในอนาคตต้องสูงขึ้นเพื่อให้ทันกับระยะพัฒนาการ (development) ที่สั้นลง เพื่อคงประสิทธิภาพการให้ผลผลิต หรือให้สูงขึ้น ปัจจุบันแนวโน้มของเกษตรกรบางพื้นที่มีความต้องการพันธุ์ข้าวที่มีอายุสั้นลง เพื่อรับการปลูกต่อปีที่มากขึ้น และหลีกเลี่ยงข้อจำกัดของพื้นที่ เช่น หลีกเลี่ยงน้ำท่วมและน้ำทะเลหมุนเข้าในพื้นที่เป็นต้น

2. การเขตกรรมที่เหมาะสม เช่นเดียวกับข้าวนาน้ำฝน จากการวิเคราะห์พบว่าความแปรปรวนของสภาวะภูมิอากาศรายปีน่าจะเป็นปัญหาของระบบการผลิตข้าวมากกว่าผลกระทบที่จะเกิดในระยะยาว การจัดการที่เหมาะสมตามสภาพท้องถิ่นจึงเป็นทางออกของการปรับตัวในแต่ละพื้นที่ แต่ต่างกันที่ข้าวนาชาลประทานสามารถปลูกข้าวได้ตลอดทั้งปี ดังนั้นการจัดการจึงทำได้หลากหลายมากกว่า ทั้งพันธุ์ข้าว การจัดการน้ำ วิธีการเตรียมดิน วิธีการปลูก ซึ่งเทคโนโลยีเหล่านี้มีอยู่แล้วเช่นเดียวกัน เพียงแต่เกษตรกรนำไปปรับใช้ให้เข้ากับสถานการณ์และสภาพพื้นที่ ในพื้นที่ตัวแทน ฝนเป็นสาเหตุที่ทำให้ผลผลิตลดลงถึงร้อยละ 18.6 ดินในพื้นที่ตัวแทนเป็นชุดดินที่ระบายน้ำดี ถึงแม้จะมีการให้น้ำชาลประทาน แต่ยังมีปัญหาเรื่องการขาดน้ำ ในทางปฏิบัติพื้นที่ที่ทำนาติดต่อกันเป็นเวลานาน จะเกิดการอัดตัวของดินให้ชนิด过硬 (hard pan) ทำให้มีการเก็บกักน้ำได้ดีขึ้น แต่ข้อมูลนำเข้าคุณสมบัติดินยังไม่ได้ครอบคลุมในเรื่องนี้

3. การจัดการความอุดมสมบูรณ์ของดิน การวิเคราะห์ผลกระทบขององค์ประกอบชุดดิน ซึ่งให้เห็นว่า คุณสมบัติทางกายภาพและเคมีของดิน เป็นปัญหาที่ทำให้ผลผลิตข้าวลดลง ทั้งนี้ไม่รวมปัญหาระบบزرกข้าวที่ แก้ไขโดยความสามารถของพันธุ์ข้าวและการเตรียมดิน ฟ่างข้าวที่มีเป็นจำนวนมากในแต่ละฤดู หากมีการไถกลบ ลงไปในดินและปล่อยให้มีการย่อยสลายระยะหนึ่งก่อนการปลูกข้าว จะมีส่วนในการคืนชาต้อาหารสู่ดิน พร้อมกับ ปรับปรุงโครงสร้างทางกายภาพไปในขณะเดียวกัน ดังนั้นการจัดการปุ๋ยที่เหมาะสมทั้งปุ๋ยอินทรีย์และเคมีจึงเป็น เรื่องจำเป็น ซึ่งผลกระทบของส่วนนี้จะมากกว่า ผลกระทบของสภาพอากาศ แต่สามารถจัดการและแก้ปัญหาได้ ด้วยการวิเคราะห์ดันทุนของสารอาหารที่มีอยู่ในดิน และเติมส่วนที่ขาดให้ตรงกับความต้องการของข้าว ซึ่ง เทคโนโลยีเหล่านี้มีอยู่แล้วแต่อาจต้องปรับเพื่อความแม่นยำ และรวดเร็ว มีประสิทธิภาพมากขึ้น

สรุป

จากการศึกษาผลกระทบของสภาวะโลกร้อนต่อการผลิตข้าวของประเทศไทย พบร่วมกันว่า สภาวะโลกร้อนมี ผลกระทบทำให้ ผลผลิตข้าวในพื้นที่ที่ได้รับผลกระทบในช่วงปี 2030-39 และช่วงปี 2090-99 ลดลงร้อยละ 10.8 และ 21.7 ในนาแห่งน้ำและนาชลประทานตามลำดับ โดยองค์ประกอบของสภาวะอากาศที่มีผลกระทบต่อผลผลิต ข้าว ประกอบด้วย พลังงานแสง อุณหภูมิ และปริมาณน้ำฝน โดยทำให้ผลผลิตข้าวลดลง 1.1 - 1.6 และ 9.8 ในข้าว นาแห่งน้ำ และ 8.0 - 1.7 และ 18.6 ในข้าวนาชลประทานตามลำดับ และงานวิจัยในครั้นนี้ยังพบว่า การแปรปรวนของ สภาวะอากาศ ปี ต่อ ปี ที่มีต่อผลผลิตข้าว มีมากกว่า ความแปรปรวนในระยะยาว (จนถึง ปี 2099) และเมื่อ เปรียบเทียบผลกระทบของสภาวะโลกร้อนที่มีต่อผลผลิตข้าว กับผลกระทบของชุดดินที่แตกต่างกัน ภายใต้สภาวะ อากาศเดียวกัน พบร่วมกันว่า ดินสามารถช่วยรองรับ (buffer) ผลกระทบจากความแปรปรวนของสภาพอากาศ ถึงร้อยละ 36.1 ในนาแห่งน้ำ และร้อยละ 36.2 ในนาชลประทาน แนวทางการปรับตัวเพื่อรับมือกับสภาวะโลกร้อนในมุมมอง ของการผลิต พอสรุปได้ 3 แนวทางคือ

1. การใช้พันธุ์ที่เหมาะสม ในนาแห่งน้ำใช้พันธุ์ที่อายุเบาเก็บเกี่ยว ได้เร็วขึ้นกว่าพันธุ์ข้าวขาวดอก มะลิ 105 เช่นพันธุ์ กษ 15 อาจมีการปรับปรุงพันธุ์ข้าวที่มีระบบ rakfik ที่มีความทนทานต่อสภาวะแล้งได้มากขึ้น การปรับเปลี่ยนพันธุ์ข้าวในนาชลประทาน เนื่องอุณหภูมิเฉลี่ยที่สูงขึ้น จะทำให้อายุข้าวสั้นลง ดังนั้นอัตราการ เจริญเติบโตของข้าว (growth) ในอนาคตต้องสูงขึ้นเพื่อ ให้ทันกับระยะพัฒนาการ (development) ที่สั้นลง เพื่อคง ประสิทธิภาพการให้ผลผลิต หรือให้สูงขึ้น ในปัจจุบันแนวโน้มของเกษตรกรรมบางพื้นที่มีความต้องการพันธุ์ข้าวที่มี อายุสั้นลง เพื่อรองการปลูกต่อปีที่มากขึ้น และเพื่อหลีกเลี่ยงข้อจำกัดของพื้นที่ เช่น หลีกเลี่ยงนาท่วม และหลีกเลี่ยง น้ำทะลenu เข้าในพื้นที่เป็นต้น

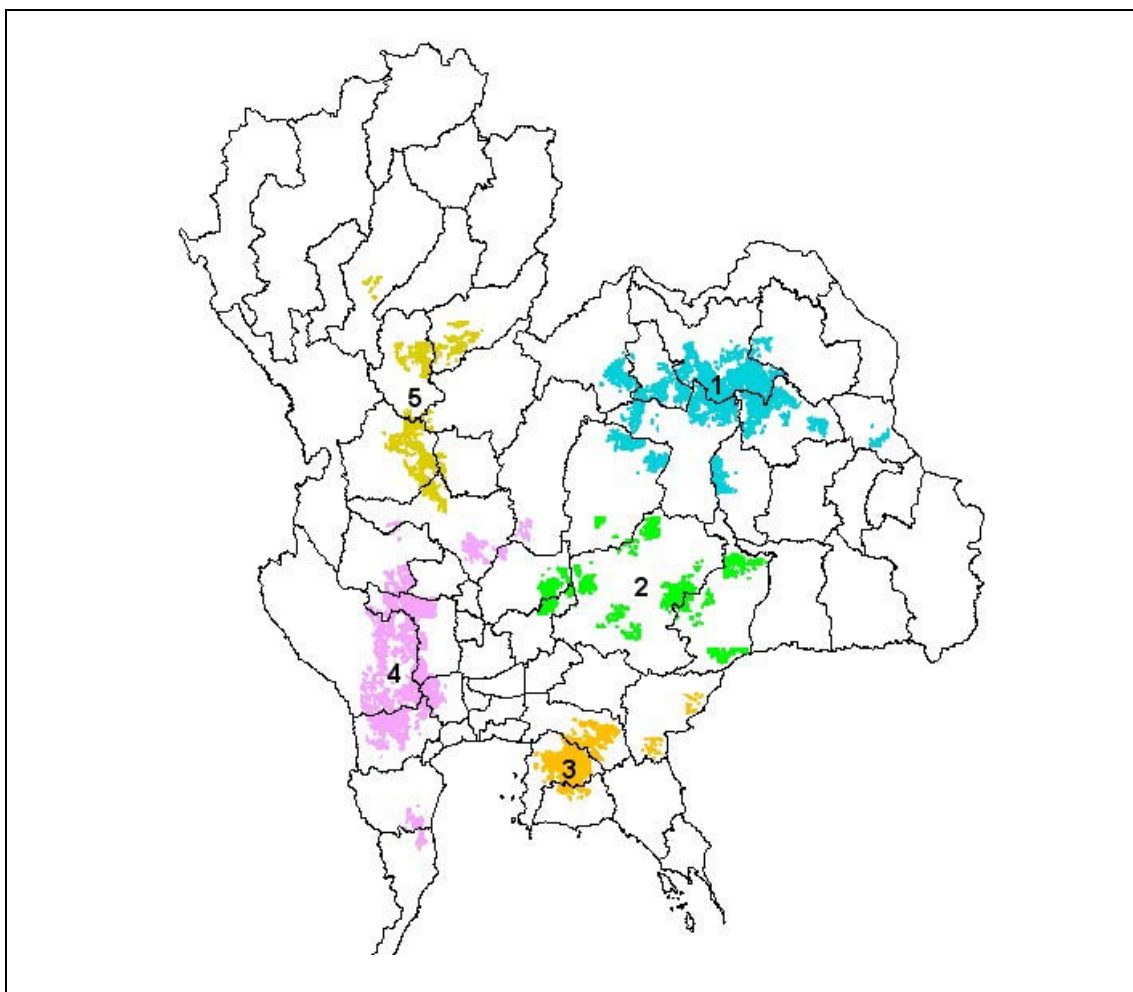
2. การเขตกรรมที่เหมาะสม จากการวิเคราะห์ที่พบว่าความแปรปรวนของสภาวะภูมิอากาศราย ปีน่าจะเป็นปัญหาของระบบการผลิตข้าวมากกว่าผลกระทบที่จะเกิดในระยะยาว ดังนั้นการจัดการที่เหมาะสมตาม สภาพท้องถิ่นจึงเป็นทางออกของการปรับตัวแต่ละพื้นที่ เช่น การมาช้าหรือเร็วของฝน ซึ่งบางปีที่ฝนมาเร็วมีน้ำ เพียงพอต่อการเตรียมกล้าเพื่อปลูกโดยวิธีปักดำ ถ้าฝนมาล่าอาจปลูกแบบหัวข้าวแห้ง หรือหัวน้ำตาม ส่วน

ในข้าวนาชาลประทานสามารถปลูกข้าวได้ตลอดทั้งปี ดังนั้นการจัดการจึงทำได้หลากหลายมากกว่า ทั้งพันธุ์ข้าว การจัดการน้ำ วิธีการเตรียมดิน วิธีการปลูก ซึ่งเทคโนโลยีเหล่านี้มีอยู่แล้วเช่นเดียวกัน เพียงแต่เกษตรกรนำไปปรับใช้ให้เข้ากับสถานการณ์และสภาพพื้นที่ และมีการศึกษาวิธีการใหม่ๆ เพิ่มเติม

3. การจัดการความอุดมสมบูรณ์ของดิน การวิเคราะห์ผลกระทบขององค์ประกอบชุดดินที่ชี้ให้เห็นว่า คุณสมบัติทางเคมีของดิน คือปัญหาหนึ่งที่สามารถขยายความรุนแรงของผลกระทบจากการโลกร้อน ที่ทำให้ผลผลิตข้าวลดลง ดังนั้นการจัดการปุ๋ยที่เหมาะสมทั้งปุ๋ยอินทรีย์และปุ๋ยเคมีจึงเป็นเรื่องจำเป็น ซึ่งสามารถจัดการและแก้ปัญหาได้ ด้วยการวิเคราะห์ต้นทุนของสารอาหารที่มีอยู่ในดิน และเติมส่วนที่ขาดให้ตรงกับความต้องการของข้าว ซึ่งเทคโนโลยีเหล่านี้ก็มีอยู่แล้วเช่นกันแต่อาจต้องมีการปรับเพื่อความแม่นยำ และรวดเร็ว มีประสิทธิภาพมากขึ้น

การปรับระบบการผลิตอ้อย

พื้นที่ปลูกอ้อยจากแผนที่การใช้ประโยชน์ที่ดิน (ศูนย์เทคโนโลยีสารสนเทศ, 2544) ทั้งประเทศมีอยู่ประมาณ 12.7 ล้านไร่ และสามารถแบ่งเป็นเขตแหล่งผลิตได้ 5 เขต (ภาพที่ 57) เมื่อจำลองการเจริญเติบโตของอ้อยโดยใช้ข้อมูลภูมิอากาศรายวันจากแบบจำลองภูมิอากาศระดับภูมิภาค จากปี 1980-2099 ภายใต้ SRES A2 และ B2 พบร่วมกันว่าผลผลิตของอ้อยเฉลี่ยทั้งประเทศของปีฐาน เท่ากับ 10.4 ตันต่อไร่ แต่พื้นที่ฯได้รับผลกระทบที่รุนแรง (ผลผลิต \leq ร้อยละ 70 ของค่าเฉลี่ยของของปีฐาน) ในปี 1980-1989 มีพื้นที่เท่ากับ 1.2 ล้านไร่ หรือประมาณร้อยละ 10 ของพื้นที่ปลูกอ้อยทั้งหมดจากนั้นลดลงเหลือประมาณร้อยละ 1 ในช่วงปี 2030-2039 และลดลงเป็นลำดับจนเหลือประมาณร้อยละ 0.1 ในช่วงปี 2090-2099 ดังนั้นในเขตวิกฤตที่มีความสำคัญที่จะต้องรีบแก้ไข ซึ่งจำแนกจากค่า impact index จึงเป็นพื้นที่ที่เกิดในช่วงอนาคตอันใกล้ ในเขตวิกฤตนี้ส่วนใหญ่เป็นพื้นที่ปลูกอ้อยในเขตภาคตะวันออกเฉียงเหนือ

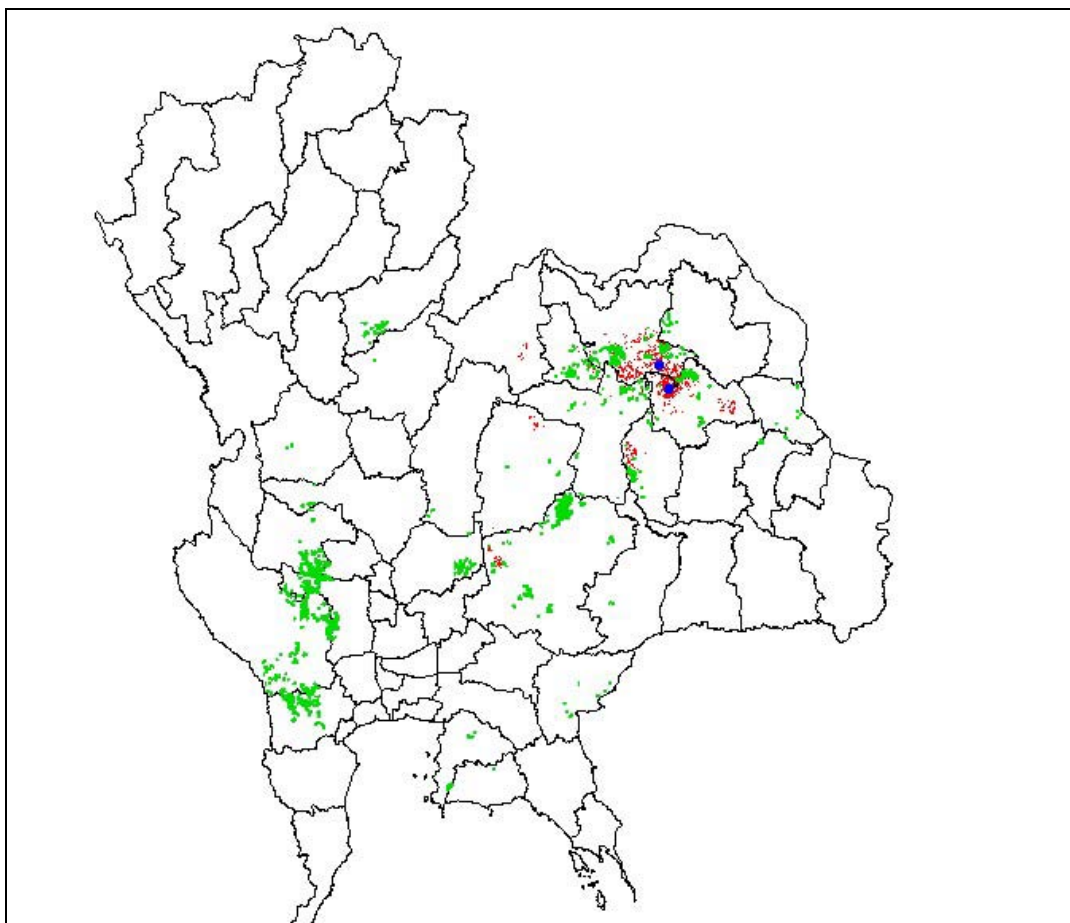


ภาพที่ 57. แผนที่แสดงเขตแหล่งผลิตอ้อยของประเทศไทย

พื้นที่ตัวแทนเขตวิกฤตระบบการผลิตอ้อย

จากการวิเคราะห์ความแปรปรวนของผลผลิตทั้งประเทศในรูปของ normalized $\bar{\sigma}$, พบว่ามีค่าความแปรปรวนเท่ากับร้อยละ 26 ขณะที่ในเขตแหล่งผลิตอ้อยที่ 1 มีความแปรปรวนผลผลิตเพียงร้อยละ 11.7 และพื้นที่ปลูกอ้อยที่เป็นเขตวิกฤตเกือบทั้งหมด อยู่ในเขตแหล่งผลิตอ้อยที่ 1 มีพื้นที่อีกเล็กน้อยเกิดในเขตแหล่งผลิตอ้อยที่ 2 ในเขตวิกฤตนี้ประมาณร้อยละ 72 ของพื้นที่เป็นกลุ่มชุดดินจักราช ที่เหลือมีอีกเพียง 2 กลุ่มคือกลุ่มชุดดินมหาสารคาม (MsK) และ กลุ่มชุดดินโพนพิสัย (Pp) กรณีอากาศที่มีความหนาแน่นของพื้นที่ปลูกอ้อยมากที่สุด ($>$ ร้อยละ 43) ได้แก่ 2B4D และ 2A86 จากข้อมูลดังกล่าว จึงได้เลือกพื้นที่ตัวแทนของเขตวิกฤตที่ 2 เพื่อใช้วิเคราะห์หาสาเหตุของปัญหา ที่มีคุณสมบัติดังนี้ จุดที่ 1 อยู่ในเขตแหล่งผลิตที่ 1 ภายใต้กริดอากาศ 2B4D กลุ่มดินจักราช และจุดที่ 2 ชุดดินมหาสารคาม กรณีอากาศ 2AE9 ซึ่งมีความหนาแน่นของพื้นที่ปลูกของจาก 2B4D

ในการเปรียบเทียบผลของภูมิอากาศ ได้เปรียบเทียบพื้นที่ตัวแทนจุดที่ 1 กับพื้นที่ในกริดอากาศ 3047 ที่อยู่นอกเขตวิกฤต ส่วนดินเป็นดินชุดจักราชเหมือนกัน และในการเปรียบเทียบผลจากดิน “ได้ใช้พื้นที่ในชุดดินน้ำพอง ในกริดอากาศ 2B4D เดียวgan ส่วนการเปรียบกับพื้นที่ตัวแทนจุดที่ 2 เพื่อวิเคราะห์ผลกระทบจากอากาศ ได้ใช้กริดอากาศ 2DFC ชุดดินมหาสารคาม และเพื่อวิเคราะห์ผลกระทบจากดิน “ได้ใช้ กริดอากาศ 2AE9 ชุดดินวาริน จุดตัวแทนทั้งสองจุดแสดงในภาพที่ 58



ภาพที่ 58. แสดงตำแหน่งของจุดตัวแทนของเขตวิกฤตที่ 2 ที่ได้มาจากสาเหตุที่ทำให้ผลผลิตลดลง

พื้นที่ ๆ ใช้ในการวิเคราะห์มีคุณสมบัติในรายละเอียดดังนี้

คุณสมบัติของดิน

กลุ่มชุดดินที่ 40 เป็นกลุ่มดินร่วนหยาบลึกถึงลึกมาก เกิดจากตะกอนลำน้ำหรือวัตถุตันกำเนิดทราย ปฏิกิริยาดินเป็นกรดจัดหรือเป็นกลาง การระบายน้ำดีถึงปานกลาง ความอุดมสมบูรณ์ต่ำ ได้แก่ชุดดิน จักราช (Ckr)* ชุมพวง (Cpg) หุบกระพง (Hg) หัวยแคลง (Ht) สันป่าตอง (Sp) และ ยางตลาด (YI) ปัญหาการใช้ประโยชน์ที่ดิน ดินปนทราย ความอุดมสมบูรณ์ต่ำ ในพื้นที่ที่มีความลาดชันเกิดการชะล้างพังทลายได้ง่าย

กลุ่มชุดดินที่ 44 เป็นกลุ่มดินทรายหนา เกิดจากตะกอนลำน้ำหรือตะกอนเนื้อหยาบ ปฏิกิริยาดินเป็นกรดเล็กน้อยเป็นกลาง การระบายน้ำค่อนข้างมาก ความอุดมสมบูรณ์ต่ำ ได้แก่ชุดดิน จันทึก (Cu) ด่านขุนทด (Dk) และ นำพอง (Ng)* ปัญหาการใช้ประโยชน์ที่ดิน ดินทรายหนา ความอุดมสมบูรณ์ต่ำ เสี่ยงต่อการขาดน้ำ หน้าดินเกิดการชะล้างพังทลายได้ง่าย

กลุ่มชุดดินที่ 41 เป็นกลุ่มดินทรายหนาปานกลาง เกิดจากตะกอนลำน้ำหรือตะกอนเนื้อหยาบทับอุบัติ ชั้นดินที่มีเนื้อดินเป็นดินร่วนปนดินเหนียวหรือดินร่วนเหนียวปนทรายแป้ง ปฏิกิริยาดินเป็นกรดเล็กน้อยถึงปานกลาง การระบายน้ำดีอยู่บนชั้นดินที่มีการระบายน้ำดีปานกลาง ความอุดมสมบูรณ์ต่ำ ได้แก่ชุดดิน บ้านไฝ (Bpi) คำบาง (Kg) และ มหาสารคาม (Msk)* ปัญหาการใช้ประโยชน์ที่ดิน ดินทรายหนาปานกลาง ความอุดมสมบูรณ์ต่ำ ในระยะที่ฝนตกหนักจะมีน้ำขังหรือเกิดการชะล้างพังทลายได้ง่าย

กลุ่มชุดดินที่ 35 เป็นกลุ่มดินร่วนละเอียดลึกถึงลึกมาก เกิดจากตะกอนลำน้ำหรือวัตถุตันกำเนิดดินเนื้อหยาบ ปฏิกิริยาดินเป็นกรดจัดมาก การระบายน้ำดีถึงดีปานกลาง ความอุดมสมบูรณ์ต่ำ ได้แก่ชุดดิน ดอนไร (Dr) ด่านซ้าย (Ds) ห้างฉัตร (Hc) โคราช (Kt) นานบอน (Mb) สตีก (Suk) วริน (Wn)* และ โยโซธร (Yt) ปัญหาการใช้ประโยชน์ที่ดิน ดินปนทราย ความอุดมสมบูรณ์ต่ำ เสี่ยงต่อการขาดน้ำ บางพื้นที่มีความลาดชันเกิดการชะล้างพังทลายได้ง่าย บางพื้นที่ดินเป็นกรดจัดมาก

คุณสมบัติอากาศ 10 ปี ในช่วงที่ปลูกอ้อย

กริดอากาศ 3047 ที่ใช้เปรียบเทียบหาผลกระทบของสภาพอากาศ มีค่าเฉลี่ยของแสง และอุณหภูมิ สูงกว่ากริด 2B4D ของจุดตัวแทนที่ 1 ของเขตวิภาคต ลึกน้อย แต่ขณะเดียวกันปริมาณน้ำฝนสะสมทั้งฤดูปลูก มีค่าเฉลี่ย 10 ปี น้อยกว่าประมาณ 100 มิลลิเมตร (ตารางที่ 21)

ตารางที่ 21. ข้อมูลสภาพอากาศของกริดอากาศ 2B4D ในเขตวิภาคต กับกริด 3047 นอกเขตวิภาคต

Weather Grid	2B4D	3047
Yield (ton rai ⁻¹)	7.3	8.7
Avg.Radiation (MJ m ⁻² d ⁻¹)	17.3	17.8
Avg.T-max (C)	32.1	32.3
Avg.T-min (C)	21.1	21.5
Sum. Rain (mm.)	1,272.7	1,194.8

จุดตัวแทนที่ 2 ของเขตวิภาคตอยู่ในกริด 2AE9 และเปรียบเทียบกับกริดอากาศ 2DFC ที่อยู่นอกเขต ในกริด 2DFC นี้ ความเข้มแสงมีค่ามากกว่าประมาณ 1 เมกะจูลต่อตารางเมตรต่อวัน ขณะเดียวกันก็พบว่ามีอุณหภูมิ

เฉลี่ยสูงกว่าประมาณ 1 องศาเซลเซียส และมีปริมาณน้ำฝนสะสมทั้งฤดูปีกุณแล้ว 10 ปีน้อยกว่า ประมาณ 250 มิลลิเมตร (ตารางที่ 22)

ตารางที่ 22. ข้อมูลสภาพอากาศของกริดอากาศ 2AE9 ในเขตวิกฤต กับกริด 2DFC นอกเขตวิกฤต

Weather Grid	2AE9	2DFC
Yield (ton\rai)	6.9	8.3
Avg.Radiation (MJ/m ² /d)	16.9	17.6
Avg.T-max (C)	31.9	32.6
Avg.T-min (C)	20.8	21.5
Sum. Rain (mm.)	1440.8	1185.7

การวิเคราะห์หาสาเหตุของการลดลงของผลผลิตอ้อย

การวิเคราะห์เพื่อหาผลกระทบจากดิน

การวิเคราะห์มีขั้นตอนดังนี้

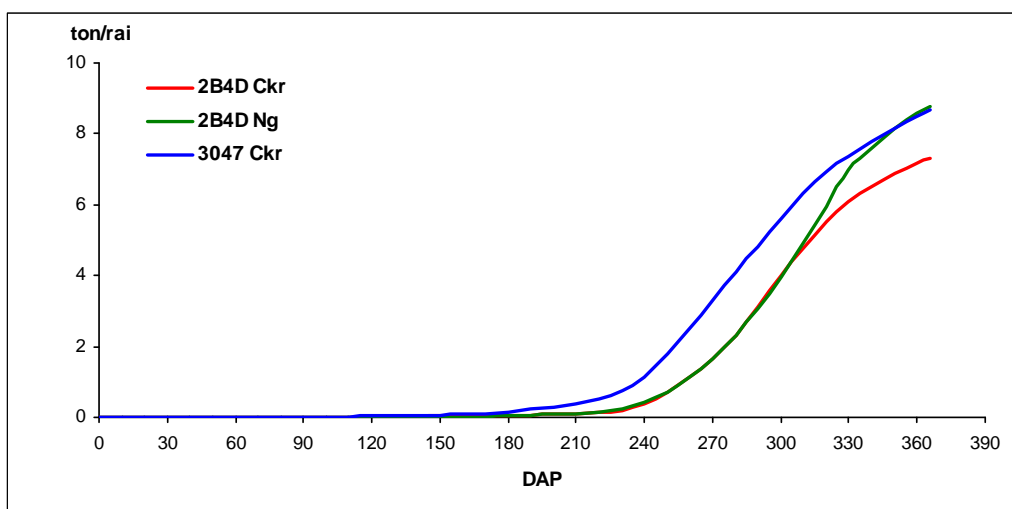
1. จำลองการเจริญเติบโตของอ้อยทั้ง 2 หน่วยการผลิต ที่เป็นกริดอากาศเดียวกันแต่ต่างชนิดดิน
2. วิเคราะห์การเจริญเติบโต ของอ้อยที่ได้จากการจำลองทั้งสองหน่วยการผลิต โดยให้ผลการจำลองแสดงออกมาทุก 10 วัน เพื่อเปรียบเทียบจุดที่แตกต่างของการเจริญเติบโตและผลผลิต
3. เปลี่ยนค่า input ของข้อมูลดิน โดยใช้ข้อมูลคุณสมบัติดินที่อยู่นอกพื้นที่ปัญหา ได้แก่ ข้อมูลทางกายภาพของดิน เคมีดิน และความลึกดิน มาแทนค่าในข้อมูลดินของหน่วยการผลิตในเขตวิกฤต ที่จะค่า
4. นำผลการจำลองมาวิเคราะห์เปรียบเทียบการเจริญเติบโต จากการเปลี่ยนค่า input ที่ละค่า และวิเคราะห์ความแตกต่างของผลผลิตจากการเปลี่ยนค่า input ต่างๆ

การวิเคราะห์เพื่อหาผลกระทบจากอากาศ

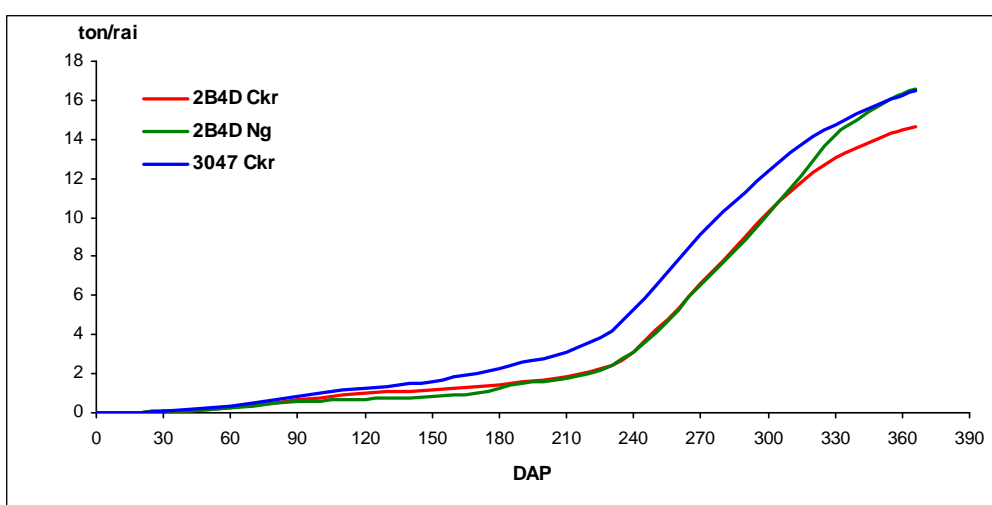
1. จำลองการเจริญเติบโตของอ้อยใน 2 หน่วยการผลิต ที่เป็นดินชนิดเดียวกันแต่ต่างสภาพอากาศ
2. วิเคราะห์การเจริญเติบโต ของอ้อยที่ได้จากการจำลองทั้งสองหน่วยการผลิต โดยให้ผลการจำลองแสดงออกมาทุก 10 วัน เพื่อเปรียบเทียบจุดที่แตกต่างของการเจริญเติบโตและผลผลิต
3. เปลี่ยนค่า input ของข้อมูลอากาศ โดยใช้ข้อมูลอากาศที่อยู่นอกพื้นที่ปัญหา ได้แก่ ข้อมูลแสง อุณหภูมิ และปริมาณน้ำฝน มาแทนค่าในข้อมูลอากาศของหน่วยการผลิตในเขตวิกฤตที่จะค่า
4. นำผลการจำลองมาวิเคราะห์เปรียบเทียบการเจริญเติบโต จากการเปลี่ยนค่า input ที่ละค่า

ผลการวิเคราะห์

จากการวิเคราะห์ดูที่ 1 ผลผลิตของอ้อย ที่อยู่ในเขตวิกฤต เท่ากับ 7.3 ตันต่อไร่ ผลผลิตในหน่วยการผลิตที่นำมาใช้เปรียบเทียบหาผลกระบทากดินต่างชนิดกันเท่ากับ 8.8 ตันต่อไร่ และหน่วยการผลิตที่นำมาเปรียบเทียบ หาผลกระบทากสภาพอากาศเท่ากับ 8.7 ตันต่อไร่ การสะสมน้ำหนักแห้งของลำต้น (stem dry weight - SW) และน้ำหนักแห้งส่วนเหนือดิน (top dry weight - TW) แสดงใน ภาพที่ 59 และ 60 ในสภาพอากาศที่แตกต่างกัน (different weather - dw) พื้นที่นอกเขตวิกฤต มีการสะสมน้ำหนักแห้งได้เร็วกว่าในเขตวิกฤต ทั้งนี้ เพราะมีปริมาณความชื้น และความเข้มแสงมากกว่า แต่ในช่วงต่อมาจะมีอัตราการเจริญใกล้เคียงกัน เมื่อใกล้ช่วงก่อนเก็บเกี่ยว ปริมาณน้ำฝนที่ลดลงในเขตวิกฤต ทำให้อัตราการสะสมน้ำหนักแห้งลดลง ในขณะที่ความแตกต่างของชนิดดินในช่วงแรกไม่ทำให้การสะสมน้ำหนักแห้งแตกต่างกัน แต่พอมามีช่วงปลายฤดูปลูก ซึ่งพบว่าช่วงนี้ปริมาณน้ำฝนเริ่มลดลง ดินในพื้นที่นอกเขตวิกฤต สามารถเก็บน้ำไว้ได้ดีและอาจอยู่ในสภาพที่เหมาะสมกว่าดินในพื้นที่ในเขตวิกฤต จึงทำให้อัตราการสะสมน้ำหนักแห้งมีอัตราเพิ่มขึ้นแตกต่างกันอย่างเห็นได้ชัด

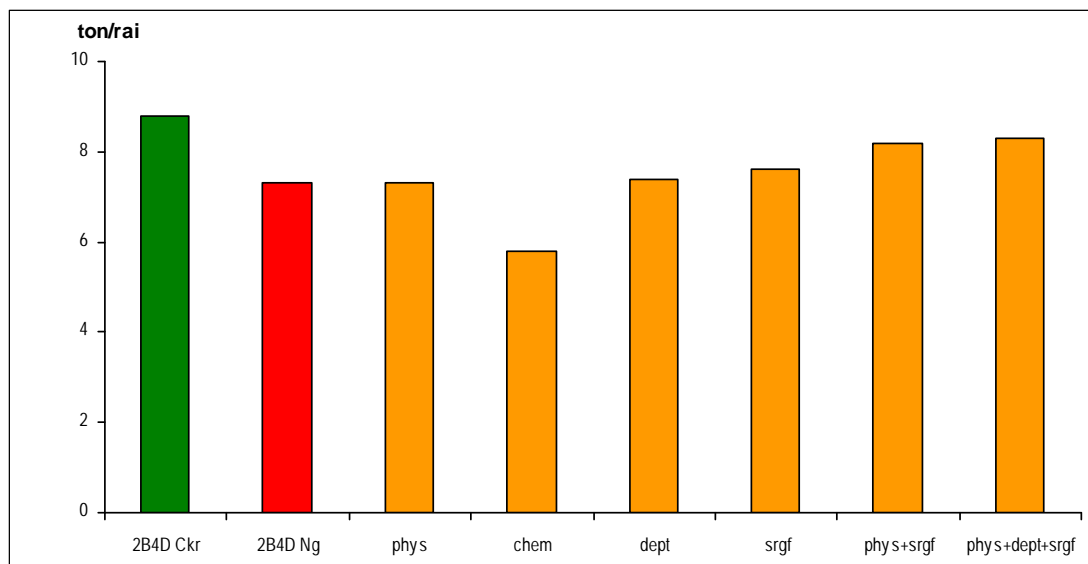


ภาพที่ 59. การสะสมน้ำหนักแห้งของลำต้นในหน่วยการผลิตที่สภาพอากาศและดินแตกต่างกัน



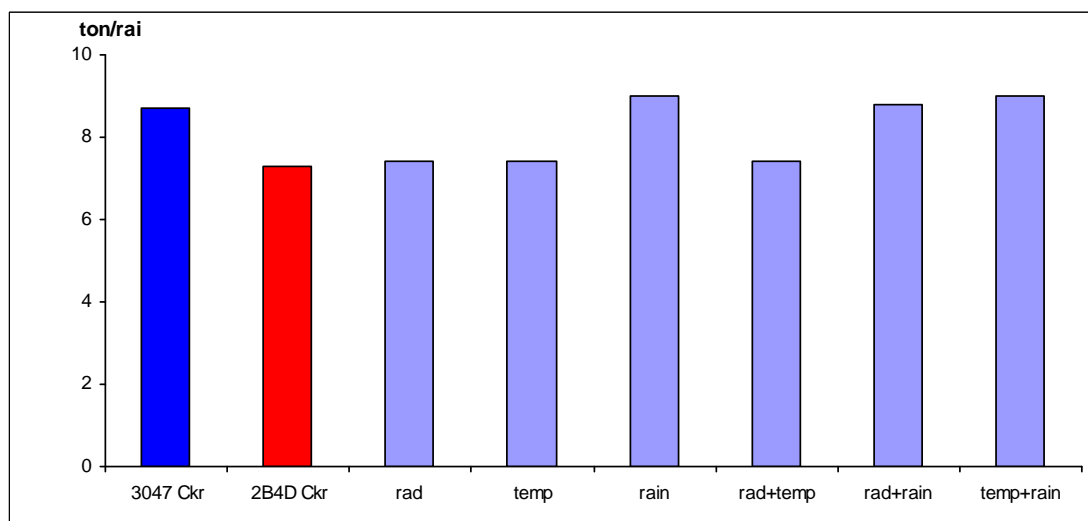
ภาพที่ 60. การสะสมน้ำหนักแห้งของส่วนเหนือดินที่ปลูกในหน่วยการผลิตที่สภาพอากาศและดินแตกต่างกัน

เมื่อทดลองเปลี่ยนค่า input คุณสมบัติของดินจากพื้นที่นอกเขตวิกฤต มาแทนในดินในเขตวิกฤต พบร้าเมื่อเปลี่ยนค่าคุณสมบัติทางกายภาพของดิน ความลึกของดิน และ คุณสมบัติการขยายรากของอ้อย (root growth) ทำให้ผลผลิตอ้อยเพิ่มขึ้น แต่ในทางตรงกันข้ามเมื่อเปลี่ยนคุณสมบัติทางเคมี กลับทำให้ผลผลิตลดลง ดังแสดงในภาพที่ 61 ซึ่งอาจเป็นไปได้ว่าในเขตวิกฤตนั้น มีความอุดมสมบูรณ์ของธาตุอาหารดีกว่าพื้นที่นอกเขตวิกฤต แต่การเจริญเติบโตกลับถูกจำกัดไว้ด้วยคุณสมบัติทางกายภาพ



ภาพที่ 61. ผลผลิตอ้อยจากการเปลี่ยนค่า input ของดินจากนอกเขตวิกฤต แทนในดินของเขตวิกฤต

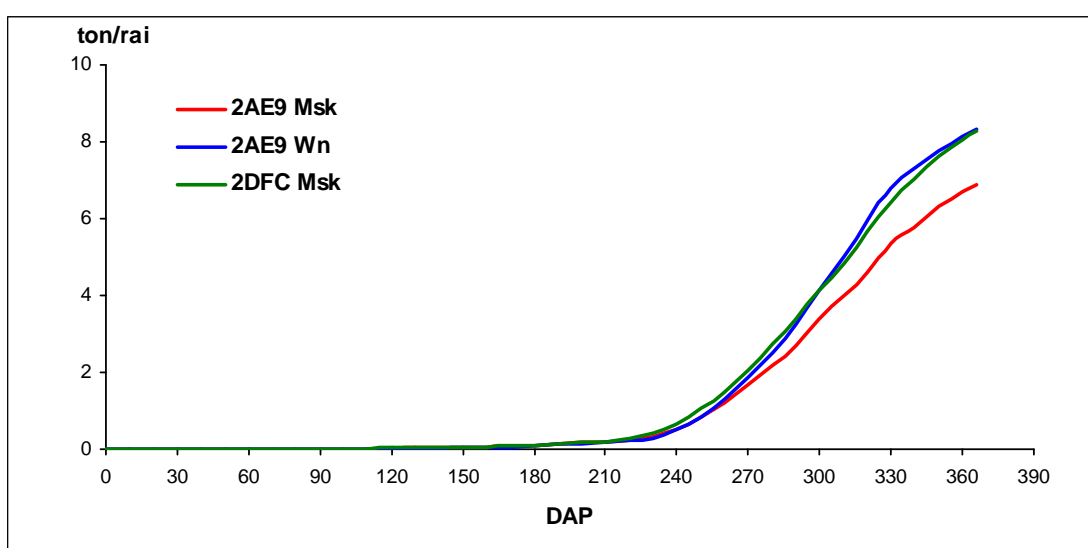
และเมื่อทดลองเปลี่ยนค่า input ของอากาศจากกริดนอกเขตวิกฤต มาแทนในกริดของเขตวิกฤต พบร้าเมื่อเปลี่ยนค่าน้ำฝน ทำให้ผลผลิตอ้อยเพิ่มขึ้น จนมากกว่านอกเขตวิกฤต เป็นไปได้ว่าในเขตพื้นที่ วิกฤต นั้นมีช่วงอุณหภูมิและความชื้นแสงที่เหมาะสมกว่า แต่ถูกจำกัดโดยปริมาณฝน ภาพที่ 62



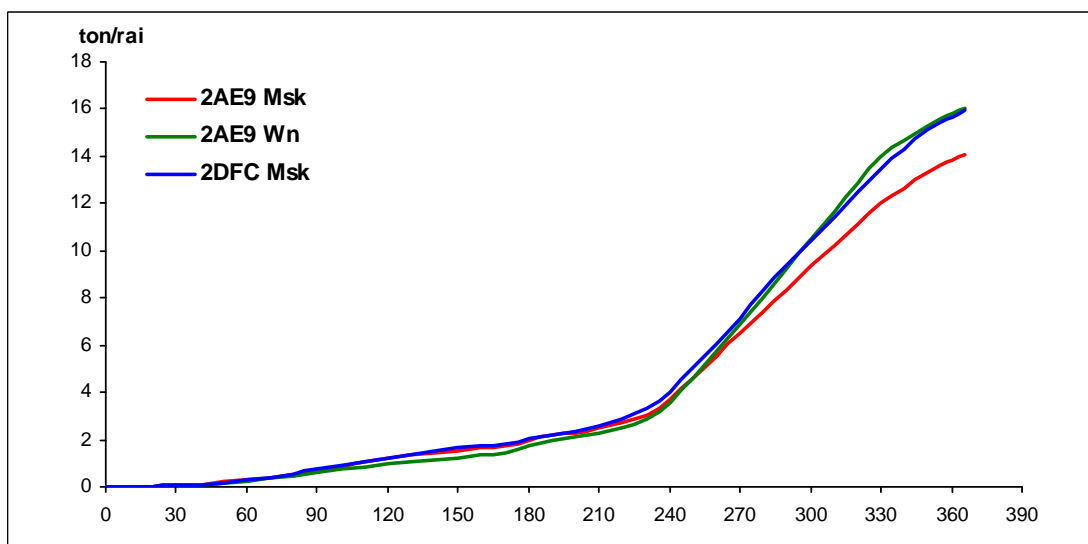
ภาพที่ 62. ผลผลิตอ้อยจากการเปลี่ยนค่า input ของอากาศจากนอกเขตวิกฤต แทนอากาศในเขตวิกฤต

ในจุดที่ 2 ผลจากการจำลองในเขตวิกฤต กับนอกเขต ที่มีสภาพอากาศและชุดดินที่แตกต่างกัน พบร่วมกัน ผลผลิตในเขตวิกฤต เท่ากับ 6.9 ตันต่อไร่ ขณะที่อีกสองหน่วยการผลิตที่นำมาเปรียบเทียบมีผลผลิตเท่ากัน คือ 8.3 ตันต่อไร่ อัตราการสะสมน้ำหนักแห้งทั้งลำต้นและส่วนเห็นอ่อน เริ่มแตกต่างกันในช่วงประมาณ 250 วันหลังปลูก (ภาพที่ 63 และ 64) ประมาณเดือนราย 10 วันในเขตวิกฤตมีมากกว่า แต่กลับไม่ได้ทำให้อัตราการเจริญเพิ่มขึ้น ทั้งนี้ เพราะปริมาณฝนดังกล่าวมีค่าสูงกว่าค่าศักย์ของอัตราการขยายตัว ดังนั้นปริมาณน้ำที่มีมากจึงไม่ได้ถูกใช้ให้เกิดประโยชน์ ในทางกลับกันเมฆที่หนาแน่นในขณะนั้นกลับทำให้ความเข้มแสงในเขตวิกฤตลดลง และจำกัดการเจริญเติบโต (ภาพที่ 65 และ 66)

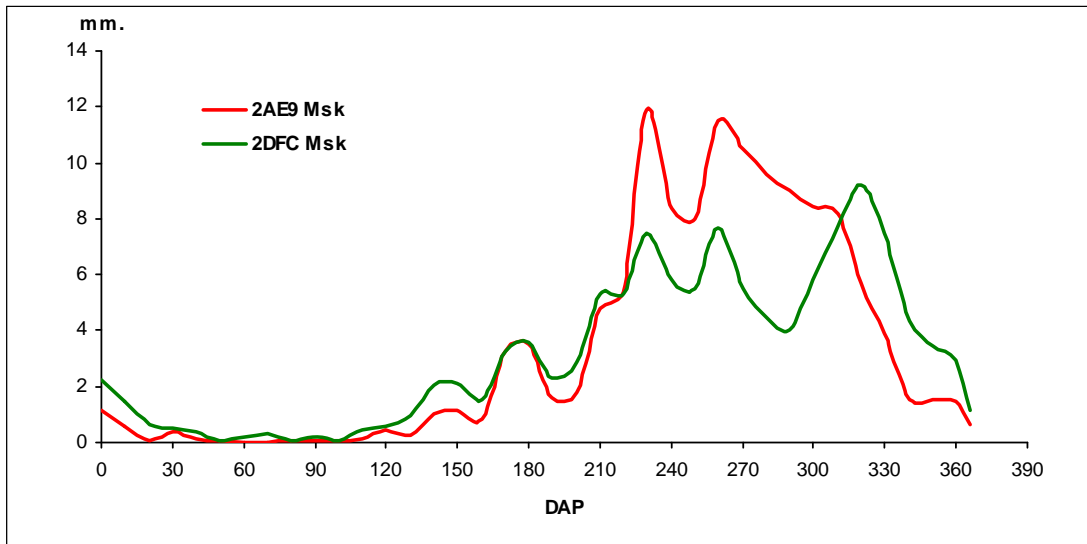
ความแตกต่างของชนิดดินก็ทำให้เกิดความความแตกต่างของอัตราการเจริญเติบโตใกล้เคียงกับความแตกต่างของอากาศ อาจเป็นเพราะว่าในช่วงที่มีฝนตกมาก ประมาณ 250 วันหลังปลูก ดินที่อยู่นอกเขตวิกฤต มีความสามารถในการซึมน้ำของน้ำได้ดีกว่าดินในเขตวิกฤต



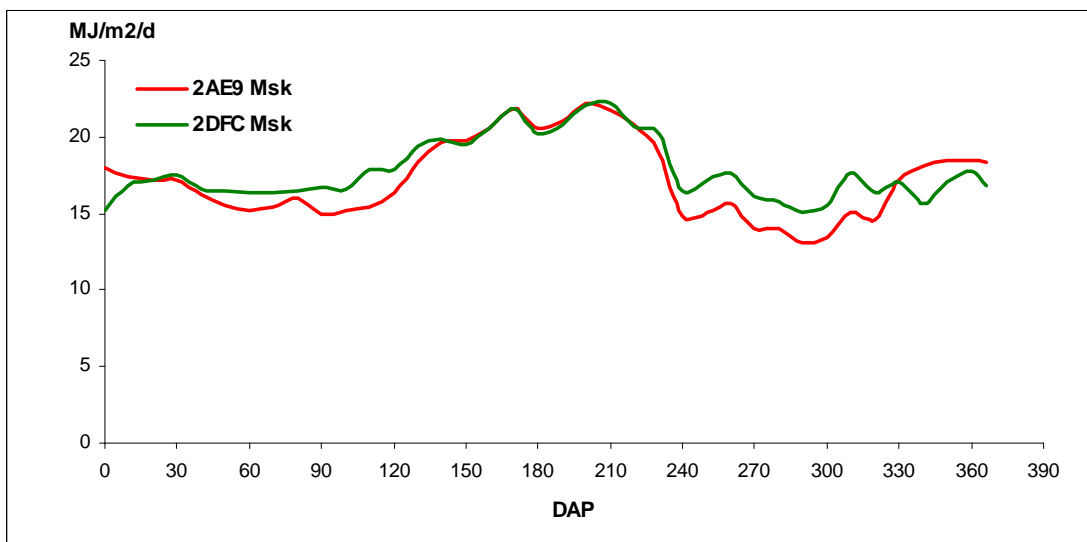
ภาพที่ 63. การสะสมน้ำหนักแห้งของลำต้นในหน่วยการผลิตที่สภาพอากาศและดินแตกต่างกัน



ภาพที่ 64. การสะสมน้ำหนักแห้งของส่วนเห็นอ่อนที่ปลูกในหน่วยการผลิตที่สภาพอากาศและดินแตกต่างกัน

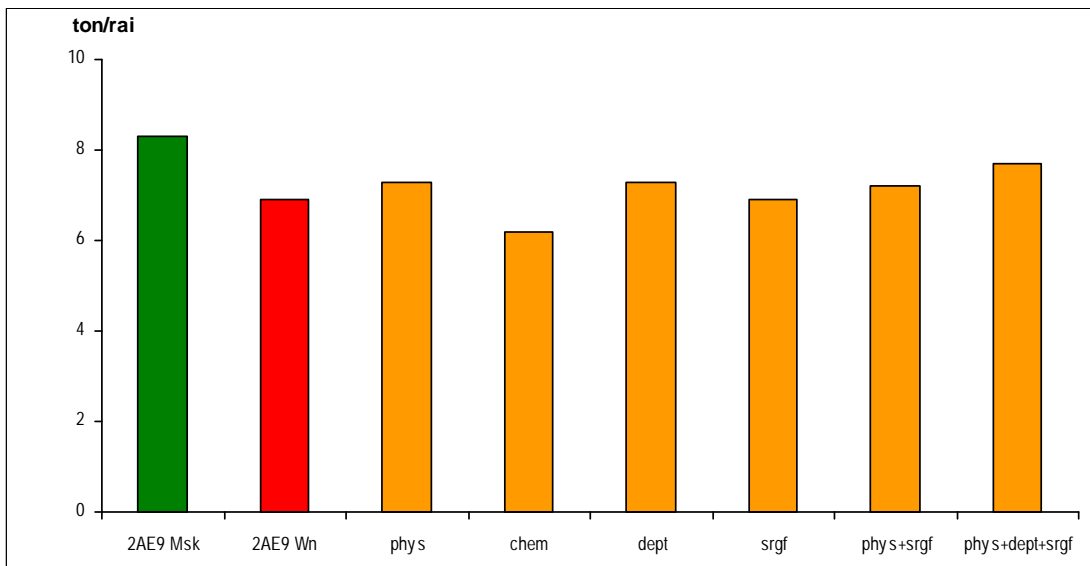


ภาพที่ 65. ปริมาณน้ำฝนรายวัน ตลอดฤดูปลูกของเขตวิกฤต และนอกเขตวิกฤต

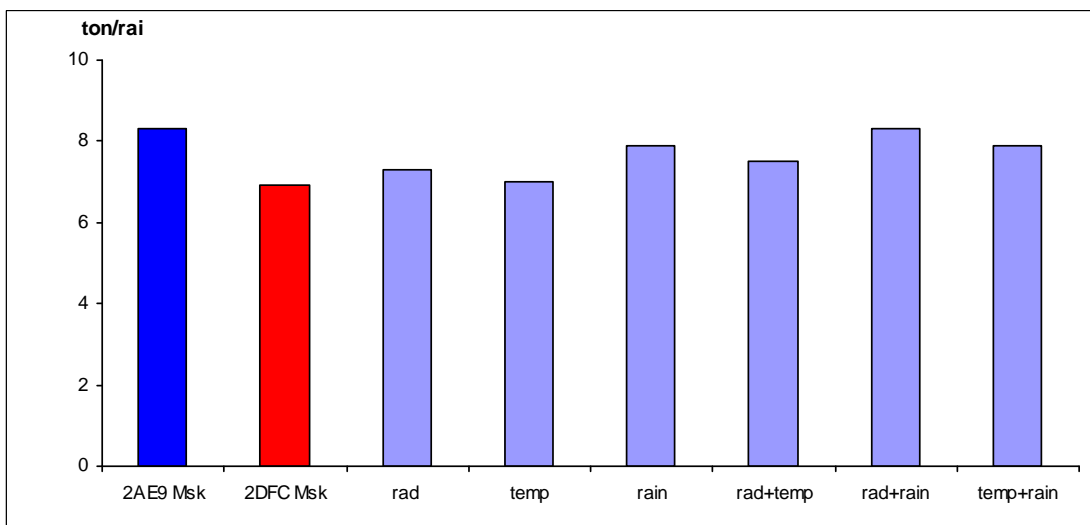


ภาพที่ 66. ค่าเฉลี่ยของความชื้นแสร้งราย 10 วัน ตลอดฤดูปลูกของเขตวิกฤต และนอกเขตวิกฤต

ผลจากการเปลี่ยนค่า input ของปัจจัยดินและอากาศแสดงในภาพที่ 67 และ 68 คุณสมบัติของดินที่ก่อให้เกิดความแตกต่างของผลผลิต คือคุณสมบัติทางกายภาพ ความลึก และการกระจายของราก เช่นเดียวกับที่พบในจุดที่ 1 ขณะที่เปลี่ยนปัจจัยที่เกิดจากความแตกต่างของสภาพอากาศ พบว่าปริมาณน้ำฝน และแสง มีผลทำให้ผลผลิตในเขตวิกฤตเพิ่มขึ้น ผลผลิตที่ต่ำ ในพื้นที่ด้วยแทนเขตวิกฤตจุดที่ 2 จึงน่าจะเกิดจากปริมาณน้ำฝนและความชื้นแสร้งที่ไม่เหมาะสม



ภาพที่ 67. ผลผลิตอ้อยจากการเปลี่ยนค่า input ของดินจากนอกเขตวิกฤต แทนดินในเขตวิกฤต

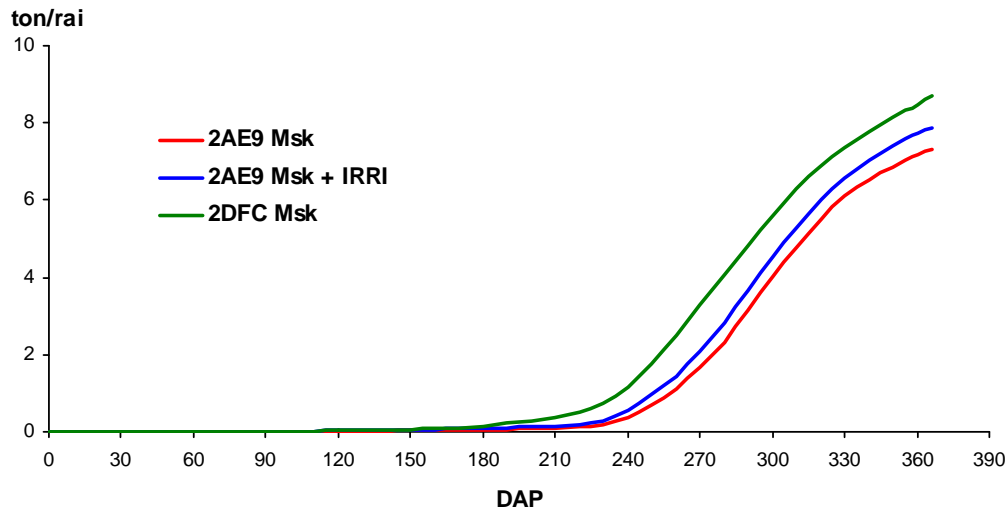


ภาพที่ 68. ผลผลิตอ้อยจากการเปลี่ยนค่า input ของอากาศจากนอกเขตวิกฤต แทนอากาศในเขตวิกฤต

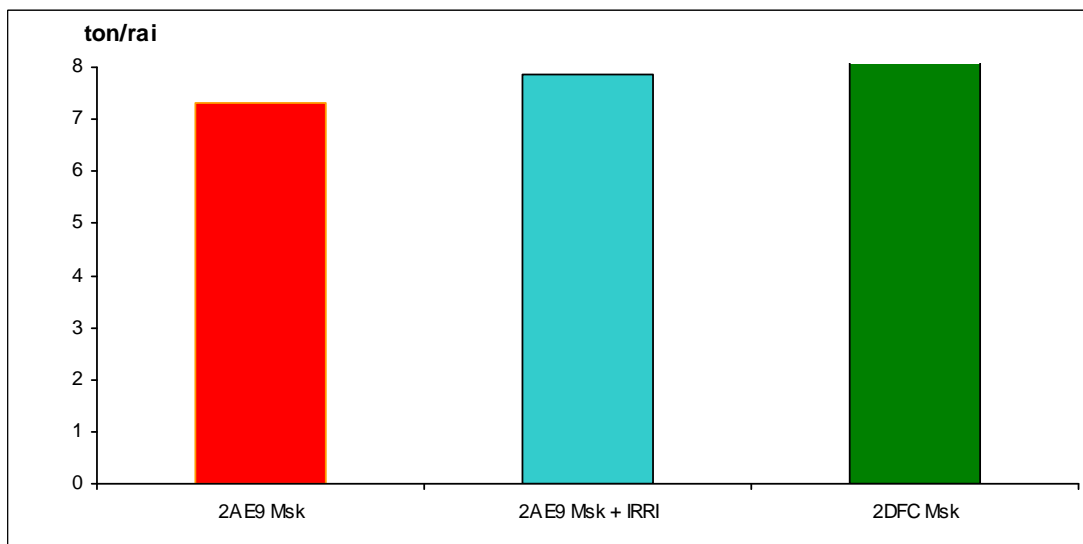
การปรับตัว (adaptation)

ผลจากการวิเคราะห์ปัญหาเขตวิกฤต พบว่าเกิดมาจากการสาเหตุหลักๆ สองประการ ได้แก่ ปริมาณน้ำฝน ที่มีการกระจายตัวไม่ต่อเนื่องชัดเจน หรือมีปริมาณฝนตกในแต่ละวันมากเกินไป ทำให้ความชื้นแสลงลดลง และสาเหตุที่เกิดจากดินมีคุณสมบัติทางกายภาพไม่เหมาะสม ต่อความเป็นประโยชน์ของน้ำที่มีปริมาณมากหรือน้อยเกินไป ดังนั้นแนวทางการปรับปรุงเพื่อการดับผลผลิตอ้อยจึงแบ่งได้เป็น 2 แนวทาง ได้แก่

1) การให้น้ำเสริมในช่วงต้นฤดูปลูก ประมาณ 2-3 เดือนหลังอ้อยออก จะทำให้อัตราการเจริญเติบโตและผลผลิตอ้อยเพิ่มได้ จากการจำลองให้มีการให้น้ำในปริมาณ 20 มิลลิเมตร ทุกๆ 14 วัน จำนวน 6 ครั้ง สามารถยกระดับผลผลิตให้สูงกว่าระดับวิกฤตได้ (ภาพที่ 69 และ 70) หากเพิ่มปริมาณน้ำและความถี่ของการให้น้ำมากขึ้น ก็จะทำให้ผลผลิตอ้อยสูงเพิ่มขึ้นเป็นลำดับไปด้วย

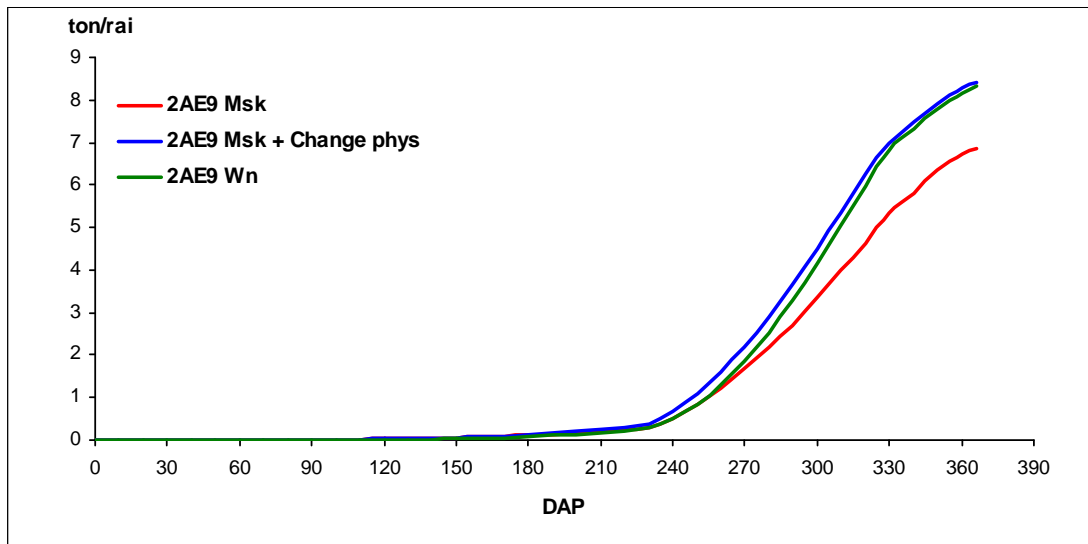


ภาพที่ 69. การสะสมน้ำหนักแห้งของอ้อยที่ปลูกในเขตวิกฤต นอกเขตวิกฤต และเมื่อมีการให้น้ำในพื้นที่เขตวิกฤต



ภาพที่ 70. ผลผลิตของอ้อยที่ปลูกในเขตวิกฤต นอกเขตวิกฤต และเมื่อมีการให้น้ำในเขตวิกฤต

2) การปรับปรุงคุณสมบัติของดินเพื่อให้มีความสามารถในการอุ้มน้ำ การซึมซาบของน้ำและการระบายน้ำให้อยู่ในสภาพที่เหมาะสมขึ้น จากภาพที่ 71 การเปลี่ยนค่าคุณสมบัติทางกายภาพของดินทำให้มีอัตราการเจริญเติบโตใกล้เคียงกับพื้นที่นอกเขตวิกฤต และวิธีการปรับปรุงคุณสมบัติทางกายภาพของดินนั้น จะทำอย่างไร ควรจะมีการศึกษาต่อไป



ภาพที่ 71. การสะสมน้ำหนักแห้งของอ้อยที่ปลูกในเขตวิกฤต นอกเขตวิกฤต และเมื่อเปลี่ยนคุณสมบัติทางกายภาพดิน

สรุป

ผลจากการเปลี่ยนแปลงของภูมิอากาศในระยะยาวไม่ส่งผลกระทบต่อการผลิตอ้อย ทั้งนี้การเพิ่มของ CO_2 กับการเพิ่มของอุณหภูมิ อาจจะให้ผลแบบหักล้างกันในระดับที่ใกล้เคียงกัน ดังนั้นผลผลิตของอ้อยในระยะยาวจะไม่มีการเปลี่ยนแปลงมากนัก อย่างไรก็ตาม ปัญหาที่เกิดกับการผลิตอ้อยเป็นปัญหาเดิม ที่พบมาก่อนแล้ว และยังพบอยู่ในปัจจุบัน คือดินมีสภาพที่ไม่เหมาะสม โดยเฉพาะคุณสมบัติทางกายภาพ ซึ่งเกี่ยวข้องโดยตรงกับการเก็บน้ำและระบายน้ำ การเปลี่ยนแปลงของสภาพภูมิอากาศจะทำให้ปัญหาดังกล่าวรุนแรงขึ้นได้ เห็นได้จากผลการทดสอบที่ในสภาพอากาศเดียวกัน แต่ดินสองชนิดที่มีคุณสมบัติทางกายภาพต่างกัน มีผลต่อการให้ผลผลิตของอ้อย แม้ว่าปริมาณฝนรายปีในอนาคตอาจเพิ่มมากขึ้นแต่การกระจายตัวของฝนจะแปรปรวน ถ้าฝนจะสั้นลง ดังนั้นการผลิตอาจพนักภัยต่อความชื้นที่ต่ำลงในช่วงฤดูฝน แต่ประสบภาวะแห้งแล้งในช่วงฤดูแล้ง ดังนั้นคุณสมบัติของดินที่จะช่วยรองรับภาวะดังกล่าวจึงมีความสำคัญมากขึ้น

นอกจากนี้ อ้อยเป็นพืชอายุยาว การกระจายตัวของน้ำฝนจึงมีความสำคัญต่อการให้ผลผลิตของอ้อย ความต้องการน้ำของอ้อยประมาณ 4-5 มิลลิเมตรต่อวัน ตลอดช่วงฤดูปลูก ปริมาณน้ำฝนต่อวันที่มากขึ้นไม่ได้ทำให้อ้อยเจริญเติบโตมากขึ้น แต่ในขณะเดียวกัน น้ำจะส่งผลต่อการเกิดน้ำขังหากการระบายน้ำไม่ดี แต่ในแบบจำลองนี้ยังไม่สามารถจำลองการเจริญเติบโตภายใต้สภาพน้ำท่วมขังได้ ดังนั้นแนวทางการปรับปรุงผลผลิตอ้อยในเขตวิกฤต สามารถทำได้ 2 แนวทางคือการให้น้ำเสริมในช่วงสามเดือนแรกหลังปลูก และการปรับปรุงดินให้มีความเหมาะสมต่อความเป็นประโยชน์ของน้ำให้มากขึ้น

การปรับระบบการผลิตมันสำปะหลัง

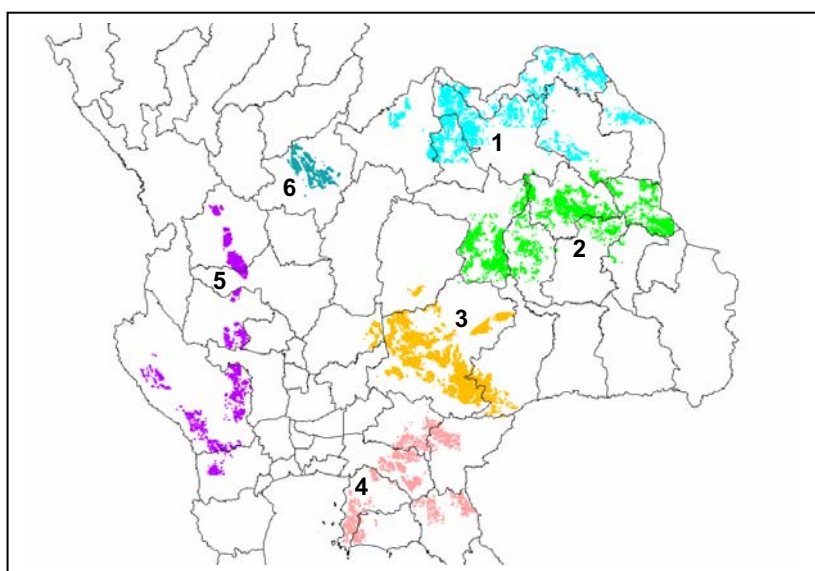
จากข้อมูลในปี 1980 ซึ่งเป็นปีฐานที่ใช้ในการเปรียบเทียบข้อมูล พบว่าผลผลิตของมันสำปะหลังเฉลี่ยทั้งประเทศ 4.1 ตันต่อไร่ มีพื้นที่ที่ผลผลิตต่ำกว่าร้อยละ 70 ของผลผลิตเฉลี่ยทั้งประเทศ 91,776 ไร่ หรือร้อยละ 0.7 ของพื้นที่ปลูกทั้งหมด ต่อมามาในช่วงปี 2030-39 พื้นที่ดังกล่าวเพิ่มขึ้นเป็น 4,429,644 ไร่ หรือร้อยละ 35 ของพื้นที่ปลูก และในช่วงปี 2090-99 พื้นที่เพิ่มอีกเป็น 10,064,926 ไร่ หรือร้อยละ 79 ของพื้นที่ปลูก โดยพื้นที่วิกฤตดังกล่าวจะ กระจายอยู่ในพื้นที่ปลูกเกือบทุกภาคของประเทศไทย

พื้นที่วิกฤตเหล่านี้ ส่วนใหญ่จะเกิดขึ้นในช่วงปี 2030-39 จะไปถึงช่วงปี 2090-99 มีพื้นที่ทั่วประเทศ 4.27 ล้านไร่ พื้นที่ 24 ชุดดินตัวแทนของแต่ละกลุ่มชุดดิน กลุ่มที่สำคัญได้แก่ วาริน (ร้อยละ 31.94) จักราช (ร้อยละ 15.78) โพนพิสัย (ร้อยละ 13.55) เชียงคาน (ร้อยละ 6.45) ท่ายาง (ร้อยละ 6.35) ปราณบุรี (ร้อยละ 6.05) มหาสารคาม (ร้อยละ 5.15) น้ำพอง (ร้อยละ 4.45) นาโภสก (ร้อยละ 3.84) และตาคลี (ร้อยละ 2.12)

เมื่อคำนวณหาค่า impact index พบว่าพื้นที่วิกฤตประเทศไทยที่ 6 มีค่าสูงสุด ในเขตพื้นที่วิกฤตประเทศไทยนี้ ผลผลิตต่ำกว่าร้อยละ 70 ของค่าเฉลี่ยของช่วงปีฐาน เริ่มจากปี 2030 ถึงปี 2099 มีพื้นที่ร้อยละ 37 ของพื้นที่ปลูกทั้งหมด

พื้นที่ตัวแทนเขตวิกฤตระบบการผลิตมันสำปะหลัง

ในการหาตัวแทนเขตวิกฤตประเทศไทยที่ 6 เพื่อใช้ในวิเคราะห์ถึงปัจจัยที่มีผลกระทบต่อการลดลงของผลผลิตในเขตนี้ ขั้นตอนแรกได้นำขอบเขตพื้นที่ปลูกมันสำปะหลัง ทั้ง 6 เขตแหล่งผลิตมาทำการแบ่งพื้นที่วิกฤตที่ 6 ของประเทศออกเป็น 6 เขต จำนวน 6 จังหวัด จังหวัดที่มีความแปรปรวนของผลผลิตเชิงพื้นที่ ($\text{normalized } \bar{\sigma}_t$) ที่เกิดขึ้นในแต่ละเขตวิกฤต ซึ่งหากพบว่าเขตใด มีความแปรปรวนของผลผลิตสูง ($\text{normalized } \bar{\sigma}_t > 15\%$) อาจจะต้องเลือกจุดที่นำวิเคราะห์มากกว่า 1 จุด เพื่อทำให้สามารถประยุกต์ใช้ผลการวิเคราะห์ได้ทั่วเขตแหล่งผลิต



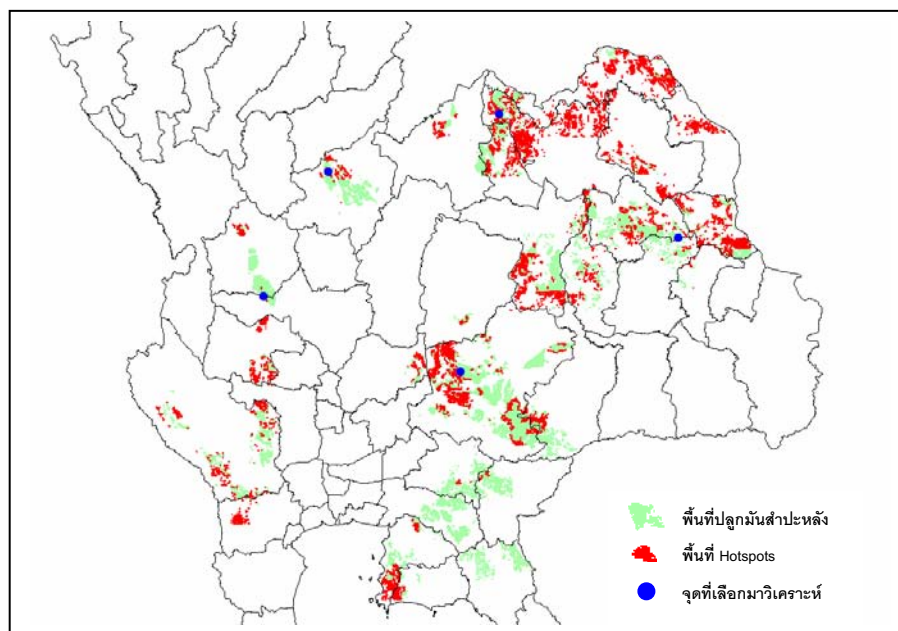
ภาพที่ 72. เขตแหล่งผลิตของมันสำปะหลัง แบ่งตามความหนาแน่นของพื้นที่ปลูก 6 เขต

เมื่อนำเขตแหล่งผลิต 6 เขต ของมันสำปะหลัง มาซ้อนกับพื้นที่วิกฤตประจำ 6 ได้คัดเลือกพื้นที่ตัวแทนในการวิเคราะห์จาก 5 เขต เขตละ 1 จุด (ตารางที่ 23) (ภาพที่ 73) เนื่องจากเมื่อได้พิจารณาถึงค่าความแปรปรวนของผลผลิต (normalized $\bar{\sigma}_n$) ในช่วงที่เกิดวิกฤตแล้ว มีค่าต่ำกว่าร้อยละ 15 ในเขตแหล่งผลิตที่ 4 ไม่มีพื้นที่ของเขตวิกฤต ที่ 6

ในแต่ละเขต จะนำพื้นที่นอกเขตวิกฤต ซึ่งอยู่ในกริดอากาศเดียวกันแต่คุณลักษณะชุดดินตัวแทน และอยู่คนละกริดอากาศแต่เป็นชุดดินตัวแทนเดียวกัน มาใช้ในการวิเคราะห์

ตารางที่ 23 พื้นที่ปลูก พื้นที่วิกฤตประจำที่ 6 ของมันสำปะหลัง ในแต่ละเขตแหล่งผลิต และตัวแทนในการวิเคราะห์

เขตแหล่งผลิต	พื้นที่ปลูก (ล้านไร่)	พื้นที่วิกฤต (หมื่นไร่)	ร้อยละของ พื้นที่วิกฤต ทั้งหมด	SMU ตัวแทน (กริดอากาศ กลุ่มชุดดิน)
1. เขตภาคตะวันออกเฉียงเหนือตอนบน	2.04	6.20	19.09	2958 Ch (เชียงคาน)
2. เขตภาคตะวันออกเฉียงเหนือตอนกลาง	2.12	4.80	14.78	2C17 Msk (มหาสารคาม)
3. เขตภาคตะวันออกเฉียงเหนือตอนล่าง	2.72	8.41	25.89	2EBE Msk (มหาสารคาม)
4. เขตภาคตะวันออก	1.29	6.62	20.38	-
5. เขตภาคตะวันตก	1.24	5.82	17.92	2D29 Wn (варин)
6. เขตภาคเหนือตอนล่าง	0.44	0.63	1.94	2A78 Ty (ท่ายาง)



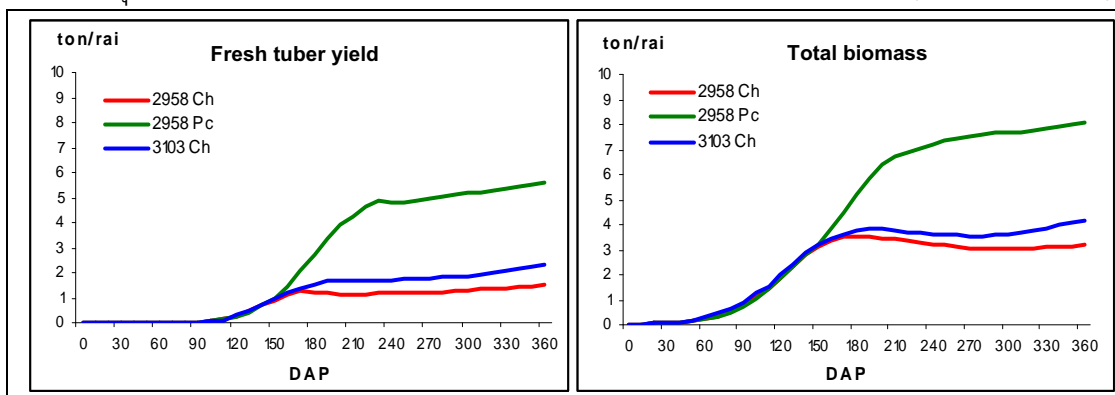
ภาพที่ 73. พื้นที่ที่เลือกมาวิเคราะห์ในแต่ละเขตแหล่งผลิตของมันสำปะหลัง

การวิเคราะห์หาสาเหตุการลดลงของผลผลิตมันสำปะหลัง

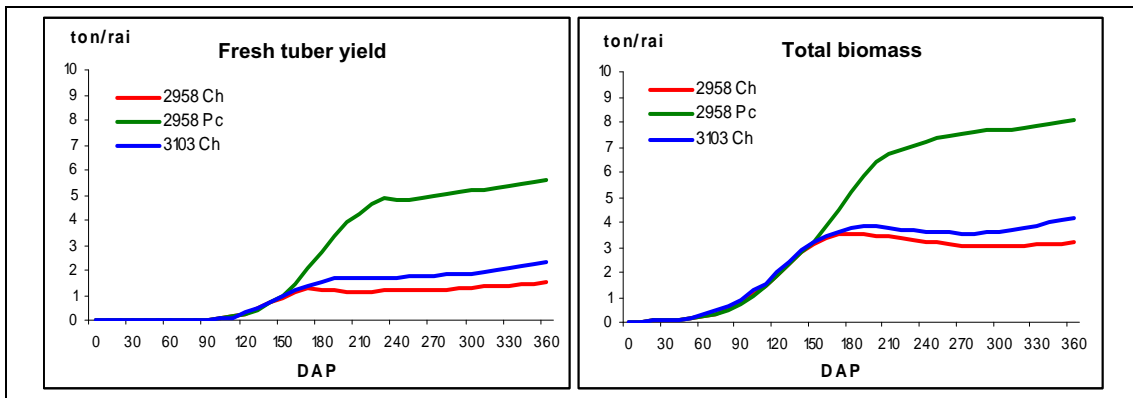
จำลองการผลิตมันสำปะหลัง โดยใช้พันธุ์เกษตรศาสตร์ 50 ปลูกวันที่ 15 พฤษภาคม ในสภาพอากาศ น้ำฝน ทำการวิเคราะห์หาสาเหตุการลดลงของผลผลิต โดยเปรียบเทียบผลกระทบจาก 2 ปัจจัยหลัก คือ ผลกระทบจากสภาพอากาศ และผลกระทบจากชุดดินตัวแทน ดังนี้

- ผลกระทบจากสภาพอากาศ ดำเนินการโดยการจำลองด้วยชุดดินเดียวกัน ภายใต้กริดอากาศที่ได้รับผลกระทบจากสภาพโลกร้อน เปรียบเทียบกับกริดอากาศที่ไม่ได้รับผลกระทบ ซึ่งผลผลิตสูงกว่า เพื่อประเมินผลกระทบของสภาพอากาศต่อผลผลิตมันสำปะหลัง จากนั้นได้ประเมินผลกระทบภายใต้องค์ประกอบของสภาพอากาศว่า ปัจจัยใดที่มีผลกระทบสูง ได้แก่ พลังงานแสงอาทิตย์ที่เพิ่มขึ้น อุณหภูมิ และปริมาณน้ำฝน
- ผลกระทบจากชุดดิน ดำเนินการโดยการจำลองภายใต้กริดอากาศเดียวกัน ใช้ชุดดินในพื้นที่เขตวิกฤตที่ได้รับผลกระทบจากสภาพโลกร้อน (ชุดดินเดียวกันบัญชี 1) เปรียบเทียบกับชุดดินในพื้นที่นอกเขตวิกฤตที่ไม่ได้รับผลกระทบ ซึ่งให้ผลผลิตสูงกว่าในกริดอากาศเดียวกัน โดยประเมินผลกระทบจากคุณสมบัติต่าง ๆ ของชุดดิน ได้แก่ คุณสมบัติทางกายภาพ ทางเคมี ระดับชั้นความลึกของชุดดินตัวแทน และปัจจัยการเติบโตของราก หรือปริมาณของรากมันสำปะหลังที่พบในแต่ละระดับชั้นความลึกของชุดดินตัวแทน รวมทั้งผลกระทบจากปฏิสัมพันธ์ของปัจจัย ได้แก่ คุณสมบัติทางกายภาพ ระดับชั้นความลึกของชุดดิน และปัจจัยการเติบโตของราก

จากการจำลองผลกระทบของสภาพโลกร้อนต่อการผลิตมันสำปะหลังของประเทศไทย ในช่วงปี 2030-39 และ 2090-99 โดยคัดเลือกชุดดินในกริดอากาศตัวแทนในพื้นที่วิกฤต จากเขตแหล่งผลิตที่ 1, 2, 3, 5 และ 6 นำมาเปรียบเทียบกับ ชุดดินตัวแทนอื่นในพื้นที่นอกเขตวิกฤตซึ่งอยู่ในกริดอากาศเดียวกัน และเปรียบเทียบกับพื้นที่นอกเขตวิกฤตในชุดดินเดียวกันแต่อยู่ในกริดอากาศอื่น พบว่าชุดดินมีอิทธิพลต่อผลผลิตมากกว่าสภาพอากาศ ในทุกเขตแหล่งผลิต โดยนำมาแสดงผลที่เห็นได้ชัด เฉพาะในเขตแหล่งผลิตที่ 1 (ภาพที่ 74 และ 75)



ภาพที่ 74. ค่าจำลองผลผลิตน้ำหนักหัวสด (ซ้าย) และ น้ำหนักส่วนรวมชีวภาพ (ขวา) ของมันสำปะหลัง ในเขตแหล่งผลิตที่ 1 ในปี 2030-39 เสน้นสีแดง ในเขตวิกฤต เสน้นสีเขียว จากพื้นที่ที่แตกต่างเฉพาะสภาพอากาศ เสน้นสีเขียว จากพื้นที่ที่แตกต่างเฉพาะดิน



ภาพที่ 75. ค่าจำลองผลผลิตน้ำหนักหัวสด (ซ้าย) และ น้ำหนักส่วนมวลรวมชีวภาพ (ขวา) ของมันสำปะหลังในเขต
แหล่งผลิตที่ 1 ในปี 2090-99 เส้นสีแดง ในเขตวิกฤต เส้นสีเขียว จากพื้นที่ที่แตกต่างเฉพาะสภาพ
อากาศ เส้นสีเขียว จากพื้นที่ที่แตกต่างเฉพาะดิน

ในเขตแหล่งผลิตที่ 1 เมื่อจำลองการปลูกมันสำปะหลังในกริดอากาศเดียวกัน (2958) แต่อยู่คุณลักษณะดินพื้นที่ในเขตวิกฤตในชุดดินเชียงคาน (Ch) ให้ผลผลิตหัวสดต่ำกว่า ผลผลิตหัวสดจากชุดดินปากช่อง (Pc) ในพื้นที่นอกเขตวิกฤตที่ไม่ได้รับผลกระทบ ร้อยละ 72.11 และ 73.49 ในช่วงปี 2030-39 และ 2090-99 ตามลำดับ ทำนองเดียวกันกับชุดดินตัวแทนในพื้นที่เขตวิกฤตที่ได้รับผลกระทบ ในเขตแหล่งผลิตที่ 2 3 5 และ 6 ซึ่งพบว่า ค่าความแตกต่างของผลผลิตหัวสดที่ลดลง เนื่องจากทุกเขตแหล่งผลิตที่นำมารวบรวมทั้ง 2.63 และ 2.08 ตันต่อไร่ ในช่วงปี 2030-39 และ 2090-99 ตามลำดับ หรือเฉลี่ยโดยรวมผลกระทบของชุดดิน ในช่วงปี 2030-99 ทำให้ผลผลิตหัวสดมันสำปะหลังลดลง 2.35 ตันต่อไร่ หรือคิดเป็นร้อยละ 43.50 (ตารางที่ 24) ในขณะที่ น้ำหนักส่วนมวลรวมชีวภาพให้ผลการศึกษาลดลงกับผลผลิตหัวสดเช่นกัน (ตารางที่ 25)

ตารางที่ 24. ผลกระทบของชุดดินต่อผลผลิตหัวสดของมันสำปะหลัง ในพื้นที่ตัวแทนของแต่ละเขตแหล่งผลิต
ที่ได้รับผลกระทบจากสภาพภูมิอากาศ ช่วงปี 2030-39 และ 2090-99

เขต แหล่ง ผลิต	ชุดดิน (ในเขตวิกฤต/นอกเขตวิกฤต)	ผลผลิต (ตัน/ไร่)		ผลกระทบ	
		ในเขตวิกฤต	นอกเขตวิกฤต	ตัน/ไร่	ร้อยละ
ปี 2030-39					
1	2958 Ch / Pc	2.00	7.17	5.17	72.11
2	2C17 Msk / Ckr	2.84	3.14	0.30	9.55
3	2EBE Msk / Pc	3.51	4.98	1.47	29.52
5	2D29 Wn / Pc	3.20	5.41	2.21	40.85
6	2A78 Ty / Pc	2.79	6.80	4.01	58.97
			เฉลี่ย	2.63	42.20

ตารางที่ 24. (ต่อ)

เขต แหล่ง ผลิต	ชุดดิน (ในเขตวิกฤต / นอกเขตวิกฤต)	ผลผลิต (ตัน/ไร่)		ผลกระทบ	
		ในเขตวิกฤต	นอกเขตวิกฤต	ตัน/ไร่	ร้อยละ
ปี 2090-99					
1	2958 Ch / Pc	1.49	5.62	4.13	73.49
2	2C17 Msk / Ckr	2.64	2.94	0.30	10.20
3	2EBE Msk / Pc	2.47	4.32	1.85	42.82
5	2D29 Wn / Pc	2.22	3.57	1.35	37.82
6	2A78 Ty / Pc	1.86	4.61	2.75	59.65
		เฉลี่ย		2.08	44.80
		เฉลี่ยโดยรวม		2.35	43.50

ตารางที่ 25. ผลกระทบของชุดดินต่อน้ำหนักส่วนรวมชีวภาพของมันสำปะหลัง ในพื้นที่ตัวแทนของแต่ละเขตแหล่งผลิต ที่ได้รับผลกระทบจากสภาวะโลกร้อน ช่วงปี 2030-39 และ 2090-99

เขต แหล่ง ผลิต	ชุดดิน (ในเขตวิกฤต / นอกเขตวิกฤต)	น้ำหนักส่วนรวมชีวภาพ (ตัน/ไร่)		ผลกระทบ	
		ในเขตวิกฤต	นอกเขตวิกฤต	ตัน/ไร่	ร้อยละ
ปี 2030-39					
1	2958 Ch / Pc	4.04	9.96	5.92	59.44
2	2C17 Msk / Ckr	5.33	5.72	0.39	6.82
3	2EBE Msk / Pc	5.75	7.35	1.60	21.77
5	2D29 Wn / Pc	5.46	8.02	2.56	31.92
6	2A78 Ty / Pc	4.98	9.87	4.89	49.54
		เฉลี่ย		3.07	33.90
ปี 2090-99					
1	2958 Ch / Pc	3.21	8.11	4.90	60.42
2	2C17 Msk / Ckr	5.01	5.43	0.42	7.73
3	2EBE Msk / Pc	4.02	6.46	2.44	37.77
5	2D29 Wn / Pc	3.89	5.96	2.07	34.73
6	2A78 Ty / Pc	3.67	7.20	3.53	49.03
		เฉลี่ย		2.67	37.94
		เฉลี่ยโดยรวม		2.87	35.92

เมื่อพิจารณาจากผลกระทบของสภาพอากาศ โดยการจำลองการปลูกมันสำปะหลังในชุดดินชนิดเดียวกัน คือชุดดินเชียงคาน (Ch) และอยู่คนละกริดอากาศ พื้นที่ตัวแทนในเขตวิกฤตที่ได้รับผลกระทบจากสภาพโลกร้อน ในกริดอากาศ 2598 ให้ผลผลิตหัวสอดต่ำกว่าผลผลิตจากกริดอากาศ 3103 คิดเป็นร้อยละ 46.38 และ 36.05 ในช่วงปี 2030-39 และ 2090-99 ตามลำดับ (ตารางที่ 26) ทำนองเดียวกันกับกริดอากาศตัวแทนในเขตแหล่งผลิตที่ 2 3 5 และ 6 ซึ่งพบว่า ความแตกต่างหรือผลกระทบของสภาพอากาศที่มีต่อผลผลิตหัวสอดมันสำปะหลัง ในช่วงปี 2030-39 และ 2090-99 ทำให้ผลผลิตลดลงเฉลี่ย 0.84 ตันต่อไร่ หรือคิดเป็นร้อยละ 21.55 และ 28.18 ตามลำดับ ซึ่งเมื่อเฉลี่ยโดยรวมผลกระทบของสภาพอากาศ ทำให้ผลผลิตหัวสอดมันสำปะหลังลดลงร้อยละ 24.87 (ตารางที่ 26) ในขณะที่ผลการศึกษาของน้ำหนักส่วนมวลรวมชีวภาพ สอดคล้องกับผลผลิตหัวสอดเช่นกัน โดยเมื่อเฉลี่ยรวมผลกระทบของสภาพอากาศ ทำให้น้ำหนักส่วนมวลรวมชีวภาพลดลงร้อยละ 20.09 (ตารางที่ 27)

ตารางที่ 26. ผลกระทบของสภาพอากาศต่อผลผลิตหัวสอดของมันสำปะหลัง ในพื้นที่ตัวแทนของแต่ละเขตแหล่งผลิต ที่ได้รับผลกระทบจากสภาพโลกร้อน ช่วงปี 2030-39 และ 2090-99

เขตแหล่งผลิต	สภาพภูมิอากาศ (ในเขตวิกฤต /นอกเขตวิกฤต)	ผลผลิต (ตัน/ไร่)		ผลกระทบ	
		ในเขตวิกฤต	นอกเขตวิกฤต	ตัน/ไร่	ร้อยละ
ปี 2030-39					
1	Ch 2958 / 3103	2.00	3.73	1.73	46.38
2	Msk 2C17 / 2C1A	2.84	3.02	0.18	5.96
3	Msk 2EBE / 2FE3	3.51	4.35	0.84	19.31
5	Wn 2D29 / 2508	3.20	4.40	1.20	27.27
6	Ty 2A78 / 2ADD	2.79	3.06	0.27	8.82
		เฉลี่ย		0.84	21.55
ปี 2090-99					
1	Ch 2958 / 3103	1.49	2.33	0.84	36.05
2	Msk 2C17 / 2C1A	2.64	2.84	0.20	7.04
3	Msk 2EBE / 2FE3	2.47	3.76	1.29	34.31
5	Wn 2D29 / 2508	2.22	3.19	0.97	30.41
6	Ty 2A78 / 2ADD	1.86	2.78	0.92	33.09
		เฉลี่ย		0.84	28.18
		เฉลี่ยโดยรวม		0.84	24.87

ตารางที่ 27. ผลกระทบของสภาพอากาศต่อน้ำหนักสدمมวลรวมชีวภาพของมันสำปะหลัง ในพื้นที่ตัวแทนของแต่ละเขตแหล่งผลิต ที่ได้รับผลกระทบจากสภาพโลกร้อน ช่วงปี 2030-39 และ 2090-99

เขตแหล่ง ผลิต	สภาพภูมิอากาศ (ในเขตวิกฤต / นอกเขตวิกฤต)	น้ำหนักสdmมวลรวมชีวภาพ (ตัน/ไร่)		ผลกระทบ	
		ในเขตวิกฤต	นอกเขตวิกฤต	ตัน/ไร่	ร้อยละ
ปี 2030-39					
1	Ch 2958 / 3103	4.04	6.02	1.98	32.89
2	Msk 2C17 / 2C1A	5.33	5.53	0.20	3.62
3	Msk 2EBE / 2FE3	5.75	7.12	1.37	19.24
5	Wn 2D29 / 2508	5.46	6.88	1.42	20.64
6	Ty 2A78 / 2ADD	4.98	5.43	0.45	8.29
		เฉลี่ย		1.08	16.94
ปี 2090-99					
1	Ch 2958 / 3103	3.21	4.17	0.96	23.02
2	Msk 2C17 / 2C1A	5.01	5.25	0.24	4.57
3	Msk 2EBE / 2FE3	4.02	6.54	2.52	38.53
5	Wn 2D29 / 2508	3.89	5.25	1.36	25.90
6	Ty 2A78 / 2ADD	3.67	4.84	1.17	24.17
		เฉลี่ย		1.25	23.24
		เฉลี่ยโดยรวม		1.17	20.09

จากการวิเคราะห์เบื้องต้น ทำให้ทราบว่าสาเหตุที่ผลผลิตของมันสำปะหลังในพื้นที่เขตวิกฤตลดลงในทุกเขตแหล่งผลิตนั้น เกิดจากอิทธิพลของชุดดินเป็นหลัก จึงได้มีการวิเคราะห์โดยการใช้ sensitivity analysis เพื่อศึกษาว่าคุณสมบัติของดินตัวใดที่มีผลกระทบต่อผลผลิต ได้ดำเนินการวิเคราะห์คุณสมบัติของดินทั้งด้านกายภาพ ได้แก่ ชีดจำกัดล่างของน้ำที่เป็นประโยชน์ (SLLL) ชีดจำกัดบนของน้ำที่เป็นประโยชน์ (SDUL) การอึมตัวด้วยน้ำ (SSAT) สภาพการนำน้ำ (SSKS) ความหนาแน่นรวม (SBDM) ปริมาณดินเหนียว (SLCL) และ ปริมาณดินทราย แป้ง (SLSI) ด้านเคมี ได้แก่ อินทรีย์คาร์บอน (SLOC) ด้านความลึกของระดับชั้นดิน ได้แก่ ค่าชั้นดินหลัก (SLB) และด้านปัจจัยการเจริญของราก ได้แก่ สัมประสิทธิ์การเจริญของราก (SRGF) โดยการนำค่าคุณสมบัติต่าง ๆ ของชุดดินในพื้นที่นอกเขตวิกฤต จากไฟล์ SOIL.SOL มาเปลี่ยนในค่าคุณสมบัติของชุดดินในพื้นที่เขตวิกฤต และทำการจำลองการเจริญเติบโตของมันสำปะหลังโดยใช้ข้อมูลอากาศจากกริดเดียวกัน ใช้พันธุ์เกษตรศาสตร์ 50 และปลูกในวันที่ 15 พฤษภาคม

ผลการศึกษา พบว่า ค่าคุณสมบัติทางกายภาพ เป็นคุณสมบัติของดินที่เป็นสาเหตุหลักของการลดลงของผลผลิตหัวสدمมันสำปะหลัง โดยก่อให้เกิดผลกระทบต่อการลดลงของผลผลิต เฉลี่ยจากทุกเขตแหล่งผลิต ร้อยละ 78.01 ในปี 2030 และร้อยละ 68.09 ในปี 2090-99 นอกจากนี้ยังมีปัจจัยจากปฏิสัมพันธ์ของคุณสมบัติด้านกายภาพ ความลึกของระดับชั้นดิน และปัจจัยการเจริญของราก เป็นสาเหตุรองลงมาอีกด้วย (ตารางที่ 28 และ 29 และ ภาพที่ 76 และ 77) โดยในปี 2030 เท็นผลกระทบเด่นชัดของปัจจัยทางกายภาพของดินต่อผลผลิตหัวสدم ในเขตแหล่งผลิตที่ 1 ถึงร้อยละ 154.5 และในเขตแหล่งผลิตที่ 6 ร้อยละ 112.9 ในขณะที่ น้ำหนักสdmมวลรวมชีวภาพให้ผลการศึกษาลดคล่องกับผลผลิตหัวสدمเช่นกัน (ตารางที่ 28 และ 29)

ตารางที่ 28. ร้อยละของผลกระทบของชุดดินที่มีต่อน้ำหนักหัวสุดของมันสำะหลัง ในช่วงปี 2030-39 และ 2090-99

เขต แหล่ง ผลิต	ชุดดิน (ในเขตวิกฤต / นอกเขตวิกฤต)	ผลผลิต (ตัน/ไร่)				ผลกระทบ (ร้อยละ)			
		ใน เขต วิกฤต	นอก เขต วิกฤต	กายภาพ	เคมี	ความลึก ของระดับ ชั้นดิน	ปัจจัยการ เติบโต ของราก	(3 + 4)	(1 + 3 + 4)
ปี 2030-39									
1	2958 Ch / Pc	2.00	7.17	-154.50	0.00	-14.50	5.50	-16.00	-254.00
2	2C17 Msk / Ckr	2.84	3.14	-6.34	0.00	-0.70	6.34	2.11	-10.56
3	2EBE Msk / Pc	3.51	4.98	-57.26	0.00	-2.56	5.70	1.71	-30.77
5	2D29 Wn / Pc	3.20	5.41	-59.06	0.00	-31.25	-6.88	-2.19	-57.50
6	2A78 Ty / Pc	2.79	6.80	-112.90	0.00	0.00	0.00	3.94	-147.31
		เฉลี่ย		-78.01	0	-9.804	2.1322	-2.085	-100
ปี 2090-99									
1	2958 Ch / Pc	1.49	5.62	-34.23	- 22.15	-44.30	-21.48	-51.01	-67.79
2	2C17 Msk / Ckr	2.64	2.94	-7.58	0.00	-7.95	-4.17	-6.44	-9.09
3	2EBE Msk / Pc	2.47	4.32	-92.31	0.00	-11.74	3.64	-1.62	-64.78
5	2D29 Wn / Pc	2.22	3.57	-59.01	0.00	-22.97	-2.25	-7.21	-52.70
6	2A78 Ty / Pc	1.86	4.61	-147.31	0.00	-3.76	2.15	1.08	-139.78
		เฉลี่ย		-68.09	-4.43	-18.15	-4.42	-13.04	-66.83
		รวม		-73.05	-2.21	-13.97	-1.14	-7.56	-83.43

หมายเหตุ: ผลกระทบเป็นลบหมายถึงทำให้ผลผลิตเพิ่มขึ้น และผลกระทบเป็นบวกหมายถึงทำให้ผลผลิตลดลง

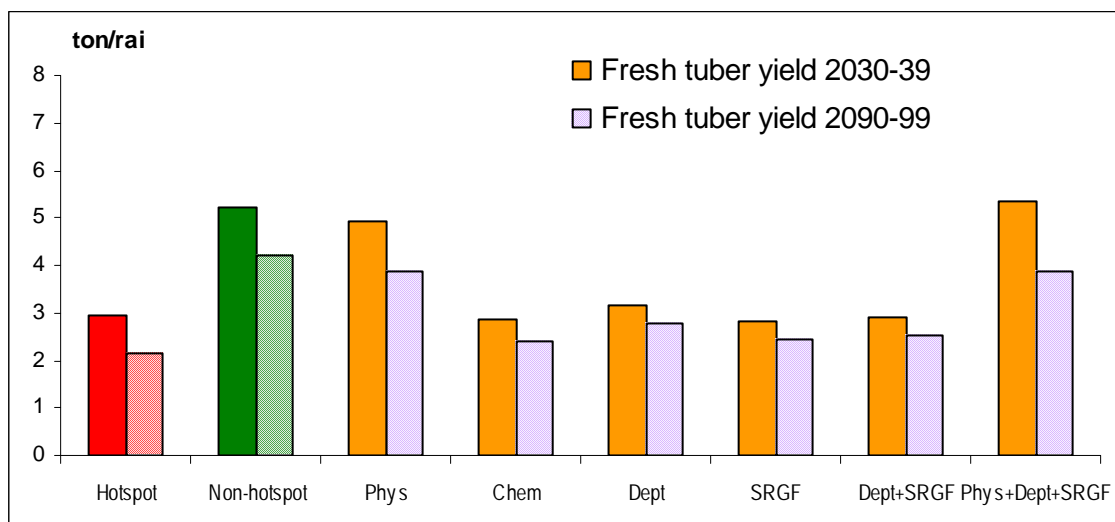
ตารางที่ 29. ร้อยละของผลกระทบของชุดดินที่มีต่อน้ำหนักส่วนรวมชีวภาพของมันสำะหลัง ในช่วงปี 2030-39 และ 2090-99

เขต แหล่ง ผลิต	ชุดดิน (ในเขตวิกฤต / นอกเขตวิกฤต)	น้ำหนักส่วนรวม ชีวภาพ (ตัน/ไร่)				ผลกระทบ (ร้อยละ)			
		ในเขต วิกฤต	นอกเขต วิกฤต	กายภาพ	เคมี	ความลึก ของระดับ ชั้นดิน	ปัจจัยการ เติบโต ของราก	(3 + 4)	(1 + 3 + 4)
ปี 2030-39									
1	2958 Ch / Pc	4.04	9.96	-91.83	0.00	-9.90	1.49	-9.90	-149.75
2	2C17 Msk / Ckr	5.33	5.72	-5.07	0.00	-1.50	0.38	-1.50	-7.32
3	2EBE Msk / Pc	5.75	7.35	-39.65	0.00	-0.52	-6.26	0.87	-22.96
5	2D29 Wn / Pc	5.46	8.02	-40.66	0.00	-24.91	-0.55	-3.85	-38.83
6	2A78 Ty / Pc	4.98	9.87	-74.50	0.00	-2.01	-5.02	3.41	-96.79
		เฉลี่ย		-50.34	0.00	-7.77	-1.99	-2.19	-63.13

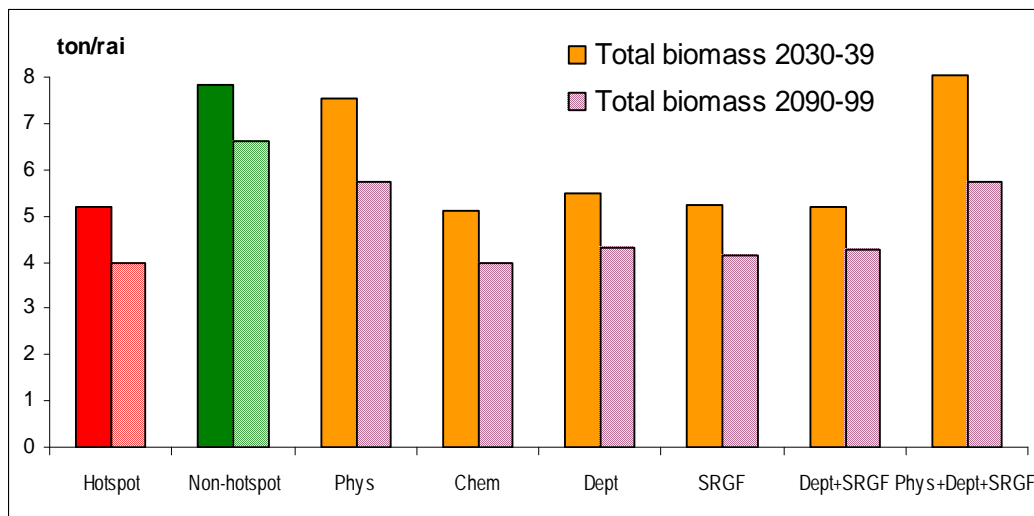
ตารางที่ 29. (ต่อ)

เขต แหล่ง ผลิต	ชุดดิน (ในเขตวิกฤต / นอกเขตวิกฤต)	น้ำหนักสดมวลรวม ชีวภาพ (ตัน/ไร่)				ผลกระทบ (ร้อยละ)			
		ในเขต วิกฤต	นอกเขต วิกฤต	กายภาพ (1)	เคมี (2)	ความลึก ของระดับ ชั้นดิน	ปัจจัยการ เติบโต ของราก	(3 + 4)	(1 + 3 + 4)
						(3)	(4)		
ปี 2090-99									
1	2958 Ch / Pc	3.21	8.11	-10.28	-5.92	-22.12	-11.53	-24.61	-29.60
2	2C17 Msk / Ckr	5.01	5.43	-4.39	0.00	-2.99	2.00	-2.40	-7.78
3	2EBE Msk / Pc	4.02	6.46	-83.33	0.00	-10.45	-9.70	-8.96	-53.23
5	2D29 Wn / Pc	3.89	5.96	-47.04	0.00	-16.71	-6.43	-5.66	-44.22
6	2A78 Ty / Pc	3.67	7.20	-83.92	0.00	2.18	-1.91	-2.45	-100.54
		เฉลี่ย		-45.79	-1.18	-10.02	-5.51	-8.81	-47.07
		เฉลี่ยรวม		-48.07	-0.59	-8.89	-3.75	-5.50	-55.10

หมายเหตุ: ผลกระทบเป็นผลหมายถึงทำให้ผลผลิตเพิ่มขึ้น และผลกระทบเป็นบวกหมายถึงทำให้ผลผลิตลดลง



ภาพที่ 76. ค่าจำลองผลผลิตน้ำหนักหัวสด (ตัน/ไร่) ของมันสำปะหลัง เฉลี่ยจาก 5 เขตแหล่งผลิต เมื่อเปลี่ยน
คุณสมบัติต่าง ๆ ของดิน ในปี 2030-39 และ 3090-99



ภาพที่ 77. ค่าจำลองน้ำหนักสัด侔รวมชีวภาพ (ตัน/ไร่) ของมันสำปะหลัง เฉลี่ยจาก 5 เขตแหล่งผลิต เมื่อเปลี่ยนคุณสมบัติต่าง ๆ ของดิน ในปี 2030-39 และ 3090-99

นอกจากอิทธิพลของชุดดินอันเป็นสาเหตุที่ทำให้ผลผลิตของมันสำปะหลังในเขตวิกฤตลดลงแล้ว ปัจจัยจากสภาพอากาศที่แตกต่างกัน ก็มีผลต่อผลผลิตเช่นกัน (ตารางที่ 26) จึงได้ทำการวิเคราะห์โดยใช้ sensitivity analysis โดยการนำองค์ประกอบที่เป็นปัจจัยของสภาพอากาศ (ไนไฟล์ .WTH) จากกริดอากาศของพื้นที่นอกเขตวิกฤตที่ไม่ได้รับผลกระทบ มาแทนค่าในกริดอากาศของพื้นที่ในเขตวิกฤตที่ได้รับผลกระทบ ได้แก่ พลังงานแสงอาทิตย์ (SRAD) อุณหภูมิสูงสุดและต่ำสุด (TMAX and TMIN) และปริมาณน้ำฝน (RAIN) โดยแทนค่าที่ละชุดและจำลองสถานการณ์การผลิต เพื่อดูว่าปัจจัยใดจะมีผลกระทบต่อผลผลิตมากกว่ากัน

ผลการศึกษาพบว่า ปริมาณน้ำฝน มีผลกระทบต่อผลผลิตหัวสอดของมันสำปะหลังมากกว่าองค์ประกอบอื่นของสภาพอากาศ โดยเมื่อเฉลี่ยจากทุกเขตแหล่งผลิต มีผลกระทบร้อยละ 26.50 ในปี 2030-39 และร้อยละ 25.80 ในปี 2090-99 ในขณะที่มีผลกระทบต่อน้ำหนักสัด侔รวมชีวภาพ ร้อยละ 17.45 ในปี 2030-39 และในปี 2090-99 อุณหภูมิกลับมีผลกระทบต่อน้ำหนักสัด侔รวมชีวภาพ ร้อยละ 20.21 มากกว่าผลกระทบจากปริมาณน้ำฝนเล็กน้อย คือร้อยละ 17.59 (ตารางที่ 30-31 และ ภาพที่ 78-79)

ตารางที่ 30. ร้อยละของผลกระทบจากสภาพอากาศ ที่มีต่อน้ำหนักหัวสอดของมันสำปะหลัง ในพื้นที่ตัวแทน ของแต่ละเขตแหล่งผลิต ในช่วงปี 2030-39 และ 2090-99

เขตแหล่งผลิต	กริดอากาศ (ในเขตวิกฤต / นอกเขตวิกฤต)	ผลผลิต (ตัน/ไร่)		ผลกระทบ (ร้อยละ)		
		ในเขตวิกฤต	นอกเขตวิกฤต	พลังงานแสงอาทิตย์	อุณหภูมิ	ปริมาณน้ำฝน
ปี 2030-39						
1	Ch 2958 / 3103	2.00	3.73	-20.00	0.00	-44.50
2	Msk 2C17 / 2C1A	2.84	3.02	-2.82	-1.41	-45.77
3	Msk 2EBE / 2FE3	3.51	4.35	-1.99	-11.40	-19.09
5	Wn 2D29 / 2508	3.20	4.40	-3.44	-13.75	-27.81
6	Ty 2A78 / 2ADD	2.79	3.06	-6.09	-40.14	4.66
			เฉลี่ย	-6.87	-13.34	-26.50

ตารางที่ 30. (ต่อ)

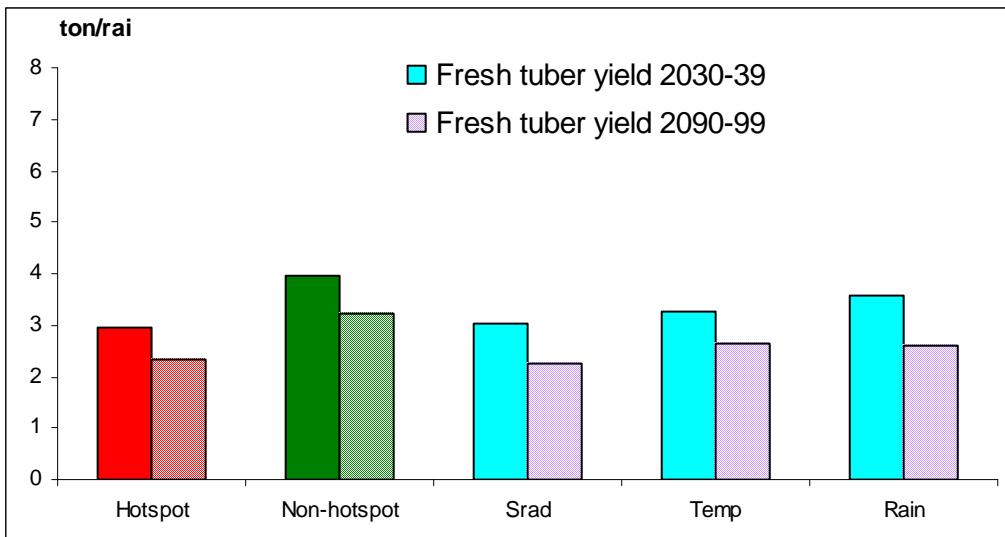
เขต แหล่ง ผลิต	กริดอากาศ (ในเขตวิกฤต / นอกเขตวิกฤต)	ผลผลิต (ตัน/วี่) ในเขต วิกฤต		ผลกระทบ (ร้อยละ) พลังงาน แสงอาทิตย์			ปริมาณ น้ำฝน
		วิกฤต	นอกเขต วิกฤต	อุณหภูมิ			
ปี 2090-99							
1	Ch 2958 / 3103	1.49	2.33	-33.56	18.79	-84.56	
2	Msk 2C17 / 2C1A	2.64	2.84	-1.14	4.17	-1.89	
3	Msk 2EBE / 2FE3	2.47	3.76	-8.10	-28.34	-28.74	
5	Wn 2D29 / 2508	2.22	3.19	6.31	-41.44	-20.27	
6	Ty 2A78 / 2ADD	1.86	2.78	-2.69	-70.43	6.45	
		เฉลี่ย		-7.83	-23.45	-25.80	
		เฉลี่ยรวม		-7.35	-18.40	-26.15	

หมายเหตุ: ผลกระทบเป็นลบหมายถึงทำให้ผลผลิตเพิ่มขึ้น และ ผลกระทบเป็นบวกหมายถึงทำให้ผลผลิตลดลง

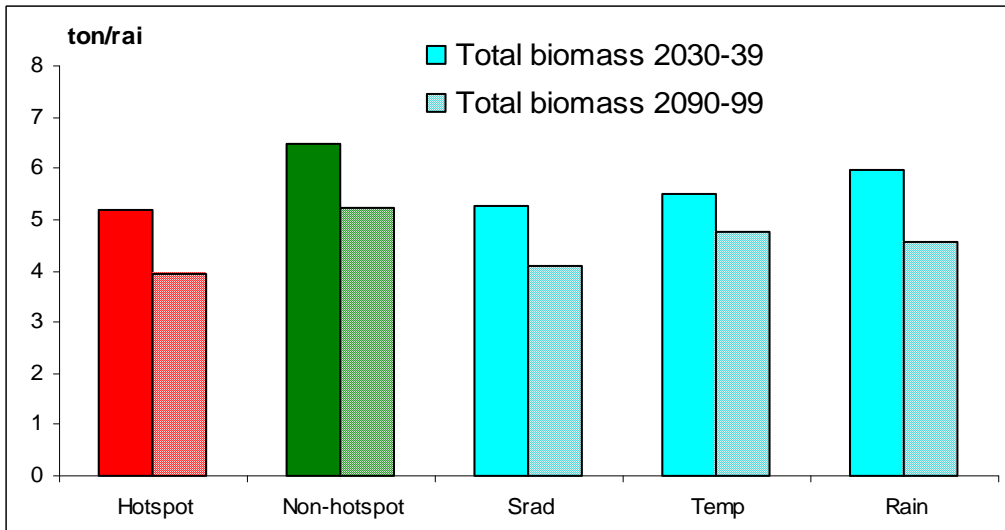
ตารางที่ 31. ร้อยละของผลกระทบจากสภาพอากาศ ที่มีต่อน้ำหนักส่วนรวมชีวภาพของสำมะหลัง ในพื้นที่ตัวแทนของแต่ละเขตแหล่งผลิต ในช่วงปี 2030-39 และ 2090-99

เขต แหล่ง ผลิต	กริดอากาศ (ในเขตวิกฤต / นอกเขตวิกฤต)	น้ำหนักส่วนรวม ชีวภาพ (ตัน/วี่)		ผลกระทบ (ร้อยละ) พลังงาน แสงอาทิตย์			ปริมาณ น้ำฝน
		ในเขต วิกฤต	นอกเขต วิกฤต	อุณหภูมิ			
ปี 2030-39							
1	2958 / 3103	4.04	6.02	-16.09	-1.24	-34.16	
2	2C17 / 2C1A	5.33	5.53	-0.94	1.31	-20.26	
3	2EBE / 2FE3	5.75	7.12	2.61	-8.52	-14.43	
5	2D29 / 2508	5.46	6.88	0.00	-3.48	-21.79	
6	2A78 / 2ADD	4.98	5.43	-3.61	-25.30	3.41	
		เฉลี่ย		-3.61	-7.45	-17.45	
ปี 2090-99							
1	2958 / 3103	3.21	4.17	-18.38	11.21	-56.70	
2	2C17 / 2C1A	5.01	5.25	-0.80	-4.59	11.78	
3	2EBE / 2FE3	4.02	6.54	-4.23	-34.33	-26.12	
5	2D29 / 2508	3.89	5.25	6.43	-26.22	-17.74	
6	2A78 / 2ADD	3.67	4.84	-4.90	-47.14	0.82	
		เฉลี่ย		-4.38	-20.21	-17.59	
		เฉลี่ยรวม		-3.99	-13.83	-17.52	

หมายเหตุ: ผลกระทบเป็นลบหมายถึงทำให้ผลผลิตเพิ่มขึ้น และ ผลกระทบเป็นบวกหมายถึงทำให้ผลผลิตลดลง

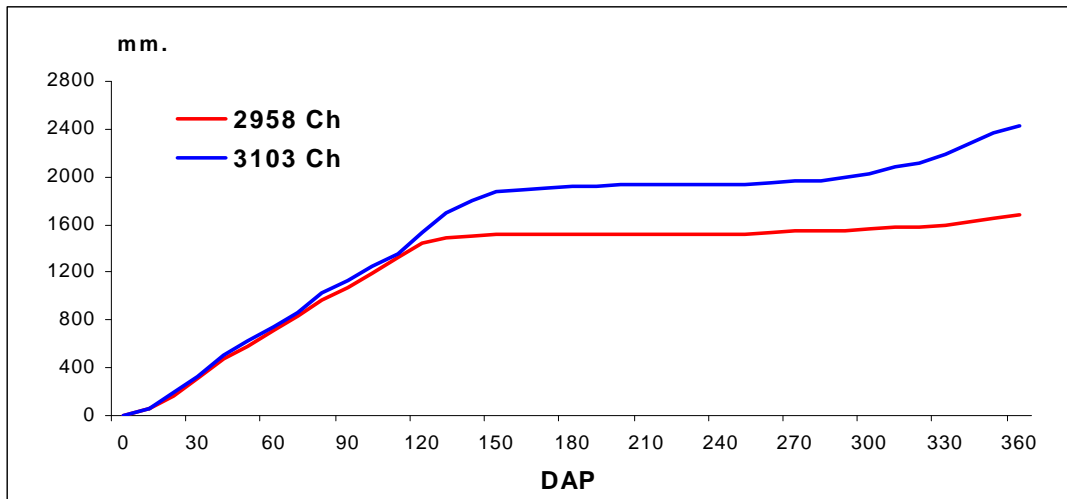


ภาพที่ 78. ค่าจำลองผลผลิตน้ำหนักหัวสด (ตัน/ไร่) ของมันสำปะหลัง เฉลี่ยจาก 5 เขตแหล่งผลิต เมื่อเปลี่ยนปัจจัยของสภาพอากาศ ในปี 2030-39 และ 3090-99



ภาพที่ 79. ค่าจำลองน้ำหนักส่วนรวมชีวภาพ (ตัน/ไร่) ของมันสำปะหลัง เฉลี่ยจาก 5 เขตแหล่งผลิต เมื่อเปลี่ยนปัจจัยของสภาพอากาศ ในปี 2030-39 และ 3090-99

อย่างไรก็ตาม หากวิเคราะห์ถึงข้อมูลในแต่ละเขตแหล่งผลิต ด้วยอย่างเช่น ในเขตแหล่งผลิตที่ 1 ในปี 2030-39 กริดอากาศ 2958 ซึ่งเป็นพื้นที่ในเขตวิกฤต ในเขตแหล่งผลิตที่ 1 พบร่วมกับผลผลิตหัวสดของมันสำปะหลัง ได้รับผลกระทบจากปริมาณน้ำฝน ร้อยละ 44.50 (ตารางที่ 30) ซึ่งเมื่อคูณจากข้อมูลปริมาณน้ำฝนลดลงดูไป ของกริดอากาศ 2958 เท่ากับ 1,686 มิลลิเมตร น้อยกว่าปริมาณน้ำฝนในกริดอากาศ 3103 ซึ่งเป็นพื้นที่นอกเขต วิกฤต เทากับ 2,420 มิลลิเมตร (ภาพที่ 80)



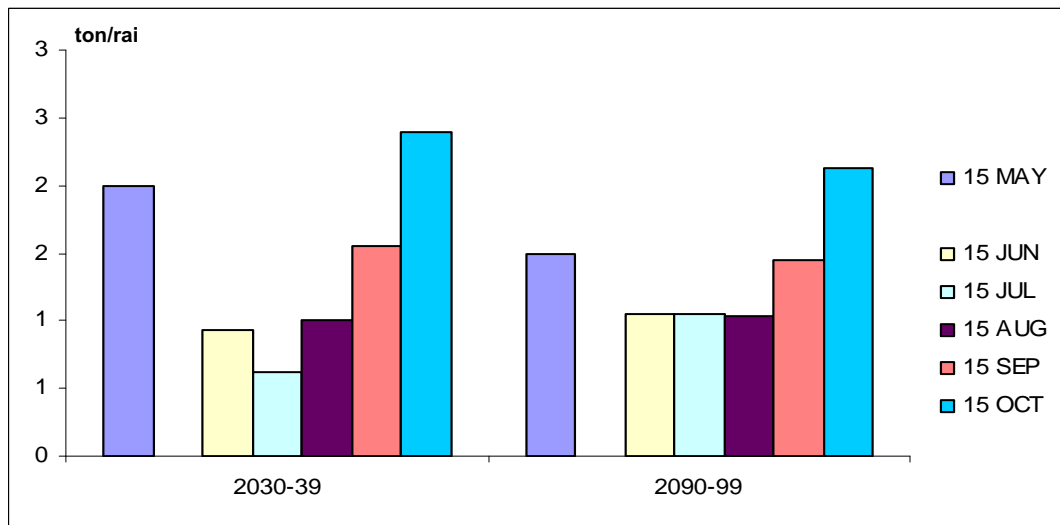
ภาพที่ 80. ปริมาณน้ำฝนสะสมตลอดฤดูปลูกของมันสำปะหลัง ในพื้นที่เขตวิกฤตของกริดอากาศ 2958 และพื้นที่นอกวิกฤตของกริดอากาศ 3103 ในช่วงปี 2030-39

สำหรับข้อมูลในเขตแหล่งผลิตที่ 6 พบว่า อุณหภูมิ มีผลกระทบต่อผลผลิตหัวสอดของมันสำปะหลังมากกว่าพลังงานแสงอาทิตย์ และปริมาณน้ำฝน โดยในปี 2030-39 มีผลกระทบจากอุณหภูมิร้อยละ 40.14 ในขณะที่ ผลกระทบจากพลังงานแสงอาทิตย์ และปริมาณน้ำฝน มีร้อยละ 6.09 และ 4.66 ตามลำดับ และในปี 2090-99 มีผลกระทบจากอุณหภูมิร้อยละ 70.43 ในขณะที่ ผลกระทบจากพลังงานแสงอาทิตย์ และปริมาณน้ำฝน มีร้อยละ 2.69 และ 6.45 ตามลำดับ (ตารางที่ 30) ในขณะที่ผลกระทบศึกษาของน้ำหนักส่วนรวมชีวภาพ เป็นไปในทำนองเดียวกับผลผลิตหัวสอดเช่นกัน (ตารางที่ 31) ซึ่งจะเห็นได้ว่า ผลกระทบจากสภาพอากาศร้อนต่อการผลิตมันสำปะหลัง ในการณ์ที่เกิดจากสภาพอากาศ แม้ว่าจะเกิดจากปัจจัยของปริมาณน้ำฝนเป็นส่วนใหญ่ แต่ก็มีบางพื้นที่ที่เป็นผลกระทบจากอุณหภูมิ เช่นในเขตแหล่งผลิตที่ 6 บริเวณภาคเหนือตอนล่าง ดังนั้นแนวทางในการปรับตัวเพื่อรับกับผลกระทบดังกล่าว คงต้องแตกต่างกันไปในแต่ละพื้นที่

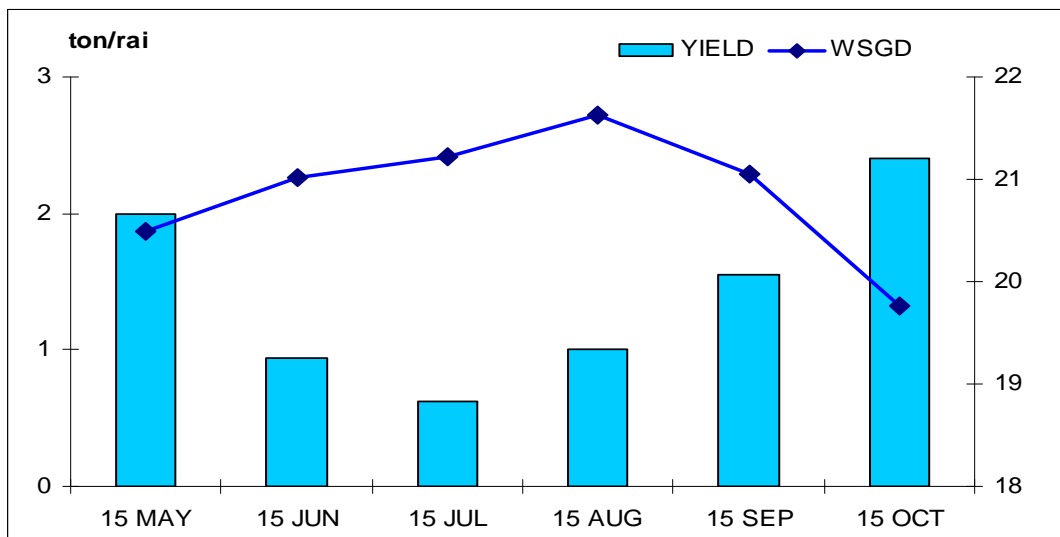
การปรับตัว (Adaptation)

จากพื้นที่วิกฤตของมันสำปะหลัง ที่มีโอกาสเกิดขึ้นสูง 4.27 ล้านไร่ ซึ่งจะเกิดขึ้นในช่วงปี 2030-39 จะไปถึงช่วงปี 2090-99 นั้น ได้ทำการวิเคราะห์แล้ว พบร่วมส่วนใหญ่จะเกิดจากสมบัติของดินในด้านกายภาพ ดังนั้น แนวทางในการปรับตัวในการผลิตมันสำปะหลัง จะต้องมีการปรับสภาพการไถเตรียมดินปลูกให้มีความลึกพอที่จะสามารถระบายน้ำลงสู่ดินชั้นล่างได้ดีขึ้น หรืออาจมีการใส่กองทรายไว้ต่ำเพื่อปรับปรุงให้ดินมีคุณสมบัติในการอุ่มน้ำเพิ่มมากขึ้น อันจะเป็นประโยชน์ในการที่รากพืชจะเจริญลงไปหาความชื้นในดินได้ดียิ่งขึ้น นอกจากนี้ การปรับเปลี่ยนฤดูกาลในการปลูก เช่นการเปลี่ยนมาปลูกในช่วงปลายฝน น่าจะเป็นการปรับช่วงเวลาในการใช้ความชื้น หรือน้ำในดินของพืชได้ทางหนึ่ง เพราะเมื่อปรับปรุงสมบัติด้านกายภาพของดินให้สามารถกักเก็บความชื้นได้ดีขึ้นแล้ว ค่าสัมประสิทธิ์การเจริญเติบโตของราก (SRGF) ที่มีส่วนสัมพันธ์กับระดับชั้นความลึกของชุดดิน ก็เป็นปัจจัยหนึ่งที่จะช่วยยกระดับผลผลิตขึ้นมาได้ ดังนั้นหากมีการปลูกมันสำปะหลังในช่วงปลายฤดูฝน ที่ยังคงมีความชื้นในดินเพียงพอที่จะทำให้เติบโตผ่านฤดูแล้งจนได้อายุประมาณ 6 เดือน ซึ่งจะมีการสร้างหัว และมีปริมาณรากในดินมากพอที่จะใช้น้ำ หรือความชื้นในดินได้อย่างมีประสิทธิภาพ เมื่อเข้าสู่ฤดูฝนปีถัดไป

ได้มีการศึกษาการปรับเปลี่ยนช่วงเวลาปลูก จากเดิมเป็นการปลูกในช่วงต้นฤดูฝน วันที่ 15 พฤษภาคม มาเป็นปลูกการปลูกห่างกันทุก ๆ 1 เดือน จนถึงช่วงปลายฤดูฝน ในเดือนตุลาคม พบว่า ผลผลิตหัวสอดที่ได้ในการปลูก วันที่ 15 ตุลาคม จะสูงกว่า วันปลูกในช่วงต้นฝน โดยเฉพาะในเขตแหล่งผลิตที่ 1 (ภาคที่ 81) และหากนำค่าสภาวะเครียดของน้ำสะสมตลอดฤดูปลูก (Water stress of growth duration : WSGD) ซึ่งเป็น output จากการจำลอง มาพิจารณาดูความสัมพันธ์กับผลผลิตหัวสอดของมันสำปะหลัง ก็จะพบว่า ค่าสภาวะเครียดของน้ำสะสมในวันปลูกที่ 15 ตุลาคม มีค่าต่ำกว่าวันปลูกอื่น ๆ (ภาคที่ 82)



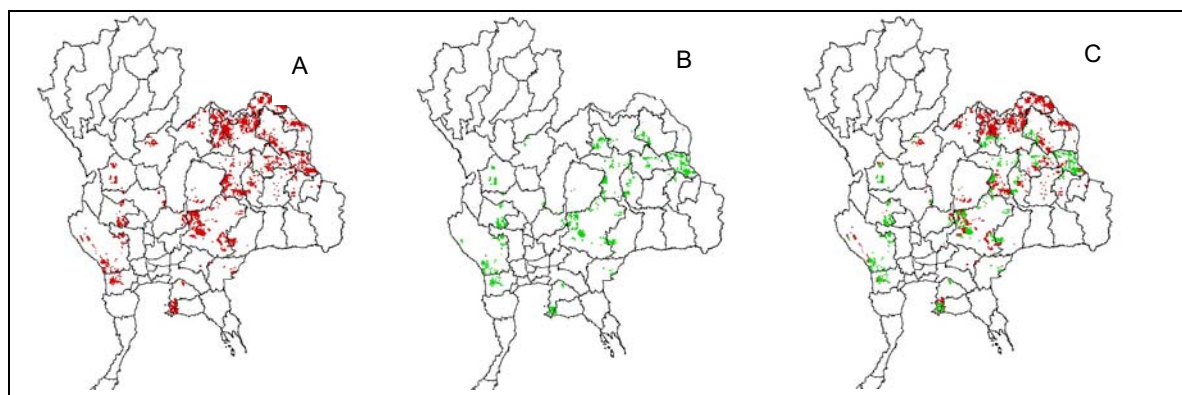
ภาพที่ 81. ผลผลิตหัวสอดของมันสำปะหลัง จากการจำลองวันปลูก 5 วันปลูก เปรียบเทียบกับวันปลูกเดิม (15 พ.ค.) โดยใช้พันธุ์เกษตรศาสตร์ 50 ปี 2030-39 และ 2090-99 ในเขตแหล่งผลิตที่ 1



ภาพที่ 82. การเปลี่ยนแปลงผลผลิตหัวสอดของมันสำปะหลัง จากการจำลองวันปลูก 6 วันปลูก เปรียบเทียบ กับสภาวะการเครียดของน้ำสะสมตลอดฤดูปลูก (WSGD) โดยใช้พันธุ์เกษตรศาสตร์ 50 ปี 2030-39 ในเขตแหล่งผลิตที่ 1

สำหรับการปรับตัว ในส่วนของสภาพอากาศ จะต้องมีการปรับปรุงพันธุ์ หรือหางพันธุ์ที่มีคุณลักษณะในการปรับตัวเพื่อลดผลกระทบต่อการเพิ่มขึ้นของอุณหภูมิ หรือเหมาะสมสำหรับการปลูกในช่วงฤดูฝน มาปลูกในเขตที่เป็นพื้นที่วิกฤต ในกรณีที่เกษตรกรไม่สามารถปรับเปลี่ยนฤดูปลูกได้ ในเบื้องต้นนี้ ได้ทำการศึกษาโดยการเปลี่ยนพันธุ์ปลูก มาเป็นพันธุ์แนะนำของกรมวิชาการเกษตร ได้แก่ พันธุ์ระยอง 5 ระยอง 72 ระยอง 7 ระยอง 9 และ CMR35-22-196 พบว่า พันธุ์ระยอง 9 และ พันธุ์ CMR35-22-196 ให้ผลผลิตหัวสดสูงกว่าพันธุ์เกษตรศาสตร์ 50 ในทุกเขตแหล่งผลิต ทั้ง 2 ช่วงปี คือ ปี 2030-39 และ 2090-99

เนื่องจากมันสำปะหลังและอ้อยเป็นพืชที่ใช้พื้นที่ปลูกร่วมกันได้ จึงได้ศึกษาถึงการปรับเปลี่ยนพืชที่ปลูก โดยได้ทำการซ้อนทับพื้นที่ปลูกอ้อยที่เป็นพื้นที่นอกเขตวิกฤต กับพื้นที่ปลูกมันสำปะหลัง ที่เป็นพื้นที่ในเขตวิกฤต พบว่า มีพื้นที่ในส่วนที่เป็นพื้นที่ในเขตวิกฤตของมันสำปะหลัง สามารถทดแทนได้โดยพื้นที่ในส่วนนอกเขตวิกฤต ของอ้อย ประมาณ 1.6 ล้านไร่ (ภาพที่ 83)



ภาพที่ 83. พื้นที่ในเขตวิกฤตของมันสำปะหลัง (A) เมื่อนำมาซ้อนทับกับพื้นที่นอกเขตวิกฤตของอ้อย (B) จะได้พื้นที่ที่สามารถปรับเปลี่ยนมาปลูกอ้อยได้ (C) เมื่อมันสำปะหลังได้รับผลกระทบจากสภาพโลกร้อน

สรุป

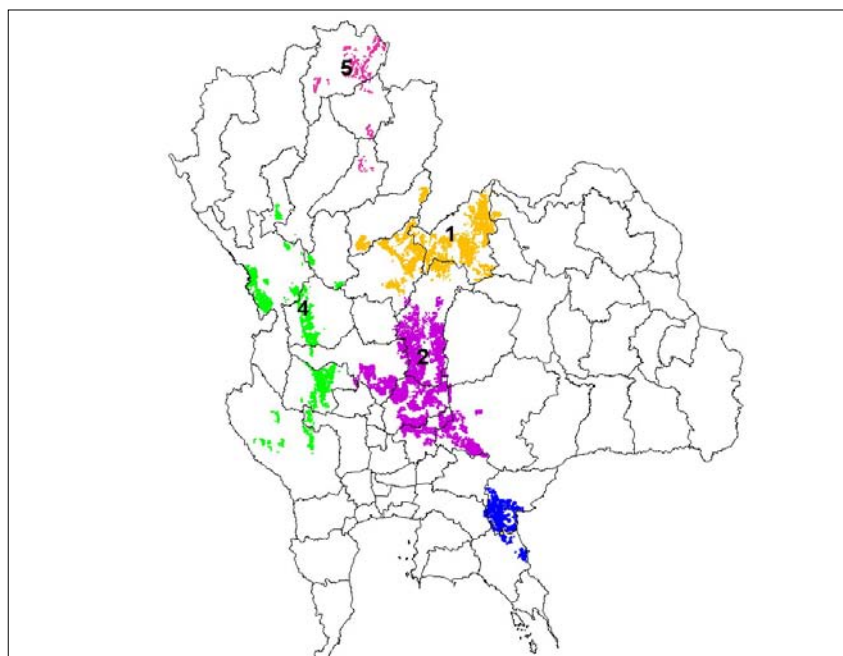
พื้นที่ปลูกมันสำปะหลังทั้งประเทศประมาณ 11.6 ล้านไร่ มีพื้นที่ปลูกที่เป็นพื้นที่วิกฤต (hotspots) ทั้งสิ้น 4.27 ล้านไร่ หรือคิดเป็นร้อยละ 36.8 ของพื้นที่ปลูกมันสำปะหลังทั้งประเทศ จากการวิเคราะห์พบว่า ชุดเดินที่พบในบริเวณที่เป็นพื้นที่ในเขตวิกฤต มีทั้งหมด 24 ชุดเดิน ที่พบมาก 5 ชุดเดินแรก ได้แก่ ชุดเดินนาวาริน จักราช โภน พิสัย เชียงคาน และท่าယ่าง โดยพื้นที่ในเขตวิกฤตทั้งหมดมีการกระจายอยู่ใน 5 เขตแหล่งผลิต และมีโอกาสเกิดขึ้นสูงใน 2 ช่วงปี คือปี 2030-39 และ 2090-99

พบว่าสภาพอากาศและดินมีปฏิกริยาร่วมที่รุนแรงในการกำหนดการเจริญเติบโตและผลผลิตของมันสำปะหลัง และเป็นสาเหตุหลักที่ทำให้ผลผลิตของมันสำปะหลังลดลง ปัจจัยด้านกายภาพของดิน รวมทั้งระดับชั้น ความลึกของดิน และปัจจัยการเติบโตของราก เป็นคุณสมบัติหลักของดินที่มีส่วนทำให้ผลผลิตหัวสด และนำหนักลดลงรวมชีวภาพของมันสำปะหลัง ลดลงในเกือบทุกเขตแหล่งผลิต

การปรับตัวในพื้นที่ปลูกมันสำปะหลัง สามารถกระทำได้โดยการปรับเปลี่ยนวันปลูกจากช่วงต้นฤดูฝน วันที่ 15 พฤษภาคม มาเป็นช่วงปลายฤดูฝน วันที่ 15 ตุลาคม ถ้าหากยังปลูกโดยใช้พันธุ์เกษตรศาสตร์ 50 หรือมีการปรับเปลี่ยนพันธุ์ใหม่ มาเป็นพันธุ์ระยอง 9 หรือ CMR35-22-196 นอกจากนี้ยังมีพื้นที่ในเขตวิกฤตของมันสำปะหลัง ประมาณ 1.6 ล้านไร่ ที่สามารถปรับเปลี่ยนมาปลูกอ้อยได้ โดยผลผลิตของอ้อยไม่ได้รับผลกระทบจากสภาพโลกร้อน

การปรับระบบการผลิตข้าวโพด

พื้นที่ปลูกข้าวโพดทั้งประเทศประมาณ 10.9 ล้านไร่ สามารถแบ่งเป็นเขตแหล่งผลิตข้าวโพดได้ 5 เขต (ภาพที่ 84) เมื่อจำลองสถานการณ์โดยใช้ข้อมูลอากาศของ ECHAM4-PRECIS ตั้งแต่ปี 1980-2099 พบว่า มีพื้นที่ปลูกข้าวโพดที่ผลผลิตลดลงมากกว่าร้อยละ 70 เมื่อเปรียบเทียบกับปี 1980-1989 หักสิ้น 0.37 ล้านไร่ หรือคิดเป็นร้อยละ 3.66 ของพื้นที่ปลูกข้าวโพดทั้งประเทศ ครอบคลุมพื้นที่ทั้ง 5 เขตแหล่งผลิต (ภาพที่ 85) และเกิดขึ้นทั้ง 3 ช่วงปี (ปี 1980-89 2030-39 และ 2090-99) พื้นที่ดังกล่าวมีค่า impact index สูงสุด และจัดเป็นพื้นที่วิกฤต ประเภทที่ 8 ชุดเดินในเขตวิกฤตนี้ มี 18 กลุ่มชุดเดิน ที่สำคัญได้แก่กลุ่ม ชุดเดินปากช่อง (ร้อยละ 21.24) ร้อยเอ็ด (ร้อยละ 17.91) ปราณบุรี (ร้อยละ 13.40) พื้นที่ลาดชัน (slope complex) (ร้อยละ 8.91) เชียงราย (ร้อยละ 8.16) บ้านหมู่ (ร้อยละ 7.35) มากเหล็ก(ร้อยละ 6.88) ลำนารายณ์ (ร้อยละ 6.66) นครปฐม (ร้อยละ 4.32) เพื่อให้ทราบถึงสาเหตุที่ทำให้ผลผลิตลดลงจำเป็นต้องหาตัวแทนของพื้นที่เพื่อใช้เคราะห์หาสาเหตุการลดลงของผลผลิต



ภาพที่ 84. แสดงเขตแหล่งผลิตข้าวโพดโดยแบ่งตามความหนาแน่นของพื้นที่ปลูก

พื้นที่ตัวแทนเขตวิกฤตระบบการผลิตข้าวโพด

เขตแหล่งผลิตที่ 1 อยู่ในเขตภาคเหนือตอนล่างและบางส่วนของภาคตะวันออกเฉียงเหนือตอนบน มีพื้นที่ปลูกข้าวโพดประมาณ 2.6 ล้านไร่ เป็นพื้นที่เขตวิกฤต ประมาณ 1.01 แสนไร่ หรือคิดเป็นร้อยละ 27.36 ของเขตวิกฤตทั้งหมด (ตารางที่ 32) กลุ่มชุดเดินที่พบที่สำคัญ ได้แก่ชุดเดินร้อยเอ็ด (ร้อยละ 41.43) ท่าตูม (ร้อยละ 36.63) ปราณบุรี (ร้อยละ 12.52) และเชียงราย (ร้อยละ 7.77)

เขตแหล่งผลิตที่ 2 อยู่ในภาคกลางตอนบนและภาคตะวันออกเฉียงเหนือตอนล่าง มีพื้นที่ปลูกข้าวโพดประมาณ 4.8 ล้านไร่ เป็นเขตวิกฤต ประมาณ 1.36 แสนไร่ หรือคิดเป็นร้อยละ 36.57 ของเขตวิกฤตทั้งหมด ชุด

ดินที่สำคัญ ได้แก่ ชุดดินปราานบุรี (ร้อยละ 23.41) บ้านหมี่ (ร้อยละ 19.63) มากเหล็ก (ร้อยละ 18.78) ลำนารายณ์ (ร้อยละ 18.19) เชียงราย (ร้อยละ 9.81)

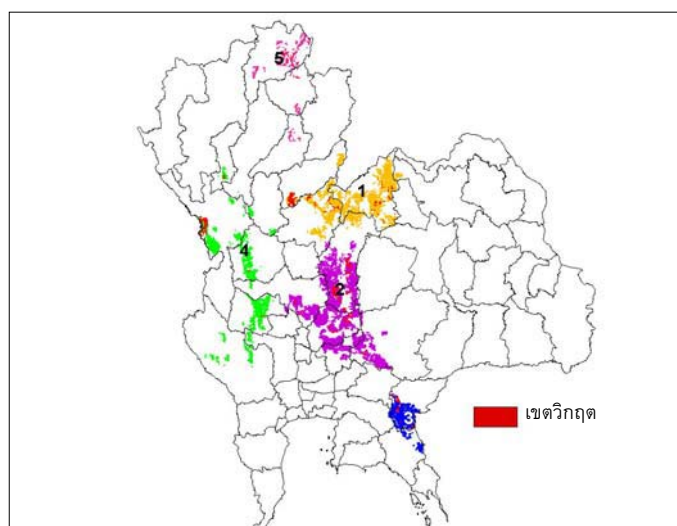
เขตแหล่งผลิตที่ 3 อยู่ในภาคตะวันออก มีพื้นที่ปลูกข้าวโพดประมาณ 1.1 ล้านไร่ เป็นเขตวิกฤต ประมาณ 2.85 หมื่นไร่ หรือคิดเป็นร้อยละ 7.65 ของ เขตวิกฤตทั้งหมด ชุดดินที่พบได้แก่ ชุดดินร้อยเอ็ด (ร้อยละ 67.41) นครปฐม (ร้อยละ 24.67) และ เชียงราย (ร้อยละ 7.90)

เขตแหล่งผลิตที่ 4 อยู่ในภาคเหนือตอนล่างและภาคกลาง มีพื้นที่ปลูกข้าวโพดประมาณ 2.0 ล้านไร่ พบร์ เขตวิกฤต ประมาณ 9.91 หมื่นไร่ หรือร้อยละ 26.61 ของ เขตวิกฤตทั้งหมด ชุดดินที่สำคัญคือ ชุดดินปากช่อง (ร้อยละ 79.64) ปราานบุรี (ร้อยละ 5.97) นครปฐม (ร้อยละ 5.63) ท่ายาง (ร้อยละ 5.36)

เขตแหล่งผลิตที่ 5 อยู่ในภาคตะวันออก มีพื้นที่ปลูกข้าวโพดประมาณ 0.4 ล้านไร่ พบร์ เขตวิกฤต ประมาณ 6.6 พันไร่ หรือคิดเป็นร้อยละ 1.78 ของเขตวิกฤตทั้งหมด ชุดดินที่พบ “ได้แก่ชุดดิน เชียงราย (ร้อยละ 89.55) ร้อยเอ็ด (ร้อยละ 9.71) และ ลำปาง (ร้อยละ 0.73)

ตารางที่ 32. พื้นที่เขตวิกฤตของข้าวโพดและสัดส่วนในแต่ละเขต

เขต แหล่ง ผลิต	เขตแหล่งผลิต	พื้นที่ปลูก (ล้านไร่)	ร้อยละ ของ ประเทศ	เขตวิกฤต (ล้านไร่)	ร้อยละของเขต วิกฤตทั้งหมด
1	เขตภาคเหนือตอนล่างและภาค ตะวันออกเฉียงเหนือตอนบน	2.6	24.24	0.101	27.36
2	เขตภาคกลางตอนบนและภาค ตะวันออกเฉียงเหนือตอนล่าง	4.8	44.03	0.136	36.57
3	เขตภาคตะวันออก	1.1	10.09	0.0285	7.65
4	เขตภาคเหนือตอนล่างและ ภาคกลางตอนบน	2.0	18.34	0.0991	26.61
5	เขตภาคเหนือตอนบน	0.4	3.67	0.0066	1.78



ภาพที่ 85. แสดงพื้นที่ที่เกิด เขตวิกฤต ในแต่ละเขตแหล่งผลิตข้าวโพด

การเลือกจุดเพื่อทำการวิเคราะห์หาสาเหตุที่ทำให้ผลผลิตลดลงและปรับตัว จำเป็นต้องเลือกจุดที่เป็นตัวแทนที่เหมาะสม แม้ค่าความแปรปรวนเชิงพื้นที่ของผลผลิตเฉลี่ยของข้าวโพดทั้งประเทศ ($\bar{\sigma}_t$) มีค่าสูงถึงร้อยละ 25.65 และค่าความแปรปรวนในแต่ละเขตแหล่งผลิตก็ยังสูง (เขตแหล่งผลิตที่ 1 มีค่าความแปรปรวนเฉลี่ยร้อยละ 18.1 เขตแหล่งผลิตที่ 2 ร้อยละ 20.0 เขตแหล่งผลิตที่ 3 ร้อยละ 18.9 เขตแหล่งผลิตที่ 4 ร้อยละ 20.2 และเขตแหล่งผลิตที่ 5 ร้อยละ 25.4) แต่สาเหตุของความแปรปรวนดังกล่าวเกิดจากความหลากหลายของดิน ซึ่งส่วนใหญ่เป็นชุดดินนา เช่น ชุดดินร้อยเอ็ด นครปฐม และเชียงราย และไม่ใช่ชุดดินตัวแทนของพื้นที่ปลูกข้าวโพดของประเทศไทย นอกจากนี้ยังไม่เหมาะสมสำหรับใช้ปลูกข้าวโพด เนื่องจากมีการระบายน้ำไม่ดี ดังนั้นจึงเลือกจุดเป็นตัวแทนเพื่อใช้ในการวิเคราะห์เพื่อหาสาเหตุการลดลงของผลผลิตใน เขตวิกฤตเพียงจุดเดียว จุดดังกล่าวอยู่ในเขตแหล่งผลิตที่ 4 ดินเป็นชุดดินปากช่อง ซึ่งเป็นชุดดินที่พบในเขตวิกฤตมากที่สุด รวมทั้งเป็นชุดดินที่เป็นแหล่งปลูกข้าวโพดที่สำคัญของประเทศไทยอีกด้วย

การวิเคราะห์หาสาเหตุของการลดลงของผลผลิตข้าวโพด

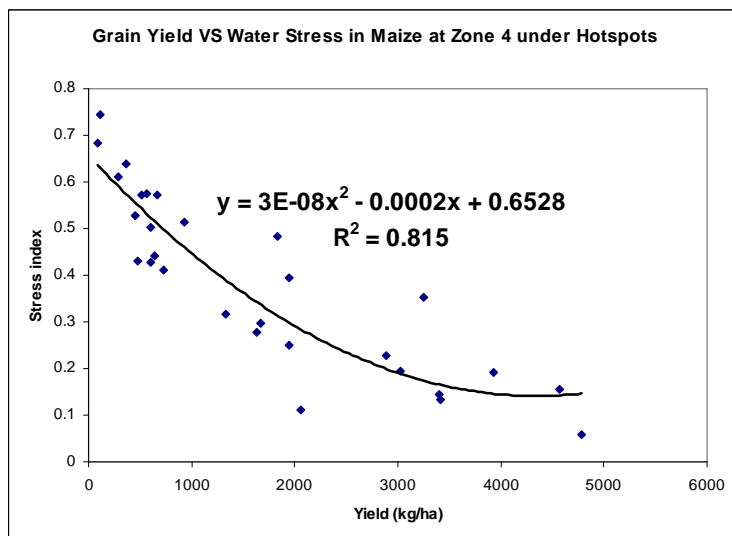
ลักษณะชุดดินที่เลือกใช้ในการวิเคราะห์เปรียบเทียบหาสาเหตุการเกิดเขตวิกฤตและการปรับตัวในพื้นที่ปลูกข้าวโพด

1.1 ชุดดินปากช่อง (Pc) เป็นชุดดินที่พบเขตวิกฤต จัดอยู่ในกลุ่มชุดดินที่ 29 ลักษณะและสมบัติดิน เป็นดินลึกมาก ดินบนเป็นดินเหนียวหรือดินเหนียวปนทรายแป้ง สีน้ำตาลปนแดงเข้ม ดินล่างเป็นดินเหนียว สีน้ำตาลปนแดงเข้ม สีแดง อาจพบก้อนเหล็กและแมงกานีสสะสมในดินล่าง ปฏิกิริยาดินเป็นกรดปานกลางถึงเป็นกลาง (pH 6.0-7.0) ในดินบน และเป็นกรดจัดมากถึงเป็น กรดจัด (pH 4.5-5.5) ในดินล่าง ชุดดินที่คล้ายคลึงกัน ชุดดินบ้านจ่อง ข้อจำกัดการใช้ประโยชน์ คือ ความอุดมสมบูรณ์ค่อนข้างต่ำ เสี่ยงต่อการขาดแคลนน้ำในฤดูเพาะปลูก และข้อเสนอแนะในการใช้ประโยชน์ ควรใส่ปุ๋ยครอและปุ๋ยหมัก เพื่อทำให้ดินมีสมบัติทางกายภาพที่ดีขึ้นและเพิ่มแร่ธาตุที่มีประโยชน์ให้แก่พืช

1.2 ชุดดินวังไห (Wi) เป็นชุดดินที่ไม่พบในเขตวิกฤต จัดอยู่ในกลุ่มชุดดินที่ 31 ลักษณะและสมบัติดิน เป็นดินลึกมาก ดินบนเป็นดินร่วนปนดินเหนียวหรือดินร่วนเหนียวปนทรายแป้ง สีน้ำตาลเข้มถึงสีน้ำตาลปนแดงเข้ม ปฏิกิริยาดินเป็นกรดปานกลางถึงเป็นกลาง (pH 6.0-7.0) ดินล่างตอนบนเป็นดินเหนียว สีแดงปนเหลืองถึงสีแดง ปฏิกิริยาดินเป็นกรดจัดมากถึงเป็นกรดจัด (pH 4.5-5.5) ดินล่างตอนล่างเป็นดินเหนียว สีแดง มีจุดประศีน้ำตาลปนเหลืองและสีน้ำตาล ปฏิกิริยาดินเป็นกรดจัดมากถึงเป็นกรดจัด (pH 4.5-5.5) ข้อจำกัดการใช้ประโยชน์ คือ สภาพพื้นที่ที่มีความลาดชันสูง ดินเกิดการชะล้างพังทลายได้ง่าย ข้อเสนอแนะในการใช้ประโยชน์ ควรปรับปรุงบำรุงดินด้วยอินทรีย์วัตถุและใช้ปุ๋ยอินทรีย์หรือปุ๋ยชีวภาพ ร่วมกับปุ๋ยเคมีเพื่อเพิ่มผลผลิตให้สูงขึ้น จัดระบบการปลูกพืชและระบบอนุรักษ์ดินและน้ำให้เหมาะสมกับสภาพความลาดชันของพื้นที่

สาเหตุที่ผลผลิตลดลงในเขตวิกฤต ในพื้นที่ปลูกข้าวโพดเขตแหล่งผลิตที่ 4

ผลการวิเคราะห์สาเหตุการเกิดเขตวิกฤต ในเขตแหล่งผลิตที่ 4 จังหวัดตาก ซึ่งเป็นพื้นที่ปลูกข้าวโพดแหล่งใหญ่ของประเทศไทย ในปี 2030-39 และ 2090-99 พบว่าชุดดินที่พบในเขตวิกฤต เป็นชุดดินปากซ่อง ซึ่งเป็นชุดดินหลักในการปลูกข้าวโพด สาเหตุที่ทำให้ผลผลิตข้าวโพดในชุดดินปากซ่องเบรี่ยบเทียบกับชุดดินวังไห ภายใต้สภาพภูมิอากาศเดียวกัน (กริดเดียวกัน, 2AD2) คือ สภาวะเครียดของน้ำ (water stress) โดยเฉพาะในระยะออกดอก ซึ่งเป็นช่วงวิกฤตของการสร้างผลผลิตข้าวโพด เมื่อได้รับผลกระทบจากภาวะเครียดของน้ำ ทำให้ผลผลิตลดลงมากกว่าร้อยละ 50 ผลผลิตเมล็ดเฉลี่ยของข้าวโพด แสดงความสัมพันธ์แบบ polynomial กับดัชนีความเครียดน้ำในทางลบ ในระดับที่สูง โดยมีค่า R^2 เท่ากับ 0.815** โดยผลผลิตเมล็ดเพิ่มขึ้น เมื่อค่าดัชนีความเครียดน้ำลดลง (ภาพที่ 86)



ภาพที่ 86. แสดงความสัมพันธ์ระหว่างผลผลิตเมล็ดข้าวโพดกับค่าดัชนีความเครียดน้ำในเขตวิกฤต

ในการวิเคราะห์สาเหตุในรายละเอียดของสาเหตุของภาวะเครียด ได้จำลองผลผลิตเมล็ดข้าวโพดพันธุ์สุวรรณ 1 ปลูกในวันที่ 15 พฤษภาคม อาศัยน้ำฝนในพื้นที่เขตแหล่งผลิตที่ 4 จังหวัดตาก โดยการจำลองใน 2 สถานการณ์ ดังนี้

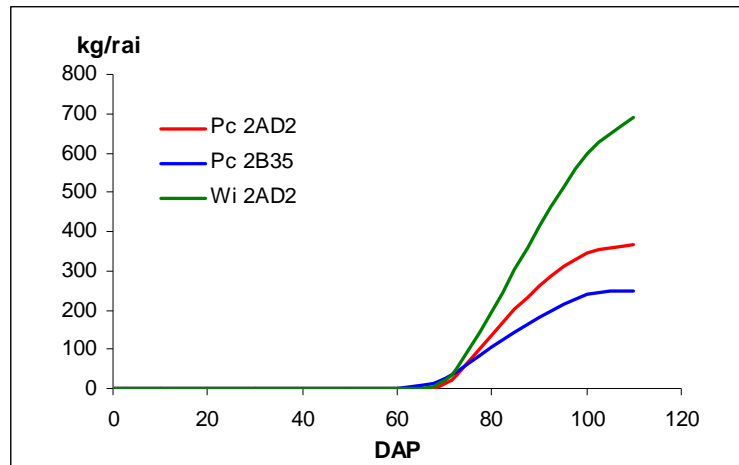
1) การวิเคราะห์สาเหตุการเกิดเขตวิกฤต ภายใต้ชุดดินเดียวกัน แต่สภาพภูมิอากาศต่างกัน โดยจำลองผลผลิตเมล็ดและน้ำหนักแห้งรวมในชุดดินปากซ่อง (กลุ่มชุดดินที่ 29) ภายใต้สภาพภูมิอากาศแตกต่างกัน คือ 2AD2 และ 2B35 ในช่วงปี 2030-39 และ 2090-99

2) การวิเคราะห์สาเหตุการเกิดเขตวิกฤต ภายใต้ชุดสภาพภูมิอากาศเดียวกัน แต่สภาพชุดดินเดียวกัน โดยจำลองผลผลิตเมล็ดและน้ำหนักแห้งรวมในสภาพภูมิอากาศเดียวกัน คือ 2AD2 ภายใต้ชุดดินปากซ่อง (กลุ่มชุดดินที่ 29) กับชุดดินวังไห (กลุ่มชุดดินที่ 31) ในช่วงปี 2030-39 และ 2090-99

ผลการศึกษาในปี 2030-39

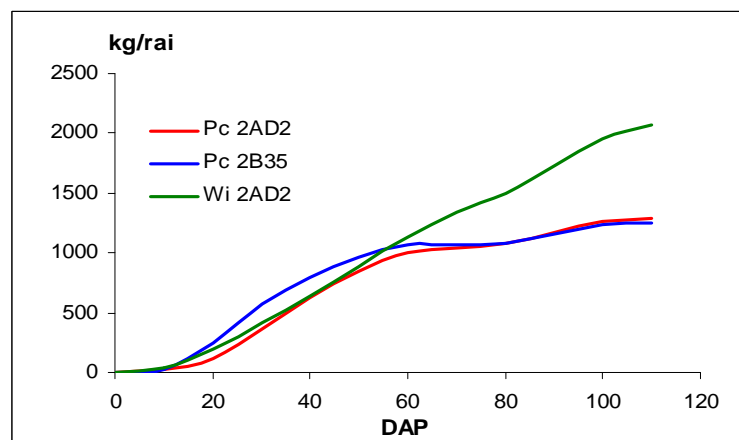
ผลผลิตเมล็ดที่ระดับความชื้น 15% ของข้าวโพดที่ปลูกในดินชุดปากซ่อง ภายใต้สภาพภูมิอากาศ 2AD2 ให้ผลผลิตเมล็ดสูงกว่าภูมิอากาศ 2B35 ร้อยละ 48 (367 และ 248 กิโลกรัมต่อไร่ ตามลำดับ) เมื่อเปรียบเทียบผลผลิตเมล็ดที่ได้จากการจำลองในชุดดินปากซ่อง (เขตวิกฤต) กับชุดดินวังไห (กลุ่มชุดดินที่ 31) ซึ่งเป็นชุดดินที่ไม่พบเขตวิกฤต ในสภาพภูมิอากาศ 2AD2 พบว่า ชุดดินวังไหให้ผลผลิตเมล็ดสูงกว่าชุดดินปากซ่อง ร้อยละ

88 (ภาพที่ 87) แสดงว่าผลผลิตเมล็ดของข้าวโพดที่ปลูกในชุดดินปากซ่องได้รับผลกระทบจากสภาพความเครียด น้ำในช่วงระยะเวลาอกรอก (40-60 วันหลังปลูก) ส่งผลให้อัตราการสะสมน้ำหนักเมล็ดลดลง ในขณะที่ ผลผลิตเมล็ดของข้าวโพดในชุดดินwang ให้ยังคงมีการสะสมน้ำหนักเมล็ดอย่างต่อเนื่องในสภาพภูมิอากาศ 2AD2



ภาพที่ 87. ค่าจำลองผลผลิตเมล็ดที่ความชื้น 15% ของข้าวโพดพันธุ์สุวรรณ 1 ในหน่วยการผลิตที่สภาพอากาศ และดินแตกต่างกันในปี 2030-2039

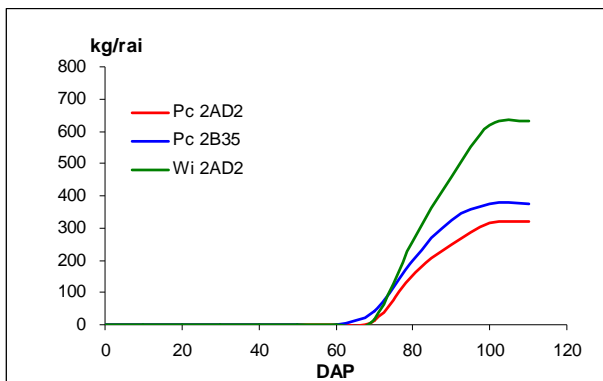
น้ำหนักแห้งรวมของข้าวโพดที่ปลูกในดินชุดปากซ่อง ภายใต้สภาพภูมิอากาศ 2AD2 ให้น้ำหนักแห้งรวม สูงกว่า 2B35 ร้อยละ 4 (1,293 และ 1,247 กิโลกรัมต่อไร่ ตามลำดับ) เมื่อเปรียบเทียบกับน้ำหนักแห้งรวมที่ได้จากการจำลองในชุดดินปากซ่อง(เขตวิกฤต) กับชุดดินwang ให้ (กลุ่มชุดดินที่ 31) ซึ่งเป็นชุดดินที่ไม่พบเขตวิกฤต ในสภาพภูมิอากาศ 2AD2 (ภาพที่ 87) พบร่วมกับชุดดินwang ให้ในน้ำหนักแห้งรวมสูงกว่าชุดดินปากซ่อง ร้อยละ 60 (2,070 และ 1,293 กิโลกรัมต่อไร่ตามลำดับ) แสดงว่าน้ำหนักแห้งรวมของข้าวโพดที่ปลูกในชุดดินปากซ่อง ได้รับผลกระทบจากสภาพความเครียดน้ำในช่วงระยะเวลาอกรอก (40-60 วันหลังปลูก) ส่งผลให้อัตราการสะสมน้ำหนักแห้งรวมลดลงในช่วงดังกล่าว ขณะที่น้ำหนักแห้งรวมของข้าวโพดในชุดดินwang ให้มีการสะสมน้ำหนักในสภาพปกติในสภาพภูมิอากาศ 2AD2 (ภาพที่ 88)



ภาพที่ 88. ค่าจำลองน้ำหนักแห้งรวมของข้าวโพดพันธุ์สุวรรณ 1 ในหน่วยการผลิตที่สภาพอากาศและดินแตกต่างกันในปี 2030-2039

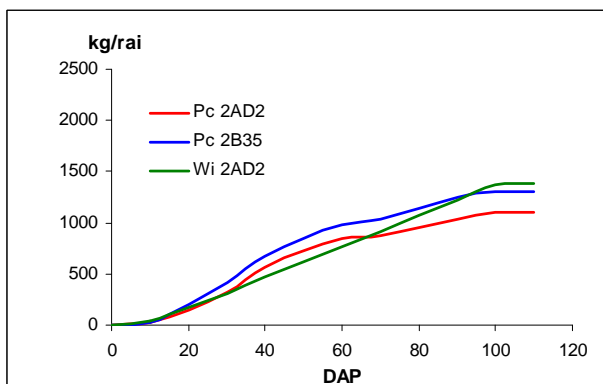
ผลการศึกษาในปี 2090-99

ผลผลิตเมล็ดที่ระดับความชื้น 15% ของข้าวโพดที่ปลูกในดินชุดปากช่อง ภายใต้สภาพภูมิอากาศ 2AD2 ให้ผลผลิตเมล็ดต่ำกว่า 2B35 ร้อยละ 15 (320 และ 376 กิโลกรัมต่อไร่ตามลำดับ) เมื่อเปรียบเทียบผลผลิตเมล็ดที่ได้จากการจำลองในชุดดินปากช่อง (ในเขตวิกฤต) กับชุดดินวังไห ซึ่งเป็นชุดดินที่ไม่พบในเขตวิกฤต ในสภาพภูมิอากาศ 2AD2 (ภาพที่ 89) พบว่า ชุดดินวังไหให้ผลผลิตเมล็ดสูงกว่าชุดดินปากช่อง ร้อยละ 98 (632 และ 320 กิโลกรัมต่อไร่ ตามลำดับ) แสดงว่าผลผลิตเมล็ดของข้าวโพดที่ปลูกในชุดดินปากช่องได้รับผลกระทบจากสภาพความเครียดน้ำ ในช่วงระยะเวลา ก่อนออกดอก (40-60 วันหลังปลูก) ส่งผลให้อัตราการสะสมน้ำหนักเมล็ดลดลง ในช่วงดังกล่าว ในขณะที่ ผลผลิตเมล็ดของข้าวโพดในชุดดินวังไหเมื่อการสะสมน้ำหนักเมล็ดอย่างต่อเนื่องในสภาพภูมิอากาศ 2AD2



ภาพที่ 89. ค่าจำลองผลผลิตเมล็ดที่ความชื้น 15% ของข้าวโพดพันธุ์สุวรรณ 1 ในหน่วยการผลิตที่สภาพอากาศและดินแตกต่างกันในปี 2030-2039

น้ำหนักแห้งรวมข้าวโพดที่ปลูกในดินชุดปากช่อง ภายใต้สภาพภูมิอากาศ 2AD2 ให้น้ำหนักแห้งรวมต่ำกว่า 2B35 ร้อยละ 15 (1,107 และ 1,309 กิโลกรัมต่อไร่ ตามลำดับ) เมื่อเปรียบเทียbn้ำหนักแห้งรวมที่ได้จากการจำลองในชุดดินปากช่อง (เขตวิกฤต) กับชุดดินวังไห (กลุ่มชุดดินที่ 31) ซึ่งเป็นชุดดินที่ไม่พบในเขตวิกฤต ในสภาพภูมิอากาศ 2AD2 (ภาพที่ 87) พบว่าชุดดินวังไหให้น้ำหนักแห้งรวมสูงกว่าชุดดินปากช่อง ร้อยละ 25 (1,388 และ 1,107 กิโลกรัมต่อไร่ตามลำดับ) แต่อย่างไรก็ตาม การสะสมน้ำหนักแห้งรวมของข้าวโพดในชุดดินวังไหสูงกว่าชุดดินปากช่อง แต่ไม่ต่างกันอย่างชัดเจนเมื่อปี 2030-2039 (ภาพที่ 90)

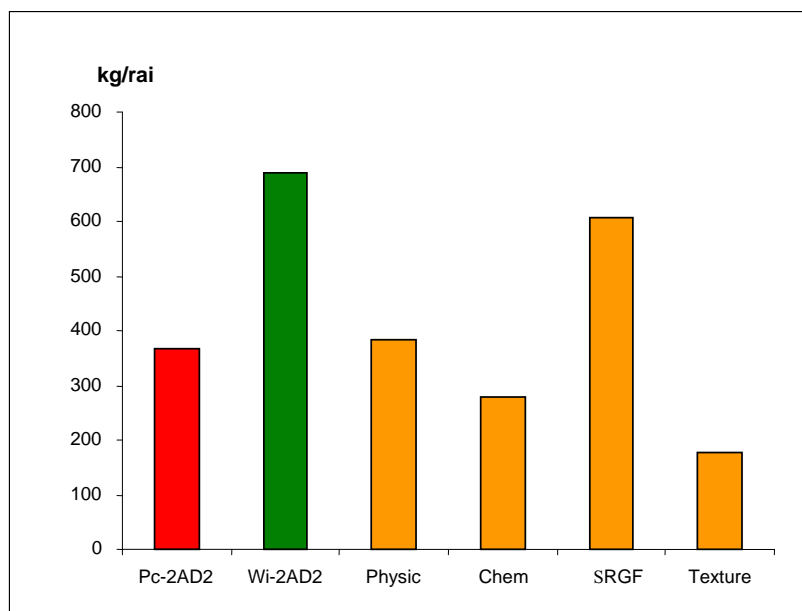


ภาพที่ 90. ค่าจำลองน้ำหนักแห้งรวมของข้าวโพดพันธุ์สุวรรณ 1 ในหน่วยการผลิตที่สภาพอากาศและดินแตกต่างกันในปี 2090-2099

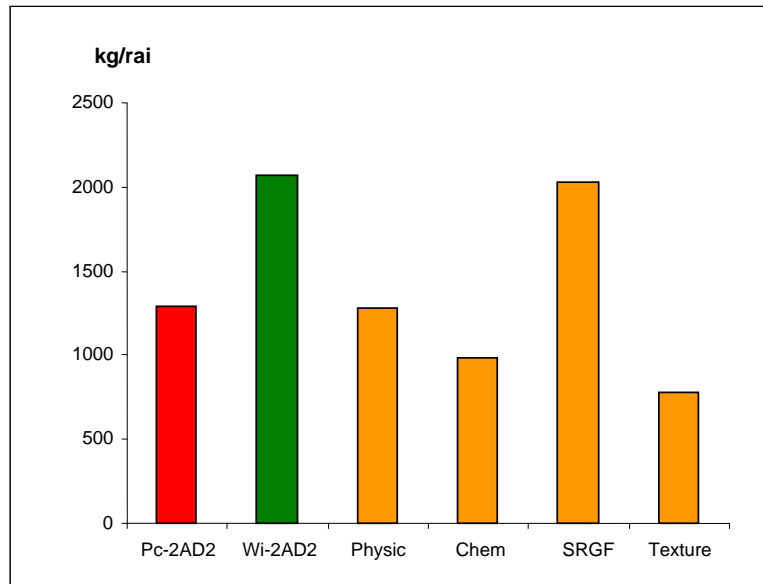
จากผลการวิเคราะห์หาสาเหตุของผลผลิตที่ลดลง ในเขตแหล่งผลิตที่ 4 สรุปได้ว่า ชุดดินเป็นสาเหตุหลัก ในพื้นที่ที่เกิดเขตวิกฤต เมื่อวิเคราะห์ทั้งดินและอากาศ พบว่า อิทธิพลของดินมีผลกระทบต่อการลดลงของ ผลผลิตเมล็ดและน้ำหนักแห้งรวมของข้าวโพดที่ปลูกในเขตวิกฤตสูงกว่าสภาพภูมิอากาศอย่างชัดเจน

เมื่อทราบว่าสาเหตุหลักของการเกิดเขตวิกฤต ในพื้นที่ปลูกข้าวโพดเขตแหล่งผลิตที่ 4 เกิดจากอิทธิพล ของดินเป็นหลัก จึงได้จะนำค่าคุณสมบัติของดินต่อว่าคุณสมบัติใดที่มีผลกระทบต่อผลผลิต เมื่อวิเคราะห์ คุณสมบัติของดินทั้งด้านกายภาพ ได้แก่ ชีดจำกัดล่างของน้ำที่เป็นประโยชน์ (SLLL) ชีดจำกัดบนของน้ำที่เป็น ประโยชน์ (SDUL) การอึมตัวด้วยน้ำ (SSAT) รวมทั้งเนื้อดิน (texture) ด้านเคมี เช่น อินทรีย์คาร์บอน (SLOC) และปัจจัยการเจริญเติบโตของราก (SRGF) โดยการนำค่าคุณสมบัติต่างๆ ของดินในชุดดินนอกเขตวิกฤต คือ ชุด ดินwang ใหม่เปลี่ยนในค่าคุณสมบัติของดินชุดปากช่องในเขตวิกฤต และทำการจำลองการเจริญเติบโตของ ข้าวโพดโดยใช้อากาศ 2AD2 ใช้พันธุ์สุวรรณ 1 ปลูกในวันที่ 15 พฤษภาคม

พบว่า ในปี 2030-39 (ภาพที่ 91) ค่าสัมประสิทธิ์การเจริญเติบโตของราก เป็นคุณสมบัติของดินที่เป็น สาเหตุหลักของการลดลงของผลผลิตเมล็ด และน้ำหนักแห้งรวมของข้าวโพดที่ปลูกในชุดดินปากช่อง ซึ่งเป็นชุดดิน ในเขตวิกฤต ผลผลิตเมล็ดของข้าวโพดที่ปลูกในชุดดินปากช่องที่ไม่มีการเปลี่ยนแปลงสมบัติของดิน ให้ผลผลิต เมล็ด 367 กิโลกรัมต่อไร่ เมื่อใช้ค่า SRGF ของชุดดินwang ใหม่ได้อยู่ในเขตวิกฤต ทำให้ผลผลิตเมล็ดเพิ่มขึ้นเป็น 608 กิโลกรัมต่อไร่ ในขณะที่ค่าคุณสมบัติทางกายภาพ ทางเคมี และเนื้อดิน ของชุดดินwang ใหม่แต่ละปัจจัยให้ผลผลิต เมล็ด 384 278 และ 178 กิโลกรัมต่อไร่ ตามลำดับเท่านั้น อย่างไรก็ตามเมื่อเปลี่ยนไปใช้คุณสมบัติทั้งหมดของ ชุดดินwang ให้ทำให้ผลผลิตเมล็ดเพิ่มขึ้นอีกเป็น 690 กิโลกรัมต่อไร่ ซึ่งชี้ให้เห็นว่ามีปฏิกริยาร่วมระหว่างคุณสมบัติ ของดินอยู่ การเปลี่ยนแปลงของน้ำหนักแห้งรวมให้ผลเช่นเดียวกันกับผลผลิตเมล็ด ดังแสดงในภาพที่ 92

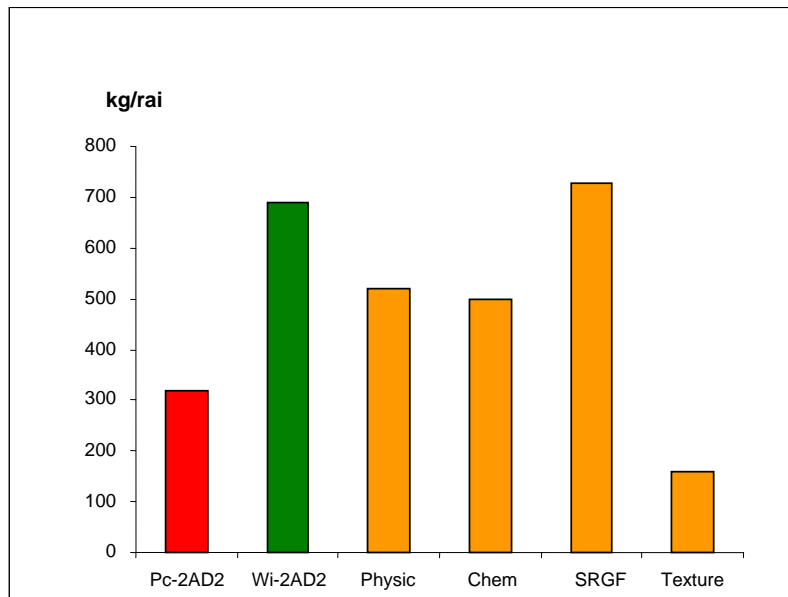


ภาพที่ 91. ค่าจำลองน้ำหนักเมล็ดแห้งของข้าวโพดพันธุ์สุวรรณ 1 ในปี 2030-2039



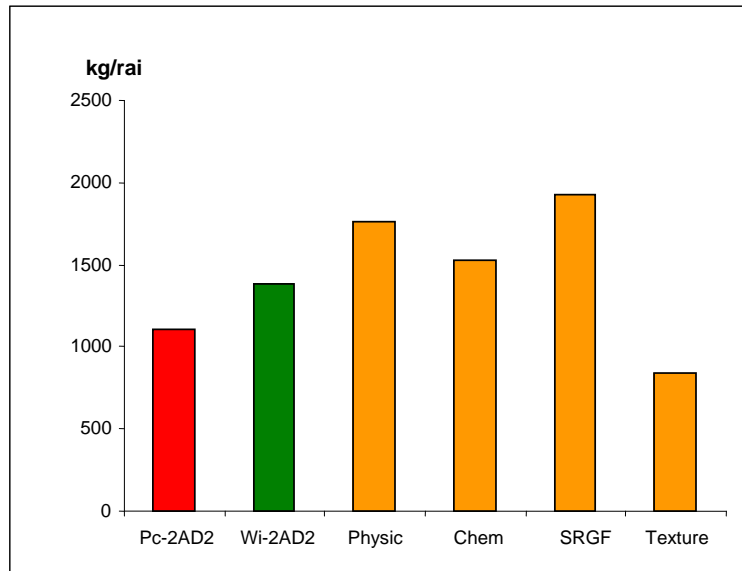
ภาพที่ 92. ค่าจำลองน้ำหนักแห้งรวมของข้าวโพดพันธุ์สุวรรณ 1 ในปี 2030-2039

การตอบสนองต่อการเปลี่ยนแปลงคุณสมบัติดินในปี 2090-99 (ภาพที่ 93) มีรูปแบบเช่นเดียวกันกับที่
pub ในปี 2030-39 ยกเว้นมีการตอบสนองต่อลักษณะทางกายภาพและเคมีมากขึ้น ดังแสดงในภาพที่ 94



ภาพที่ 93. ค่าจำลองน้ำหนักเมล็ดแห้งของข้าวโพดพันธุ์สุวรรณ 1 ในปี 2090-2099

ผลการศึกษาในปี 2030-39 และ 2090-99 สรุปได้ว่า ปัจจัยการเจริญเติบโตของราก (SRGF) เป็นสมบัติ
ของดินที่เป็นสาเหตุหลักของการลดลงของผลผลิตเมล็ด และน้ำหนักแห้งรวมของข้าวโพดที่ปลูกในชุดดินปากช่อง



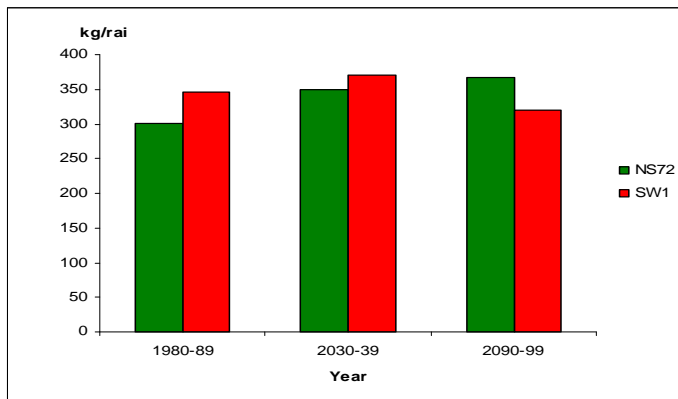
ภาพที่ 94. ค่าจำลองน้ำหนักแห้งรวมของข้าวโพดพันธุ์สุวรรณ 1 ในปี 2090-2099

การปรับตัว (adaptation)

เมื่อทราบสาเหตุที่ทำให้ผลผลิตลดลงในเขตวิกฤต จึงหาแนวทางในการปรับตัว (adaptation) โดยกำหนดการจำลองสถานการณ์ 2 แนวทางคือ การปรับเปลี่ยนพันธุ์ข้าวโพด และการปรับเปลี่ยนช่วงเวลาปลูก

การปรับเปลี่ยนพันธุ์ข้าวโพด

ดำเนินการจำลองการเจริญเติบโตข้าวโพด ภายใต้ชุดดินภาคช่อง สภาพอากาศ 2AD2 ปลูกในวันที่ 15 พฤษภาคม โดยเปลี่ยนพันธุ์จากสุวรรณ 1 เป็น นครสวรรค์ 72 ผลการศึกษาทั้ง 3 ช่วงเวลา ในปี 1980-89 2030-39 และ 2090-99 (ภาพที่ 95) พบว่า ข้าวโพดพันธุ์นครสวรรค์ 72 ให้ผลผลิตเมล็ดที่ความชื้น 15% จำนวน 339 กิโลกรัมต่อไร่ ไม่แตกต่างกับพันธุ์สุวรรณ 1 ที่ให้ผลผลิตเมล็ด 345 กิโลกรัมต่อไร่ ดังนั้นจึงไม่สามารถใช้ข้าวโพด พันธุ์นครสวรรค์ 72 แก้ปัญหาได้ การวิเคราะห์เพื่อหาลักษณะของข้าวโพดที่ปรับตัวได้ดีในพื้นที่เขตวิกฤต เพื่อประโยชน์ในการปรับปรุงพันธุ์ ไม่สามารถดำเนินการได้ เพราะค่า GC ของพันธุ์ข้าวโพดที่ใช้ไม่มี parameter ตัวใดที่บ่งบอกถึงการทนแล้ง จึงทำให้ไม่มีการตอบสนองในการเปลี่ยนพันธุ์ใหม่ อย่างไรก็ตาม ในสภาพแปรang อาจจะใช้พันธุ์ที่ทนทานต่อความแห้งแล้ง โดยเฉพาะในช่วงออกดอก แนะนำส่งเสริมให้เกษตรกรปลูกทดแทนพันธุ์เดิม สามารถช่วยลดความเสียหายของผลผลิตได้



ภาพที่ 95. ค่าจำลองน้ำหนักเมล็ดที่ความชื้น 15 เปอร์เซ็นต์ ของข้าวโพด ภายใต้พันธุ์ข้าวโพดต่างกัน

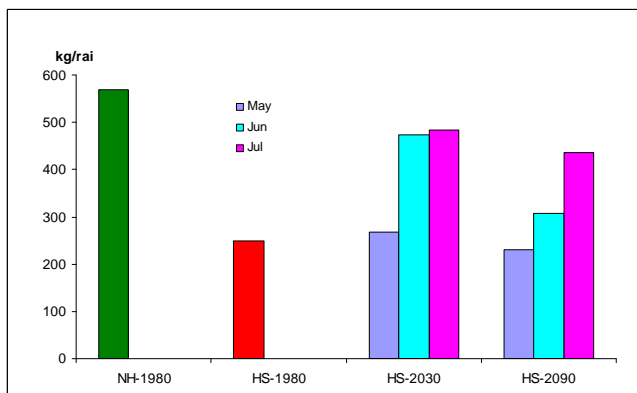
การเปลี่ยนช่วงเวลาปลูก

ดำเนินการจำลองการเจริญเติบโตข้าวโพด ภายใต้ชุดดินปากช่อง สภาพอากาศ 2AD2 ใช้พันธุ์สุวรรณ 1 โดยเลื่อนวันปลูกจาก 15 พฤษภาคม เป็น 5 มิถุนายน และ 15 กรกฎาคม

ผลการศึกษาในปี 2030-39 (ภาพที่ 96) พบว่า การปลูกข้าวโพดพันธุ์สุวรรณ 1 ในเดือนมิถุนายนและกรกฎาคม ให้ผลผลิตเมล็ดที่ความชื้น 15 เปอร์เซ็นต์ เพิ่มขึ้น ร้อยละ 90 และ 94 ตามลำดับ เมื่อเปรียบเทียบกับการปลูกในเดือนพฤษภาคม ซึ่งให้ผลผลิตเมล็ด 250 กิโลกรัมต่อไร่ และเมื่อเปรียบเทียบกับการปลูกเดือนพฤษภาคมในเดือนชุดรังวิงไห ให้ผลผลิตใกล้เคียงกัน โดยให้ผลผลิตเมล็ด เท่ากับ 568 กิโลกรัมต่อไร่

ผลการศึกษาในปี 2090-99 (ภาพที่ 96) พบว่า การปลูกข้าวโพดพันธุ์สุวรรณ 1 ในเดือนมิถุนายนและกรกฎาคม ให้ผลผลิตเมล็ดที่ความชื้น 15 เปอร์เซ็นต์ เพิ่มขึ้น ร้อยละ 23 และ 75 ตามลำดับ เมื่อเปรียบเทียบกับการปลูกในเดือนพฤษภาคม ซึ่งให้ผลผลิตเมล็ด 250 กิโลกรัมต่อไร่ และเมื่อเปรียบเทียบกับการปลูกเดือนพฤษภาคมในเดือนชุดรังวิงไห ให้ผลผลิตใกล้เคียงกัน โดยให้ผลผลิตเมล็ด เท่ากับ 568 กิโลกรัมต่อไร่

จากการศึกษาการปรับเปลี่ยนวันปลูกข้าวโพด สามารถสรุปได้ว่า ในปี 2030-39 สามารถปรับตัวในพื้นที่ปลูกข้าวโพดเขตแหล่งผลิตที่ 4 จังหวัดตาก ภายใต้ชุดดินปากช่อง โดยการปรับเปลี่ยนวันปลูกเป็นวันที่ 15 มิถุนายน หรือ 15 กรกฎาคม ซึ่งสามารถให้ผลผลิตเพิ่มขึ้นจากปี 1980-89 ถึงร้อยละ 90 และ 94 ตามลำดับ ในขณะที่ ในปี 2030-39 สามารถปรับตัวในพื้นที่ปลูกข้าวโพดเขตแหล่งผลิตที่ 4 จังหวัดตาก ภายใต้ชุดดินปากช่อง โดยการปรับเปลี่ยนวันปลูกเป็นวันที่ 15 กรกฎาคม ซึ่งสามารถให้ผลผลิตเพิ่มขึ้นจากปี 1980-89 ถึงร้อยละ 75 ตามลำดับ



ภาพที่ 96. ค่าจำลองน้ำหนักเมล็ดที่ความชื้น 15 เปอร์เซ็นต์ ของข้าวโพด ภายใต้วันปลูกต่างกัน

สรุป

พื้นที่ปลูกข้าวโพดทั้งประเทศประมาณ 10.9 ล้านไร่ มีพื้นที่ที่เกิดเขตวิกฤต 0.37 ล้านไร่ หรือคิดเป็นร้อยละ 3.66 เมื่อวิเคราะห์ผลพบว่า ชุดดินที่พบเขตวิกฤต มี 18 ชุดดิน (soil series) ที่พบมาก ได้แก่ ชุดดินปากช่อง ร้อยเอ็ด และปราจีนบุรี และมีการกระจายอยู่ในพื้นที่ทั้ง 5 เขตแหล่งผลิต โดยเกิดขึ้นใน 3 ช่วงปี ได้แก่ ปี 1980-89, 2030-39 และ 2090-99

พื้นที่ที่เกิดเขตวิกฤต ส่วนใหญ่เป็นชุดดินนา ได้แก่ ชุดดินร้อยเอ็ด นครปฐม เชียงราย ซึ่งไม่ใช่ชุดดินตัวแทนของพื้นที่ปลูกข้าวโพดของประเทศไทย ดังนั้นจึงเลือกจุดเพื่อหาสาเหตุและแนวทางการปรับตัวของข้าวโพด ในเขตแหล่งผลิตที่ 4 ซึ่งพบการเกิดเขตวิกฤตในดินชุดปากช่องมากที่สุด รวมทั้งเป็นชุดดินที่เป็นแหล่งปลูกข้าวโพดที่สำคัญของประเทศไทย

สาเหตุที่ทำให้ผลผลิตลดลงในปี 2030-39 และ 2090-99 ในพื้นที่ที่เกิดเขตวิกฤต ของชุดดินปากช่อง เกิดจากสภาวะเครียดของน้ำ (water stress) ในช่วงออกดอกอติดฝัก โดยแสดงความสัมพันธ์แบบ polynomial ในทางลบระหว่างผลผลิตเมล็ดกับดัชนีความเครียดน้ำในระดับที่สูง ทั้งนี้เนื่องจากดินชุดปากช่องมีสมบัติดิน เป็นดินลึกมาก ดินบนเป็นดินเหนียวหรือดินเหนียวปนทรายแบ่ง สีน้ำตาลปนแดงเข้ม มีการอุ้มน้ำไม่ดี มีข้อจำกัดการใช้ประโยชน์ คือ ความอุดมสมบูรณ์ค่อนข้างต่ำ เสี่ยงต่อการขาดแคลนน้ำในฤดูเพาะปลูก ดังนั้นเมื่อปลูกข้าวโพดบนดินชุดปากช่อง ภายใต้สภาวะการเปลี่ยนแปลงของสภาพภูมิอากาศ โดยเฉพาะประสบภาวะฝนตกน้อยลงหรือฝนถึงช่วงในช่วงออกดอก ย่อมมีผลกระทบต่อการเจริญเติบโตและสร้างผลผลิตของข้าวโพดอย่างรุนแรง เมื่อเปรียบเทียบกับชุดดินอื่นๆ ที่มีสมบัติทางกายภาพของดินที่ดี เช่น ชุดดินวังไห เป็นต้น คุณสมบัติของดินที่สำคัญคือปัจจัยการเจริญเติบโตของราก (soil root growth factor) ซึ่งเป็นสาเหตุหลักของการลดลงของผลผลิตเมล็ด และน้ำหนักแห้งรวมของข้าวโพดที่ปลูกในชุดดินปากช่อง

สรุป

ประเทศไทยเป็นประเทศเกษตรกรรม จึงจำเป็นที่จะต้องเตรียมการในการปรับด้าวและสร้างทางเลือกของระบบการผลิตพืชเพื่อรองรับผลกระทบจากการเปลี่ยนแปลงของสภาพอากาศโลก การประเมินผลกระทบของภาวะโลกร้อนต่อการผลิต ข้าว อ้อย มันสำปะหลัง และข้าวโพดของประเทศไทย มีขั้นตอนหลักคือ รวบรวมและสร้างฐานข้อมูลตรวจสอบความถูกต้องของการประเมินผลของแบบจำลอง จากนั้นจำลองผลกระทบของภาวะโลกร้อนต่อการผลิตพืช และวิเคราะห์สาเหตุที่ทำให้ผลผลิตลดลงและหาทางปรับระบบการผลิตพืชเพื่อรองรับการเปลี่ยนแปลง

การสร้างฐานข้อมูล ได้ใช้แผนที่กลุ่มชุดเดียว ทับซ้อนกับแผนที่ข้อมูลภูมิอากาศรายวัน ปี 1980-2099 ที่มีรายละเอียดเชิงพื้นที่เท่ากับ 20×20 กิโลเมตร และแผนที่พื้นที่ป่าลึกพืช ผลลัพธ์ที่ได้ประกอบด้วย polygons ต่างๆ ที่คุณสมบัติดินและสภาพอากาศในแต่ละ polygon สม่ำเสมอ แต่แตกต่างจาก polygons อื่นๆ polygons เหล่านี้เรียกว่า Simulation Mapping Unit (SMU) ข้อมูลดินและสภาพอากาศรายวันของแต่ละ SMU จะถูกใช้ในการจำลองผลผลิตพืชของ SMU นั้นๆ

การตรวจสอบแบบจำลองได้เปรียบเทียบผลผลิตจากการจำลองกับผลผลิตจริงจากการวัดภาคสนาม ในเขตการผลิตพืช แต่ละชนิดทั่วประเทศไทย statistics ที่ใช้ในการวิเคราะห์ความแม่นยำของการจำลองคือ R^2 และ agreement index ผลการตรวจสอบพบว่า แม้ว่าโดยภาพรวม แบบจำลองจะ overestimate เมื่อผลผลิตจริงต่ำบ้าง แต่ค่า $R^2 \sim 0.7$ มีค่าสูงอย่างมีนัยสำคัญ และ agreement index ~ 0.9 ซึ่งใกล้ค่าสูงสุด 1 ทำให้สรุปได้ว่า แบบจำลองการเจริญเติบโตของข้าว (CERES-Rice) มันสำปะหลัง (GUMCAS) อ้อย (CANEGRO) และข้าวโพด (CERES-Maize) สามารถทำนายผลผลิตของแต่ละพืชได้ค่อนข้างแม่นยำ และสามารถใช้เป็นเครื่องมือที่ช่วยสนับสนุนการศึกษาผลกระทบของภาวะโลกร้อนต่อการผลิตพืชทั้ง 4 ชนิดได้

ได้ใช้แบบจำลองดังกล่าวจำลองผลกระทบของภาวะโลกร้อนต่อการผลผลิตพืชแต่ละชนิด ในแต่ละ SMU ทั่วประเทศไทย เมื่อวิเคราะห์ผลลัพธ์พบว่าผลกระทบในระยะยาวจากภาวะโลกร้อนไม่มีผลกระทบที่รุนแรงต่อผลผลิตพืชยกเว้นมันสำปะหลัง แต่ผลกระทบทางอ้อมต่อความแปรปรวนของสภาพอากาศ ทำให้ผลผลิตมีความแปรปรวนรายปี สูง และความแปรปรวนระหว่างพื้นที่ยิ่งสูงมากขึ้น ดังนั้นแม้โดยภาพรวมผลผลิตจะไม่เปลี่ยนแปลงมากนักแต่บางพื้นที่จะได้รับผลกระทบในระดับที่รุนแรง ในกรณีของข้าวนาแห้ง พื้นที่รุนแรงที่สุดในภาคตะวันออกเฉียงเหนือ แต่พื้นที่นาคล平坦ที่ได้รับผลกระทบรุนแรงจะกระจายตัวอยู่ทั่วประเทศไทย พื้นที่รุนแรงของผลกระทบต่ออ้อยและมันสำปะหลัง ส่วนใหญ่อยู่ในเขตภาคตะวันออกเฉียงเหนือ และสำหรับข้าวโพดพื้นที่รุนแรงที่สุดจะกระจายอยู่ทั่วไป

เมื่อทำการวิเคราะห์สาเหตุที่ทำให้ผลผลิตข้าวลดลงพบว่า ความอุดมสมบูรณ์ดิน และการกระจายตัวของฝนเป็นสาเหตุที่สำคัญ ส่วนผลผลิตอ้อยจะได้รับผลกระทบจากความชื้นดินซึ่งขึ้นกับฝน คุณสมบัติทางกายภาพของดิน และการกระจายตัวของราก การลดลงของผลผลิตมันสำปะหลังเกิดคุณสมบัติทางกายภาพของดิน ปริมาณน้ำฝน แต่ในเขตการผลิตภาคเหนือตอนล่างเกิดจากอุณหภูมิ สำหรับข้าวโพดการลดลงของผลผลิตเกิดจากการขาดน้ำในช่วงออกดอกติดฝัก ซึ่งมีสาเหตุมาจากการคุณสมบัติของดินเป็นปัจจัยหลัก

แนวทางของการปรับระบบการผลิตพืชเพื่อรองรับภาวะดังกล่าวประกอบด้วยพัฒนาพันธุ์พืชที่มีประสิทธิภาพ การใช้น้ำสูง อัตราการเจริญเติบโตเร็ว อายุสั้น และทนแล้ง รากหยั่งลึก พัฒนาระบบอนุรักษ์ดินและน้ำ และจัดทำแหล่งน้ำในปริมาณปูรุ่งบำรุงดิน การจัดการดินและธาตุอาหารพืชเนพะพื้นที่

เอกสารอ้างอิง

- กรมพัฒนาที่ดิน. 2543. ระบบฐานข้อมูลกลุ่มชุดดิน Soil View version 2.0 ฝ่ายระบบสารสนเทศวิชาการ ศูนย์เทคโนโลยีสารสนเทศ กรมพัฒนาที่ดิน กระทรวงเกษตรและสหกรณ์
- ทักษิณ ศันสนีย์วิจัย ปรีชา กะเพ็ชร และวีระพล พลรักดี. 2549. การศึกษาลักษณะทางการเกษตรของอ้อยโคลนดี: ค่าสัมประสิทธิ์พันธุกรรมของอ้อย 7 พันธุ์ ในรายงานผลงานวิจัย ปี 2549. ศูนย์วิจัยพืชไร่ขอนแก่น สำนักวิจัยและพัฒนาการเกษตรเขตที่ 3 กรมวิชาการเกษตร. หน้า 172-186.
- เมธี เอกะสิงห์ ศักดิ์ดา จงแก้ววัฒนา อรรถசัย จิตตะเวช ถาวร อ่อนประไฟ พนมศักดิ์ พรหมบุรอมย. 2543. โครงการวิจัยระบบสนับสนุนการตัดสินใจการผลิตพืช: ข้าวในภาคเหนือ. ศูนย์วิจัยเพื่อเพิ่มผลผลิตทางเกษตรมหาวิทยาลัยเชียงใหม่. 258 หน้า.
- วินัย ศรัวต และคงชาโอซิ ศกุลสุกี้ (บรรณาธิการ). 2547. รายงานฉบับสมบูรณ์ โครงการวิจัยระบบสนับสนุนการตัดสินใจเพื่อการผลิตมันสำปะหลัง: มันไวย ๑.๐. ศูนย์วิจัยพืชไร่ขอนแก่น สำนักวิจัยและพัฒนาการเกษตรเขตที่ 3 กรมวิชาการเกษตร กระทรวงเกษตรและสหกรณ์. 198 หน้า.
- วินัย ศรัวต สุกิจ รัตนศรีวงศ์ และเพียงเพ็ญ ศรัวต. 2542. การเจริญเติบโตและพัฒนาการของมันสำปะหลังพันธุ์แนะนำ ในรายงานผลการวิจัยปี 2542 ศูนย์วิจัยพืชไร่ขอนแก่น สถาบันวิจัยพืชไร่ กรมวิชาการเกษตร กระทรวงเกษตรและสหกรณ์. หน้า 134-159.
- ศุภกร ชินวรรโน, น.ท. วิริยะ เหลืองอร่าม ร.น., เนลิมรัฐ แสงมณี และ จุฑาทิพย์ ชนกิตติ์เมธารุณ. 2552. รายงานฉบับสมบูรณ์โครงการ "การจำลองสภาพภูมิอากาศอนาคตสำหรับประเทศไทยและพื้นที่ข้างเคียง" เสนอต่อสำนักงานกองทุนสนับสนุนการวิจัย. ศูนย์เครือข่ายงานวิเคราะห์วิจัย และฝึกอบรมการเปลี่ยนแปลงของโลกแห่งภูมิภาคเอเชียตะวันออกเฉียงใต้. 248 หน้า
- ศูนย์เทคโนโลยีสารสนเทศ. 2544. โปรแกรมสนับสนุนการกำหนดเขตปลูกพืชเศรษฐกิจ (AgZone 1.0) กรมพัฒนาที่ดิน กระทรวงเกษตรและสหกรณ์.
- สมชาย บุญประดับ เสน่ห์ เครือแก้ว พิเชษฐ์ กรุดโลยมา วีระศักดิ์ เกิดแสง พุนศักดิ์ เหลืองhirัญ พีระศักดิ์ ฉาย ปราสาท ปฏิญญา บรรทอง เทียมจันทร์ มาจิมมี วนิชชากร ทิพย์วารีรัมย์ เมรินทร์ บุญจันทร์ 2548. ในรายงานวิจัยฉบับสมบูรณ์ โครงการการพัฒนาระบบการผลิตข้าวโพดเลี้ยงสัตว์ทดแทนการทำนาปรังในฤดูแล้ง ในจังหวัดพิษณุโลก. กรมวิชาการเกษตร กระทรวงเกษตรและสหกรณ์. 142 หน้า.
- สมชาย บุญประดับ และศักดิ์ดา จงแก้ววัฒนา. 2544. การประเมินค่าสัมประสิทธิ์พันธุกรรมข้าวโพดและการทดสอบ Validation ของแบบจำลองการเจริญเติบโตของข้าวโพด CERES-Maize. ใน รายงาน (บทคัดย่อ) การประชุมวิชาการข้าวโพดข้าวฟ่างแห่งชาติ ครั้งที่ 30 ในวันที่ 19-23 สิงหาคม 2544. ณ โรงแรมเนราด้า แกรนด์ จังหวัดอุบลราชธานี. หน้า 48.
- อรรถชัย จิตตะเวช และศринทิพย์ พรหมฤทธิ์ (บรรณาธิการ). 2545. รายงานฉบับสมบูรณ์ โครงการวิจัยการประมาณผลผลิตอ้อยด้วยแบบจำลองคอมพิวเตอร์. ศูนย์วิจัยเพื่อเพิ่มผลผลิตทางเกษตร มหาวิทยาลัยเชียงใหม่. 508 หน้า.

- ผลกระทบ จันตะเวช. 2551. วิธีการและเครื่องมือในการศึกษาผลกระทบโดยร้อนต่อระบบการผลิตอาหาร. ใน รายงาน การประชุมวิชาการระบบเกษตรแห่งชาติครั้งที่ 4. วันที่ 27-28 พฤษภาคม 2551 ณ ศูนย์ประชุมนานาชาติเอ็ม เพรส เชียงใหม่. หน้า 28-38.
- Anwar, M. R., G. O'Leary, D. McNeil, H. Hossain, and R. Nelson. 2007. Climate change impact on rainfed wheat in south-eastern Australia. *Field Crops Research* 104: 139–147.
- Boonpradub S. 2000. Drought response of maize genotypes under an irrigation gradient. Ph.D. Thesis, Chiang Mai University, Chiang Mai, Thailand.
- Cline, W. 2007. *Global Warming and Agriculture: Impact Estimates by Country*. Washington, DC: Center for Global Development and Peterson Institute for International Economics.
- ESRI. 1996. ArcView, ESRI Press, Redlands, CA, USA.
- Gerald C. Nelson, Mark W. Rosegrant, Jawoo Koo, Richard Robertson, Timothy Sulser, Tingju Zhu, Claudia Ringler, Siwa Msangi, Amanda Palazzo, Miroslav Batka, Marilia Magalhaes, Rowena Valmonte-Santos, Mandy Ewing, and David Lee. 2009. Climate Change: Impact on Agriculture and Costs of Adaptation. Policy Report. International Food Policy Research Institute, Washington, D.C.
- Hoogenboom, G., J.W. Jones, P.W. Wilkens, C.H. Porter, W.D. Batchelor, L.A. Hunt, K.J. Boote, U. Singh, O. Uryasev, W.T. Bowen, A.J. Gijsman, A. du Toit, J.W. White and G.Y. Tsuji. 2004. Decision Support System for Agrotechnology Transfer Version 4.0, University of Hawaii, Honolulu, Hawaii.
- IPCC, 2007a. Summary for Policymakers, Climate Change 2007: The Physical Science Basis. Contribution of Working Group I to the Fourth Assessment Report of the Intergovernmental Panel on Climate Change, Intergovernmental Panel on Climate Change (2007-02-05). In Solomon, S., D. Qin, M. Manning, Z. Chen, M. Marquis, K.B. Averyt, M.Tignor and H.L. Miller (eds.), Cambridge University Press, Cambridge, NY.
- IPCC. 2007b. *Climate Change 2007: Impacts, Adaptation and Vulnerability*. Contribution of Work Group II to the Fourth Assessment Report of the Intergovernmental Panel on Climate. Cambridge, UK: Cambridge University Press.
- Jones, C.A., and Kiniry. 1986. CERES-Maize. A Simulation Model of Maize Growth and Development. Texas A&M Univ. Press.
- Jones, R.G., Noguer, M., Hassell, D.C., Hudson, D., Wilson, S.S., Jenkins, G.J. and Mitchell, J.F.B. 2004. Generating high resolution climate change scenarios using PRECIS, Met Office Hadley Centre, Exeter, UK, 40pp.
- Kabubo-Mariara, J., and F. K. Karanja . 2007. The economic impact of climate change on Kenyan crop agriculture: A Ricardian approach. *Global and Planetary Change* 57: 319–330.
- Kim, S., D.C. Gitz, R.C. Sicher Jr, J.T. Baker, D.J. Timlin, V. Reddy. 2007. Temperature dependence of growth, development, and photosynthesis in maize under elevated CO₂. *Environmental and Experimental Botany*. 61:224-236.

- Mathews, R.B. and L.A. Hunt. 1994. GUMCAS: a model describing the growth of cassava (*Manihot esculenta* L. Crantz). *Field Crops Res.*, 36:69-84.
- O'Leary, G.J. 2000. A review of three sugarcane simulation models with respect to their production of sucrose yield. *Field Crops Research*. 68: 97–111.
- Richter, G.M., and M.A. Semenov. 2005. Modelling impacts of climate change on wheat yields in England and Wales: assessing drought risks. *Agricultural Systems* 84: 77–97.
- Roeckner,E., Arpe,K., Bengtsson,L., Christoph,M., Claussen,M., Dümenil,L., Esch,M., Giorgetta,M., Schlese,U. and Schulzweida,U. 1996 *The atmospheric general circulation model ECHAM-4: model description and simulation of present-day climate* Max-Planck Institute for Meteorology, Report No.218, Hamburg, Germany, 90pp.
- Sarawat, V., S. Ratanasriwong, K. Puangprakon, P. Sri-ngam and A. Jintrawet. 2004. MunThaiDSS : A Decision Support System for Cassava Production. Proceedngs AFITA/WCCA 2004 Joint Congress on IT in Agriculture. August 9-12, 2004. Bangkok, Thailand. p.136
- Singh U, Ritchie J. T., and Godwin D C. 1993. A User's Guide to CERES Rice-v2.10, International Fertilizer Development Center, Muscle Shoals, Alabama, USA, pp1-2.
- Tan, G., and R. Shibasaki. 2003. Global estimation of crop productivity and the impacts of global warming by GIS and EPIC integration. *Ecological Modelling* 168: 357–370.
- Uehara, G. and G.Y. Tsuji. 1998. Overview of IBSNAT. P. I-7 G.Y. Tsuji et al. (eds.) Understanding options for agricultural production.
- Zhai, F., and J. Zhuang. 2009. Agricultural Impact of Climate Change: A General Equilibrium Analysis with Special Reference to Southeast Asia. ADBI Working Paper 131. Tokyo: Asian Development Bank Institute. Available:<http://www.adbi.org/workingpaper/2009/02/23/2887.agricultural.impact.climate.change/>

ภาคผนวก

บทความและสิ่งตีพิมพ์ที่ได้เผยแพร่ไปแล้ว

เกริก ปั้นเหง่นเพ็ชร. 2553. ผลกระทบจากการเปลี่ยนแปลงของสภาพภูมิอากาศกับทิศทางการวิจัยด้านข้าว การประชุมวิชาการข้าวและขัญพืชเมืองหนาว กลุ่มศูนย์วิจัยข้าวภาคตะวันออกเฉียงเหนือ ประจำปี 2553 วันที่ 24-25 มีนาคม 2553 ณ โรงแรมเมเจอร์แกรนด์ อำเภอชุมแพ จังหวัดขอนแก่น

ชีษณุชา บุດดาบุญ, กิ่งแก้ว คุณเขต, อรรถชัย จิตตะเวช และ เกริก ปั้นเหง่นเพ็ชร. 2553. ผลกระทบของการเปลี่ยนแปลงของสภาพอากาศต่อการผลิตข้าวของประเทศไทย. งานประชุมวิชาการประจำปี 2553. 29-31 มีนาคม 2553 ณ อุทยานวิทยาศาสตร์ประเทศไทย สำนักงานวิทยาศาสตร์และเทคโนโลยีแห่งชาติ.

วินัย ศรัวต. 2552. ผลกระทบของภาวะโลกร้อนต่อการผลิตพืชไร่. การบรรยายในการฝึกอบรมเชิงปฏิบัติการภูมิสารสนเทศและแบบจำลองพืช ระหว่างวันที่ 29-30 มิถุนายน 2552 ณ ห้องประชุมสถาบันวิจัยพืชสวน กรมวิชาการเกษตร กรุงเทพฯ.

สมชาย บุญประดับ. 2552. ผลกระทบของภาวะโลกร้อนต่อการผลิตพืช. เอกสารประกอบการบรรยายพิเศษในการประชุมวิชาการประจำปี 2552 ของสำนักวิจัยและพัฒนาการเกษตรเขตที่ 5 ระหว่างวันที่ 4 - 6 กุมภาพันธ์ 2552 ณ ห้องประชุมอาคารเรือนกประสงค์ สำนักวิจัยและพัฒนาการเกษตรเขตที่ 5 กรมวิชาการเกษตร จังหวัดชัยนาทฯ. โรนี่ยว 2 หน้า.

สมชาย บุญประดับ. 2552. ผลกระทบของภาวะโลกร้อนต่อการผลิตพืช : กรณีศึกษาในข้าวโพด. รายงานการประชุมวิชาการปี 2552 ของสำนักวิจัยและพัฒนาการเกษตรเขตที่ 2 กรมวิชาการเกษตร ระหว่างวันที่ 13-15 กันยายน 2552 ณ โรงแรมมาเทนพาร์ค สวิตเซอร์แลนด์ รีสอร์ท จังหวัดเพชรบูรณ์. หน้า 1-2.

สมชาย บุญประดับ. 2552. วิกฤติโลกร้อนกับการผลิตพืช. เอกสารประกอบการบรรยายในการประชุมวิชาการเรื่อง การเปลี่ยนแปลงสภาพอากาศกับการปรับมือเชิงวิชาการภาคการเกษตร ในวันที่ 23 พฤศจิกายน 2552 ณ ห้องประชุมสถาบันวิจัยพืชไร่ กรมวิชาการเกษตร กรุงเทพฯ. โรนี่ยว 2 หน้า.

สมชาย บุญประดับ สุกิจ รัตนศรีวงศ์ วินัย ศรัวต. ปรีชา กาเพ็ชร แคทลิยา เอกอุ่น วิภารัตน์ ดำรงเข้มตระกูล อิสระ พุทธสิมมา และเกริก ปั้นเหง่นเพ็ชร. 2552. ผลกระทบของภาวะโลกร้อนต่อการผลิตพืชไร่หลักสามชนิด ของประเทศไทย. วารสารวิจัย มข. 14 (7) : 626 – 649.

สมชาย บุญประดับ สุกิจ รัตนศรีวงศ์ วินัย ศรัวต. ปรีชา กาเพ็ชร แคทลิยา เอกอุ่น วิภารัตน์ ดำรงเข้มตระกูล อิสระ พุทธสิมมา และเกริก ปั้นเหง่นเพ็ชร. 2553. ผลกระทบและการปรับตัวจากการเปลี่ยนแปลงสภาพภูมิอากาศ ต่อการผลิตพืชไร่. การบรรยายในประชุมทางวิชาการและเสนอผลงานวิชาการระดับชาติ เรื่อง ภูมิอากาศโลกกับประเทศไทย ครั้งที่ 1 : ความเสี่ยงระดับชาติ โอกาส และความท้าทายในการเปลี่ยนแปลงของโลก ระหว่างวันที่ 19 - 22 สิงหาคม 2553 ณ อิมแพ็ค เมืองทองธานี ปากเกร็ด นนทบุรี. (กำลังพิมพ์)

สหัสชัย คงทน. 2552. การจัดการดินและธาตุอาหารเพื่อรับมือภาวะโลกร้อน. การบรรยายในการฝึกอบรมเชิงปฏิบัติการภูมิสารสนเทศและแบบจำลองพืช ระหว่างวันที่ 29-30 มิถุนายน 2552 ณ ห้องประชุมสถาบันวิจัยพืชสวน กรมวิชาการเกษตร กรุงเทพฯ.

Buddhaboon C., K. Kunket, k. Pannangpatch, A. Jintrawet, S. Kongton, and S. Chinvanno. 2008. Effect of climate change on rice production in Southeast Asia: A case study in Thailand. Better Air Quality (BAQ) 2008 Workshop, 12-14 November 2008 Bangkok, Thailand.

Krirk Pannangpatch, 2009. Impacts of climate change on rice, sugarcane, cassava, and maize production in Thailand. Presentation at *Regional Technical Workshop on Application of Modelling Tools for Climate Change Impact and Vulnerability Assessment*, under MRC-CSIRO Climate Change Project on Reducing Vulnerability of Water Resources, People and the Environment in the Mekong Basin to Climate Change Impacts, 8 – 9 September 2009, Landmark Hotel, Bangkok, Thailand

ผลงานนำเสนอภาคไปสเตอร์

ผลกระทบของภาวะโลกร้อนต่อการผลิต อ้อย มันสำปะหลัง และข้าวโพด
งานประชุมวิชาการ เทคโนโลยีอิเล็กทรอนิกส์และภูมิสารสนเทศแห่งชาติประจำปี 2552
16-18 ธันวาคม 2552 ณ อิมเพ็ค เมืองทองธานี จังหวัดนนทบุรี。

ผลกระทบของภาวะโลกร้อนต่อการผลิตอ้อย

ความสำคัญ

อ้อยเป็นพืชเพื่อเพิ่มศักยภาพการแข่งขันเชิงพาณิชย์ที่มีกระบวนการผลิตคร่าวงจร ตั้งแต่การปลูก แปรรูปและจำหน่าย ภายใต้การควบคุมของพระราชบัญญัติอ้อยและน้ำตาลทราย พ.ศ. 2527 พื้นที่ปลูกอ้อยทั้งประเทศอยู่ระหว่าง 5.5-6.6 ล้านไร่ ผลผลิตอ้อยของไทยตั้งแต่ปีมีความแปรปรวนตั้งแต่ 34.7-74.1 ล้านตัน การเพิ่มขึ้นของ CO2 เป็นเหตุทำให้อุณหภูมิของโลกสูงขึ้น ปริมาณและรูปแบบการกระจายตัวของฝนเปลี่ยนแปลงไป มีความแปรปรวนและรุนแรงมากขึ้น เกิดการเปลี่ยนแปลงของสภาพภูมิอากาศและสิ่งแวดล้อมอื่นๆ อีกทั้งเป็นลักษณะ (IPCC, 2007) การเปลี่ยนแปลงของสภาพแวดล้อมดังกล่าวซึ่งมีผลกระทบโดยตรงต่อการผลิตพืชในอนาคตที่ไม่สามารถจะหลีกเลี่ยงได้

ประเทศไทยเป็นประเทศเกษตรกรรม สภาพดินพื้นาที่ที่เปลี่ยนแปลงไป จึงมีผลกระทบต่อระบบเศรษฐกิจและสภาพความเป็นอยู่ของประชาชน จำเป็นที่จะต้องเตรียมการในการปรับตัวและสร้างทางเลือกของระบบการผลิตพืชเพื่อรองรับผลกระทบจากภาวะการณ์ต่อ全球气温 (IPCC, 2007) การเปลี่ยนแปลงของสภาพแวดล้อมดังกล่าวซึ่งมีผลกระทบโดยตรงต่อการผลิตพืชในอนาคตที่ไม่สามารถจะหลีกเลี่ยงได้

ประเทศไทยเป็นประเทศเกษตรกรรม สภาพดินพื้นาที่ที่เปลี่ยนแปลงไป จึงมีผลกระทบต่อระบบเศรษฐกิจและสภาพความเป็นอยู่ของประชาชน จำเป็นที่จะต้องเตรียมการในการปรับตัวและสร้างทางเลือกของระบบการผลิตพืชเพื่อรองรับผลกระทบจากภาวะการณ์ต่อ全球气温 (IPCC, 2007) การเปลี่ยนแปลงของสภาพแวดล้อมดังกล่าวซึ่งมีผลกระทบโดยตรงต่อการผลิตพืชในอนาคตที่ไม่สามารถจะหลีกเลี่ยงได้

1. นำแผนที่การใช้ประโยชน์ที่เดินจากโปรแกรม Agzone 1.0 มาเคราะห์ที่เชิงช้อน กับแผนที่กลุ่มชุดเดียว และแผนที่ภูมิอากาศจากการประเมินของแบบจำลองภูมิอากาศระดับภูมิภาค (regional climate model)

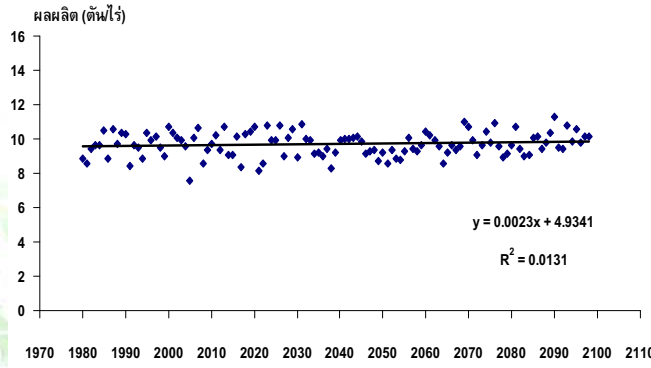
2. คาดการณ์ผลิตอ้อยโดยใช้แบบจำลองพืชในระบบสนับสนุนการตัดสินใจเพื่อถ่ายทอดเทคโนโลยีเกียรติ (DSSAT)

3. วิเคราะห์ผลกระทบต่อการผลิตอ้อยทั้งในเชิงเวลาและเชิงพื้นที่

ผลการวิจัย

ผลกระทบต่อผลผลิตในระยะยาว

ผลผลิตอ้อยในช่วงปี 1980-2099 มีแนวโน้มเพิ่มขึ้นจาก 9.6 ตัน/ไร่ ในปี 1980-89 เป็น 10.2 ตัน/ไร่ ในปี 2090-99 โดยผลผลิตเฉลี่ยของอ้อยเพิ่มขึ้น หรือลดลงระหว่างร้อยละ 96-106 เมื่อเทียบกับปีฐาน (1980-1989)

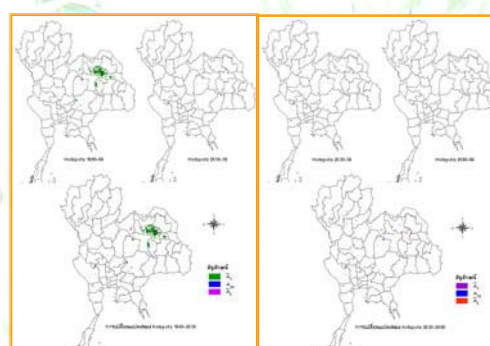
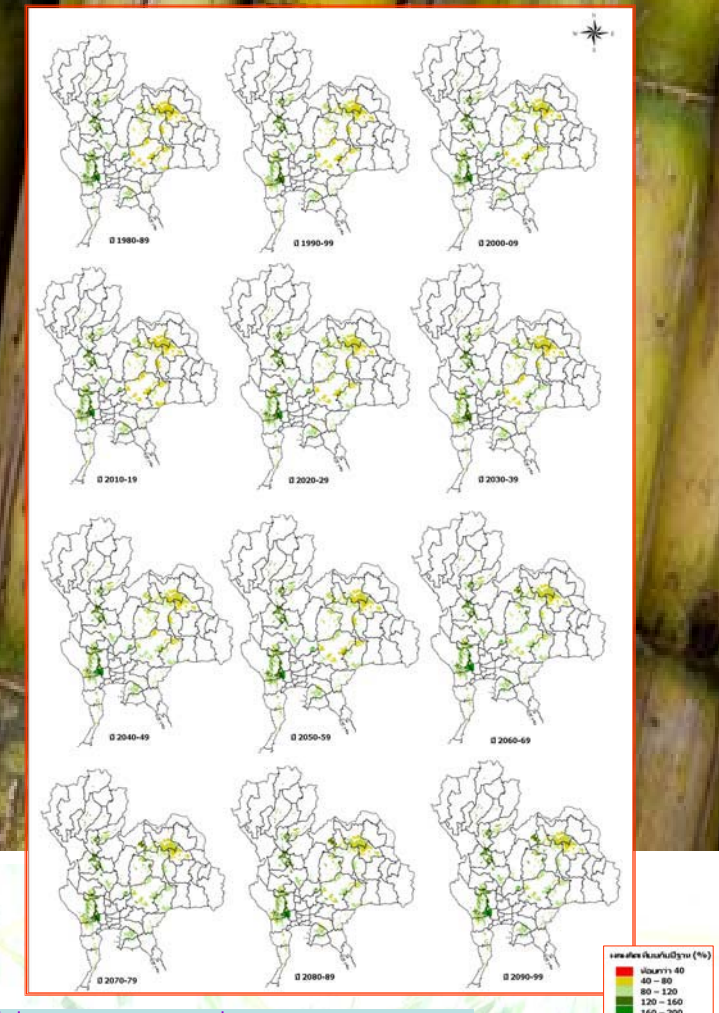


ผลกระทบต่อผลผลิตเชิงพื้นที่แต่ละช่วงเวลา

1. ผลผลิตของอ้อยในช่วงปี 1990-2029 คาดว่าจะออกผลเฉลี่ยต่อไร่ 40-80 เมตรต่อปี บนพื้นที่ผลผลิตอยู่ในช่วงร้อยละ 80-120 ในขณะที่ภาคเหนือ ภาคกลาง ภาคตะวันออก ผลผลิตอ้อยค่อนข้างต่ำกว่าค่าเฉลี่ยของปีฐาน ส่วนในภูมิภาคตอนใต้ ภาคตะวันตก ภาคใต้ คาดว่าจะออกผลเฉลี่ยต่อไร่ 80-120 ของปีฐาน และช่วงร้อยละ 80-120 ของปีฐาน ที่ได้ผลผลิตมากกว่าร้อยละ 120 ของปีฐาน

2. ในช่วงปี 2030-2069 ผลผลิตอ้อยส่วนใหญ่ในช่วงเดียวที่ร้อยละ 6 เมื่อเทียบกับปี 1990-2029 ยกเว้นในปี 2060-69 การเปลี่ยนแปลงของผลผลิตเมื่อเทียบกับปีฐาน ในพื้นที่ปลูกอ้อยจังหวัดเลยและชัยภูมิ เพิ่มขึ้นจากเดิมร้อยละ 80-120 เป็น 120-160

3. ในช่วงปี 2070-2098 ผลผลิตในภาคตะวันออกเฉียงเหนือ มีแนวโน้มเพิ่มสูงขึ้น โดยเฉพาะในจังหวัดเลย และชัยภูมิ ผลผลิตเมื่อเทียบกับปีฐานเพิ่มขึ้นในช่วงแรกๆ ร้อยละ 80-120 เป็นร้อยละ 120-160 ขณะเดียวกันพื้นที่ปลูกโดยรวมส่วนใหญ่เปลี่ยนเป็นอ้อยในช่วงร้อยละ 80-120 และยังมีพื้นที่นาส่วนระหว่างร้อยต่อจังหวัดอุดรธานี ขอนแก่น และกาฬสินธุ์ ที่ผลผลิตยังอยู่ในช่วงร้อยละ 40-80 ในขณะที่ภาคเหนือ ภาคกลาง และภาคตะวันออก ไม่มีการเปลี่ยนแปลง



สรุป

ผลกระทบจากการเปลี่ยนแปลงสภาพภูมิอากาศโลกต่อผลผลิตในระยะยาว ซึ่งเกิดจากการเพิ่มขึ้นของ CO2 และอุณหภูมิ ทำให้ผลผลิตอ้อยเพิ่มสูงขึ้นประมาณร้อยละ 6 เมื่อเทียบกับปี 1990-2029 การเปลี่ยนแปลงของผลผลิตกับความแปรปรวนรายปีและรายพื้นที่ มีความแปรปรวนร้อยละ 18 และ 23 ตามลำดับ การจำแนกพื้นที่ที่ได้รับผลกระทบที่รุนแรง (hotspots) ทั้งในแต่ละพื้นที่และเวลา พบว่า ผลผลิตอ้อยได้รับผลกระทบจากการเปลี่ยนแปลงของภูมิอากาศหนอยที่สุด พื้นที่ที่ผลผลิตต่ำในปี 1980-89 ส่วนใหญ่ในภาคตะวันออกเฉียงเหนือ แต่พื้นที่เหล่านี้ได้ลดลงอย่างต่อเนื่อง เหลือเพียงร้อยละ 1 ในช่วงปี 2030-2039 และร้อยละ 0.01 ในช่วงปี 2090-2099 สรุปได้ว่า การเปลี่ยนแปลงของสภาพภูมิอากาศจะมีผลกระทบในด้านลบต่อการผลิตอ้อย แต่ในขณะเดียวกัน ยังคงผลให้ผลผลิตอ้อยมีแนวโน้มเพิ่มสูงขึ้น 34%



ผลกระทบของภาวะโลกร้อนต่อการผลิตมันสำปะหลัง

ความสำคัญ

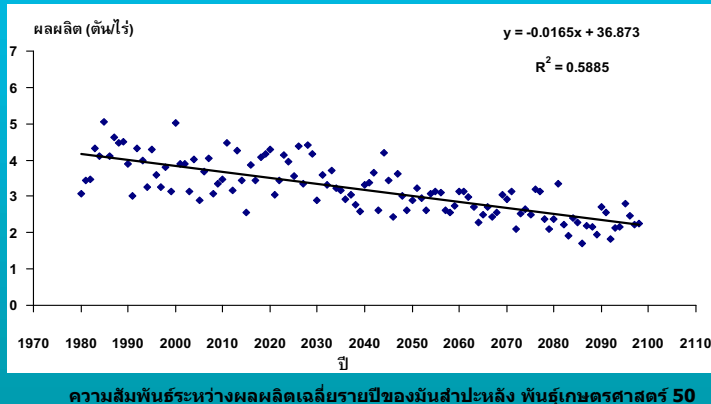
การเพิ่มขึ้นของ CO_2 เป็นเหตุที่ทำให้อุณหภูมิของโลกสูงขึ้น ปริมาณและรูปแบบการกระจายตัวของฝันเปลี่ยนแปลงไป มีความแปรปรวนและรุนแรงมากขึ้น แม้จะสามารถหยุดการปลดปล่อยก๊าซเรือนกระจก (greenhouse gases) ได้ทั้งหมดในช่วงหลังนี้ แต่ผลกระทบที่มีต่อสภาพภูมิอากาศ และระบบน้ำฝน ของโลกยังคงอยู่ต่อไปอีก ยาวนานนับศตวรรษ

ประเทศไทยเป็นประเทศเกษตรกรรม สภาพดินฟ้าอากาศที่เปลี่ยนแปลงไป จึงมีผลกระทบต่อระบบเศรษฐกิจและสภาพความเป็นอยู่ของประชาชน จำเป็นที่จะต้องเตรียมการในการปรับตัวและสร้างทางเลือกของระบบการผลิตเพื่อรองรับผลกระทบจากภาวะการณ์ต่างๆ วัตถุประสงค์ในการศึกษานี้ เพื่อรับมือสถานที่ เวลา และระดับความรุนแรง ของผลกระทบจากการโลกร้อนต่อการผลิตมันสำปะหลังของประเทศไทย ตั้งแต่ปี ค.ศ.1980-2099

ผลการวิจัย

ผลกระทบต่อผลผลิตในระยะยาว

ผลผลิตหัวสดของมันสำปะหลัง ตั้งแต่ปี 1980 - 2099 สมการ linear regression แสดงแนวโน้มของการลดลง โดยมีความเชื่อมั่นในระดับปานกลาง คือ มีค่า R^2 เท่ากับ 0.58



ผลกระทบต่อผลผลิตเชิงพื้นที่และช่วงเวลา

1) ช่วง 40 ปี จากปีฐาน (1990-2029) แหล่งปลูกมันสำปะหลังภาคตะวันออกเฉียงเหนือตอนบน ถนนจังหวัดหนองคาย และตอนเหนือของอุดรธานี และนครพนม รวมทั้งปริเวณตอนล่างของชลบุรีต่อ กับ บริเวณของ ผลผลิตจะลดลงจาก 3-5 ตันต่อไร่ มาอยู่ในระดับน้อยกว่า 3 ตันต่อไร่ ผลผลิตมีความแปรปรวน ค่อนข้างมาก แต่มีบางจุด เช่นบริเวณตะวันออกเฉียงใต้ของนครราชสีมาต่อกับบุรีรัมย์ ผลผลิตยังคงอยู่ในช่วงร้อยละ 80-120 เมื่อเทียบกับปีฐาน

2) ช่วง 50-80 ปี จากปีฐาน (2030-2069) ภาคตะวันออกเฉียงเหนือ ทั้งตอนบน ตอนกลาง และทางตะวันตก รวมทั้งในภาคตะวันตกของประเทศไทย และกาญจนบุรี ไปจนถึงกำแพงเพชร ผลผลิตจะลดลงมาอยู่ในระดับน้อยกว่า 3 ตันต่อไร่ หรือร้อยละ 40-80 เมื่อเทียบกับปีฐาน และมีบางบริเวณของจังหวัดบุรีรัมย์ ผลผลิตยังคงอยู่ในช่วงร้อยละ 80-120 และมีพื้นที่ปลูกบางจุดบริเวณทางใต้ของชลบุรีต่อ กับ ระยะของ ผลผลิตลดลงน้อยกว่าร้อยละ 40

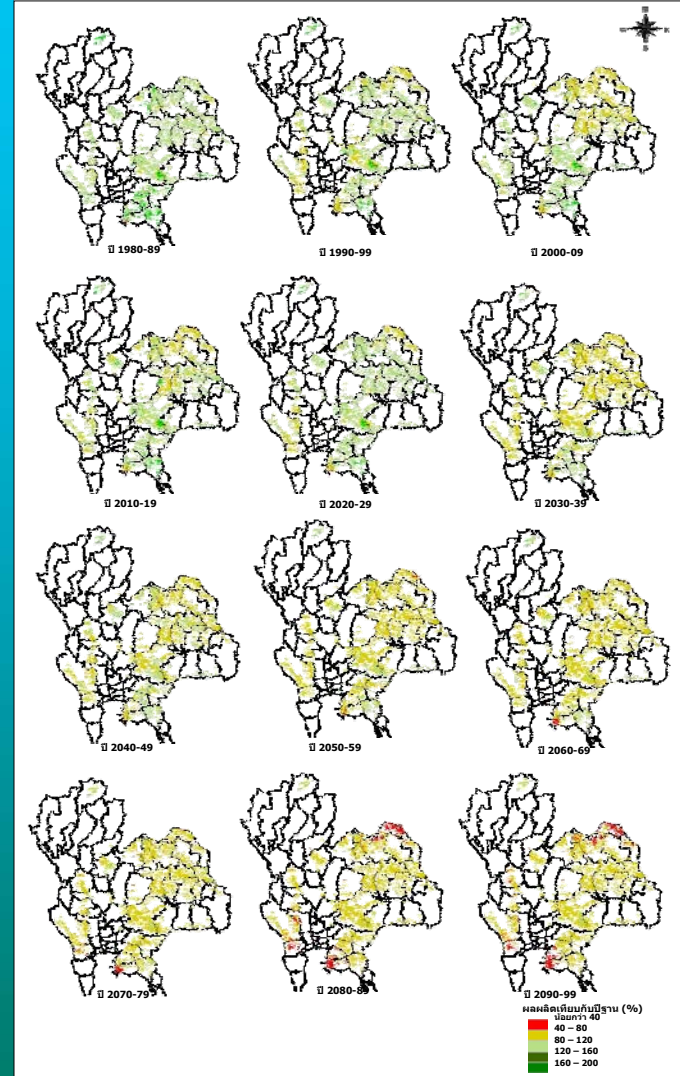
3) ช่วง 90 ปี หลังจากปีฐาน (2070-99) พื้นที่ปลูกมันสำปะหลังเกือบทั้งหมด จะได้รับผลกระทบจากการโลกร้อน โดยให้ผลผลิตในระดับต่ำกว่า 3 ตันต่อไร่ หรือร้อยละ 40-80 เมื่อเทียบกับปีฐาน โดยมีพื้นที่บางส่วนทางเหนือของอุดรธานี ต่อ กับ บริเวณของ ค่าย และทางใต้ของหน่องค่ายต่อ กับ บริเวณของชลบุรี ให้ผลผลิตน้อยกว่าร้อยละ 40 และพื้นที่ทางตอนใต้ของชลบุรีต่อ กับ ยะลา จุดเดียวที่มีขนาดของพื้นที่ที่ได้ผลผลิตน้อยกว่าร้อยละ 40 เพิ่มมากขึ้น ขณะที่ท่าน้ำจุดบริเวณตะวันออกเฉียงใต้ของประเทศไทยคือ บุรีรัมย์ ยังคงให้ผลผลิตร้อยละ 80-120 เมื่อเทียบกับปีฐาน

วิธีการศึกษา

1. นำแผนที่การใช้ประโยชน์ที่ได้จากการใช้โปรแกรม Agzone 1.0 มาวิเคราะห์เชิงข้อมูล กำหนดที่กลุ่มชุดดิน และแผนที่ภูมิอากาศจาก การประเมินของแบบจำลองภูมิอากาศระดับภูมิภาค (regional climate model)

2. คาดการณ์ผลลัพธ์โดยใช้แบบจำลองพืชในระบบสนับสนุน การตัดสินใจเพื่อถ่ายทอดเทคโนโลยีดิจิทัล (DSSAT)

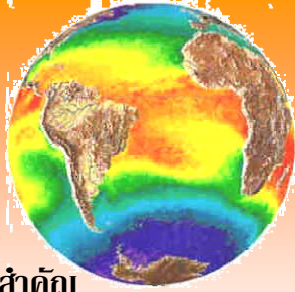
3. วิเคราะห์ผลกระทบต่อการผลิตมันสำปะหลังทั้งในเชิงเวลา และเชิงพื้นที่



สรุป

ผลกระทบจากการเปลี่ยนแปลงสภาพภูมิอากาศโลกต่อผลผลิตในระยะยาว เกิดขึ้นรุนแรง โดยที่ผลผลิตลดลงถึงร้อยละ 43 ความแปรปรวนรายปีมีค่าสูง นอกจำกัดภูมิอากาศแล้ว ยังมีผลกระทบจากความหลากหลายของคุณสมบัติของดินเกี่ยวกับช่วงระยะเวลา 33 ผลลัพธ์ดังกล่าวชี้ว่า การแก้ปัญหาผลผลิต จำเป็นต้องพิจารณาเป็นแต่ละกรณี ตามคุณสมบัติของพื้นที่นั้น ๆ การจัดเก็บพื้นที่ที่ได้รับผลกระทบที่รุนแรง (hotspots) จึงพิจารณาทั้งในเชิงของพื้นที่และเวลาควบคู่กัน โดยได้แบ่งระยะเวลาออกเป็น 3 ช่วงคือ ช่วงที่ 1 ปี 1980-89 ช่วงที่ 2 ปี 2030-39 และช่วงที่ 3 ปี 2090-99 พบว่า มันสำปะหลัง เป็นพืชที่ได้รับผลกระทบเป็นอย่างมาก โดยในช่วงปี 1980-89 มีพื้นที่ hotspots 91,776 ไร่ (ร้อยละ 0.70) ช่วงปี 2030-39 มีพื้นที่ 4,429,644 ไร่ (ร้อยละ 35) และในช่วงปี 2090-99 เพิ่มขึ้นเป็น 10,064,926 ไร่ (ร้อยละ 79) ครอบคลุมพื้นที่ปลูกทั้งประเทศ





ผลกระทบของการโลกร้อน

ต่อการผลิตข้าวโพด

ความสำคัญ

การเพิ่มขึ้นของ CO_2 เป็นเหตุทำให้อุณหภูมิของโลกสูงขึ้น ปริมาณและรูปแบบการกระจายตัวของฝนเปลี่ยนแปลงไป มีความแปรปรวนและรุนแรงมากขึ้น แม้จะสามารถยุดการปลดปล่อยก๊าซเรือนกระจก (greenhouse gases) ได้ ทั้งหมดในช่วงทศวรรษนี้ แต่ผลกระทบที่มีต่อสภาพภูมิอากาศ และระบบน้ำเตียน ของโลกยังคงอยู่ต่อไปอีก ยาวนานนับศตวรรษ

ประเทศไทยเป็นประเทศเกษตรกรรม สภาพดินฟ้าอากาศที่เปลี่ยนแปลงไป จึงมีผลกระทบต่อระบบเศรษฐกิจและสภาพความเป็นอยู่ของประชากร จำเป็นที่ จะต้องเดิมการในการปรับตัวและสร้างทางเลือกของระบบการผลิตพืชเพื่อ รองรับผลกระทบจากการเปลี่ยนแปลงของสภาพภูมิอากาศ ในการศึกษานี้ เพื่อรับ สถานที่ เวลา และระดับความรุนแรง ของผลกระทบจากภาวะโลกร้อนต่อการผลิต ข้าวโพดของประเทศไทย ตั้งแต่ปี ค.ศ.1980-2099

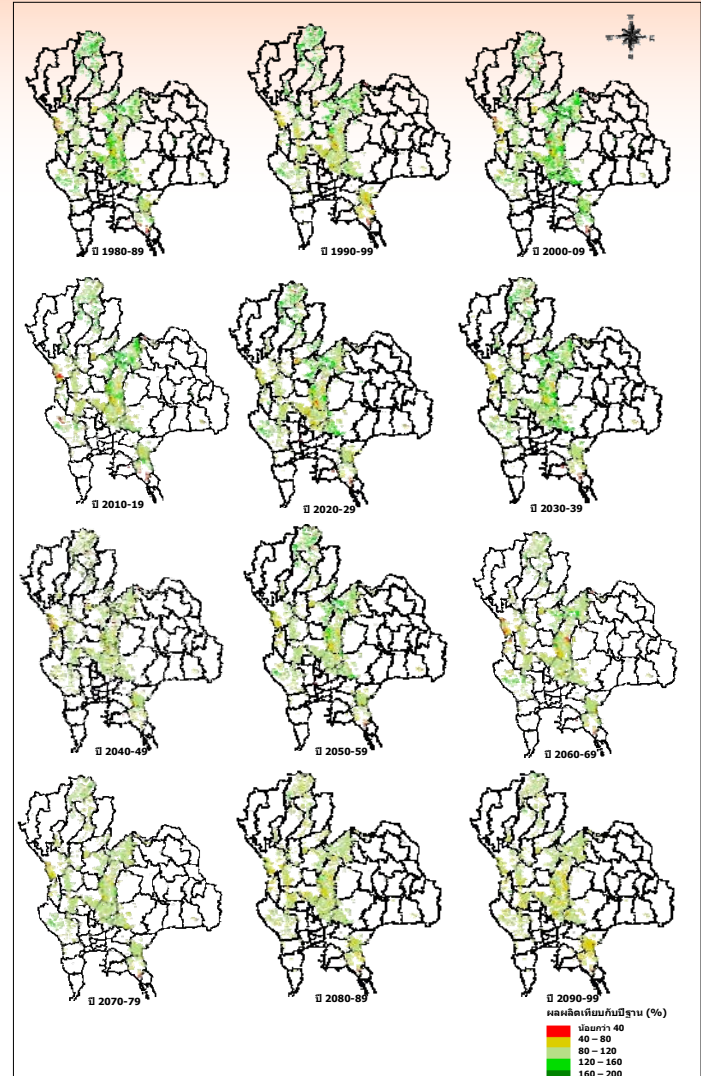
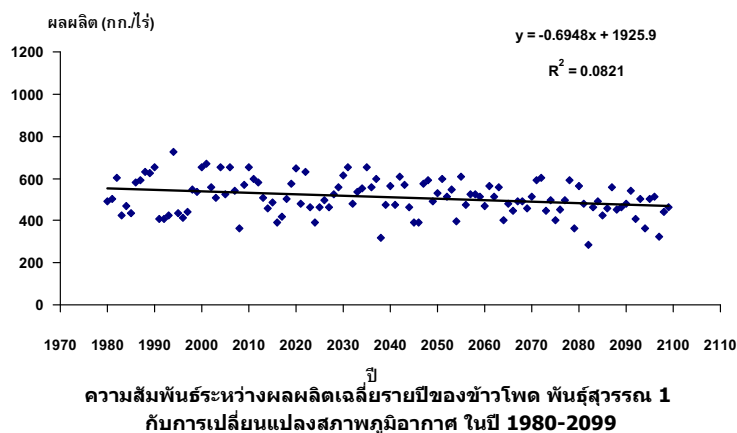
วิธีการที่ใช้

วิเคราะห์เชิงช้อน ร่วมกับแบบจำลองภูมิอากาศระดับภูมิภาค (regional climate model) คาดการณ์ผลิตอ้อยด้วยแบบจำลองพืชในระบบสนับสนุนการ ตัดสินใจเพื่อถ่ายทอดเทคโนโลยีเกษตร (DSSAT)

ผลการวิจัย

ผลกระทบต่อผลผลิตในระยะยา

ผลผลิตมันสำปะหลังในช่วงปี 1980-2099 มีแนวโน้มเพิ่มขึ้นจาก 9.6 ตัน/ไร่ ในปี 1980-89 เป็น 10.2 ตัน/ไร่ ในปี 2090-99 โดยผลผลิตเฉลี่ยของ อ้อยเพิ่มขึ้นหรือลดลงระหว่าง อุณหภูมิร้อยละ 96-106 เมื่อเทียบกับปีฐาน (1980-1989)



สรุป

การเปลี่ยนแปลงสภาพภูมิอากาศโลกมีผลต่อผลผลิตข้าวโพดในระยะ ยาว ทำให้ผลผลิตลดลง ร้อยละ 15 และมีความแปรปรวนของผลผลิตสูง ทั้งรายปีและรายพื้นที่ คิดเป็นร้อยละ 41 และ 45 ตามลำดับ ซึ่งมองจาก ภูมิอากาศแล้ว ยังมีผลกระทบจากการเปลี่ยนแปลงของสมบัติของดิน มากกว่าช่องตัว แต่เมื่อวิเคราะห์หน้าสนใจของความแปรปรวนตั้งกล่าว นั่นเองดัน กลับไม่พบความสัมพันธ์ที่ชัดเจนระหว่างปริมาณฝนในช่วงฤดู ปลูกกับผลผลิต ซึ่งอาจเกิดจากปฏิกิริยาความรุนแรงระหว่างปริมาณฝนและ คุณสมบัติอื่น ๆ ที่เกิดเฉพาะกับพื้นที่แต่ละแห่ง ผลลัพธ์ดังกล่าวซึ่งว่าการ แก้ปัญหาของผลผลิตข้าวโพดจำเป็นต้องพิจารณาคุณสมบัติของดินใน พื้นที่นั้น ๆ ร่วมด้วย เนื่องจากความแปรปรวนที่สูงทั้งที่ช่วงเวลาและพื้นที่ ตั้งกล่าว ประกอบกับมีปฏิกิริยาความรุนแรงกับภูมิอากาศและดิน การจำแนก พื้นที่ ที่ได้รับผลกระทบที่รุนแรง (hotspots) จึงพิจารณาทั้งในแง่ของ พื้นที่และเวลาควบคู่กัน และได้แบ่งระยะเวลาออกเป็น 3 ช่วง เช่นเดียวกับ มันสำปะหลัง ซึ่งการเปลี่ยนแปลงของ hotspots จะลดลงในช่วงปี 1980-89 ถึง 2030-39 แต่กลับเพิ่มขึ้นอีกในปี 2090-99

ผลกระทบต่อผลผลิตเชิงพื้นที่แต่ละช่วงเวลา

1) ช่วงปี 1990-2029 เปรียบเทียบกับ 1980-1989 ปรากฏว่า ภาคกลาง ซึ่ง เป็นแหล่งปลูกข้าวโพดหลักในท่อนของประเทศไทย (cornbelt) ได้แก่ นครสวรรค์ ลพบุรี เพชรบุรี และอุทัยธานี ผลผลิตข้าวโพดลดลงอยู่ระหว่าง 320-480 กิโลกรัมต่อไร่ หรือร้อยละ 40-80 โดยให้ผลผลิตเฉลี่ยต่ำกว่าปี 1980-1989 ซึ่งให้ผลผลิต 480-640 กิโลกรัมต่อไร่ หรือร้อยละ 80-120

2) ช่วงปี 2030-2069 เปรียบเทียบกับ 1980-1989 ปรากฏว่า พื้นที่ในส่วนที่ ให้ผลผลิตข้าวโพดลดลงขยายพื้นที่มากขึ้นในภาคกลาง ได้แก่ นครสวรรค์ ลพบุรี และเพชรบุรี รวมทั้งอุทัยธานี นอกจากราชภัฏนี้ ยังมีพื้นที่ปลูกข้าวโพดที่ให้ ผลผลิตลดลง อุณหภูมิร้อยละ 320-480 กิโลกรัมต่อไร่ หรือร้อยละ 40-80 เพิ่มมาก ขึ้น ส่วนภาคตะวันออกเฉียงเหนือ (นครราชสีมา และเลย) ภาคเหนือ(เชียงราย พะเยา แม่สาย และกำแพงเพชร) ให้ผลผลิตลดลงร้อยละ 120-160 เหลือ ผลผลิตอยู่ระหว่างร้อยละ 80-120 นอกจากราชภัฏ ด้านตะวันตกของจังหวัดตาก และ ตอนกลางของเพชรบุรี ให้ผลผลิตน้อยกว่าร้อยละ 40 เมื่อเทียบกับปีฐาน

3) ช่วงปี 2070-2099 เปรียบเทียบกับ 1980-1989 ปรากฏว่า พื้นที่ปลูก ข้าวโพดเกือบทั้งหมด ให้ผลผลิตลดลง อุณหภูมิร้อยละ 320-480 กิโลกรัมต่อไร่ หรือร้อยละ 40-80 ยกเว้นในบางพื้นที่ของจังหวัดพิษณุโลก ตอนใต้ของ นครราชสีมา ตอนกลางของเพชรบุรี ตอนกลางของคำพังเพชร ตอนเหนือ และตอนกลางของเลย และเชียงราย นอกจากราชภัฏ ที่ปลูกข้าวโพดในบางบาง พื้นที่ ได้แก่ คาดว่า ในผลผลิตเพิ่มขึ้นจาก 160-320 กิโลกรัมต่อไร่ เป็น 320-480 กิโลกรัมต่อไร่



สมชาย บุญประดับ
วิจารณ์ ดำเนินการเบิกด้วย
กรุงรัตนโกสินทร์
บริษัท บีเอนพีจำกัด

สำนักวิจัยและพัฒนาการเกษตรเขตที่ 2 กรมวิชาการเกษตร
ศูนย์วิจัยและพัฒนาเกษตรศาสตร์ กรมวิชาการเกษตร
ศูนย์เทคโนโลยีสารสนเทศ มหาวิทยาลัยแม่ข่าย



**ตารางเปรียบเทียบวัตถุประสงค์ กิจกรรมตามแผน
ผลที่คาดว่าจะได้รับตามแผน และผลการดำเนินการ**

วัตถุประสงค์	กิจกรรมตามแผน	ผลที่คาดว่าจะได้รับตามแผน	ผลการดำเนินการ
1. เพื่อจำลองภาพและประเมินผลกระทบจากการเปลี่ยนแปลงสภาพภูมิอากาศในอนาคต ต่อการผลิตพืชหลัก 4 ชนิด	<p>1.1 พัฒนาฐานข้อมูล</p> <p>1.1.1 ข้อมูลกายภาพ</p> <p>1.1.2 ข้อมูล สัมประสิทธิ์พันธุกรรม การจัดการพืช พื้นที่ปลูก และผลผลิตพืช</p>	<ul style="list-style-type: none"> - ข้อมูลสภาพภูมิอากาศจากการ模อตุนิยมวิทยา สำหรับแบบจำลองพืช DSSAT - ข้อมูลสภาพภูมิอากาศจากการจำลองโดยแบบจำลอง PRECIS ภายใต้เงื่อนไข IPCC SRES A2 และ B2 - ข้อมูลทางกายภาพและเคมีของชุดดินทั้งประเทศ - ข้อมูลคุณสมบัติพันธุ์ข้าว (genetic coefficient) - ข้อมูลการเจริญเติบโต ผลผลิต การจัดการ พันธุ์ที่ปลูกและตำแหน่งพิกัดของแปลง - พื้นที่ปลูกข้าวของทั้งประเทศ - ข้อมูลคุณสมบัติพันธุ์อ้อย (genetic coefficient) - ข้อมูลการเจริญเติบโต ผลผลิต การจัดการ พันธุ์ที่ปลูกและตำแหน่งพิกัดของแปลง - พื้นที่ปลูกอ้อยของทั้งประเทศ - ข้อมูลคุณสมบัติพันธุ์มันสำปะหลัง (genetic coefficient) - ข้อมูลการเจริญเติบโต ผลผลิต การจัดการ พันธุ์ที่ปลูกและตำแหน่งพิกัดของแปลง - พื้นที่ปลูกมันสำปะหลังของทั้งประเทศ - ข้อมูลคุณสมบัติพันธุ์ข้าวโพด (genetic coefficient) - ข้อมูลการเจริญเติบโต ผลผลิต การจัดการ พันธุ์ที่ปลูกและตำแหน่งพิกัดของแปลง - พื้นที่ปลูกข้าวโพดของทั้งประเทศ 	<p>เป็นไปตามแผน</p> <p>เป็นไปตามแผน</p>

วัตถุประสงค์	กิจกรรมตามแผน	ผลที่คาดว่าจะได้รับตามแผน	ผลการดำเนินการ
	1.1.3 กำหนดรูปแบบมาตรฐานข้อมูลเพื่อใช้ร่วมกัน	- ระบบฐานข้อมูลกลาง ได้แก่ ข้อมูลภูมิอากาศจาก การวัดและจากการจำลองข้อมูลการใช้ประโยชน์ และข้อมูลдин - ข้อมูลคุณสมบัติพืชและผลผลิต	เป็นไปตาม แผน
	1.2 ทดสอบต้นแบบระบบประเมินผลกระทบของการเปลี่ยนแปลงสภาพภูมิอากาศต่อระบบการผลิตพืชของประเทศไทย	- ผลการเปรียบเทียบการเจริญเติบโตและผลผลิต ข้าวที่ได้จากการจำลองกับค่าที่ได้จากการวัด ภาคสนาม - ผลการเปรียบเทียบการเจริญเติบโตและผลผลิต อ้อยที่ได้จากการจำลองกับค่าที่ได้จากการวัด ภาคสนาม - ผลการเปรียบเทียบการเจริญเติบโตและผลผลิต มันสำปะหลังที่ได้จากการจำลองกับค่าที่ได้จากการวัดภาคสนาม - ผลการเปรียบเทียบการเจริญเติบโตและผลผลิต ข้าวโพดที่ได้จากการจำลองกับค่าที่ได้จากการวัด ภาคสนาม - แบบจำลองที่ได้รับการตรวจสอบและ ปรับปรุงให้ สามารถประเมินผลผลิต ข้าว อ้อย มันสำปะหลัง และข้าวโพด ได้ดี	เป็นไปตาม แผน
	1.3 จัดทำหน่วยจำลองการผลิต (simulation unit) โดยใช้ GIS ซ้อนกับชั้นข้อมูล	- หน่วยจำลองการผลิตข้าว - หน่วยจำลองการผลิตอ้อย - หน่วยจำลองการผลิตมัน สำปะหลัง - หน่วยจำลองการผลิตข้าวโพด	เป็นไปตาม แผน
	1.4 จำลองการผลิตพืช ของประเทศไทยโดยใช้ข้อมูลภูมิอากาศ จำลองจำลองภูมิอากาศ PRECIS	ข้อมูลการเจริญเติบโตและผลผลิตของข้าวจากการจำลองการผลิตในช่วง ปี 2523-2532 ปี 2553-2582 และปี 2613-2642 - รูปแบบการเปลี่ยนแปลงด้านผลผลิตข้าวในแต่ละ พื้นที่และช่วงเวลา	เป็นไปตาม แผน

วัตถุประสงค์	กิจกรรมตามแผน	ผลที่คาดว่าจะได้รับตามแผน	ผลการดำเนินการ
	วิเคราะห์และจัดเก็บข้อมูลแนวโน้มของผลกระทบทั้งในเชิงพื้นที่และเวลาในระบบฐานข้อมูล	- ข้อมูลการเจริญเติบโตและผลผลิตของอ้อยจาก การจำลองการผลิตในช่วง ปี 2523-2532 ปี 2553-2582 และปี 2613-2642	เป็นไปตาม แผน
		<ul style="list-style-type: none"> - รูปแบบการเปลี่ยนแปลงด้านผลผลิตอ้อยในแต่ละ พื้นที่และช่วงเวลา - ข้อมูลการเจริญเติบโตและผลผลิตของมัน สำปะหลังจากการจำลองการผลิตในช่วง ปี 2523-2532 ปี 2553-2582 และปี 2613-2642 - รูปแบบการเปลี่ยนแปลงด้านผลผลิตมันสำปะหลัง ในแต่ละพื้นที่และช่วงเวลา - ข้อมูลการเจริญเติบโตและผลผลิตของข้าวโพด จากการจำลองการผลิตในช่วง ปี 2523-2532 ปี 2553-2582 และปี 2613-2642 - รูปแบบการเปลี่ยนแปลงด้านผลผลิตข้าวโพดใน แต่ละพื้นที่และช่วงเวลา - ผลกระทบของการเปลี่ยนแปลงสภาพภูมิอากาศ ในอนาคตต่อการผลิตพืชทั้ง 4 ชนิดภายใต้ climate change scenarios ที่มีรายละเอียดแสดงผลกระทบ ทั้งเชิงพื้นที่และเวลา 	<ul style="list-style-type: none"> เป็นไปตาม แผน เป็นไปตาม แผน เป็นไปตาม แผน
2. เพื่อวิเคราะห์ ทางเลือกของการ ผลิตพืชภายใต้ เงื่อนไขของลักษณะ พืช การจัดการผลิต และการใช้ที่ดิน	2.1 ใช้ Sensitivity analysis วิเคราะห์และสังเคราะห์ ทางเลือกโดยใช้ระบบประเมินผล และข้อมูลที่ได้จัดไว้แล้ว และเก็บ ผลการสังเคราะห์ไว้ในระบบ ฐานข้อมูล	<ul style="list-style-type: none"> - ทางเลือกที่มีประสิทธิภาพในการผลิตข้าวภายใต้ การเปลี่ยนแปลงสภาพภูมิอากาศ - ทางเลือกที่มีประสิทธิภาพในการผลิตอ้อยภายใต้ การเปลี่ยนแปลงสภาพภูมิอากาศ - ทางเลือกที่มีประสิทธิภาพในการผลิตมัน สำปะหลังภายใต้การเปลี่ยนแปลงสภาพภูมิอากาศ - ทางเลือกที่มีประสิทธิภาพในการผลิตข้าวโพด ภายใต้การเปลี่ยนแปลงสภาพภูมิอากาศ 	<ul style="list-style-type: none"> เป็นไปตาม แผน เป็นไปตาม แผน เป็นไปตาม แผน เป็นไปตาม แผน
	2.2 วิเคราะห์และสังเคราะห์ ทางเลือกของการใช้ที่ดิน	- ทางเลือกของการผลิตพืช และการใช้ที่ดิน ภายใต้ ภาวะโลกร้อน ที่จัดเก็บไว้ในระบบฐานข้อมูลในเชิง พื้นที่และเวลา ซึ่งสามารถนำมาใช้สนับสนุนการ กำหนดนโยบายได้	เป็นไปตาม แผน

ข้อมูลกลุ่มชุดดินและชุดดินตัวแทน

ข้อมูลกลุ่มชุดดิน มาตราส่วน 1 : 50,000 จากฐานข้อมูลสำนักสำรวจดินและวางแผนการใช้ที่ดิน กรมพัฒนาที่ดิน ซึ่งได้กำหนดชุดดินตัวแทนกลุ่มชุดดินขึ้น เพื่อให้สามารถนำลักษณะทางกายภาพและคุณภาพของชุดดินตัวแทนกลุ่มชุดดินไปใช้สำหรับนำเข้าในแบบจำลองการปลูกพืช

กลุ่มชุดดินที่ 1

กลุ่มดินเหนียวลีกมาก มีรอยแตกระแหงกว้างและลึก ปฏิกิริยาดินเป็นกรดเล็กน้อยถึงเป็นด่างเล็กน้อย การระบายน้ำเลวถึงค่อนข้างเลว ได้แก่ชุดดิน บ้านหมู่ (**Bm**)* บ้านโภชนา (**Bpo**) บูรีรัมย์ (**Br**) ช่องแคค (**Ck**) โคละเกรเทียม (**Kk**) และ วัฒนา (**Wa**)

ปัญหาการใช้ประโยชน์ที่ดิน ดินเหนียวจัด ยืดและหดตัวสูง โครงสร้างแน่นทึบ ดินแห้งแข็ง แตกระแหงกว้างและลึก ดินเปียกเหนียวมาก ไถพรวนยาก

กลุ่มชุดดินที่ 2

กลุ่มดินเหนียวลีกมาก ปฏิกิริยาดินเป็นกรดจัดมาก อาจพบจุดประสิทธิภาพของสารประกอบกำมะถันลีกกว่า 100 เซ็นติเมตร จากผิวดิน การระบายน้ำเลว ความอุดมสมบูรณ์ปานกลาง ได้แก่ชุดดิน อุบุรยา (**Ay**) บางเขน (**Bg**) บางน้ำเปรี้ยว (**Bp**) มหาโพธิ (**Ma**)* และ ท่าขวาง (**Tq**)

ปัญหาการใช้ประโยชน์ที่ดิน ดินเป็นกรดจัดมาก ทำให้เกิดการตรึงธาตุอาหารและปลดปล่อยสารที่เป็นพิษต่อพืช โครงสร้างแน่นทึบ ดินแห้งแข็งและแตกระแหงทำให้ไถพรวนยาก คุณภาพน้ำเป็นกรดจัดมาก

กลุ่มชุดดินที่ 3

กลุ่มดินเหนียวลีกมาก เกิดจากตะกอนน้ำกร่อย อาจพบชั้นดินเลนของตะกอนน้ำทะเลที่ไม่มีศักยภาพ ก่อให้เกิดเป็นдинกรดกำมะถันภายใต้ความลึก 150 เซ็นติเมตร จากผิวดิน ปฏิกิริยาดินเป็นกลางถึงเป็นด่าง การระบายน้ำเลว ความอุดมสมบูรณ์ปานกลางถึงสูง ได้แก่ชุดดิน บางกอก (**Bk**)* บางเลน (**Bl**) บางแพ (**Bph**) ฉะเชิงเทรา (**Cc**) และ สมุทรปราการ (**Sm**)

ปัญหาการใช้ประโยชน์ที่ดิน ดินมีโครงสร้างแน่นทึบ ดินแห้งแข็ง และแตกระแหง ทำให้ไถพรวนยาก บางพื้นที่อาจพบชั้นดินเลนที่มีเกลือสะสมอยู่ในดินล่าง

กลุ่มชุดดินที่ 4

กลุ่มดินเหนียวลีกมาก เกิดจากตะกอนล้ำน้ำที่มีอายุยังน้อย ปฏิกิริยาดินเป็นกลางถึงเป็นด่าง การระบายน้ำค่อนข้างเลว ความอุดมสมบูรณ์ปานกลาง ได้แก่ชุดดิน บางมูลนาก (**Ban**) บางปะอิน (**Bin**) ชัยนาท (**Cn**) ชุมแสง (**Cs**) พิมาย (**Pm**) ราชบูรี (**Rb**)* ยะลา (**Sb**) สิงหนาท (**Sin**) ศรีสัชนาลัย (**Ss**) ท่าพล (**Tn**) และ ท่าเรือ (**Tr**)

ปัญหาการใช้ประโยชน์ที่ดิน ดินมีโครงสร้างแน่นทึบ ดินแห้งแล้งและแตกระแหง ทำให้ไพรวนยากรากลุ่มชุดดินที่ 5

กลุ่มดินเหนียวลึกมาก เกิดจากตะกอนลำน้ำ ปฏิกิริยาดินเป็นกลางหรือเป็นต่าง การระบายน้ำเลว ความอุดมสมบูรณ์ต่ำถึงปานกลาง ได้แก่ชุดดิน หางดง (**Hd**)* ละงู (**Lgu**) และ พาน (**Ph**)

ปัญหาการใช้ประโยชน์ที่ดิน ดินมีความอุดมสมบูรณ์ต่ำ บางพื้นที่เสี่ยงต่อการขาดน้ำ

กลุ่มชุดดินที่ 6

กลุ่มดินเหนียวลึกมาก เกิดจากตะกอนลำน้ำ ปฏิกิริยาดินเป็นกรดจัดมากถึงกรดจัด การระบายน้ำเลว ถึงค่อนข้างเลว ความอุดมสมบูรณ์ต่ำ ได้แก่ชุดดิน บางนารา (**Ba**) เชียงราย (**Cr**)* สุไหงโกลก (**Gk**) แกลง (**KI**) คลองชุด (**Kut**) มโนรมย์ (**Mn**) นครพนม (**Nn**)* ปากท่อ (**Pth**)* พระ (Paw) พัทลุง (**Ptl**)* สตูล (**Stu**) ท่าศาลา (**Tsl**) และ วังตง (**Wat**)

ปัญหาการใช้ประโยชน์ที่ดิน ดินมีความอุดมสมบูรณ์ต่ำ บางพื้นที่ดินเป็นกรดจัดมาก

กลุ่มชุดดินที่ 7

กลุ่มดินเหนียวลึกมาก เกิดจากตะกอนลำน้ำ ปฏิกิริยาดินเป็นกลางถึงเป็นต่าง การระบายน้ำค่อนข้างเลว ความอุดมสมบูรณ์ปานกลาง ได้แก่ชุดดิน เดิมบาง (**Db**) ห่าน (**Na**) นครปฐม (**Np**)* ผักกาด (**Pat**) สุโขทัย (**Skt**) ท่าตูม (**Tt**)* อุตรดิตถ์ (**Utt**) และ ระโนด (**Ran**)

ปัญหาการใช้ประโยชน์ที่ดิน ดินมีโครงสร้างแน่นทึบ ดินแห้งแล้ง ทำให้ไพรวนยากรากลุ่มชุดดินที่ 8

กลุ่มชุดดินที่มีการยกร่องเพื่อเปลี่ยนสภาพการใช้ที่ดินจากนาข้าวเป็นพืชผักหรือไม้ผล ได้แก่ชุดดิน ดำเนินสะดวก (**Dg**) สมุทรสงคราม (**Sso**) และ ชนบุรี (**Tb**)

ปัญหาการใช้ประโยชน์ที่ดิน ขึ้นอยู่กับลักษณะและสมบัติดินเดิมก่อนมีการยกร่อง และแปลงปลูกโดยทั่วไปจะนำดินชั้นล่างที่มีโครงสร้างแน่นทึบ ความอุดมสมบูรณ์ต่ำมาก ชั้นดินที่เป็นกรดรุนแรงมากหรือเป็นดินเค็มมาไว้ที่ผิวดิน ทำให้ไม่เหมาะสมต่อการปลูกพืช

กลุ่มชุดดินที่ 9

กลุ่มดินเหนียวลึกมาก เกิดจากตะกอนน้ำทะเลที่เป็นดินเค็มและเบรี้ยวจัด ดินบนปฏิกิริยาเป็นกลางถึงเป็นต่าง การระบายน้ำเลว ความอุดมสมบูรณ์ต่ำถึงปานกลาง ได้แก่ชุดดิน ชะอ่า (**Ca**)*

ปัญหาการใช้ประโยชน์ที่ดิน ดินเป็นกรดรุนแรงมากและมีเกลือสะสมสูง โครงสร้างดินแน่นทึบ ทำให้ไพรวนยากรากลุ่มชุดดินที่ 9 อาจมีน้ำทะเลท่วมถึง

กลุ่มชุดดินที่ 10

กลุ่มดินเปรี้ยวจัดตื้น เกิดจากตะกอนน้ำทะเล ปฏิกิริยากรุนแรงมาก การระบายน้ำเลว ความอุดมสมบูรณ์ต่ำ ได้แก่ชุดดิน เชียรไหญ์ (Cyi) มูโนะ (Mu) และ องครักษ์ (Ok)*

ปัญหาการใช้ประโยชน์ที่ดิน ดินเป็นกรดรุนแรงมากหรือเป็นดินเปรี้ยวจัดตื้นภายในความลึก 50 เซนติเมตร จากผิวดิน เกิดการรึงของธาตุอาหารและมีสารที่เป็นพิษต่อพืชที่ปลูก มีโครงสร้างดินแน่นทึบ ดินแห้งแข็งและแตกระหง ทำให้โภคภานยาก คุณภาพน้ำเป็นกรดรุนแรงมาก

กลุ่มชุดดินที่ 11

กลุ่มดินเปรี้ยวจัดลึกปานกลาง เกิดจากตะกอนน้ำทะเล ปฏิกิริยาดินเป็นกรดจัดมาก การระบายน้ำเลว ความอุดมสมบูรณ์ต่ำ ได้แก่ชุดดิน ดอนเมือง (Dm) รังสิต (Rs)* เสนา (Se) และ ขัญบุรี (Tan)

ปัญหาการใช้ประโยชน์ที่ดิน ดินเป็นกรดจัดมากหรือเป็นดินเปรี้ยวจัด ลึกปานกลางในช่วงความลึก 50-100 เซนติเมตร จากผิวดิน เกิดการรึงของธาตุอาหารและมีสารที่เป็นพิษต่อพืชที่ปลูก มีโครงสร้างดินแน่นทึบ ดินแห้งแข็งและแตกระหง ทำให้โภคภานยาก คุณภาพน้ำเป็นกรดจัดมาก

กลุ่มชุดดินที่ 12

กลุ่มดินเลนเค็มชายทะเลและไม่มีศักยภาพก่อให้เกิดเป็นดินกรดกำมะถัน ปฏิกิริยาดินเป็นกรดถึงเป็นด่าง การระบายน้ำเลวมาก ความอุดมสมบูรณ์ปานกลางถึงสูง ได้แก่ชุดดิน ท่าจีน (Tc)*

ปัญหาการใช้ประโยชน์ที่ดิน ดินเลนเค็มที่มีน้ำทะเลท่วมถึงเป็นประจำวัน มีความสามารถในการทรงตัวของต้นพืชต่ำมาก ทำให้พืชล้มง่าย และมีน้ำทะเลท่วมเป็นประจำทุกวัน

กลุ่มชุดดินที่ 13

กลุ่มดินเลนเค็มชายทะเลที่มีศักยภาพก่อให้เกิดเป็นดินกรดกำมะถัน ปฏิกิริยาดินเป็นกรดถึงเป็นด่าง การระบายน้ำเลวมาก ความอุดมสมบูรณ์ปานกลางถึงสูง ได้แก่ชุดดิน บางปะกง (Bpg) และ ตะกั่วทุ่ง (Tkt)*

ปัญหาการใช้ประโยชน์ที่ดิน ดินเลนเค็มที่มีน้ำทะเลท่วมถึงเป็นประจำ มีศักยภาพก่อให้เกิดดินกรดกำมะถัน เกิดก้าซพิชไข่เน่า และก้าซมีเทน ซึ่งเป็นอันตรายต่อพืช ความสามารถในการทรงตัวของต้นพืชต่ำมาก ล้มง่าย เมื่อต้นแห้งจะแปรสภาพเป็นดินกรดกำมะถันและเค็ม และมีน้ำทะเลท่วมเป็นประจำทุกวัน

กลุ่มชุดดินที่ 14

กลุ่มดินเปรี้ยวจัดลึกปานกลางและมีชั้นดินเลนที่มีศักยภาพก่อให้เกิดเป็นดินเปรี้ยวจัดหรือดินกรดกำมะถันภายในความลึก 150 เซนติเมตร จากผิวดิน ดินบนปฏิกิริยาเป็นกรดจัดมากและดินล่างมีปฏิกิริยาดินเป็นกรดเล็กน้อยถึงเป็นด่าง การระบายน้ำเลว ความอุดมสมบูรณ์ต่ำ ได้แก่ชุดดิน ปัตตานี (Pti) ระยะ (Ra)* และ ตันไทร (Ts)

ปัญหาการใช้ประโยชน์ที่ดิน ดินเป็นกรดจัดมากหรือเป็นดินเปรี้ยวจัดลึกปานกลาง ดินชั้นล่างเป็นดินเลนที่มีศักยภาพก่อให้เกิดเป็นดินกรดกำมะถัน เกิดการตรึงของธาตุอาหารและมีสารที่เป็นพิษต่อพืชที่ปลูกคุณภาพน้ำเป็นกรดจัดมาก

กลุ่มชุดดินที่ 15

กลุ่มดินทรัยแบ่งลึกมาก เกิดจากตะกอนลำน้ำ ปฏิกิริยาดินเป็นกลางหรือเป็นด่าง การระบายน้ำ yavaş ค่อนข้างเลว ความอุดมสมบูรณ์ต่ำถึงปานกลาง ได้แก่ชุดดิน หล่มสัก (La) แม่สาย (Ms)* และ แม่ทะ (Mta)

ปัญหาการใช้ประโยชน์ที่ดิน หน้าดินแน่นทึบ ความอุดมสมบูรณ์ต่ำ บางพื้นที่เสี่ยงต่อการขาดน้ำ

กลุ่มชุดดินที่ 16

กลุ่มดินทรัยแบ่งลึกมาก เกิดจากตะกอนลำน้ำ ปฏิกิริยาดินเป็นกรดจัดมาก การระบายน้ำ yavaş ความอุดมสมบูรณ์ต่ำ ได้แก่ชุดดิน หินกอง (Hk) เกาะใหญ่ (Koy) จำปา (Lp)* พานทอง (Ptg) ครีเทพ (Sri) และ ตาโกใบ (Ta)

ปัญหาการใช้ประโยชน์ที่ดิน หน้าดินแน่นทึบ ความอุดมสมบูรณ์ต่ำ บางพื้นที่ดินเป็นกรดจัดมาก

กลุ่มชุดดินที่ 17

กลุ่มดินร่วนละเอียดลึกมาก เกิดจากตะกอนลำน้ำ ปฏิกิริยาดินเป็นกรดจัดมาก การระบายน้ำ yavaş ค่อนข้างเลว ความอุดมสมบูรณ์ต่ำ ได้แก่ชุดดิน บุณฑริก (Bt) สายบุรี (Bu)* เขมราช (Kmr) โคลเกียน (Ko)* หล่มเก่า (Lk) สุไหงปาดี (Pi) ปากคอม (Pkm) ร้อยเอ็ด (Re)* เรณู (Rn) สงขลา (Sng) และ วิสัย (Vi)

ปัญหาการใช้ประโยชน์ที่ดิน ดินมีความอุดมสมบูรณ์ต่ำ บางพื้นที่ ดินเป็นกรดจัดมาก เสี่ยงต่อการขาดน้ำ

กลุ่มชุดดินที่ 18

กลุ่มดินร่วนละเอียดลึกมาก เกิดจากตะกอนลำน้ำ ปฏิกิริยาดินกลางหรือเป็นด่าง การระบายน้ำ yavaş ค่อนข้างเลว ความอุดมสมบูรณ์ต่ำถึงปานกลาง ได้แก่ชุดดิน ชลบุรี (Cb) ไซยา (Cya) โคลสำโรง (Ksr) และ เช้าย้อย (Kyo)*

ปัญหาการใช้ประโยชน์ที่ดิน ดินมีความอุดมสมบูรณ์ต่ำ บางพื้นที่เสี่ยงต่อการขาดน้ำ

กลุ่มชุดดินที่ 19

กลุ่มดินร่วนหยาบ เกิดจากตะกอนลำน้ำมีชั้นแน่นทึบภายในความลึก 100 เซนติเมตร จากผิวดินปฏิกิริยาดินเป็นกรดจัดมากถึงเป็นด่างเล็กน้อย การระบายน้ำค่อนข้างเลว ความอุดมสมบูรณ์ต่ำ ได้แก่ชุดดินมะขาม (Mak) วิเชียรบุรี (Wb)*

ปัญหาการใช้ประโยชน์ที่ดิน ดินค่อนข้างเป็นทรายที่มีชั้นดานภัยในความลึก 100 เซนติเมตร จากผิวดิน ความอุดมสมบูรณ์ต่ำ เสี่ยงต่อการขาดน้ำ

กลุ่มชุดดินที่ 20

กลุ่มดินเค็มเกิดจากตะกอนสำ้ามีคราบเกลือ löoy หน้า หรือมีชั้นดานแข็งที่สะสมเกลือภัยในความลึก 100 เซนติเมตร จากผิวดิน ปฏิกิริยาดินเป็นกรดเล็กน้อยถึงเป็นด่าง การระบายน้ำค่อนข้างเลว ความอุดมสมบูรณ์ต่ำ ได้แก่ชุดดิน กุลาร่องไห (Ki)* หนองแก (Nk) ทุ่งสัมฤทธิ์ (Ts) และ อุดร (Ud)

ปัญหาการใช้ประโยชน์ที่ดิน ดินเค็ม มักพบชั้นดานแข็งที่มีการสะสมเกลือ เนื้อดินค่อนข้างเป็นทราย ความอุดมสมบูรณ์ต่ำ และขาดแคลนแร่ลงน้ำจืด ในพื้นที่ดินเค็มจัด มีคราบเกลือมาก

กลุ่มชุดดินที่ 21

กลุ่มดินร่วนขยายลึกมาก เกิดจากตะกอนสำ้าในส่วนต่ำของพื้นที่ริมแม่น้ำ ปฏิกิริยาดินเป็นกรดเล็กน้อยถึงเป็นกลาง การระบายน้ำค่อนข้างเลวถึงดีปานกลาง ความอุดมสมบูรณ์ปานกลาง ได้แก่ชุดดิน เพชรบุรี (Pb) และ สรรพยา (Sa)*

ปัญหาการใช้ประโยชน์ที่ดิน ดินค่อนข้างเป็นทราย เสี่ยงต่อการขาดน้ำ บางพื้นที่อาจได้รับอันตรายจากน้ำไหลบ่าท่วมขัง

กลุ่มชุดดินที่ 22

กลุ่มดินร่วนขยายลึกมาก เกิดจากตะกอนสำ้าเนื้อหายาน ปฏิกิริยาดินเป็นกรดจัดถึงเป็นกลาง การระบายน้ำเลวถึงค่อนข้างเลว ความอุดมสมบูรณ์ต่ำ ได้แก่ชุดดิน สีกน (St)* น้ำกระเจา (Ni) และ สันทราย (Sai)

ปัญหาการใช้ประโยชน์ที่ดิน ดินค่อนข้างเป็นทราย ความอุดมสมบูรณ์ต่ำ เสี่ยงต่อการขาดน้ำ

กลุ่มชุดดินที่ 23

กลุ่มดินทรายลึกมาก เกิดจากตะกอนทรายชายทะเล ปฏิกิริยาดินเป็นกรดเล็กน้อยถึงเป็นกลาง การระบายน้ำเลว ความอุดมสมบูรณ์ต่ำ ได้แก่ชุดดิน บางละมุง (BIm) ทรายขาว (Sak)* และ วัลเบรี่ยง (Wp)

ปัญหาการใช้ประโยชน์ที่ดิน เนื้อดินเป็นดินทรายหนา ความอุดมสมบูรณ์ต่ำ เสี่ยงต่อการขาดน้ำ บางพื้นที่ดินอาจมีน้ำท่วมขัง

กลุ่มชุดดินที่ 24

กลุ่มดินทรายลึกมาก เกิดจากตะกอนลำน้ำที่มีเนื้อดินเป็นดินทรายหนา ปฏิกิริยาดินเป็นกรด การระบายน้ำค่อนข้างເລວถึงดีปานกลาง ความอุดมสมบูรณ์ต่ำ ได้แก่ชุดดิน บ้านบึง (Bbg) ท่าอุเทน (Tu) และ อุบล (Ub)*

ปัญหาการใช้ประโยชน์ที่ดิน เนื้อดินเป็นดินทราย ความอุดมสมบูรณ์ต่ำ เสี่ยงต่อการขาดน้ำ และอาจมีน้ำท่วมขังในฤดูฝน

กลุ่มชุดดินที่ 25

กลุ่มดินดีน ปฏิกิริยาดินเป็นกรดจัดถึงเป็นด่างเล็กน้อย การระบายน้ำເລວถึงค่อนข้างເລວ ความอุดมสมบูรณ์ต่ำ ได้แก่ชุดดิน กันตัง (Kat) อัน (On) เพ็ญ (Pn)* พะยอมงาม (Pym) สะท้อน (Stn) ทุ่งค่าย (Tuk) และ ย่านตาขาว (Yk)

ปัญหาการใช้ประโยชน์ที่ดิน ดินดีนถึงก้อนกรวดหรือลูกรังภายในความลึก 50 เซนติเมตร จากผิวดินเสี่ยงต่อการขาดน้ำ ความอุดมสมบูรณ์ต่ำ บางพื้นที่มีก้อนหินหรือลูกรังบริเวณหน้าดินมาก

กลุ่มชุดดินที่ 26

กลุ่มดินเหนียวลึกมากสีดำ เกิดจากตะกอนลำน้ำหรือวัตถุตันกำเนิดดินเนื้อดินเยื่อ粘土 มีรอยแตกระแหง กว้างและลึก ปฏิกิริยาดินเป็นกรดจัดมาก การระบายน้ำดีถึงดีปานกลาง ความอุดมสมบูรณ์ปานกลางถึงสูง ได้แก่ชุดดิน อ่าวลึก (Ak) หัวโยง (Hp) กระเบี้ย (Kbi)* โคลกโลย (Koi) ลำภูรา (Li) ปากจัน (Pac) พังงา (Pga) ภูเก็ต (Pk) ประทิวา (Ptu) และ ท้ายเหมือง (Tim)

ปัญหาการใช้ประโยชน์ที่ดิน ดินมีความอุดมสมบูรณ์ต่ำ เกิดการชะล้างพังทลายได้ง่ายในพื้นที่มีความลาดชัน เสี่ยงต่อการขาดน้ำในระยะฝนทึ่งช่วง

กลุ่มชุดดินที่ 27

กลุ่มดินเหนียวจัดสีแดงลึกมาก เกิดจากหินภูเขาไฟ มีปฏิกิริยาดินเป็นกรดจัด การระบายน้ำดี ความอุดมสมบูรณ์ปานกลาง ได้แก่ หนองบอน (Nb) และ ท่าใหม่ (Ti)*

ปัญหาการใช้ประโยชน์ที่ดิน ดินมีความอุดมสมบูรณ์ต่ำ เกิดการชะล้างพังทลายได้ง่ายในพื้นที่มีความลาดชัน เสี่ยงต่อการขาดน้ำในระยะฝนทึ่งช่วง

กลุ่มชุดดินที่ 28

กลุ่มดินเหนียวลึกมากสีดำมีรอยแตกระแหงกว้างและลึก ปฏิกิริยาดินเป็นกลางถึงเป็นด่าง การระบายน้ำดีถึงดีปานกลาง ความอุดมสมบูรณ์ปานกลางถึงสูง ได้แก่ชุดดิน ชัยบาดาล (Cd) คงลาน (Dl) ลพบุรี (Lb)* น้ำเลน (Nal) วังชุมภู (Wc)

ปัญหาการใช้ประโยชน์ที่ดิน ดินเหนียวจัด แตกระแหงกว้างและลึก ดินแห้งแข็ง ดินเปียกเหนียวมาก ไส้พรวนยาก และเสียงต่อการขาดน้ำ

กลุ่มชุดดินที่ 29

กลุ่มดินเหนียวลึกถึงลึกมาก เกิดจากวัตถุดันกำเนิดดินเนื้อละเอียด ปฏิกิริยาดินเป็นกรดจัด การระบายน้ำดีถึงดีปานกลาง ความอุดมสมบูรณ์ต่ำ ได้แก่ชุดดิน บ้านจ่อง (Bg) เชียงของ (Cg) โซคซัย (Ci) แม่แตง (Mt) หนองมด (Nm) ปากช่อง (Pc)* และ สูงเนิน (Sn)

ปัญหาการใช้ประโยชน์ที่ดิน ดินมีความอุดมสมบูรณ์ต่ำ เสียงต่อการขาดน้ำ และเกิดการชะล้าง พังทลายได้ง่ายในพื้นที่ลาดชัน บางพื้นที่ดินเป็นกรดจัด

กลุ่มชุดดินที่ 30

กลุ่มดินเหนียวลึกถึงลึกมาก พบริเวณพื้นที่ภูเขา ปฏิกิริยาดินเป็นกรดจัด การระบายน้ำดี ความอุดมสมบูรณ์ปานกลาง ได้แก่ชุดดิน เชียงแสน (Ce) และ ดอยปุย (Dp)*

ปัญหาการใช้ประโยชน์ที่ดิน สภาพพื้นที่มีความลาดชันสูง เกิดการชะล้างพังทลายได้ง่าย

กลุ่มชุดดินที่ 31

กลุ่มดินเหนียวลึกถึงลึกมาก เกิดจากวัตถุดันกำเนิดดินเนื้อละเอียด ปฏิกิริยาดินเป็นกรดหือเป็นด่าง การระบายน้ำดีถึงดีปานกลาง ความอุดมสมบูรณ์ปานกลาง ได้แก่ชุดดิน เลย (Lo) และ วังไห (Wi)*

ปัญหาการใช้ประโยชน์ที่ดิน บางพื้นที่ลาดชันสูงเกิดการชะล้างพังทลายได้ง่าย

กลุ่มชุดดินที่ 32

กลุ่มดินร่วนหือดินทรายแป้งละเอียดลึกมาก เกิดขึ้นจากตะกอนแม่น้ำหือตะกอนน้ำพารูปัด ปฏิกิริยาดินเป็นกรดเล็กน้อยถึงเป็นกรด การระบายน้ำดีถึงปานกลาง ความอุดมสมบูรณ์ปานกลาง ได้แก่ชุดดิน ลำแก่น (Lam) รือเสาะ (Ro)* และ ตาขุน (Tkn)

ปัญหาการใช้ประโยชน์ที่ดิน เสียงต่อการขาดน้ำ บางพื้นที่อาจมีน้ำไหลบ่าท่วมขังฉบับพลันในระยะที่มีฝนตกหนัก

กลุ่มชุดดินที่ 33

กลุ่มดินทรายแป้งละเอียดหือดินร่วนละเอียดลึกมาก เกิดจากตะกอนแม่น้ำหือตะกอนน้ำพารูปัด ปฏิกิริยาดินเป็นกรดเล็กน้อยถึงเป็นกรด การระบายน้ำดีถึงปานกลาง ความอุดมสมบูรณ์ปานกลาง ได้แก่ชุดดิน คงยางเอน (Don) กำแพงเพชร (Kp) กำแพงแสน (Ks)* ล่าสันธิ (Ls) นำดูก (Nd) ราดูพนม (Tp) และ ตะพาบทิน (Tph)

ปัญหาการใช้ประโยชน์ที่ดิน เสี่ยงต่อการขาดน้ำในระยะที่ฝนทึบช่วง บางพื้นที่อาจพบชั้นดานแข็งที่เกิดจากการเขตกรรม

กลุ่มชุดดินที่ 34

กลุ่มดินร่วนละเอียดลึกถึงลึกมาก เกิดจากตะกอนลำน้ำ หรือวัตถุตันกำเนิดดินเนื้อหินปูน ปฏิกิริยาดินเป็นกรดจัด การระบายน้ำดีถึงดีปานกลาง ความอุดมสมบูรณ์ต่ำ ได้แก่ชุดดิน ฉลอง (Chi) ผึ้งแดง (Fd) ควาหลง (Kkl) คลองท่อม (Km) คลองน้ำกระทุง (Knk) ละหาน (Lh) นาท่าม (Ntm) และ ท่าแซะ (Te)*

ปัญหาการใช้ประโยชน์ที่ดิน ดินปนทราย ความอุดมสมบูรณ์ต่ำ ในพื้นที่ที่มีความลาดชันดินเกิดการชะล้างพังทลายได้ง่าย

กลุ่มชุดดินที่ 35

กลุ่มดินร่วนละเอียดลึกถึงลึกมาก เกิดจากตะกอนลำน้ำหรือวัตถุตันกำเนิดดินเนื้อหินปูน ปฏิกิริยาดินเป็นกรดจัดมาก การระบายน้ำดีถึงดีปานกลาง ความอุดมสมบูรณ์ต่ำ ได้แก่ชุดดิน ดอนไร (Dr) ด่านซ้าย (Ds) ห้างฉัตร (Hc) โคราช (Kt) มหาบอน (Mb) สตึก (Suk) วาริน (Wn)* และ ยโซธาร (Yt)

ปัญหาการใช้ประโยชน์ที่ดิน ดินปนทราย ความอุดมสมบูรณ์ต่ำ เสี่ยงต่อการขาดน้ำ บางพื้นที่มีความลาดชันเกิดการชะล้างพังทลายได้ง่าย บางพื้นที่ดินเป็นกรดจัดมาก

กลุ่มชุดดินที่ 36

กลุ่มดินร่วนละเอียดลึกถึงลึกมาก เกิดจากตะกอนลำน้ำหรือวัตถุตันกำเนิดดินเนื้อหินปูน ปฏิกิริยาดินกลางหรือเป็นต่าง การระบายน้ำดีถึงดีปานกลาง ความอุดมสมบูรณ์ต่ำถึงปานกลาง ได้แก่ชุดดิน เพชรบูรณ์ (Pe) ปราสาบบุรี (Pr)* และ สีคิ้ว (Si)

ปัญหาการใช้ประโยชน์ที่ดิน ดินปนทราย ความอุดมสมบูรณ์ต่ำ เสี่ยงต่อการขาดน้ำ และในพื้นที่ที่มีความลาดชันเกิดการชะล้างพังทลายได้ง่าย

กลุ่มชุดดินที่ 37

กลุ่มดินร่วนหยาบลึกปานกลาง เกิดจากการสลายตัวหรือพัดพาตะกอนเนื้อหินมาทับลงชั้นหินผุในช่วงความลึก 50-100 เซนติเมตร จากผิวดิน ปฏิกิริยาดินเป็นกรดจัดมาก การระบายน้ำดีถึงดีปานกลาง ความอุดมสมบูรณ์ต่ำ ได้แก่ชุดดิน บ่อไทย (Bo) นาคู (Nu)* และ ทับเสลา (Tas)

ปัญหาการใช้ประโยชน์ที่ดิน ดินปนทราย ความอุดมสมบูรณ์ต่ำ ในพื้นที่ที่มีความลาดชัน เกิดการชะล้างพังทลายได้ง่าย

กลุ่มชุดดินที่ 38

กลุ่มดินร่วนขยายลึกมาก เกิดจากตะกอนริมแม่น้ำ มีปฏิกิริยาดินเป็นกรดเล็กน้อยถึงปานกลาง การระบายน้ำดีถึงดีปานกลาง ความอุดมสมบูรณ์ปานกลาง ได้แก่ชุดดิน เชียงใหม่ (Cm) ชุมพลบุรี (Cph) ดอนเจดีย์ (Dc) ไทรราม (Sg)* และ ท่าม่วง (Tm)

ปัญหาการใช้ประโยชน์ที่ดิน เนื้อดินค่อนข้างเป็นทราย บางพื้นที่อาจมีน้ำท่วมขังหรือไหลบ่าท่วมขังอย่างจัดพลันในระยะที่มีฝนตกหนัก

กลุ่มชุดดินที่ 39

กลุ่มดินร่วนขยายลึกถึงลึกมาก เกิดจากตะกอนลำน้ำหรือวัตถุตันกำเนิดดินเนื้อหยาบ ปฏิกิริยาดินเป็นกรดจัด การระบายน้ำดีถึงดีปานกลาง ความอุดมสมบูรณ์ต่ำ ได้แก่ชุดดิน คอหงษ์ (Kh) นาทวี (Nat)* สะเดา (Sd) และ ทุ่งหว้า (Tg)

ปัญหาการใช้ประโยชน์ที่ดิน ดินปนทราย ความอุดมสมบูรณ์ต่ำ ในพื้นที่ที่มีความลาดชันเกิดการชะล้างพังทลายได้ง่าย

กลุ่มชุดดินที่ 40

กลุ่มดินร่วนขยายลึกถึงลึกมาก เกิดจากตะกอนลำน้ำหรือวัตถุตันกำเนิดหยาบ ปฏิกิริยาดินเป็นกรดจัด หรือเป็นกลาง การระบายน้ำดีถึงปานกลาง ความอุดมสมบูรณ์ต่ำ ได้แก่ชุดดิน จักราช (Ckr)* ชุมพวง (Cpg) หุบกระพง (Hg) หัวยแทลง (Ht) สันป่าด่อง (Sp) และ ยางตลาด (Yl)

ปัญหาการใช้ประโยชน์ที่ดิน ดินปนทราย ความอุดมสมบูรณ์ต่ำ ในพื้นที่ที่มีความลาดชันเกิดการชะล้างพังทลายได้ง่าย

กลุ่มชุดดินที่ 41

กลุ่มดินทรายหนาปานกลาง เกิดจากตะกอนลำน้ำหรือตะกอนเนื้อหยาบทับอ่อยบนชั้นดินที่มีเนื้อดินเป็นดินร่วนปนดินเหนียวหรือดินร่วนเหนียวปนทรายเบ่ง ปฏิกิริยาดินเป็นกรดเล็กน้อยถึงปานกลาง การระบายน้ำดี ออยบนชั้นดินที่มีการระบายน้ำดีปานกลาง ความอุดมสมบูรณ์ต่ำ ได้แก่ชุดดิน บ้านไผ่ (Bpi) คำบาง (Kg) และ มหาสารคาม (Msk)*

ปัญหาการใช้ประโยชน์ที่ดิน ดินทรายหนาปานกลาง ความอุดมสมบูรณ์ต่ำ ในระยะที่ฝนตกหนักจะมีน้ำขังหรือเกิดการชะล้างพังทลายได้ง่าย

กลุ่มชุดดินที่ 42

กลุ่มดินทรายที่มีชั้นดานอินทรีย์ ภายในความลึก 100 เซนติเมตร จากผิวดิน ปฏิกิริยาดินเป็นกรดเล็กน้อยถึงปานกลาง การระบายน้ำค่อนข้างมาก อญูบันชั้นดินที่มีการระบายน้ำดีปานกลางถึงค่อนข้างเลว ความอุดมสมบูรณ์ต่ำ ได้แก่ชุดดิน บ้านทอน (Bh)*

ปัญหาการใช้ประโยชน์ที่ดิน ดินทรายที่มีชั้นดานอินทรีย์ภายในความลึก 100 เซนติเมตร มีชั้นทรายสีขาวหนาที่มีความอุดมสมบูรณ์ต่ำมาก ในช่วงฝนตกหนักจะมีน้ำขังอยู่บริเวณผิวน้ำดิน

กลุ่มชุดดินที่ 43

กลุ่มดินทรายลึกมาก เกิดจากตะกอนลำน้ำหรือสันทรายชายทะเล ปฏิกิริยาดินเป็นกรดเล็กน้อยถึงเป็นด่าง การระบายน้ำค่อนข้างดีมาก ความอุดมสมบูรณ์ต่ำ ได้แก่ชุดดิน บ้าเจาะ (Bc) คงตะเคียน (Dt) หัวพิน (Hh) หลังสวน (Lan)* ไม้ขาว (Mik) พักยา (Py) ระยอง (Ry) และ สัตหีบ (Sh)

ปัญหาการใช้ประโยชน์ที่ดิน เนื้อดินเป็นทรายจัด ทำให้มีความสามารถในการอุ้มน้ำได้น้อย พืชจะแสดงอาการขาดน้ำอยู่เสมอ และมีความอุดมสมบูรณ์ต่ำมาก

กลุ่มชุดดินที่ 44

กลุ่มดินทรายหนา เกิดจากตะกอนลำน้ำหรือตะกอนเนื้อหยาบ ปฏิกิริยาดินเป็นกรดเล็กน้อยถึงเป็นกลาง การระบายน้ำค่อนข้างมาก ความอุดมสมบูรณ์ต่ำ ได้แก่ชุดดิน จันทึก (Cu) ด่านขุนทด (Dk) และ ห้าพอง (Ng)*

ปัญหาการใช้ประโยชน์ที่ดิน ดินทรายหนา ความอุดมสมบูรณ์ต่ำ เสี่ยงต่อการขาดน้ำ หน้าดินเกิดการชะล้างพังทลายได้ง่าย

กลุ่มชุดดินที่ 45

กลุ่มดินตีนถีนลูกรัง เศษหินหรือก้อนหิน ปฏิกิริยาดินเป็นกรดจัด การระบายน้ำของดินตีนถีนถึงปานกลาง ความอุดมสมบูรณ์ต่ำ ได้แก่ชุดดิน ดินชุมพร (Cp) หาดใหญ่ (Hy) คลองชาก (Kc)* เข้าขาด (Kkt) หนองคล้า (Nok) ท่าจาง (Tac) และ ยะลา (Ya)

ปัญหาการใช้ประโยชน์ที่ดิน ดินตีนถีนลูกรัง พบร่องรอยหินหรือก้อนกรวด ภายในความลึก 50 เซนติเมตร จากผิวดิน บางพื้นที่พบลูกรัง เศษหิน หรือก้อนกรวดกระჯัดกระจายทั่วไปอยู่บริเวณผิวน้ำดิน ความอุดมสมบูรณ์ต่ำ และในพื้นที่ที่มีความลาดชันจะเกิดการชะล้างทลายได้ง่าย

กลุ่มชุดดินที่ 46

กลุ่มดินตื้นถึงก้อนกรวดหรือเศษหินปนลูกรังหนามาก ปฏิกิริยาดินเป็นกรดจัดมาก การระบายน้ำดี ความอุดมสมบูรณ์ต่ำ ได้แก่ชุดดิน เชียงคาน (**Ch**)* กบินทร์บุรี (**Kb**) โป่งตอง (**Po**) และ สุรินทร์ (**Su**)

ปัญหาการใช้ประโยชน์ที่ดิน ดินตื้นถึงชั้นก้อนกรวดหรือเศษหินปนลูกรังหนามาก ความอุดมสมบูรณ์ต่ำ เกิดการชะล้างพังทลายสูญเสียหน้าดินในพื้นที่ที่มีความลาดชัน และบางพื้นที่มีก้อนกรวดหรือเศษหินกระჯัดกระจายอยู่ที่ผิวดิน

กลุ่มชุดดินที่ 47

กลุ่มดินตื้นถึงชั้นหินพื้น ปฏิกิริยาดินเป็นกรดถึงเป็นกลาง มีการระบายน้ำดี ความอุดมสมบูรณ์ต่ำ ได้แก่ชุดดิน ลี (**Li**) มากเหล็ก (**MI**)* นครสรวรรค์ (**Ns**) โป่งน้ำร้อน (**Pon**) สมปราบ (**So**) และ ท่าลี (**Tl**)

ปัญหาการใช้ประโยชน์ที่ดิน ดินตื้นถึงชั้นหินพื้น ความอุดมสมบูรณ์ต่ำ เกิดการชะล้างพังทลายในพื้นที่ลาดชัน บางพื้นที่มีเศษหินหรือพื้นที่โคลนบริเวณหน้าดิน

กลุ่มชุดดินที่ 48

กลุ่มดินตื้นถึงก้อนหินหรือเศษหินและอาจพบชั้นหินพื้นภายในความลึก 150 เซ็นติเมตร จากผิวดิน ปฏิกิริยาดินเป็นกรดถึงเป็นกลาง การระบายน้ำดี ความอุดมสมบูรณ์ต่ำ ได้แก่ชุดดิน แมริม (**Mr**) น้ำชุน (**Ncu**) พะ夷า (**Pao**) และ ท่ายาง (**Ty**)*

ปัญหาการใช้ประโยชน์ที่ดิน ดินตื้นถึงชั้นก้อนกรวดหรือลูกรังหนามาก ความอุดมสมบูรณ์ต่ำ เกิดการชะล้างพังทลายในพื้นที่ที่มีความลาดชัน

กลุ่มชุดดินที่ 49

กลุ่มดินตื้นถึงลูกรังหรือชั้นเชื่อมแม่น้ำของเหล็กทับอยู่บนชั้นดินเหนียว ปฏิกิริยาดินเป็นกรดถึงเป็นกลาง การระบายน้ำดีถึงดีปานกลาง ความอุดมสมบูรณ์ต่ำ ได้แก่ชุดดิน บรรบือ (**Bb**) โพนพิสัย (**Pp**)* skł (**Sk**) และ สารแก้ว (**Ska**)

ปัญหาการใช้ประโยชน์ที่ดิน ดินตื้นถึงชั้นก้อนกรวดหรือลูกรังที่ทับอยู่บนชั้นดินเหนียว ความอุดมสมบูรณ์ต่ำ เกิดการชะล้างพังทลายในพื้นที่ที่มีความลาดชัน

กลุ่มชุดดินที่ 50

กลุ่มดินร่วนลึกปานกลางถึงเศษหิน ก้อนหินหรือชั้นหินพื้น ปฏิกิริยาดินเป็นกรดจัดมาก การระบายน้ำดี ความอุดมสมบูรณ์ต่ำ ได้แก่ชุดดิน พะเตี๊ยะ (**Pto**)* และ สวี (**Sw**)

ปัญหาการใช้ประโยชน์ที่ดิน ดินค่อนข้างเป็นทราย ความอุดมสมบูรณ์ต่ำ พื้นที่ที่มีความลาดชัน เกิดการชะล้างพังทลายสูญเสียหน้าดินได้ง่าย ทำให้เกิดเป็นดินตื้นและยากต่อการปรับปรุงแก้ไข

กลุ่มชุดดินที่ 51

กลุ่มดินตื้นถึงชั้นหินพื้น ปฏิกิริยาดินเป็นกรดจัด การระบายน้ำดีถึงค่อนข้างดีมาก ความอุดมสมบูรณ์ต่ำ ได้แก่ชุดดิน หวยยอด (Ho)* คลองเต็ง (Kit) ระโนง (Rg) และ ยื่งอ (Yg)

ปัญหาการใช้ประโยชน์ที่ดิน ดินตื้นถึงชั้นหินพื้นภายนอกในความลึก 50 เซนติเมตร บางพื้นที่มีเศษหินและหินพื้นโผล่กระჯัดกระจายอยู่บริเวณหน้าดิน ความอุดมสมบูรณ์ต่ำ ในพื้นที่ที่มีความลาดชันสูงมากจะเกิดการชะล้างพังทลายของหน้าดิน

กลุ่มชุดดินที่ 52

กลุ่มดินตื้นถึงชั้นมาრ์ลหรือก้อนปูน ปฏิกิริยาดินเป็นด่าง การระบายน้ำดี ความอุดมสมบูรณ์ปานกลางถึงสูง ได้แก่ชุดดิน บึงชนะ (Bng) และ ตาคลี (Tk)*

ปัญหาการใช้ประโยชน์ที่ดิน ดินตื้นถึงชั้นปูนมาาร์ลหรือก้อนปูน ดินแห้งแข็ง ดินเปียกเหนียว ทำให้ไถพรวนยาก ขาดแคลนน้ำ และดินเป็นด่างจัด

กลุ่มชุดดินที่ 53

กลุ่มดินเหนียวลึกปานกลางถึงชั้นหินพื้น ลูกรังหรือเศษหิน ปฏิกิริยาดินเป็นกรดจัด การระบายน้ำดี ความอุดมสมบูรณ์ต่ำ ได้แก่ชุดดิน นาทอน (Ntn)* โอล่าเจียก (Oc) ประดังเบซาร์ (Pad) ตราด (Td) และ ตรัง (Tng)

ปัญหาการใช้ประโยชน์ที่ดิน ดินลึกปานกลางถึงชั้นกรวดลูกรัง เศษหินหรือชั้นหินพื้นในช่วงความลึก 50-100 เซนติเมตร ความอุดมสมบูรณ์ต่ำ พื้นที่ที่มีความลาดชันสูงมากจะเกิดการชะล้างพังทลายค่อนข้างสูง ทำให้เกิดเป็นดินตื้น

กลุ่มชุดดินที่ 54

กลุ่มดินลึกปานกลางถึงชั้นมาาร์ลหรือก้อนปูน ปฏิกิริยาดินเป็นด่าง การระบายน้ำดี ความอุดมสมบูรณ์ปานกลาง ได้แก่ชุดดิน ลำพญากลาง (Lg) ลำหารายณ์ (Ln)* และ สมอทodor (Sat)

ปัญหาการใช้ประโยชน์ที่ดิน ดินเป็นด่างจัดและมีชั้นมาาร์ลหรือก้อนปูนช่วงความลึก 10 เซนติเมตร ดินแห้งแข็ง ดินเปียกเหนียว ไถพรวนยาก และเสี่ยงต่อการขาดน้ำ

กลุ่มชุดดินที่ 55

กลุ่มดินลึกปานกลางถึงชั้นหินพื้นเศษหิน ก้อนหินหรือลูกรัง ปฏิกิริยาดินเป็นกลางหรือเป็นต่าง การระบายน้ำดีถึงดีปานกลาง ความอุดมสมบูรณ์ปานกลาง ได้แก่ชุดดิน จัตุรัส (Ct)* และ วังสะพุง (Ws)

ปัญหาการใช้ประโยชน์ที่ดิน ดินลึกปานกลางถึงชั้นหินพื้น เศษหิน หรือกรวดลูกรัง เกิดการชะล้างพังทลายในพื้นที่ลาดชัน และเสี่ยงต่อการขาดน้ำ

กลุ่มชุดดินที่ 56

กลุ่มดินลึกปานกลางถึงชั้นหินพื้น เศษหินหรือลูกรัง ปฏิกิริยาดินเป็นกรดจัด การระบายน้ำดีถึงดีปานกลาง ความอุดมสมบูรณ์ต่ำ ได้แก่ชุดดิน ลาดหญ้า (Ly)* ภูสนา (Ps) และ โพนางงาม (Png)

ปัญหาการใช้ประโยชน์ที่ดิน ดินลึกปานกลางถึงชั้นหินพื้น เศษหิน หรือกรวดลูกรัง เกิดการชะล้างพังทลายในพื้นที่ลาดชัน บางพื้นที่เป็นดินกรดจัดมาก

กลุ่มชุดดินที่ 57

กลุ่มดินที่มีวัสดุอินทรีย์หนา 40-100 เซนติเมตร จากผิวดิน ทับอยู่บนตะกอนน้ำทะเล ปฏิกิริยาดินเป็นกรดจัดมาก การระบายน้ำเลวมาก ความอุดมสมบูรณ์ต่ำ มีน้ำท่วมขังนานเกือบตลอดปี ได้แก่ชุดดิน กากแดง (Kd)*

ปัญหาการใช้ประโยชน์ที่ดิน เนื้อดินเป็นเศษชิ้นส่วนของพืชสะสมปานกลางและเป็นกรดจัดมาก มีน้ำท่วมขังเกือบตลอดทั้งปี เมื่อต้นอินทรีย์แห้ง จะยุบตัวมาก ติดไฟร่ายและดับยาก มีรากบางตัวมากจนเป็นพิษต่อพืชที่ปลูกและขาดธาตุอาหารบางตัวอย่างรุนแรง คุณภาพน้ำเป็นกรดจัดมากและขาดแคลนเหล็กน้ำจืด

กลุ่มชุดดินที่ 58

กลุ่มดินที่มีวัสดุอินทรีย์หนามากกว่า 100 เซนติเมตร จากผิวดิน มีปฏิกิริยาดินเป็นกรดและมีการระบายน้ำเลวมาก ความอุดมสมบูรณ์ต่ำ มีน้ำท่วมขังนานเกือบตลอดปี ได้แก่ชุดดิน นราธิวาส (Nw)*

ปัญหาการใช้ประโยชน์ที่ดิน มีเศษชิ้นส่วนของพืชสะสมและเป็นกรดจัดมาก มีน้ำท่วมขังเกือบตลอดทั้งปี เมื่อต้นอินทรีย์แห้ง จะยุบตัวมาก ติดไฟร่ายและดับยาก มีรากบางตัวมากเกินจนเป็นพิษต่อพืชที่ปลูก และขาดธาตุอาหารบางตัวอย่างรุนแรง คุณภาพน้ำเป็นกรดจัดมากและขาดแคลนเหล็กน้ำจืด

กลุ่มชุดดินที่ 59

กลุ่มดินร่วนหยาบหรือดินร่วนละเอียด เกิดจากดินตะกอนน้ำพาเชิงช้อน ชั้นดินมีลักษณะเป็นชั้นสลับเนื้อดินไม่แน่นอนขึ้นอยู่กับตะกอนที่มาทับถม ปฏิกิริยาดินเป็นกรดจัดถึงเป็นกลาง การระบายน้ำเลวถึงค่อนข้างเลว ความอุดมสมบูรณ์ต่ำ ได้แก่ ดินตะกอนน้ำพาเชิงช้อนมีระบายน้ำเลว (AC-pd)

ปัญหาการใช้ประโยชน์ที่ดิน ดินค่อนข้างเป็นทราย ความอุดมสมบูรณ์ต่ำ เสี่ยงต่อการขาดน้ำ และบางปีอาจถูกน้ำท่วม

กลุ่มชุดดินที่ 60

กลุ่มดินร่วน เกิดจากดินตะกอนน้ำพาเชิงช้อน ปฏิกิริยาดินเป็นกรดจัดถึงเป็นกลาง การระบายน้ำดีถึงดีปานกลาง ความอุดมสมบูรณ์ต่ำ ได้แก่ ดินตะกอนลำน้ำเชิงช้อนระบายน้ำดี (AC-wd)

ปัญหาการใช้ประโยชน์ที่ดิน ดินปนทราย ความอุดมสมบูรณ์ต่ำในพื้นที่ที่มีความลาดชัน เกิดการชะล้างพังทลายสูญเสียหน้าดินได้ง่าย

กลุ่มชุดดินที่ 61

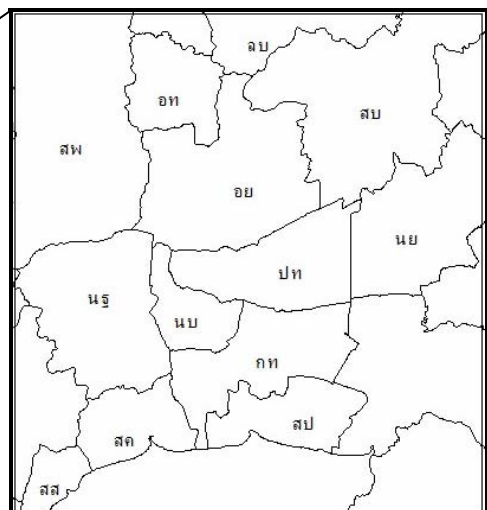
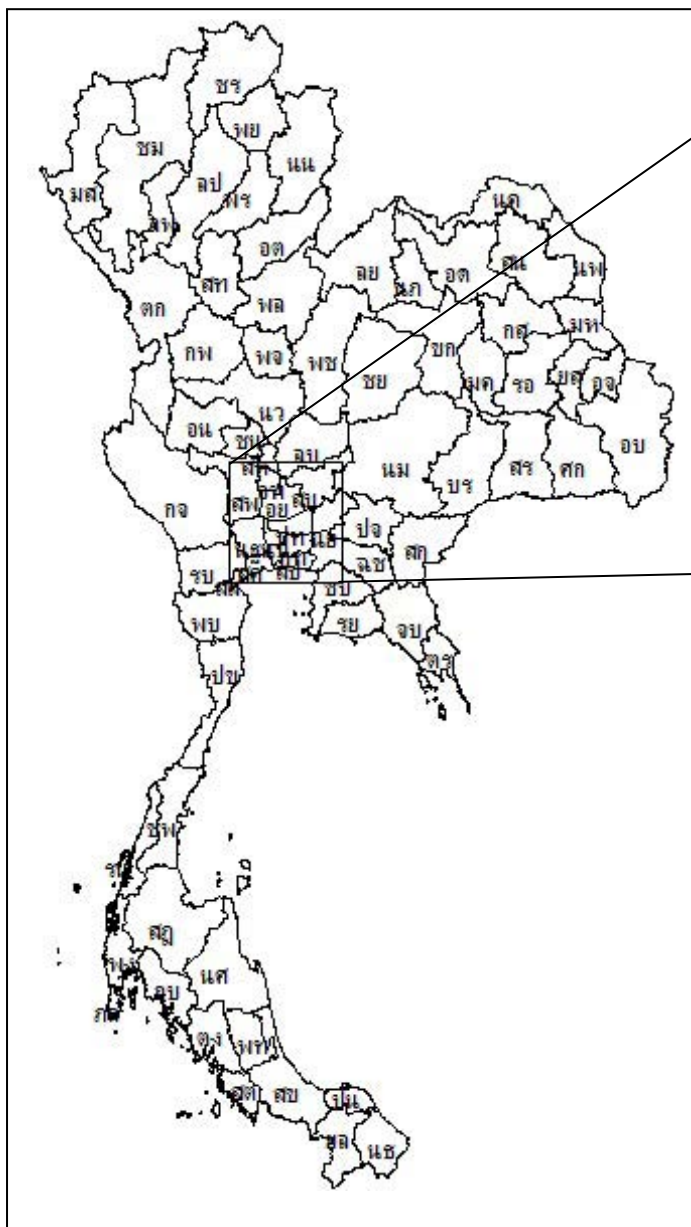
กลุ่มดินเศษหินเชิงเขา เกิดจากการสลายตัวผุพังของกุเขา พบเศษหินหรือก้อนหินร่วงลงมาทับถมบริเวณเชิงเขาจะกระจายทั่วไป ลักษณะและสมบัติดินไม่แน่นอน การระบายน้ำดี ความอุดมสมบูรณ์ต่ำ ไม่แนะนำให้ใช้เพาะปลูก

กลุ่มชุดดินที่ 62

พื้นที่ลาดชันเชิงช้อน มีความลาดชันมากกว่า 35 เปอร์เซ็นต์ ยังไม่มีการสำรวจและจำแนกดินเนื่องจากสภาพพื้นที่มีความลาดชันสูง ควรปล่อยไว้เป็นป่าธรรมชาติ และแหล่งต้นน้ำลำธาร ได้แก่ พื้นที่ลาดชันเชิงช้อน (SC : slope complex)

หมายเหตุ * หมายถึงชุดดินตัวแทนกลุ่มชุดดิน

ที่มา : สำนักสำรวจดินและวางแผนการใช้ที่ดิน. 2548. มหาศจารย์พันธุ์ดิน กลุ่มชุดดินสำหรับการปลูกพืชเศรษฐกิจประเทศไทย. กรมพัฒนาที่ดิน กระทรวงเกษตรและสหกรณ์. 137 น.

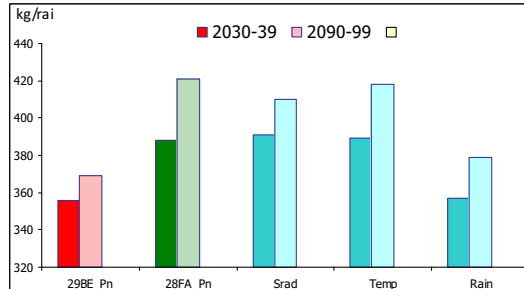
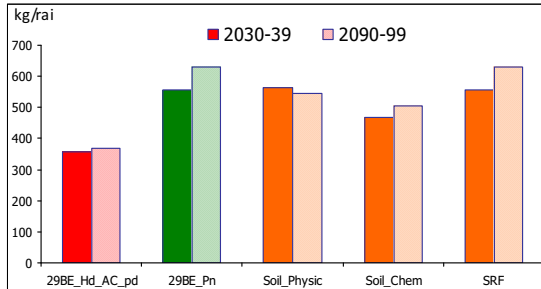


รายชื่อจังหวัดของประเทศไทย และตัวย่อ

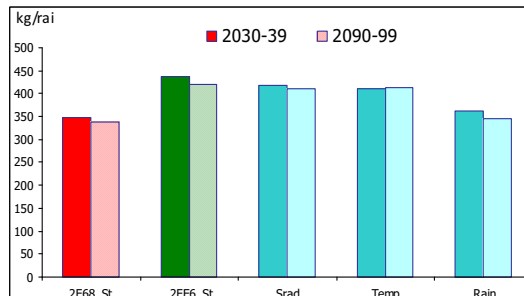
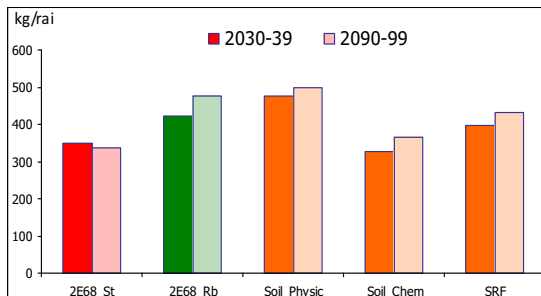
จังหวัด	ตัวย่อ	จังหวัด	ตัวย่อ
กรุงเทพมหานคร	กทม	เชียงใหม่	เชน
กรุงเทพมหานคร	กทม	ตัวรังสิต	ตระ
กาญจนบุรี	กจ	ตัวราษฎร์	ตรา
กาฬสินธุ์	กส	ตาก	ตาก
กำแพงเพชร	กพ	นครนายก	นน
ขอนแก่น	ขก	นครปฐม	นป
จันทบุรี	จบ	นครพนม	นพ
ฉะเชิงเทรา	ฉช	นครราชสีมา	นรม
ชลบุรี	ชบ	นครศรีธรรมราช	นศ
ชัยนาท	ชน	นครสวรรค์	นสว
ชัยภูมิ	ชย	นนทบุรี	นบ
ชุมพร	ชพ	นราธิวาส	นธ
เชียงราย	ชร	น่าน	นน

จังหวัด	ตัวย่อ	จังหวัด	ตัวย่อ	จังหวัด	ตัวย่อ	จังหวัด	ตัวย่อ
บุรีรัมย์	บร	พิษณุโลก	พล	ร้อยเอ็ด	รอ	สกลนคร	สข
ปทุมธานี	ปท	เพชรบุรี	พบ	ระนอง	รน	สตูล	สต
ประจวบคีรีขันธ์	ปช	เพชรบูรณ์	พช	ระยอง	รย	สมุทรปราการ	สป
ปราจีนบุรี	ปจ	แพร่	พร	ราชบุรี	รบ	สมุทรสงคราม	สส
ปัตตานี	ปน	ภูเก็ต	ภก	ลพบุรี	ลบ	สมุทรสาคร	สค
พะเยา	พย	มหาสารคาม	มค	ลำปาง	ลป	ยะลา	ยะ
พระนครศรีอยุธยา	อย	มุกดาหาร	มห	ลำพูน	ลพ	สุราษฎร์ธานี	สรา
พังงา	พง	แม่ฮ่องสอน	มส	เลย	ลย	สุโขทัย	สข
พัทลุง	พท	ยโสธร	ยส	ศรีสะเกษ	ศก	อุทัยธานี	อุน
พิจิตร	พจ	ยะลา	ยล	สกลนคร	สก	อุบลราชธานี	อบ

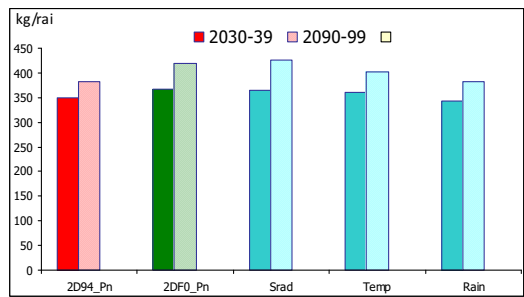
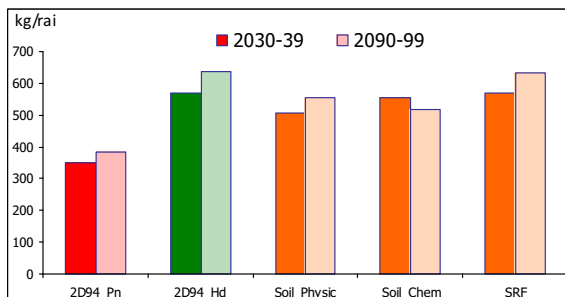
สภาพภาคผนวก



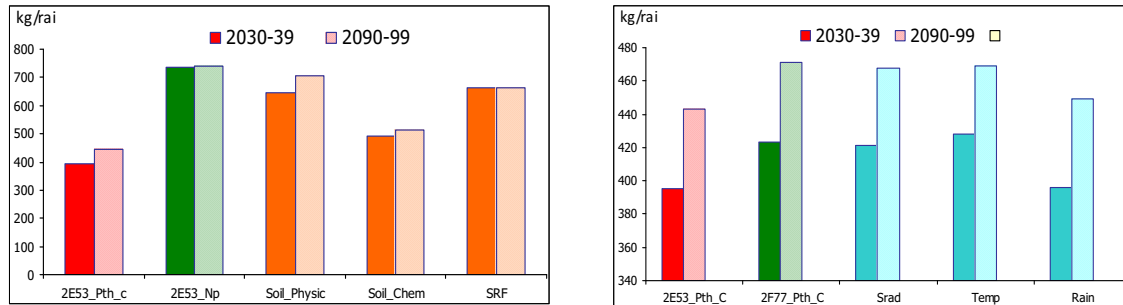
สภาพภาคผนวกที่ 1. ผลกระทบต่อผลผลิตข้าวน้ำฝนที่ลดลงในเขตพื้นที่วิกฤตที่ 6 เขตการผลิตที่ 1 เนื่องจากคุณสมบัติทางกายภาพ (Phys) เคมี (Chem) และสัมประสิทธิ์การเดินโตรของรากข้าว (SRGF) (ซ้าย) พลังงานแสงอาทิตย์ (Srad) อุณหภูมิ (Temp) และปริมาณน้ำฝน (Rain) (ขวา) ในช่วงปี 2030-39 และ 2090-99



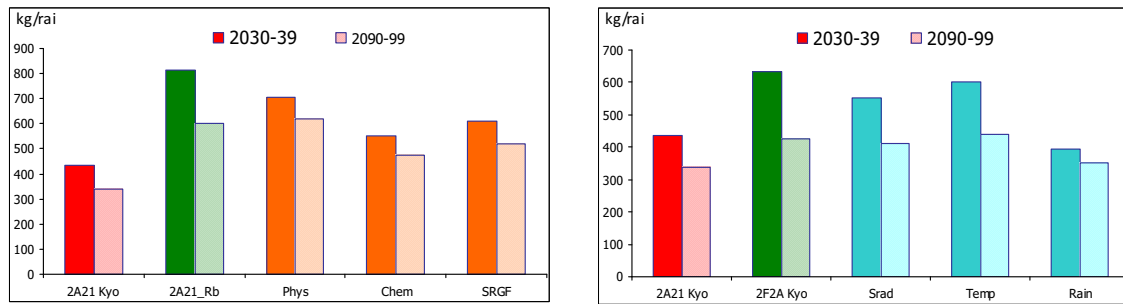
สภาพภาคผนวกที่ 2. ผลกระทบต่อผลผลิตข้าวน้ำฝนที่ลดลงในเขตพื้นที่วิกฤตที่ 6 เขตการผลิตที่ 2 เนื่องจากคุณสมบัติทางกายภาพ (Phys) เคมี (Chem) และสัมประสิทธิ์การเดินโตรของรากข้าว (SRGF) (ซ้าย) พลังงานแสงอาทิตย์ (Srad) อุณหภูมิ (Temp) และปริมาณน้ำฝน (Rain) (ขวา) ในช่วงปี 2030-39 และ 2090-99



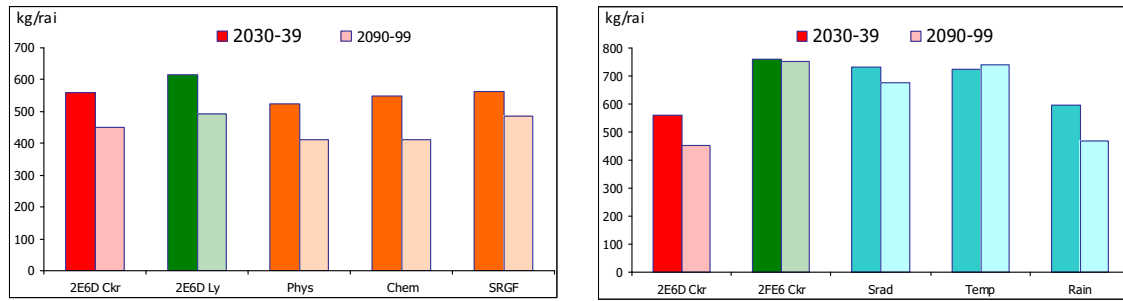
สภาพภาคผนวกที่ 3. ผลกระทบต่อผลผลิตข้าวน้ำฝนที่ลดลงในเขตพื้นที่วิกฤตที่ 6 เขตการผลิตที่ 3 เนื่องจากคุณสมบัติทางกายภาพ (Phys) เคมี (Chem) และสัมประสิทธิ์การเดินโตรของรากข้าว (SRGF) (ซ้าย) พลังงานแสงอาทิตย์ (Srad) อุณหภูมิ (Temp) และปริมาณน้ำฝน (Rain) (ขวา) ในช่วงปี 2030-39 และ 2090-99



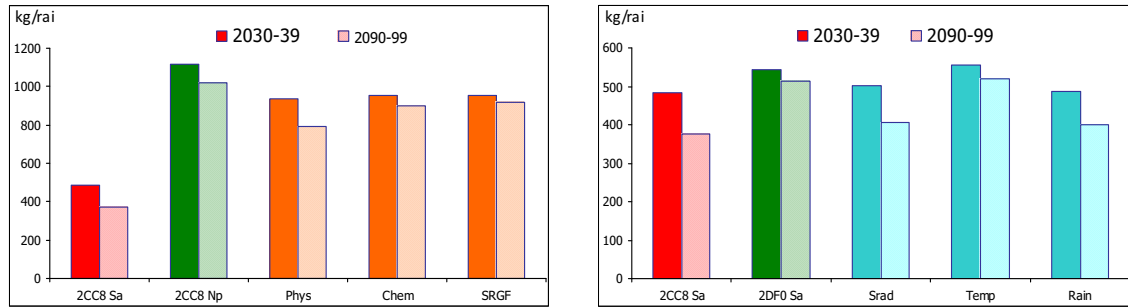
ภาพภาคผนวกที่ 4. ผลกระทบต่อผลผลิตข้าวนาแห้งที่ลดลงในเขตพื้นที่วิกฤตที่ 6 เขตการผลิตที่ 4 เนื่องจากคุณสมบัติทาง
กายภาพ (Phys) เคมี (Chem) และสัมประสิทธิ์การเติบโตของราชข้าว (SRGF) (ซ้าย) พลังงานแสงอาทิตย์
(Srad) อุณหภูมิ (Temp) และปริมาณน้ำฝน (Rain) (ขวา) ในช่วงปี 2030-39 และ 2090-99



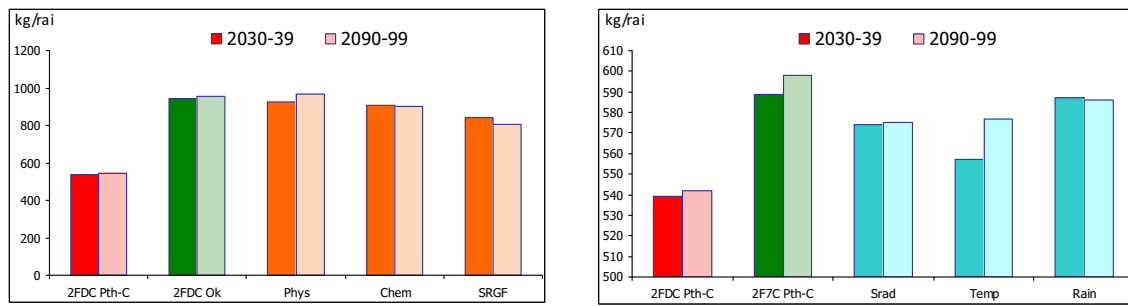
ภาพภาคผนวกที่ 5. ผลกระทบต่อผลผลิตข้าวนาชลประทานที่ลดลงในเขตพื้นที่วิกฤตที่ 6 เขตการผลิตที่ 1 เนื่องจากคุณสมบัติ
ทางกายภาพ (Phys) เคมี (Chem) และสัมประสิทธิ์การเติบโตของราชข้าว (SRGF) (ซ้าย) พลังงาน
แสงอาทิตย์ (Srad) อุณหภูมิ (Temp) และปริมาณน้ำฝน (Rain) (ขวา) ในช่วงปี 2030-39 และ 2090-99



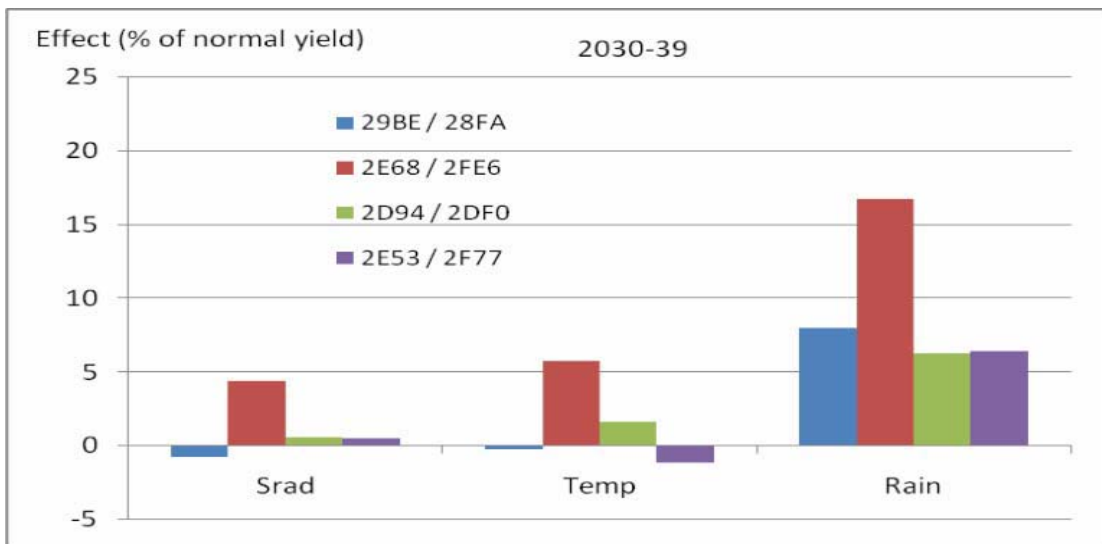
ภาพภาคผนวกที่ 6. ผลกระทบต่อผลผลิตข้าวนาชลประทานที่ลดลงในเขตพื้นที่วิกฤตที่ 6 เขตการผลิตที่ 2 เนื่องจากคุณสมบัติ
ทางกายภาพ (Phys) เคมี (Chem) และสัมประสิทธิ์การเติบโตของราชข้าว (SRGF) (ซ้าย) พลังงาน
แสงอาทิตย์ (Srad) อุณหภูมิ (Temp) และปริมาณน้ำฝน (Rain) (ขวา) ในช่วงปี 2030-39 และ 2090-99



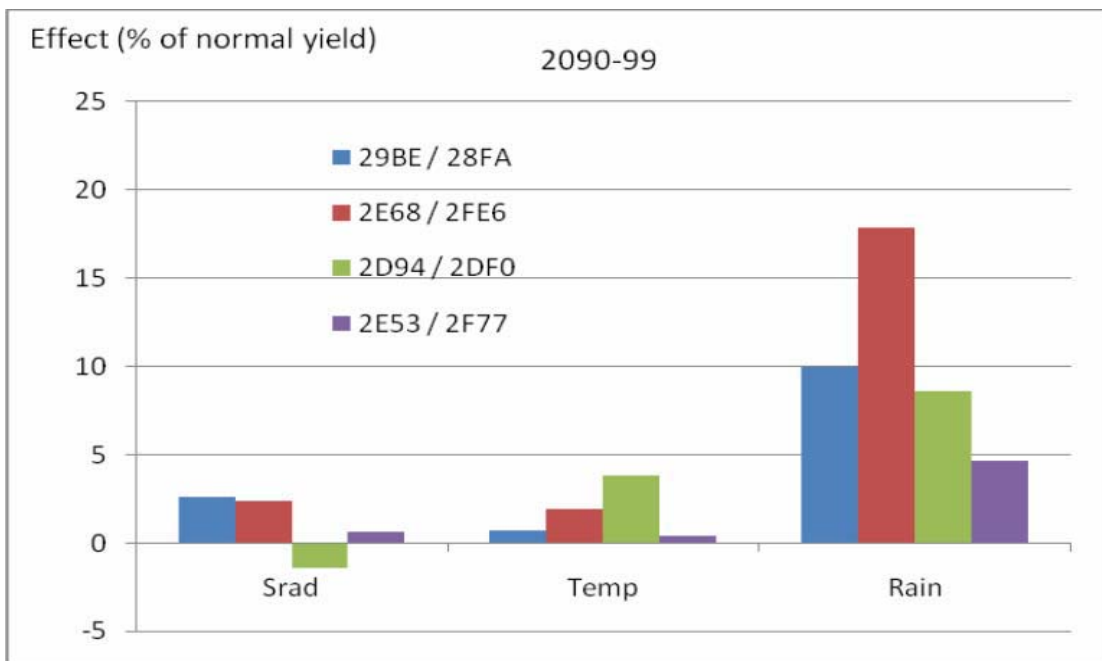
ภาพภาคผนวกที่ 7. ผลกระทบต่อผลผลิตข้าวนาชลประทานที่ลดลงในเขตพื้นที่วิกฤตที่ 6 เขตการผลิตที่ 3 เนื่องจากคุณสมบัติทางกายภาพ (Phys) เคมี (Chem) และสัมประสิทธิ์การเติบโตของรากข้าว (SRGF) (ข้าย) พลังงานแสงอาทิตย์ (Srad) อุณหภูมิ (Temp) และปริมาณน้ำฝน (Rain) (ขวา) ในช่วงปี 2030-39 และ 2090-99



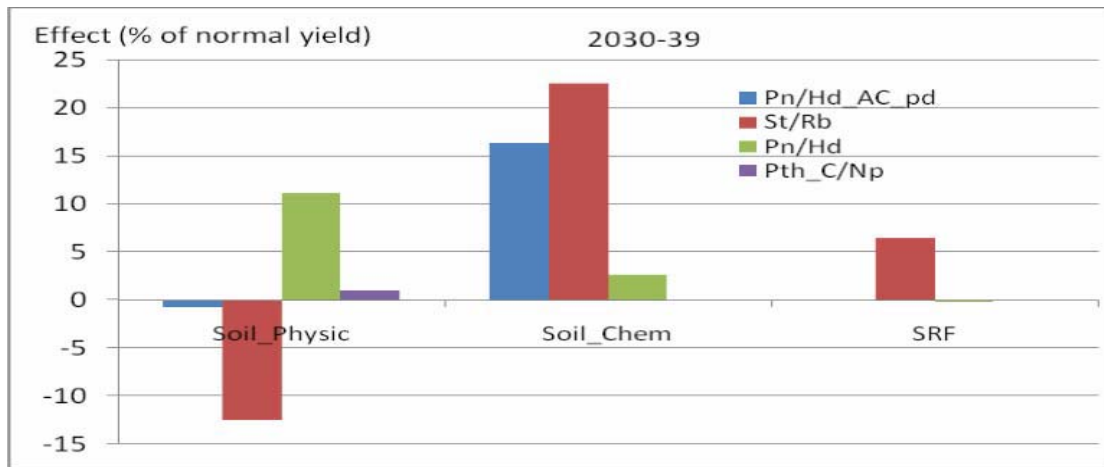
ภาพภาคผนวกที่ 8. ผลกระทบต่อผลผลิตข้าวนาชลประทานที่ลดลงในเขตพื้นที่วิกฤตที่ 6 เขตการผลิตที่ 4 เนื่องจากคุณสมบัติทางกายภาพ (Phys) เคมี (Chem) และสัมประสิทธิ์การเติบโตของรากข้าว (SRGF) (ข้าย) พลังงานแสงอาทิตย์ (Srad) อุณหภูมิ (Temp) และปริมาณน้ำฝน (Rain) (ขวา) ในช่วงปี 2030-39 และ 2090-99



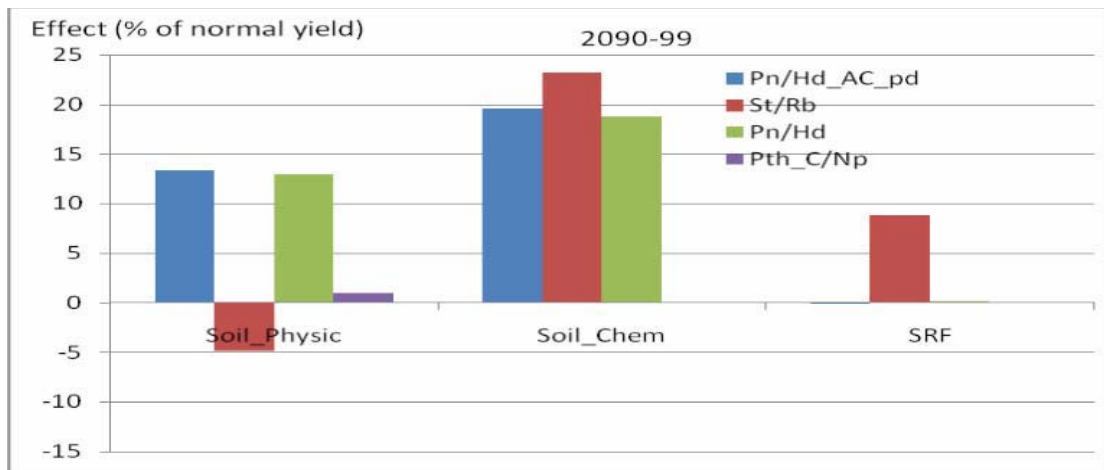
ภาพภาคผนวกที่ 9 ผลกระทบ (จำนวนร้อยละที่ลดลงของผลผลิตข้าวจากปกติ) จากพลังงานแสงอาทิตย์ (Srad) อุณหภูมิ (Temp) และปริมาณน้ำฝน (Rain) ต่อผลผลิตข้าวนาน้าฝนในช่วงปี 2030-39



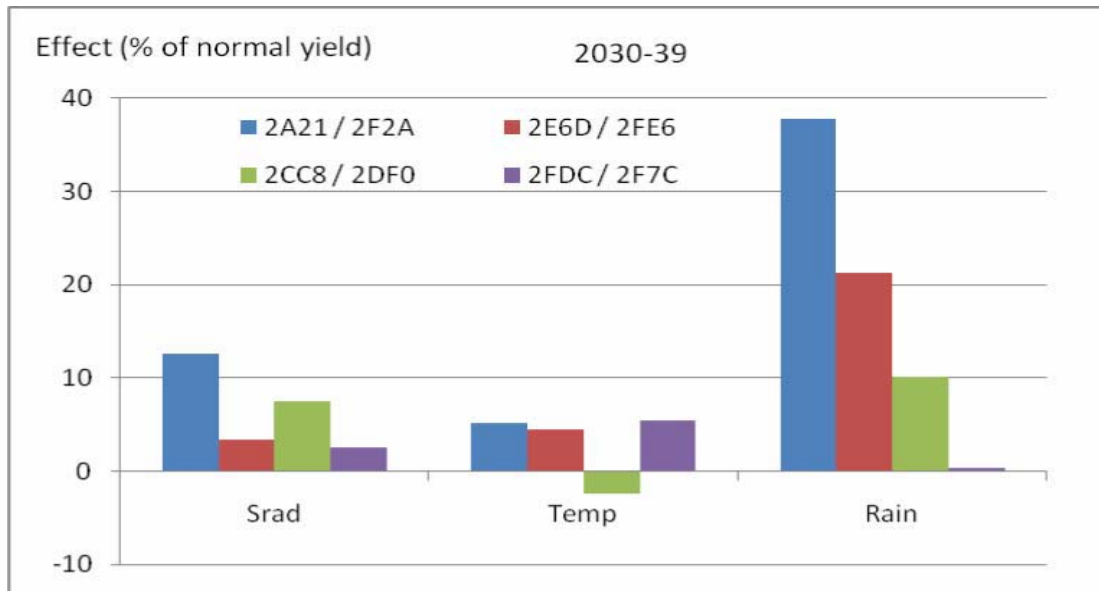
ภาพภาคผนวกที่ 10 ผลกระทบ (จำนวนร้อยละที่ลดลงของผลผลิตข้าวจากปกติ) จากพลังงานแสงอาทิตย์ (Srad) อุณหภูมิ (Temp) และปริมาณน้ำฝน (Rain) ต่อผลผลิตข้าวนาน้าฝนในช่วงปี 2090-99



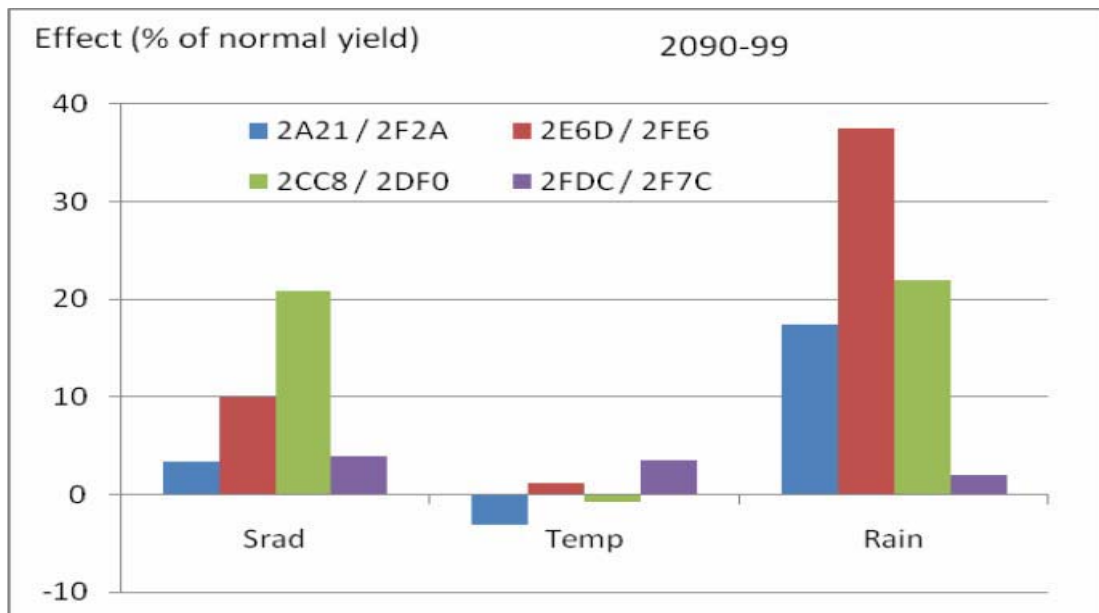
ภาพภาคผนวกที่ 11 ผลกระทบ (จำนวนร้อยละที่ลดลงของผลผลิตข้าวจากปกติ) จากพัลังงานแสงอาทิตย์ (Srad) อุณหภูมิ (Temp) และปริมาณน้ำฝน (Rain) ต่อผลผลิตข้าวนาน้ำฝนในช่วงปี 2090-99



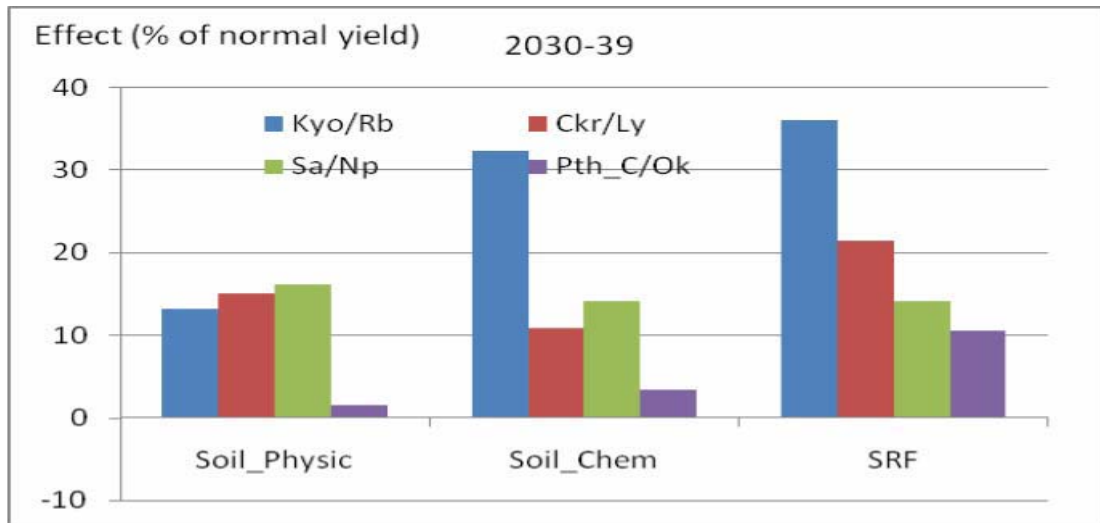
ภาพภาคผนวกที่ 12 ผลกระทบ (จำนวนร้อยละที่ลดลงของผลผลิตข้าวจากปกติ) จากพัลังงานแสงอาทิตย์ (Srad) อุณหภูมิ (Temp) และปริมาณน้ำฝน (Rain) ต่อผลผลิตข้าวนาน้ำฝนในช่วงปี 2090-99



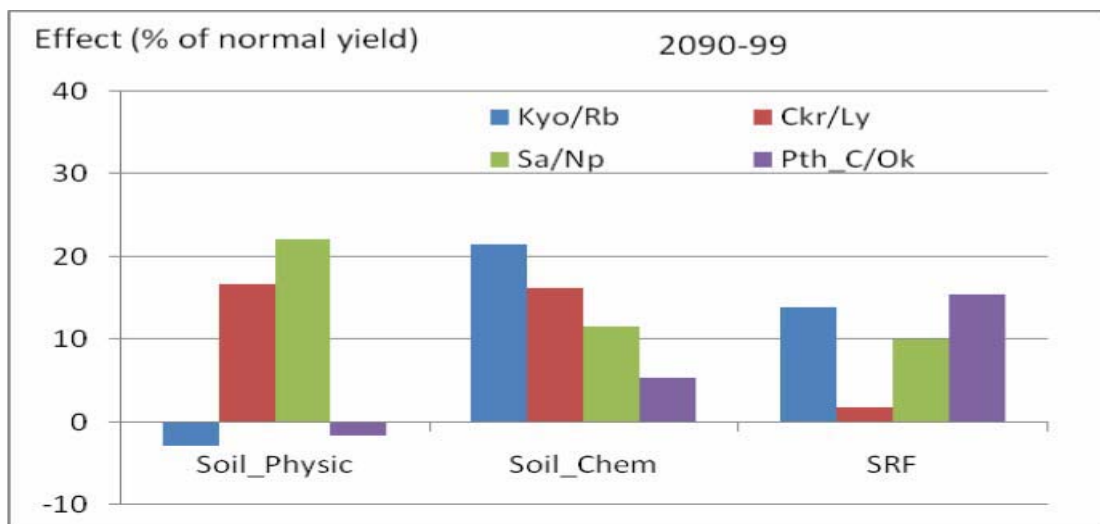
ภาพภาคผนวกที่ 13 ผลกระทบ (จำนวนร้อยละที่ลดลงของผลผลิตข้าวจากปกติ) จากพลังงานแสงอาทิตย์ (Srad) อุณหภูมิ (Temp) และปริมาณน้ำฝน (Rain) ต่อผลผลิตข้าวนานาฝนในช่วงปี 2090-99



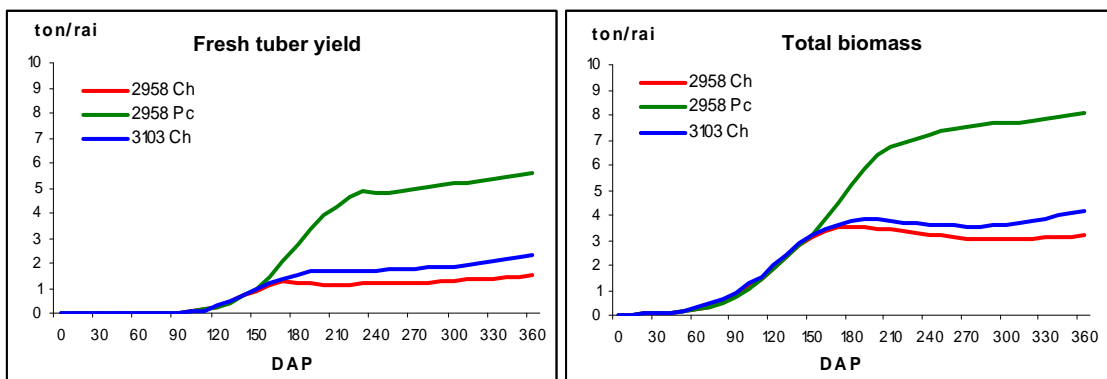
ภาพภาคผนวกที่ 14 ผลกระทบ (จำนวนร้อยละที่ลดลงของผลผลิตข้าวจากปกติ) จากพลังงานแสงอาทิตย์ (Srad) อุณหภูมิ (Temp) และปริมาณน้ำฝน (Rain) ต่อผลผลิตข้าวนานาชลประทาน ในช่วงปี 2090-99



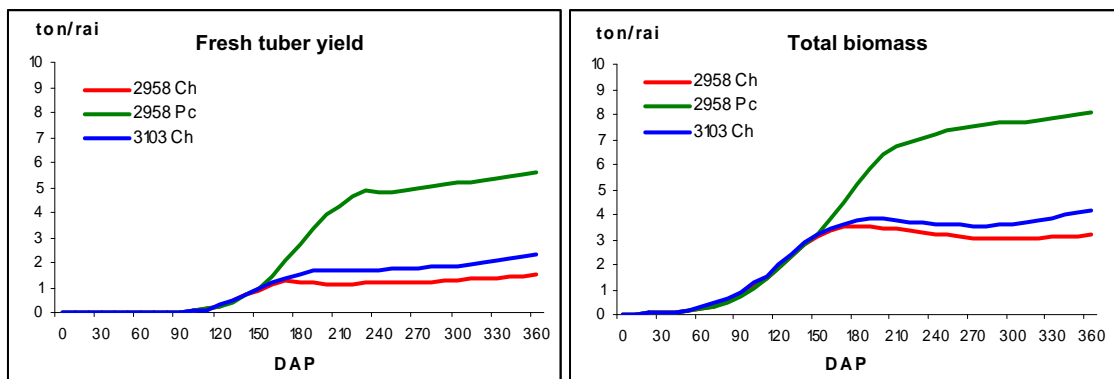
ภาพภาคผนวกที่ 15 ผลกระทบ (จำนวนร้อยละที่ลดลงของผลผลิตข้าวจากปกติ) จากสมบัติทางฟิสิกซ์ (Soil_Physic) สมบัติทางเคมี (Soil_Chem) และ ระบบการกระจายของรากข้าว (SRF, Soil Root Growth Factor) ต่อผลผลิตข้าวนาชลประทานในช่วงปี 2030-39



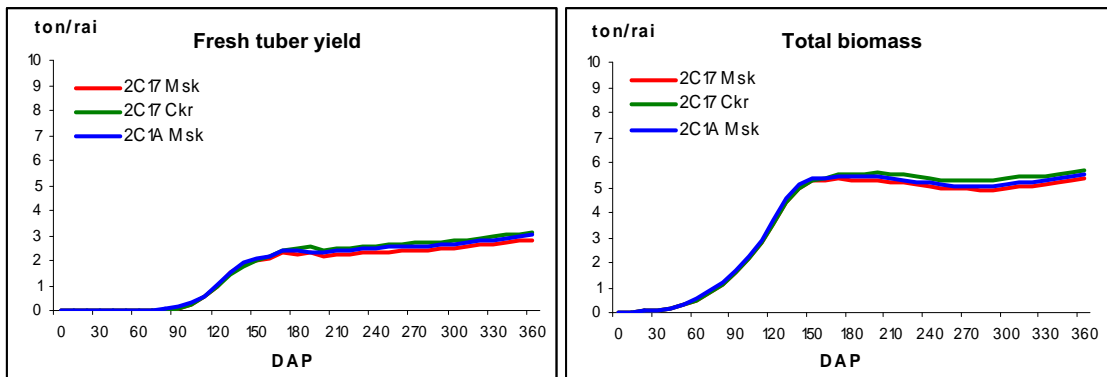
ภาพภาคผนวกที่ 16 ผลกระทบ (จำนวนร้อยละที่ลดลงของผลผลิตข้าวจากปกติ) จากสมบัติทางฟิสิกซ์ (Soil_Physic) สมบัติทางเคมี (Soil_Chem) และ ระบบการกระจายของรากข้าว (SRF, Soil Root Growth Factor) ต่อผลผลิตข้าวนาชลประทานในช่วงปี 2090-99



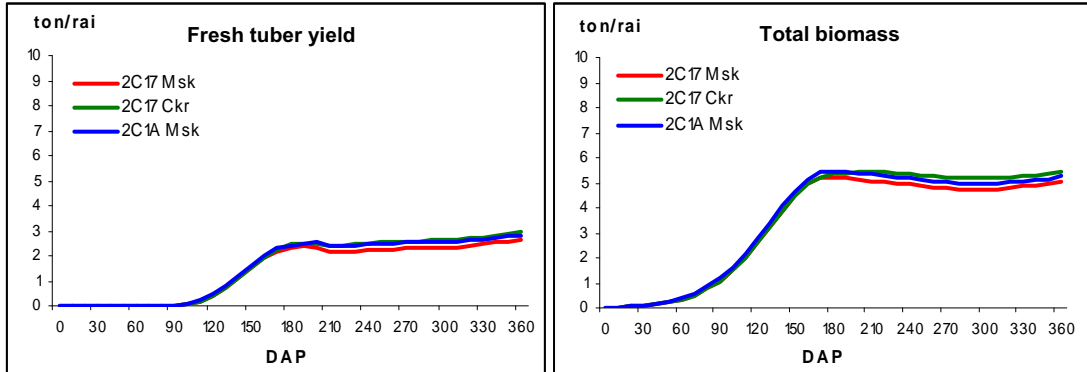
ภาพภาคผนวกที่ 17 ค่าจำลองผลผลิตน้ำหนักหัวสด (ตัน/ไร่) และ น้ำหนักส่วนรวมชีวภาพ (ตัน/ไร่) ของมันสำปะหลัง ในเขตการผลิตที่ 1 ในปี 2030-39



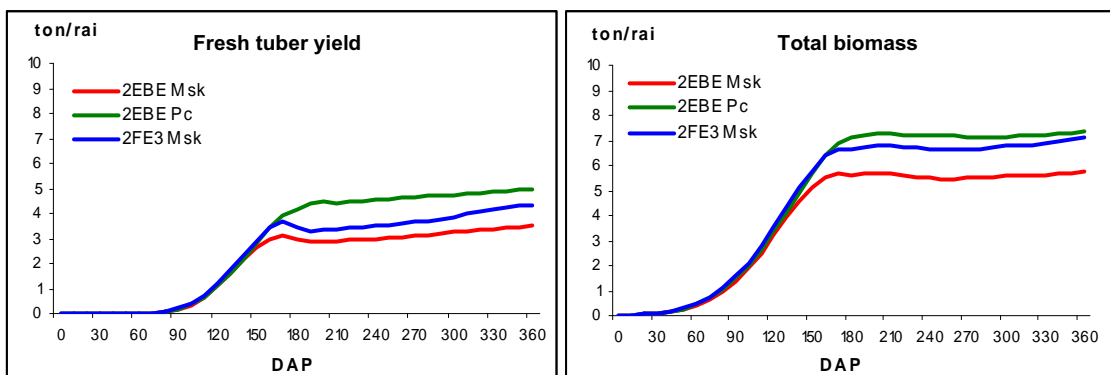
ภาพภาคผนวกที่ 18 ค่าจำลองผลผลิตน้ำหนักหัวสด (ตัน/ไร่) และ น้ำหนักส่วนรวมชีวภาพ (ตัน/ไร่) ของมันสำปะหลังในเขตการผลิตที่ 1 ในปี 2090-99



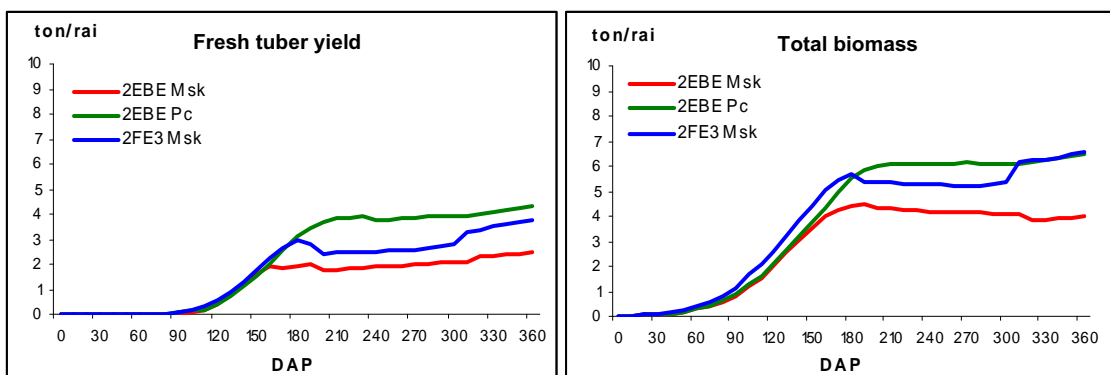
ภาพภาคผนวกที่ 19 ค่าจำลองผลผลิตน้ำหนักหัวสด (ตัน/ไร่) และ น้ำหนักส่วนรวมชีวภาพ (ตัน/ไร่) ของมันสำปะหลังในเขตการผลิตที่ 2 ในปี 2030-39



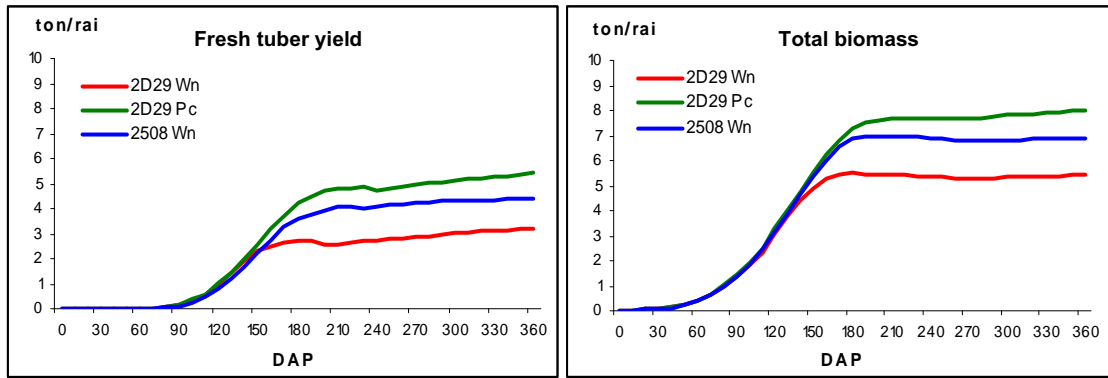
ภาพภาคผนวกที่ 20 ค่าจำลองผลผลิตน้ำหนักหัวสด (ตัน/ไร่) และ น้ำหนักส่วนรวมชีวภาพ (ตัน/ไร่) ของมันสำปะหลังในเขตการผลิตที่ 2 ในปี 2090-99



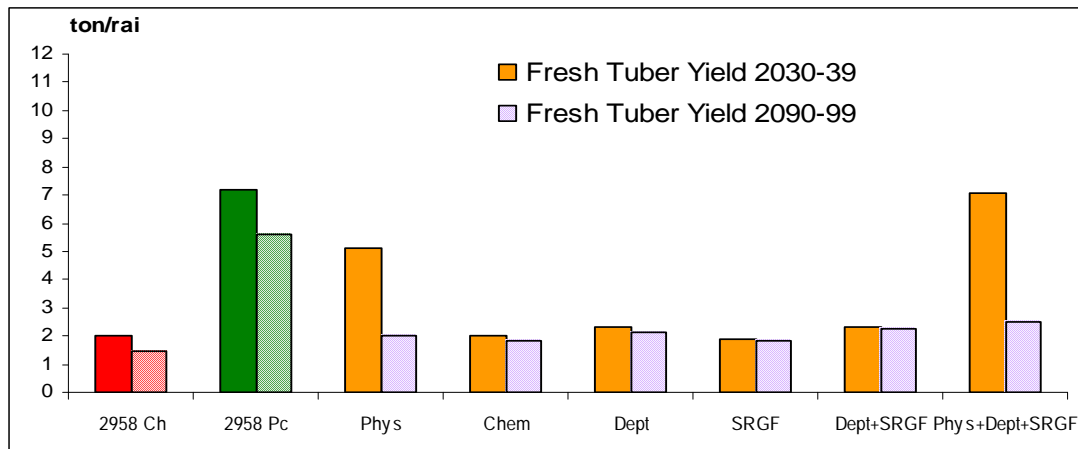
ภาพภาคผนวกที่ 21 ค่าจำลองผลผลิตน้ำหนักหัวสด (ตัน/ไร่) และ น้ำหนักส่วนรวมชีวภาพ (ตัน/ไร่) ของมันสำปะหลัง ในเขตการผลิตที่ 3 ในปี 2030-39



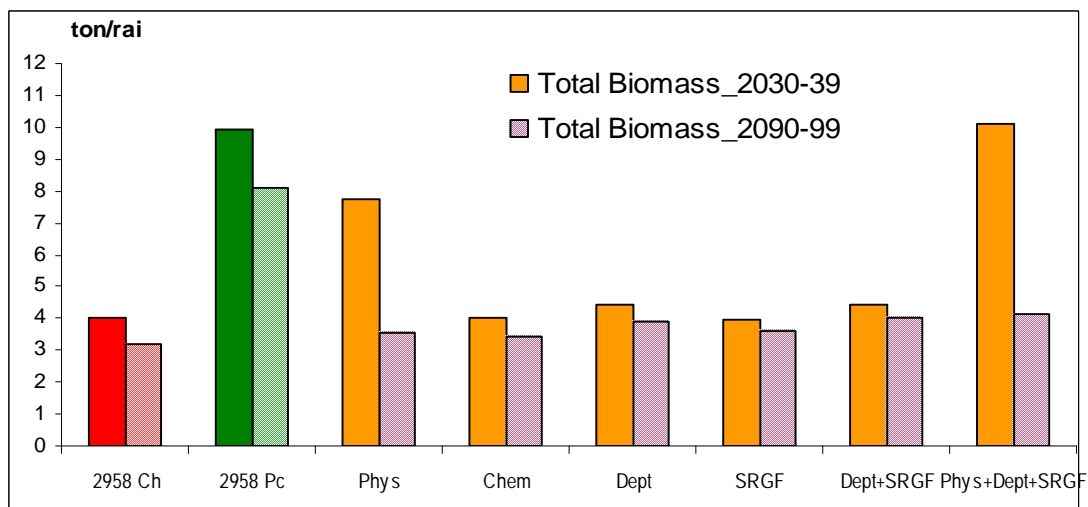
ภาพภาคผนวกที่ 22 ค่าจำลองผลผลิตน้ำหนักหัวสด (ตัน/ไร่) และ น้ำหนักส่วนรวมชีวภาพ (ตัน/ไร่) ของมันสำปะหลังในเขตการผลิตที่ 3 ในปี 2090-99



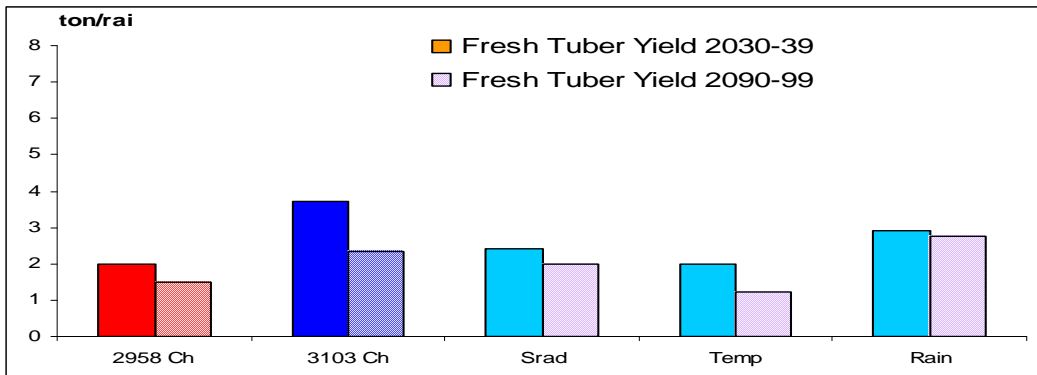
ภาพภาคผนวกที่ 23 ค่าจำลองผลผลิตน้ำหนักหัวสด (ตัน/ไร่) และ น้ำหนักส่วนรวมชีวภาพ (ตัน/ไร่) ของมันสำปะหลังในเขตการผลิตที่ 5 ในปี 2030-39



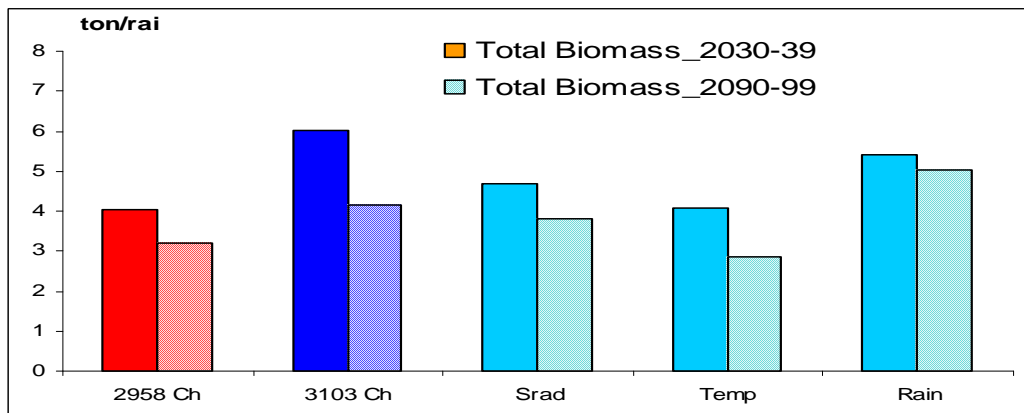
ภาพภาคผนวกที่ 24 ค่าจำลองผลผลิตน้ำหนักหัวสด (ตัน/ไร่) ของมันสำปะหลัง ในเขตการผลิตที่ 1 เมื่อเปลี่ยนคุณสมบัติต่าง ๆ ของดิน ในปี 2030-39 และ 3090-99



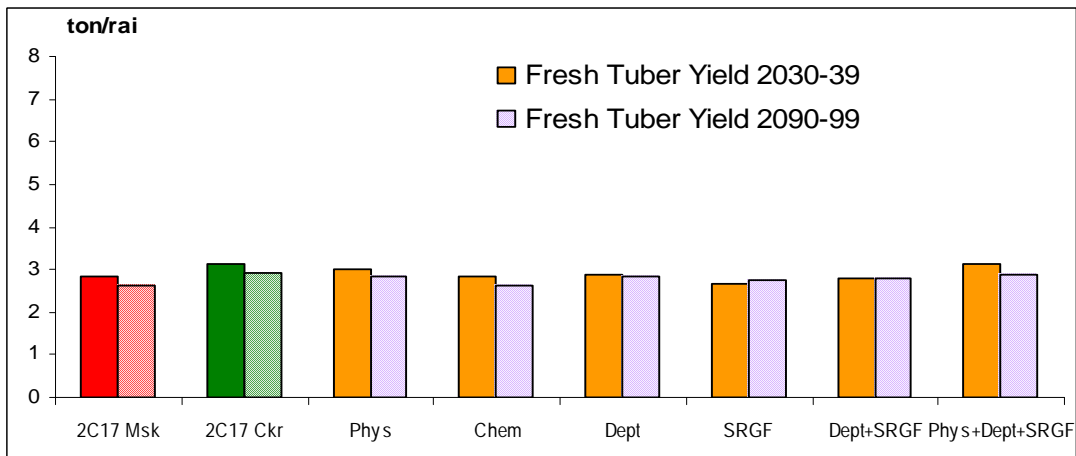
ภาพภาคผนวกที่ 25 ค่าจำลองน้ำหนักส่วนรวมชีวภาพ (ตัน/ไร่) ของมันสำปะหลัง ในเขตการผลิตที่ 1 เมื่อเปลี่ยนคุณสมบัติต่าง ๆ ของดิน ในปี 2030-39 และ 3090-99



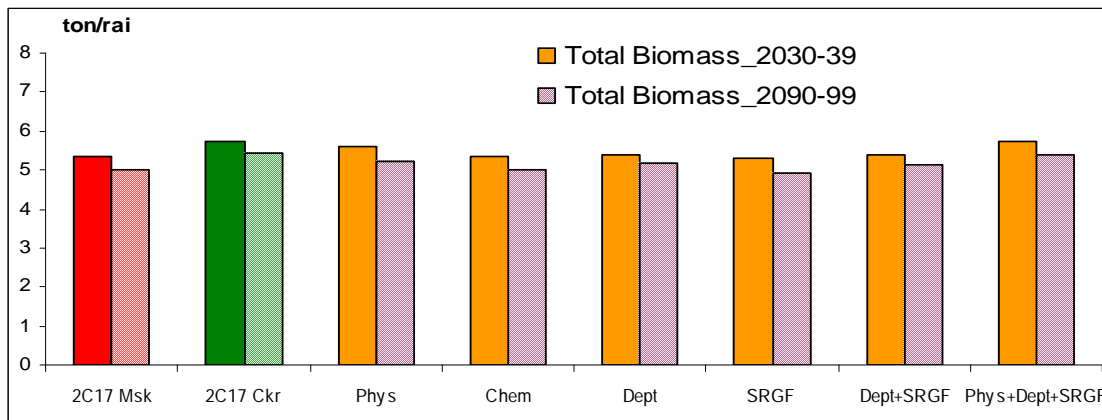
ภาพภาคผนวกที่ 26 ค่าจำลองผลผลิตน้ำหนักหัวสด (ตัน/ไร่) ของมันสำปะหลัง ในเขตการผลิตที่ 1 เมื่อเปลี่ยนปัจจัยสภาพภูมิอากาศ ในปี 2030-39 และ 3090-99



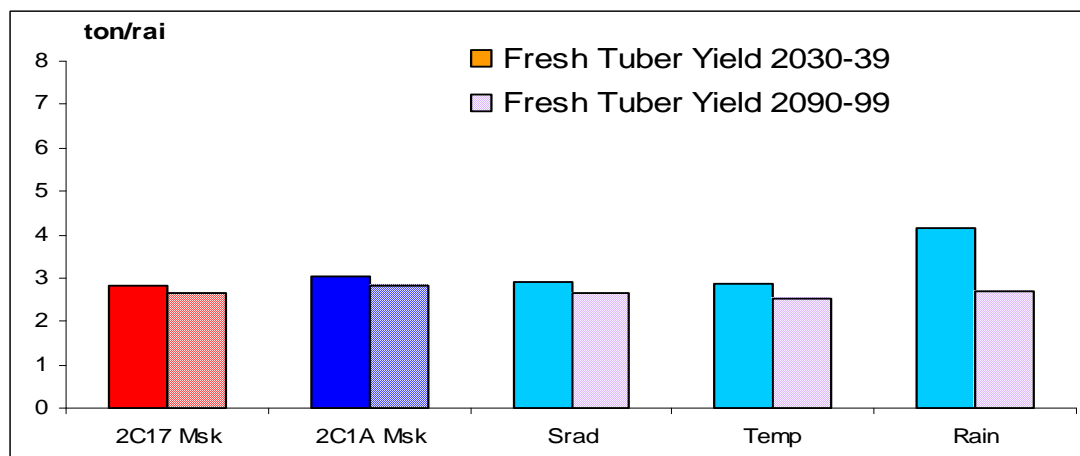
ภาพภาคผนวกที่ 27 ค่าจำลองน้ำหนักสดมวลรวมชีวภาพ (ตัน/ไร่) ของมันสำปะหลัง ในเขตการผลิตที่ 1 เมื่อเปลี่ยนปัจจัยสภาพภูมิอากาศ ในปี 2030-39 และ 3090-99



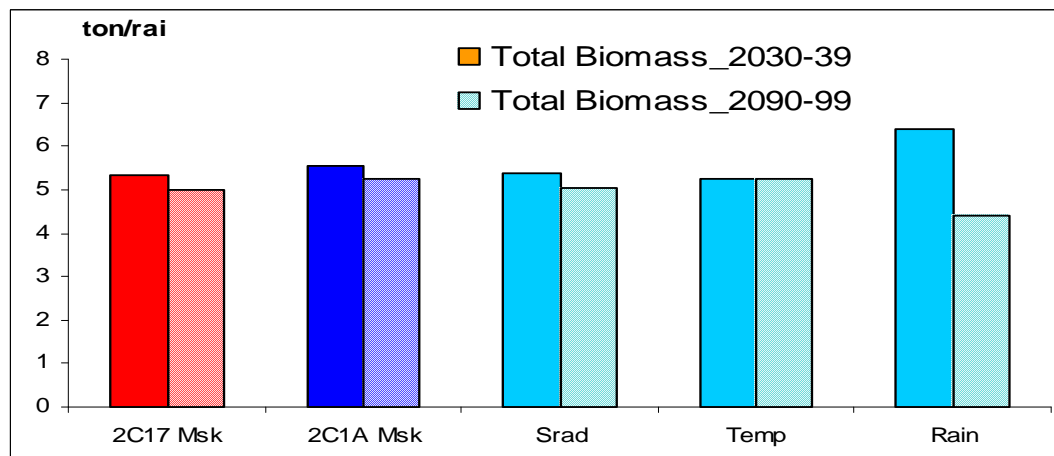
ภาพภาคผนวกที่ 28 ค่าจำลองผลผลิตน้ำหนักหัวสด (ตัน/ไร่) ของมันสำปะหลัง ในเขตการผลิตที่ 2 เมื่อเปลี่ยนคุณสมบัติต่าง ๆ ของดิน ในปี 2030-39 และ 3090-99



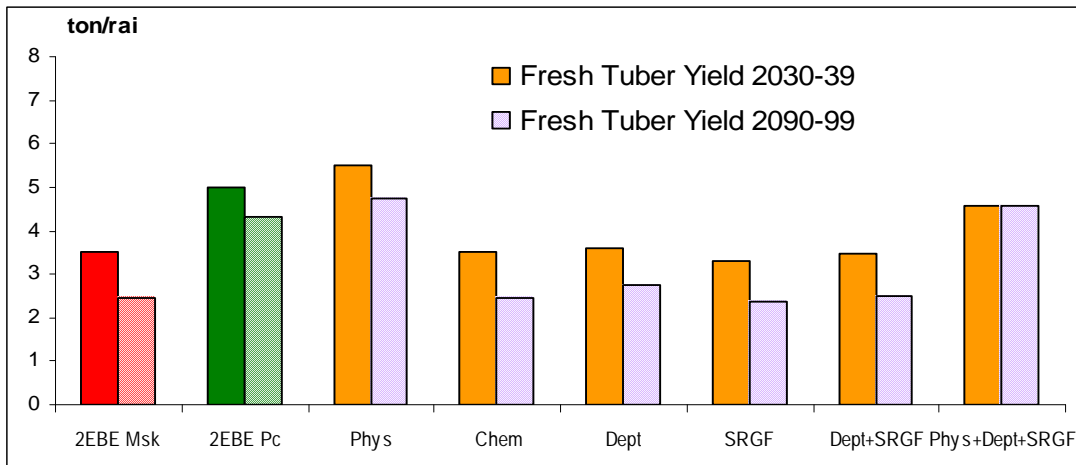
ภาพภาคผนวกที่ 29 ค่าจำลองน้ำหนักส่วนรวมชีวภาพ (ตัน/ไร่) ของมันสำปะหลัง ในเขตการผลิตที่ 2 เมื่อเปลี่ยนคุณสมบัติต่าง ๆ ของดิน ในปี 2030-39 และ 3090-99



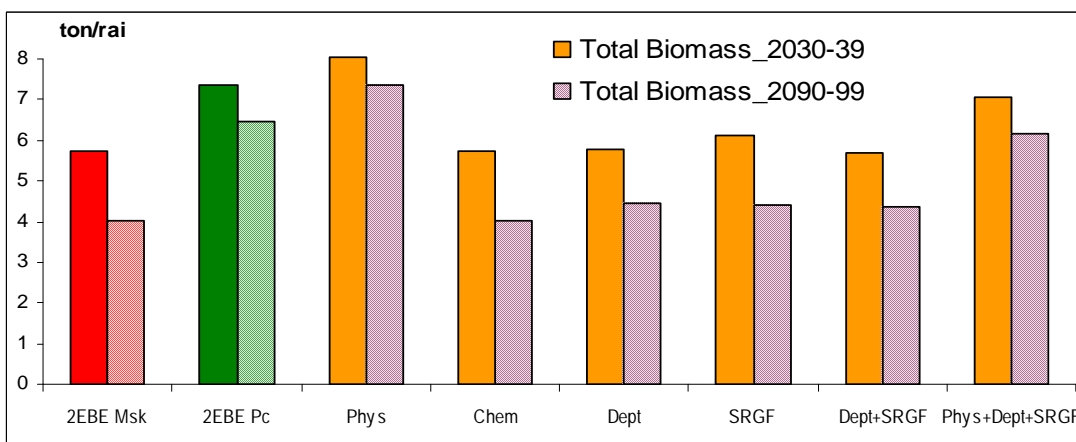
ภาพภาคผนวกที่ 30 ค่าจำลองผลผลิตน้ำหนักหัวสด (ตัน/ไร่) ของมันสำปะหลัง ในเขตการผลิตที่ 2 เมื่อเปลี่ยนปัจจัยสภาพภูมิอากาศ ในปี 2030-39 และ 3090-99



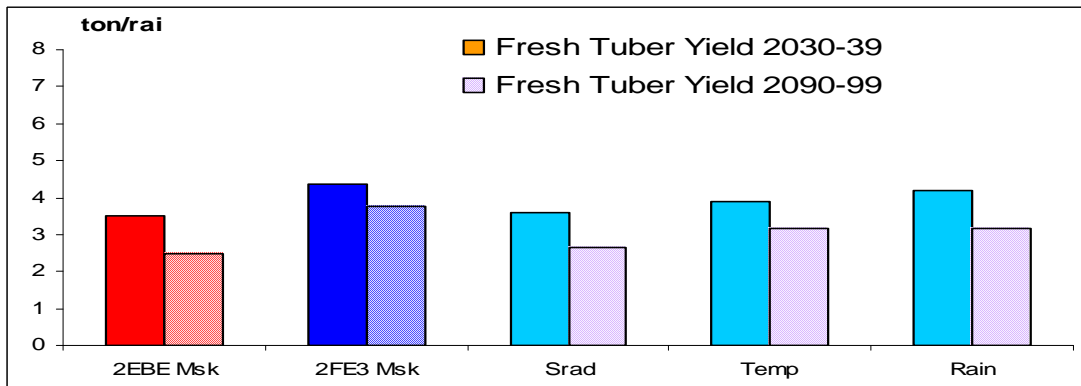
ภาพภาคผนวกที่ 31 ค่าจำลองน้ำหนักส่วนรวมชีวภาพ (ตัน/ไร่) ของมันสำปะหลัง ในเขตการผลิตที่ 2 เมื่อเปลี่ยนปัจจัยสภาพภูมิอากาศ ในปี 2030-39 และ 3090-99



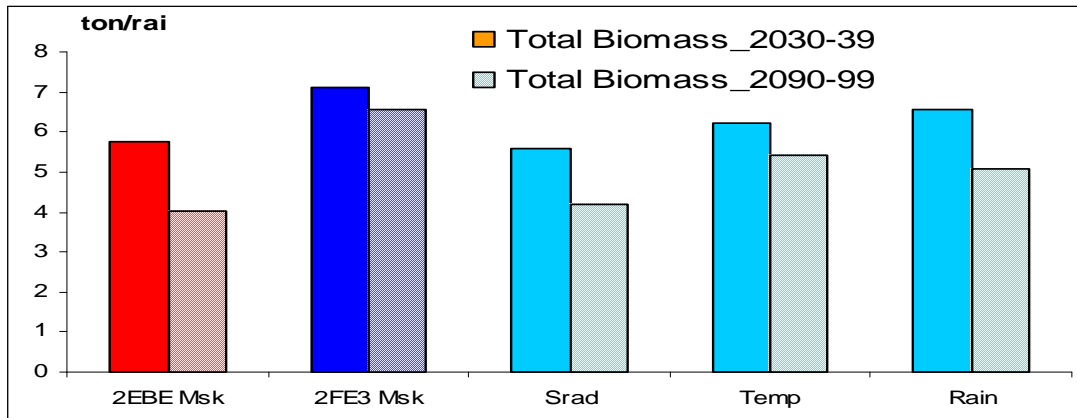
ภาพภาคผนวกที่ 32 ค่าจำลองผลผลิตน้ำหนักหัวสด (ตัน/ไร่) ของมันสำปะหลัง ในเขตแหล่งผลิตที่ 3 เมื่อเปลี่ยนสมบัติต่าง ๆ ของดิน ในปี 2030-39 และ 3090-99



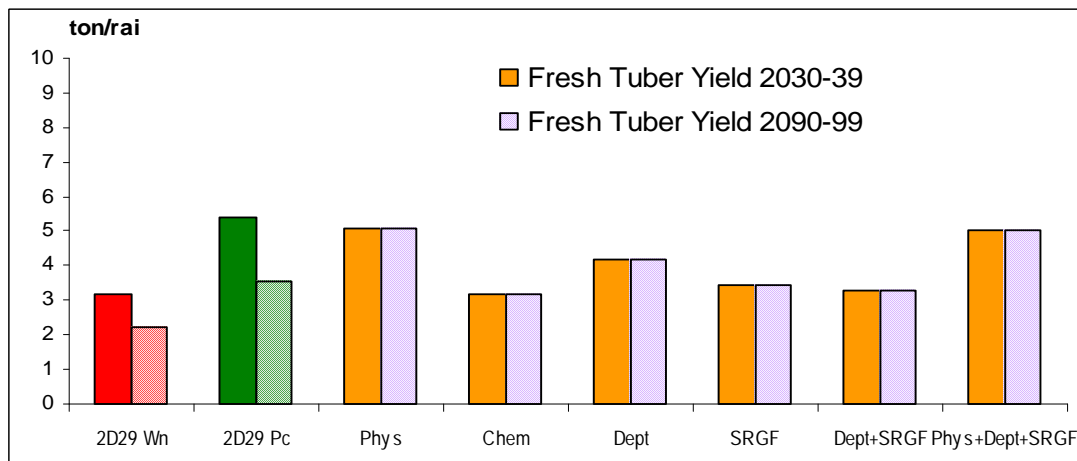
ภาพภาคผนวกที่ 33 ค่าจำลองน้ำหนักส่วนรวมชีวภาพ (ตัน/ไร่) ของมันสำปะหลัง ในเขตการผลิตที่ 3 เมื่อเปลี่ยนคุณสมบัติต่าง ๆ ของดิน ในปี 2030-39 และ 3090-99



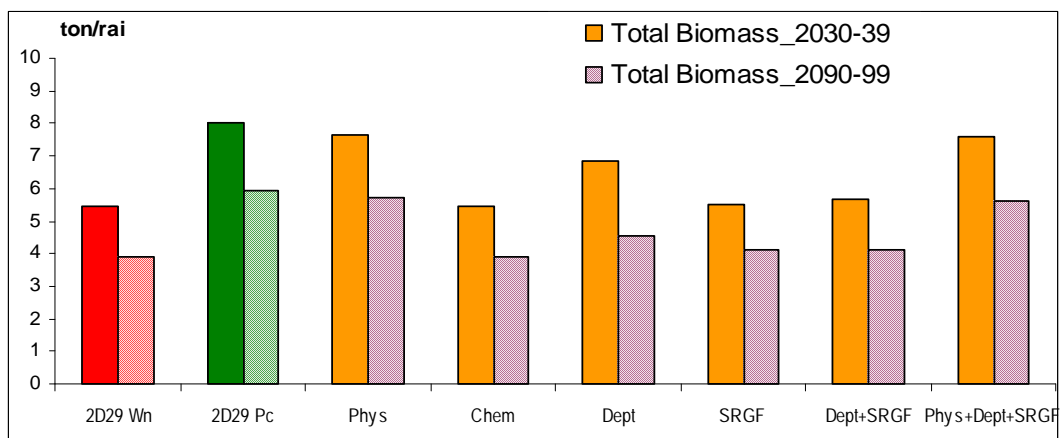
ภาพภาคผนวกที่ 34 ค่าจำลองผลผลิตน้ำหนักหัวสด (ตัน/ไร่) ของมันสำปะหลัง ในเขตการผลิตที่ 3 เมื่อเปลี่ยนปัจจัยสภาพภูมิอากาศ ในปี 2030-39 และ 3090-99



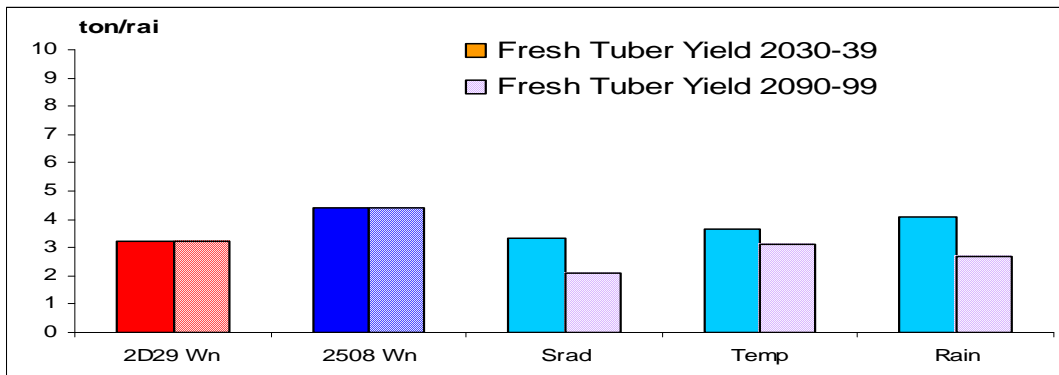
ภาพภาคผนวกที่ 35 ค่าจำลองน้ำหนักสดมวลรวมชีวภาพ (ตัน/ไร่) ของมันสำปะหลัง ในเขตการผลิตที่ 3 เมื่อเปลี่ยนปัจจัยสภาพภูมิอากาศ ในปี 2030-39 และ 3090-99



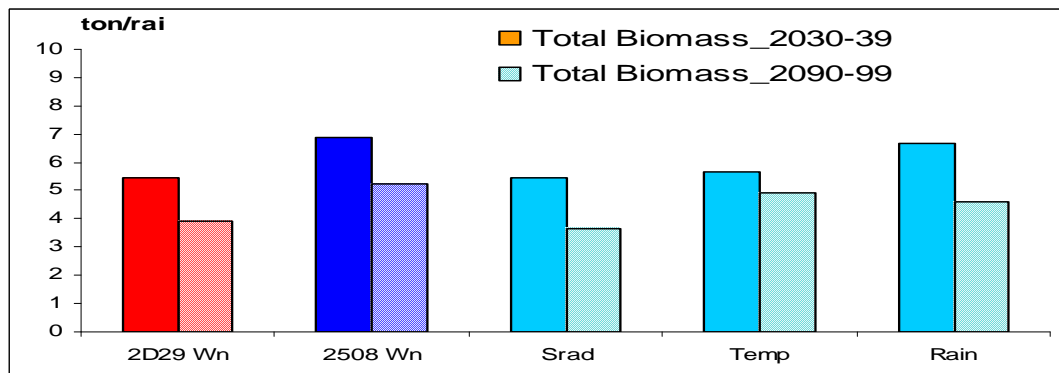
ภาพภาคผนวกที่ 36 ค่าจำลองผลผลิตน้ำหนักหัวสด (ตัน/ไร่) ของมันสำปะหลัง ในเขตการผลิตที่ 5 เมื่อเปลี่ยนคุณสมบัติต่าง ๆ ของดิน ในปี 2030-39 และ 3090-99



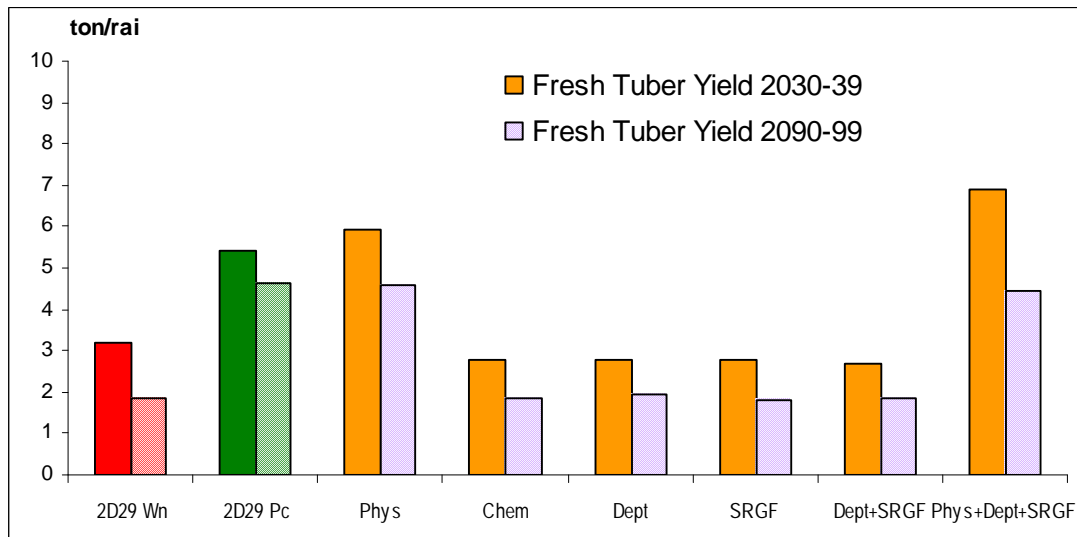
ภาพภาคผนวกที่ 37 ค่าจำลองน้ำหนักสดมวลรวมชีวภาพ (ตัน/ไร่) ของมันสำปะหลัง ในเขตการผลิตที่ 5 เมื่อเปลี่ยนคุณสมบัติต่าง ๆ ของดิน ในปี 2030-39 และ 3090-99



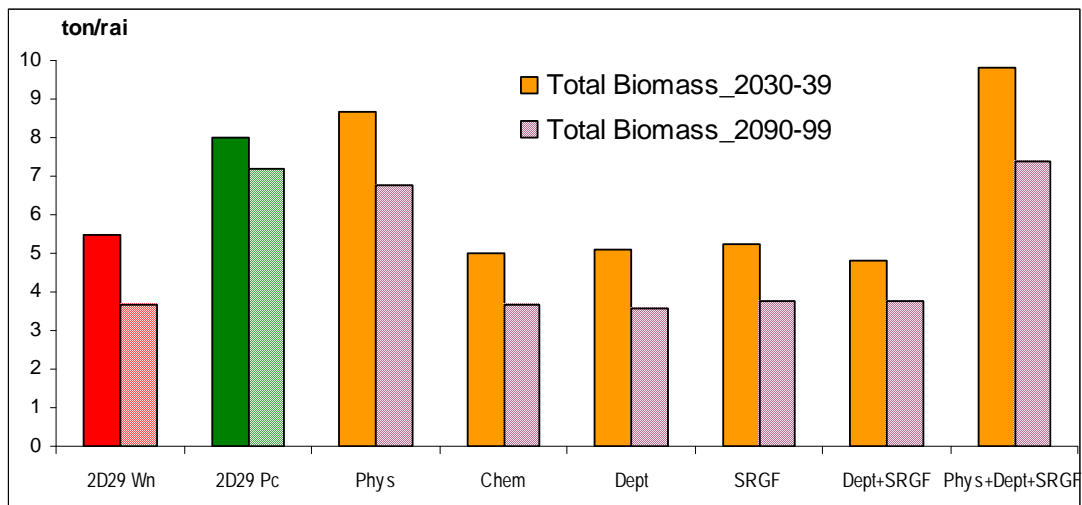
ภาพภาคผนวกที่ 38 ค่าจำลองผลผลิตน้ำหนักหัวสด (ตัน/ไร่) ของมันสำปะหลัง ในเขตการผลิตที่ 5 เมื่อเปลี่ยนปัจจัยสภาพภูมิอากาศ ในปี 2030-39 และ 3090-99



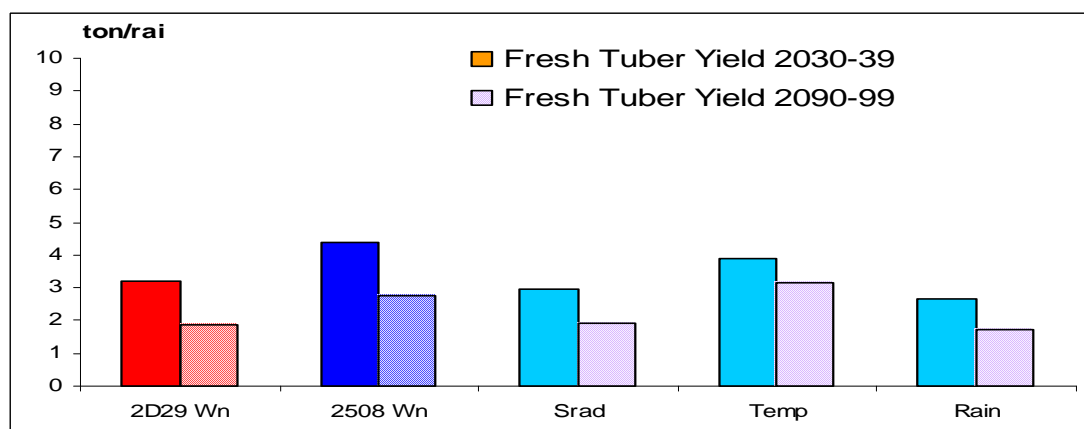
ภาพภาคผนวกที่ 39 ค่าจำลองน้ำหนักสดมวลรวมชีวภาพ (ตัน/ไร่) ของมันสำปะหลัง ในเขตการผลิตที่ 5 เมื่อเปลี่ยนปัจจัยสภาพภูมิอากาศ ในปี 2030-39 และ 3090-99



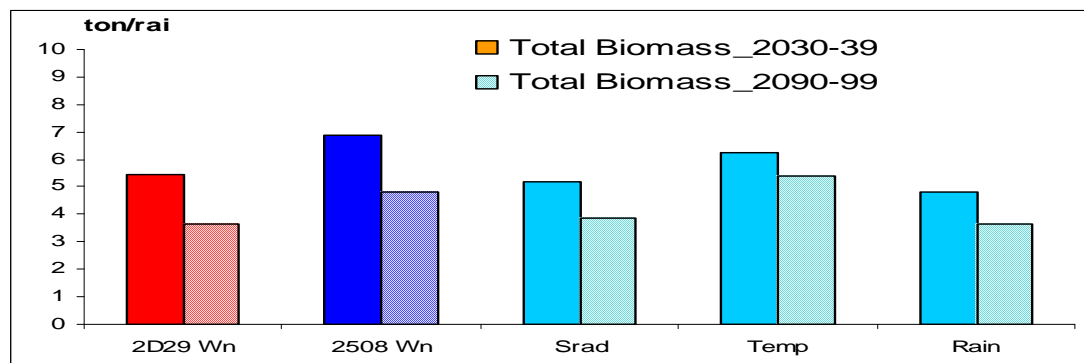
ภาพภาคผนวกที่ 40 ค่าจำลองผลผลิตน้ำหนักหัวสด (ตัน/ไร่) ของมันสำปะหลัง ในเขตการผลิตที่ 6 เมื่อเปลี่ยนคุณสมบัติต่าง ๆ ของดิน ในปี 2030-39 และ 3090-99



ภาพภาคผนวกที่ 41 ค่าจำลองน้ำหนักสดมวลรวมชีวภาพ (ตัน/ไร่) ของมันสำปะหลัง ในเขตการผลิตที่ 6 เมื่อเปลี่ยนคุณสมบัติต่าง ๆ ของดิน ในปี 2030-39 และ 3090-99



ภาพภาคผนวกที่ 42 ค่าจำลองผลผลิตน้ำหนักหัว薯 (ตัน/ไร่) ของมันสำปะหลัง ในเขตการผลิตที่ 6 เมื่อเปลี่ยนปัจัยสภาพภูมิอากาศ ในปี 2030-39 และ 3090-99



ภาพภาคผนวกที่ 43 ค่าจำลองน้ำหนักสดมวลรวมชีวภาพ (ตัน/ไร่) ของมันสำปะหลัง ในเขตการผลิตที่ 6 เมื่อเปลี่ยนปัจัยสภาพภูมิอากาศ ในปี 2030-39 และ 3090-99

